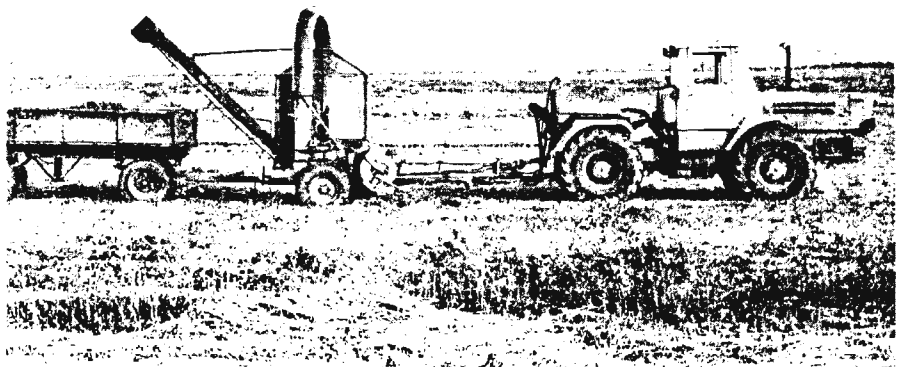


ԱԹ. ԲԱՂԱՍԱՐՅԱՆ



ԽՈՏԻ ԲՐԻԿԵՏԱՎՈՐՄԱՆ
ՄԵՋՆԱՆԵՐԻ ՀԱԾՎԱՐԿԻ ԵՎ
ՆԱԽԱԳՅԱՆ ՀԻՄՆԵՐՆԵՐ

Մ.Թ. ԲԱՂԴԱՍԱՐՅԱՆ



ԽՈՏԻ ԲՐԻԿԵՏԱՎՈՐՄԱՆ ՄԵՔԵՆԱՆԵՐԻ
ՀԱՇՎԱՐԿԻ ԵՎ ՆԱԽԱԳԾՄԱՆ ՀԻՄՈՒՆՔՆԵՐ

287-631.3
407-34.751
P 242

Աշխատանքը իրատարակության է երաշխավորել ՀԳԱ գիտական խորհուրդը:
Արձանագրություն № 5, 24 հոկտեմբերի 2002թ.

Գիտական խորհրդատու՝ տ.գ.դ., պրոֆեսոր Ա.Պ. ԹԱՐՎԵՐԴՅԱՆ
Գրախոսներ՝ տ.գ.դ., պրոֆեսորներ Շ.Մ. ԳՐԻԳՈՐՅԱՆ
Վ.Ս. ԲԱԲԱՅԱՆ

Բ 242 Բաղրամյան Մ.Թ. Խոտի բրիկետավորման մեքենաների հաշվարկի և նախագծման իմաստությունը: Եր.:Նաիրի, 2002թ., 200էջ

Գրքում արված են խոտի բրիկետավորման մեթենաների և նրանց աշխատանքային օրգանների նկարագրությունն ու դասակարգումը, յուրաքանչյուր աշխատանքային օրգանի տեսական և փորձնական հետազոտություններն ու դրանց արդյունքները, բրիկետավորման մեթենաների հաշվարկման մեթոդիկան և բրիկետավորման տեխնոլոգիայի կիրառության տեսական արդյունավետության հաշվարկները:

Նախատեսված է գյուղատնտեսության արտադրության ճարտարագիտա-
մանագետների, գիտական աշխատողների, ասպիրանտների և ուսանողների
համար:

3703030000 2002p.
705(01)2002

Q.U.T 34.751

ISBN 5-550-01282-0

ՆԵՐԱԾՈՒԹՅՈՒՆ

Երկրագնդի բնակչության բուռն աճը գյուղատնտեսության առաջ լուրջ խնդիր է դրել՝ ապահովել բնակչությանը սննդամթերզով և պարենով:

Այս խնդրի լուծման համար անհրաժեշտ է ավելացնել գյուղատնտեսական արտադրության ծավալները, որին կարելի է հասնել նոր հողերի յուրացմամբ և գյուղատնտեսության արդյունավետության բարձրացմամբ:

Մնի հանրապետության սակավահողության պայմաններում առավել հրատապ է դառնում գյուղատնտեսության արդյունավետության բարձրացում՝ գոյւթյուն ունեցող տեխնոլոգիաների կատարելագործման և նոր տեխնոլոգիաների ներդրման շնորհիվ, ինչը կմապաստի կորուստների հնարավորինս նվազեցմանը և անթափուն արտադրությունների կազմակերպմանը:

Կորուստները առկա են գյուղատնտեսության գրեթե բոլոր բնագավառներում, սակայն առավել մեծ ծավալների են հասնում անասնապահության բնագավառում:

Ժամանակակից գյուղատնտեսության կարևորագույն խնդիրներից մեկն անասնապահական մթերքների հետագա ավելացումը և դրանց ինքնարժեքի իջեցումն է։ Այդ խնդիրը հաջողությանը կլուծվի անասունների խնամքի ճիշտ կազմակերպմամբ, աշխատատար գործընթացների լեռնայացմամբ, ինչպես նաև ամուր կերպարն ըազայի ստեղծմամբ։

Բոլոր տեսակի կենյաճիմերի համար ամբողջ ձմռան ընթացքում սպիտակուցների, վիտամինների և հանքային նյութերի հիմնական աղբյուրը խոտը: Բայց խոտի նախապատրաստման ներկայիս դրակը բավարար չէ, տեղի են ունենում սննդարար նյութերի մեծ կորուստներ: Բավական մեծ կորուստներ են լինում խոտի փոխադրման ընթացքում (քափարում է նրա առավել սննդարար մասը՝ տերևները): Սա գոյություն ունեցող տեխնոլոգիաների անկատարության հետևանք է:

Խոտի բարձրորակ նախապատրաստումը կարելի է ապահովել ներդնելով կոշտ կերերի նախապատրաստման մեջանում նոր՝ բրիկետավորման եղանակը:

Բրիկետավորումը առանց կտապող միջոցների խոտի սեղմումն է, մինչև $500 \div 1100$ կգ/մ³ խտության, $50 \div 150$ սմ³ ծավալով:

Բրիկետավորված խոտը ամբողջական կամ հակավորված խոտի նկատմամբ դամբի հետևյալ առավելությունները.

- իրենց մեծ խսության շնորհիվ բրիկետներն ավելի հարմար են տեղափոխման և պահեստավորման համար,
- բրիկետների համար կապող նյութեր չեն պահանջվում.
- բրիկետները կարող են պահպանվել բավական երկար ժամանակ, սննդարար նյութերի համեմատաբար փոքր կորուստներով.
- բրիկետներ կարող են պատրաստվել նաև խառնուրդներից, խոտի սննդարար արժեքը բարձրացնող շափակորված տարրեր հավելումներով,
- համեմատաբար փոքր ծավալում հնարավոր է օգտակար նյութերի բարձր կուտակում.
- բրիկետավորված կերերի օգտագործումը հնարավորություն է տալիս լիովին մեքենայացնել կերաբաշխման և անասնաշենքերում կերերի տեղափոխման աշխատանքները,
- անասունների կենուսնի քաշի միավոր աճի համար պահանջվում է ավելի քիչ բրիկետավորված խոտ, քան սովորական [95]:

Վերը շարադրվածից կարելի է եզրակացնել, որ խոտի և այլ կերերի բրիկետավորումը կերերի նախապատրաստման հեռանկարային եղանակ է, որն օժանդակում է երկրի կերային բազայի բարելավմանը և անասնապահությունը արդյունաբերական հիմքերի վրա դնելուն: Սակայն գյուղատնտեսության մեջ այդ եղանակի ներդնումը արգելակվում է համապատասխան բրիկետավորող մեքենաների բացակայության պատճառով, դրանց մշակման և նախագծման համար չկան համապատասխան տեսական և վործնական հետազոտություններ:

Ներկայումս հայտնի են մի շարք բրիկետավորող մեքենաներ, որոնցից մի մասն ունեն որոշակի առավելություններ և կիրավում են գտնի, մյուսները

գտնվում են մշակման գործընթացում, իսկ որոշ խմբեր կառուցվածքային և տեխնոլոգիական նկատառություններով իրենց չեն արգարացրել և կիրառություն չեն գտնի: Մի շարք հետազոտողների ուսումնասիրությունները ցույց են տվել, որ շնորհիվ բրիկետավորման գործընթացի անընդհատության և մեծ արտադրութականության, բրիկետավորող օդակածեր մամիչներն առավել հնարային են. բայց համեմատաբար էներգատար և մետաղատար են:

Բրիկետավորման գործընթացը ուսումնասիրված է ոչ բավարար և չկա այդ մեքենաների հաշվարկման ընդհանուր մեթոդիկա:

Ներկայացվող աշխատանքը նվիրված է բրիկետավորման գործընթացի ուսումնասիրությանը և օդակային աշխատանքային օրգանով բրիկետավորող մեքենայի պարամետրերի ճշտմանն ու հաշվարկման մեթոդիկայի մշակմանը:

1. ԽՈՏԻ ԲՐԻԿԵՏԱՎՈՐՄԱՆ ԳՈՐԾԵՆԹԱՑԻ ՀԵՏԱԶՈՏՈՒԹՅՈՒՆՆԵՐԻ ՆԵՐԿԱՅԻՆ ՎԻճԱԿԸ

1.1. ԽՈՏԻ ԲՐԻԿԵՏԱՎՈՐՄԱՆ ՏԵԽՆՈԼՈԳԻԱՆԵՐԸ

Խոտի կարելի է բրիկետավորել հետևյալ եղանակներով.

I. Խոտի բնական չորագմամբ. ա) խոտի հնձում, բ) լասավորում, գ) լասերում խոտի չորացում մինչև $10+12\%$ խոնավության, դ) խոտի հավաքում - բրիկետավորում - բարձում, ե) բրիկետների տեղափոխում, զ) բրիկետների պահեստավորում:

Բրիկետավորման այս եղանակը կարող է կիրառվել մքնողրտային համեմատաբար քիչ տեղումներ և շոգ կլիմա ունեցող շրջաններում, որտեղ հնարավոր է խոտի արագ և բնական չորացումը:

Նշված եղանակը լայն տարածում ունի ԱՄՆ-ում:

II. Դաշտում խոտի մինչև $55+35\%$ ենթազրագմամբ, հետագա ակտիվ քամահարումով չորագմամբ. ա) խոտի հնձում, բ) լասավորում, գ) ենթազրացում մինչև $55+35\%$, դ) հավաքում – մանրացում - բարձում, ե) տեղափոխում, զ) խոտի չորացում մինչև $10+12\%$, տ) բրիկետավորում, լ) բրիկետների հովացում, թ) պահեստավորում:

III. Խոտի արիեստական չորագմամբ. ա) խոտի հնձում – մանրացում – տեղափոխում, բ) չորացում մինչև $10+12\%$, գ) բրիկետավորում, դ) բրիկետների հովացում, ե) պահեստավորում:

Վերջին երկու տարրերակները ավելի գերադասելի են խոնավ կլիմա ունեցող երկրներում: Այդ եղանակները տարածված են Անգլիայում, Դանիայում, Շվեյցարիայում, Գերմանիայում և ԱՄՆ-ի որոշ նահանգներում:

Հայաստանի Հանրապետուրյունում, որտեղ կլիման բազմաբնույթ է, հնարավոր է կիրառել ինչպես I, այնպես և II բրիկետավորման եղանակները:

1.2. ԽՈՏԻ ԲՐԻԿԵՏԱՎՈՐՄԱՆ ՄԵՔԵՆԱՆԵՐԸ

Խոտը կարելի է բրիկետավորել շարժական և ստացիոնար ագրեգատներով: Բրիկետավորվում է ինչպես բնական, այնպես և արիեստական չորացրած խոտը:

Շարժական բրիկետային հավաքի-մամլիչները նախատեսված են խոտը դաշտում, անմիջապես լասերից հավաքելու և բրիկետավորելու համար: Նրանք բաղկացած են խոտի հավաքիչից, մանրատիչից, բրիկետավորող աշխատանքային օրգանից և փոխադրիչից, որոնք հավաքված են մեկ շրջանակի վրա և հենվում են ընթացքային անիվների վրա:

Խոտի շարժական բրիկետավորող մեքենաների աշխատանքի տեխնոլոգիական սխեման հետևյալն է. խոտը լասերից հավաքվում, մանրացվում և արգում է բրիկետավորող ապարատին, որտեղից պատրաստի բրիկետները, բեռնաթափող փոխադրիչի օգնությամբ, բարձվում են փոխադրամիջոցների մեջ:

Շարժական բրիկետավորող մեքենաները կարող են լինել ինքնազնաց և կցովի:

Շարժական ինքնազնաց բրիկետավորող մեքենաներում բոլոր մեխանիզմները, այդ թվում և ընթացքային մասը, գործում են անհատական ներքին այրման շարժիչի միջոցով: Շարժական բրիկետավորող մեքենաների օրինակ կարող են լինելլ “Չոն-Դիր” և “Կել-Կյուր” ֆիրմաների (ԱՄՆ) մեքենաները:

Կցովի բրիկետավորող մեքենաները սովորաբար կախվում են տրակտորից, իսկ մեխանիզմների շարժումը իրականացվում է կամ տրակտորի հզորության անշատման լիսեռի, կամ առանձին ներքին այրման շարժիչի միջոցով: Կցովի բրիկետավորող մեքենայի օրինակ կարող են հանդիսանալ “Չոն-Դիր” ֆիրմայի առաջին նմուշները և “Լանդել”, “Վաուգի”, “Կել-Կյուր”, “Մասսեյ-Ֆորգյուսոն” ֆիրմաների մեքենաները:

Շարժական բրիկետավորող մեքենաները կիրառվում են բնական չորացումով բրիկետավորվող խոտի նախապատրաստման համար:

Ստացիոնար բրիկետավորող մեքենաները օգտագործվում են արհեստական չորացումով բրիկետավորվող խոտի նախապատրաստման ժամանակ: Այդ մեքենաները շարժման մեջ են դրվում կամ էլեկտրաշարժիչների, կամ ներփական այրման շարժիչների օգնությամբ:

Այդպիսի մեքենաների օրինակներ կարող են ծառայել “Զոն-Դիր” (ԱՄՆ), “Սկոտմել” (Ավստրալիա), “Տարում” (Դանիա) ֆիրմաների մեքենաները, ՊԵԽ-2, ՊԵՀ-3 մաճիշները և ՕՊԿ-2 սալքավորումները (Ռուսաստան):

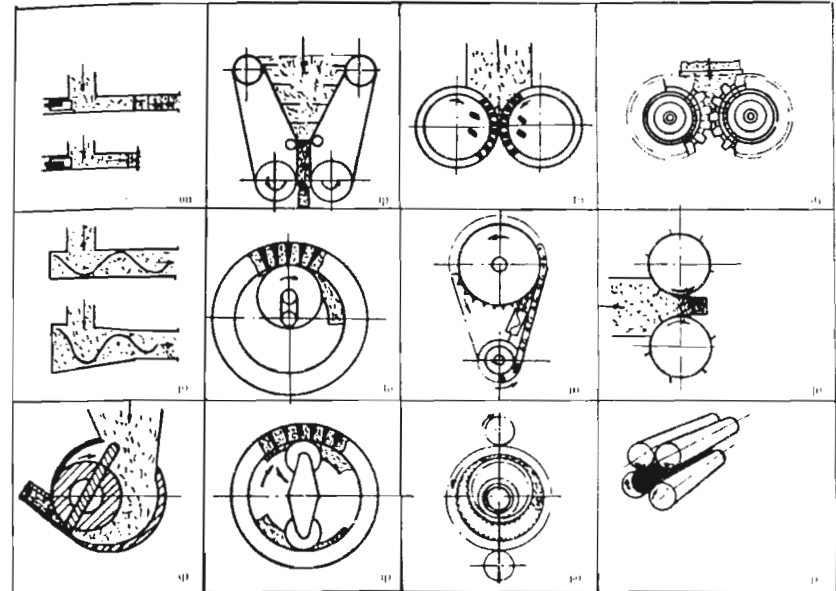
Բրիկետավորման մամլիչների հիմնական աշխատանքային օրգանը մամլող օրգանն է, որը նախատեսված է խոտի անմիջական սեղմամբ, հակերի համեմատ առավել մեծ խտությամբ բրիկետներ ստանալու նպատակով:

Ներկայումս հայտնի են մի շարք տարբեր կառուցվածքների մամլող աշխատանքային օրգաններ:

Հայրենական և արտասահմանյան արտոնագրային գրականության վերլուծությունը հնարավորություն է տվել առանձնացնել մամլման աշխատանքային օրգանների հետևյալ կառուցվածքները (նկ. 1). ա) դրոշմային և մխոցային, բ) շնեկային, զ) ռոտորային, դ) փոխադրիչային, ե) ,գ), է) օլակային՝ շտավալային խցիկներով, ը) աստղանիվա-շղթայավոր, թ), ժ) ատամնանիվային, ի), լ) գլանակավոր:

Նշված աշխատանքային օրգաններից որոշները կիրառություն են գտնել համապատասխան խոտի բրիկետավորման մեքենաներում, մյուսները գտնվում են կառուցվածքային մշակման փուլում, իսկ որոշները նշված են միայն արտոնագրերում:

Դրոշմային աշխատանքային օրգանը որոշակի լայնական կտրվածքով սեղման խցիկ է, որում համընքաց-հետքընքաց շարժում է կատարում դրոշմը (նկ. 1ա): Սեղման խցիկները կարող են լինել քաց և փակ: Քաց սեղման խցիկներում բրիկետավորման ընթացքում հակադիր ճնշումը ստացվում է բրիկետավորվող նյութի և խցիկի պատերի միջև եղած շփման շնորհիվ, իսկ փակ խցիկներում՝ անշարժ հենարանի շնորհիվ:



Նկ. 1. Խոտածդրուային նյութերի բրիկետավորման աշխատանքային օրգանների վիճակները:

ա) դրոշմային և մխոցային, բ) շնեկային, զ) ռոտորային, դ) փոխադրիչային, ե), գ), է) օլակաձե, շտավալային խցիկներով, ը) աստղանիվա-շղթայավոր, թ), ժ) ատամնանիվային, ի), լ) գլանակավոր:

Բրիկետավորվող գանգվածը մատուցվում է սեղման խցիկի ընդունիչ լուսամուտին և դրոշմի առաջ շարժվելու ընթացքում սեղմվում ու վերածվում է բրիկետների:

Փակ խցիկներում դրոշմի մեկ ընթացքում ձևավորվում է մեկ բրիկետ, որը սեղման խցիկից դուրս է հանվում հատուկ մեխանիզմով: Սեղման քաց խցիկներում սեղմված նյութը խցիկից դուրս է գալիս անընդիւառ ժաւավեճի անընդիւառ, որը և ելքում քածանվում է առանձին բրիկետների [64,66,72]:

Բազմարիվ հետազոտությունները ցույց են տվել [32,36,50], որ սեղման փակ խցիկներում էներգետիկ ծախսերը $2 \pm 2,5$ անգամ ցածր են, քան սեղման քաց խցիկներում: Սակայն սեղման փակ խցիկների կիրառությունը պահանջում է նյութի ճշգրիտ չափաբանակների մատուցում: Բացի այդ,

այդայիսի խցիկներում մեծ արտադրողականությունների դեպքում դժվար է ապահովել սեղմակած զանգվածը ճնշման տակ պահելու անհրաժեշտ ժամանակը:

Գրոշմային աշխատանքային օրգանների հիմնական բերույթունը համարվում է նրանց փոքր արտադրողականությունը, բերված միավոր զանգվածի: Սակայն կառուցվածքի պարզությունը և աշխատանքի հոսանքությունը օժանդակել են, որ դրանք լայն կիրառություն գտնեն բրիկետային մանդիչներում: Գրանցից են “Չոն-Դիր”, “Կել-Վյուր”, “Կոշ” (ԱՄՆ), “Տարուալ”, “Դենիի” (Դանիա), “Սկումեկ” (Ավստրալիա), “Ֆատ”, “Կլասս” (Գերմանիա) ֆիրմաների և ՌԵՍԻ-2 (Ռուսաստան) բրիկետային մամլչները:

Հառավդային սեղման խցիկներով օդակային աշխատանքային օրգանները բաղկացած են շառավղային դասավորությամբ խցիկներով անշարժ օդից, որում պտտվում են մեկ կամ մի քանի արտակենտրոն տեղակայված հոլովակներ (Ակ. 1ե.զ): Զանգվածը մատուցվում է օդակի ներսը և հոլովակների պտտման ընթացքում սեղմակում է խցիկների մեջ, որտեղից էլ սեղմակ զանգվածը դուրս է գալիս անընդհատ ժապավենի տեսքով, որը հետագայում բաժանվում է անհրաժեշտ երկարության առանձին բրիկետների [63,70]:

Բրիկետավորման օդակային մամլչներում բրիկետավորումն ընթանում է անընդհատ, որը և ապահովում է ավելի մեծ արտադրողականություն, քան դրոշմային մամլչների դեպքում:

Չնայած իրենց բարձր էներգատարությանը (20÷30կՎտ.Ժ/տ), օդակածն աշխատանքային օրգանները, դրոշմայինների հետ միասին, առավել մեծ կիրառություն են զտել ժամանակակից բրիկետավորման մեքենաներում: Օդակածն աշխատանքային օրգաններ տեղակայված են “Մասսեյ-Ֆերգյուսոն”, “Լանդել”, “Չոն-Դիր” ֆիրմաների մեքենաներում, ինչպես նաև տարբեր երկրներում, այդ թվում և մեզ մոտ մշակված փորձնական նմուշներում:

Գոյություն ունի նաև օդակածն աշխատանքային օրգանի մեկ այլ տարբերակ (Ակ. 1է), որը բաղկացած է ուղղածիկ հարթության մեջ տեղակայված երկու հակադիր պտտվող օդակներից: Զանգվածը մատուցվում է օդակների

արտաքին մակերևույթին և օդակների պտտման ընթացքում սեղմակում շառավղային խցիկների մեջ, որտեղ և ձևափորվում են բրիկետները: Բրիկետաների հեռացումը կատարվում է օդակի կենտրոնից:

Ընեկային աշխատանքային օրգանը բաղկացած է անշարժ գլանածն կամ կոնածն խցիկից, որում պտտվում է համապատասխան ձևի շնեկը (Ակ. 1թ): Ընեկային աշխատանքային օրգաններում բրիկետավորման գործընթացն անընդհատ է:

Ընեկային աշխատանքային օրգանները բարձր ճնշումներ չեն կարող սատղել, քացի այդ, շվիման ուժերի հաղթահարման համար պահանջվում է ծախսել բավական ուժ, որի պատճառով և այս աշխատանքային օրգանները կիրառություն չեն գտել [58]:

Փոխադրիչային աշխատանքային օրգանները բաղկացած են ուղղաձիգ դասավորված երկու ժապավենային փոխադրիչներից, որոնց երկայնական առանցքները կազմում են սուր անկյուն (Ակ. 1դ):

Փոխադրիչների ժապավենների շարժման ընթացքում զանգվածը տեղաշարժվում է դեպի փոխադրիչների միջև ընկած նեղացող տարածք, որտեղ և ճնշման տակ տևի է ունենում զանգվածի անընդհատ սեղմում [28]:

Փոխադրիչային աշխատանքային օրգանները խոտի բրիկետավորման նպատակով դեռևս չեն կիրառվում, քանի որ նրանցում հնարավոր չէ ստեղծել բարձր ճնշումներ, իսկ բրիկետների անհրաժեշտ խտությունը ապահովելու համար կառուցվածքը ստացվում է բավական ծանր:

Աստղամիվա-շղթայավոր աշխատանքային օրգանը իրենից ներկայացնում է շղթայավոր փոխանցում, որում սեղման խցիկը շղթայի օդակների և աստղամիվի ատամների միջև ընկած տարածքն է (Ակ. 1թ): Զանգվածը մատուցվում է այդ տարածքը և շղթայի շարժման ժամանակ սեղմակում, առաջացնելով բրիկետներ, որոնք հեռացվում են այն պահին, երբ շղթայի օդակը հեռանում է աստղամիվից [69]:

Այս մեխանիզմը նույնական տարածում չի գտել խոտի բրիկետավորման մեքենաներում, քանի որ հնարավոր չէ ապահովել բրիկետավորման համար

անհրաժեշտ բարձր ճնշումը, բացի այդ, մեքենան ստացվում է ծանր և մետաղատար:

Ալտամնանիվային աշխատանքային օրգանները բաղկացած են սեղմանան խցիկներից, որոնք ստացվում են արտաքին և ներքին ատամնապատճեր ունեցող իրանի ու նրանում արտակենտրոնի վրա ազատ պյտովող ատամնանիվի ատամների բացակի շնորհիվ (Ակ. Իթ):

Իրանի ներքին ատամնապատճերի և ատամնանիվի ատամներն ունեն ասսուլանիվի ատամների ձև: Իրանի պատման ընթացքում մատուցվող գանգվածը մտնում է քջիշների մեջ և սեղմվում մինչև առավելագույն խտությունը: Այնուհետև նրանց միջև բացակը հետզինտե մեծանում է, և բրիկետներն ազատվելով, հեռացվում են [68]:

Այդ աշխատանքային օրգանները կիրառություն չեն գտել կառուցվածքի բարդության պատճառով:

Գոյություն ունի նաև ատամնային բրիկետավորման աշխատանքային օրգանի մեջ այլ տարրերակ, որն իրենից ներկայացնում է կառշման մեջ գտնվող միատեսակ ատամնանիվային գոյզ, որոնցում սեղմման խցիկները տեղակայված են շառավիղային ուղղություններով, ատամների արանքում (Ակ. Իժ): Մատուցվող գանգվածը ատամներով բռնվում և սեղմվում է խցիկների մեջ, որտեղից պատրաստի բրիկետները հավաքվում են ատամնանիվների ներքին տարածքում և հեռացվում:

Այդ աշխատանքային օրգանները նույնպես կիրառություն չեն գտել գոյություն ունեցող մեքենաներում:

Ռոտորային աշխատանքային օրգաննը բաղկացած է անշարժ թմբուկից, որի ներսում ստավում է սահող բիակներով արտակենտրոն տեղակայված ոռոտորը (Ակ. Իզ): Թմբուկի վերին մասում տեղակայված ընդունող լուսամուտից գանգվածը արփում է թմբուկի ներքին տարածք, որտեղից ոռոտորի պյտումն ընթացքում բիակներով սեղմվում է թմբուկի հետ ամբողջականություն կազմող սեղմման խցիկի մեջ, որի կենտրոնական առանցքն ունի թմբուկի շոշափուղի ուղղությունը [67]:

Այդպիսի ապարատները համարվում են ոչ հեռանկարային, բայց որ ցես են բիակների ու ռոտորի լրվելու հավանականությունը և բիակների վրա ազդույթ ուժերը, որոնք ել հանգեցնում են նրանց արագ մաշվելուն և ջարդվելուն: Բացի այդ, նշված ապարատներն ունեն ցածր արտադրողականություն և բարձր էներգատարրություն:

Հակառակ գլանվակներով աշխատանքային օրգաններով մամլչներուն բրիկետավորումն իրականացվում է գանգվածը սեղմող գոյզ գլանվակների միջով անցկացնելով (Ակ. Իթ): Սկզբում գլանվակների պիշոցով գանգվածը հետզինտե սեղմվելով դառնում է սեղմված ժապավեն, որը կարառավելով վերածվում է համալսարան երկարության բրիկետների: [65]:

Սակայն այդ եղանակով ստացվող բրիկետները շատ արագ ընդարձակվում են և չեն ապահովում բրիկետների անհրաժեշտ աճրություն, որի պատճառով էլ այդ եղանակը կիրառություն չի գտել:

Գլանվակային աշխատանքային օրգանները բաղկացած են միևնույն տրամագծերով, փակ բազմամկյան տեսքով տեղակայված մի քանի գլանվակներից (Ակ. Ի.Ա): Խոտը տրիլում է ընդունող լուսամուտին, որն առաջանում է երկու գլանվակների միջև բացակը մեծացնելու շնորհիվ, և գլանվակների միևնույն արագությամբ պյտավելու ընթացքում, խոտը կառչվում է գլանվակների կողմից ու պյտավելով վերածվում մեծ խտության գլանվակարերի: Խոտության տրված սահմանին հասնելուց հետո գլանվակարերը, գլանվակների թերության շնորհիվ, գլանվակների առանցքային ուղղությամբ հետզինտե դուրս է մղվում: Այնուհետև գլանվակարերը կտրատվում է առանձին բրիկետների [71,73]:

Արտասահմանյան հետագործողների կողմից գլանվակային աշխատանքային օրգանների լաբորատոր-դաշտային կառուցվածքների հետագործությունները [104] ցույց են տվել, որ 20÷40% խոնավության բակլազգի խոտաբույսերի ոլորման եղանակով կարելի է ստանալ մինչև $550\div1100$ կգ/մ³ խտությամբ բրիկետներ: Առավել ցածր խոնավությունների դեպքում բրիկետների որակն ընկնում է: Բացի այդ, այս եղանակով բրիկետավորումը բույլ է տալիս էներգիայի ծախսը նվազեցնել մոտ երեք անգամ: Այսպես, եթե

դրոշմային բրիկետավորման մամլչներով խոտի բրիկետավորման վրա ծախսվում է 15÷18 կՎտ.ժ/տ էներգիա, ապա գլանվակային աշխատանքային օրգաններով մամլչներում՝ 5+7 կՎտ.ժ/տ: Միջիգանի (ԱՄՆ) և Բրատոնշվեյգի գյուղ. մեքենաների (Գերմանիա) ինստիտուտների կողմից կատարված հետազոտությունները ցույց են տվել, որ այդ եղանակով կարելի է բրիկետավորել մինչև 74% խոնավության խոտ:

Սակայն այդպիսի բարձր խոնավությամբ խոտի բրիկետավորումը առաջացնում է նոր դժվարություններ, քանի որ պահեստավորումից առաջ բրիկետները անհրաժեշտ է չորացնել մինչև 10+15% խոնավության, որը խոտի նախնական չորացման հետ համեմատած, համարվում է տնտեսապես ոչ նպատակահարմար:

Գլանվակային աշխատանքային օրգանները ներկայում գտնվում են մշակման փուլում և դեռևս կիրառություն չեն գտել խոտի բրիկետավորման բնագավառում:

Տարբեր բրիկետավորող աշխատանքային օրգանների գոյություն ունեցող հետազոտությունների վերլուծությունը ցույց է տալիս, որ նրանցից առավել կիրառություն գտածները դրոշմային և օղակային բրիկետավորող աշխատանքային օրգաններն են:

Բրիկետավորող դրոշմային տեսակի աշխատանքային օրգանները լայն կիրառություն են գտել շնորհիվ կատուցվածքի պարզության և աշխատանքի հուսափության, սակայն այդ մեքենաները ցածր արտադրողական են:

Բրիկետավորող օղակային աշխատանքային օրգանները, շնորհիվ բրիկետավորման գործընթացի անընդհատության և բարձր արտադրողականության առավել հեռանկարային են, քան դրոշմայինները:

1.3. ԽՈՏԻ ԲՐԻԿԵՏԱՎՈՐՄԱՆ ԳՈՐԾԸՆԹԱՑԻ ՈՒՍՈՒՄՆԱՍԻՐՈՒԹՅՈՒՆՆԵՐԻ ՀԱՄԱՌՈՏ ԱԿՆԱՐԿ

Խոտի սեղման գործընթացն սկսվել է հետազոտավել դեռևս անցած դարի 30-ական թվականներին: Խոտի սեղման գործընթացը նկարագրու իմբնական

օրինաչափությունը հանդիսանում է սեղման ճնշման փոփոխության կախվածությունը տարբեր գործուներից:

Ճնշման կախվածությունը սեղմվող նյութի խտությունից որոշ հեղինակների կողմից ներկայացվում է աստիճանական, մյուսների կողմից՝ ցուցային, իսկ որոշների կողմից՝ հիպերբոլական ֆունկցիաների տեսքով [58]:

Ներկայում սեղման ճնշման օրինաչափությունը բնութագրող առավել ընդունելի է հանդիսանում Վ.Ի. Օսորովի կողմից առաջարկվող բանաձեռ [50].

$$p = k \left[e^{a(\rho - \rho_0)} - 1 \right],$$

որտեղ՝ p -ն սեղման ճնշումն է, $\text{Ն}/\text{մ}^2$, ρ -ն՝ բրիկետի խտությունը, $\text{կգ}/\text{մ}^3$, ρ_0 -ն՝ բրիկետավորվող նյութի սկզբնական խտությունը, $\text{կգ}/\text{մ}^3$, k -ն և a -ն՝ էմպիրիկ գործակիցները:

Մի շարք հեղինակների հետազոտությունները [32,36,50,68,98,102,104] ցույց են տվել, որ բրիկետավորման խցիկներում $25+35$ $\text{Ն}/\text{մ}^2$ պայմաններում ստացվում են առավել ամուր բրիկետներ՝ $500+800$ $\text{կգ}/\text{մ}^3$ խտությամբ:

Սեղման խցիկներում ճնշումը հավասարվում է հականշմանը, որն առաջանում է խցիկի պատերի ու բրիկետավորվող նյութի միջև եղած շփման ուժերից և սերտորեն կախված է խցիկի պարամետրերից ու նյութի հատկություններից:

Սեղման խցիկի տեսակը կախված է բրիկետավորող մեքենայի տեսակից: Դրոշմային բրիկետավորող մեքենաներում սեղման խցիկները կարող են լինել բաց կամ փակ, իսկ օղակած մամլչներում՝ սովորաբար բաց:

Համաձայն մի շարք հետազոտությունների [32,36,50,74], սեղման խցիկի տեսակը շատ մեծ ազդեցություն ունի բրիկետավորման գործընթացի էներգատարության վրա: Այսպես՝ ըստ Վ.Ի. Օսորովի կողմից կատարված հետազոտությունների [50], բաց սեղման խցիկներում 10% խոնավության առփոյանի բրիկետավորման վրա ծախսվում է $3.5+4$ անգամ ավելի էներգիա, քան փակ սեղման խցիկներում: Սակայն համեմատաբար մեծ արտադրողականության, ինչպես նաև բրիկետները ճնշման տակ երկար ժամանակ պահելու

հնարավորությունների ապահովման շնորհիվ ներկայումս տարածում են գտել միայն բաց սեղման խցիկները:

Գոյսություն ունեցող խոտի բրիկետավորող մեքենաներն ունեն տարբեր ձևերի սեղման խցիկներ, այսինքն՝ սեղման խցիկների լայնական կտրվածքները տարբեր են (կլոր, քառակուսի և ուղղանկյունի):

Սեղման խցիկի ձեր մեծ չափով ազդում է բրիկետավորման գործընթացի էներգատարության և ստացված բրիկետների ամրության վրա [30,50]: Դրոշմային մամլիչներում բրիկետավորման գործընթացը գլանային սեղման խցիկների դեպքում առավել քիչ էներգատար է, քան մի այլ ձեփի խցիկում [50]: Սակայն Ա.Ա. Գուստաֆսոնի և ՈՒ.Զ. Կյելգերդի ուսումնասիրությունները [30] ցույց են տվել, որ խորանարդած և բրգած բրիկետները ավելի ամուր են, քան գլանած և գնդած բրիկետները:

Հետազոտողների կողմից [57] առաջարկվում է հակաճնշման կախվածությունը սեղման խցիկի և բրիկետավորվող նյութի պարամետրերից.

$$P = \frac{q_0}{\varepsilon} \left(e^{\frac{f}{\varepsilon} \mu} - 1 \right),$$

որտեղ՝ P -ն հակաճնշումն է, q_0 -ն՝ մնացորդային կողային ճնշումը, ε -ը՝ կողային ճնշման գործակիցը, f -ը՝ սեղման խցիկի պատերի և նյութի միջև եղած շփման գործակիցը, μ -ը՝ խցիկի պարագիծը, U -ն՝ խցիկի լայնական կտրվածքի մակերեսը:

Գր մնացորդային կողային ճնշումը գլխավորապես կախված է սեղման գանգվածի խտությունից [33] և որոշվում է հետևյալ բանաձևով.

$$q_0 = \varepsilon_i \rho^{m_i},$$

որտեղ՝ ε_i -ը և m_i -ը փորձնական գործակիցներ են:

Կախված ճնշման տակ սեղմված գանգվածի պահելու ժամանակից, մնացորդային կողային ճնշումը փոփոխվում է հետևյալ օրինաչափությամբ [33].

$$q_{0i} = q_0 \left[m + n e^{-(B_0 - B_i) \gamma} \right]$$

որտեղ՝ t -ն գանգվածը ճնշման տակ պահելու ժամանակն է, m , n , B , B_0 -ն՝ գործակիցներ:

Ե կողային ճնշման գործակիցը գլխավորապես կախված է բրիկետավորվող զանգվածի ֆիզիկո-մեխանիկական հատկություններից: Կողային ճնշման գործակիցի կախվածությունը բրիկետավորվող նյութի խոնավությունից արտահայտվում է հետևյալ բանաձևով [68]:

$\varepsilon = aW'' + \varepsilon_0$,
որտեղ՝ W -ն բրիկետավորվող նյութի խտությունն է, %, ε_0 -ն՝ նյութի բացարձակ չոր վիճակում կողային ճնշման գործակիցը, a -ն և b -ը՝ գործակիցներ:

Փոքր ճնշումների դեպքում (մինչև 8 N/mm^2) նկատվում է ε -ի կախվածություն առանցքային ճնշումից, իսկ ճնշումների մեծ արժեքների դեպքում ε -ը դառնում է հաստատուն [54]: ε -ի արժեքը կազմում է՝ $\varepsilon = 0,4 \div 0,45$ [33]:

Խցիկի պատերի բրիկետավորվող նյութի հետ շփման գործակիցը կախված է առանցքային ճնշումից: Նորմալ առանցքային ճնշման մինչև 2 N/mm^2 աճի դեպքում նկատվում է շփման գործակիցի նվազում, որից հետո շփման գործակիցի մեծությունը մնում է հաստատուն և մոտավորապես կազմում է՝ $f = 0,5$ [57]: Կախված նյութի խոնավությունից, շփման գործակիցը փոփոխվում է՝ $f = 0,5 \div 0,7$ միջակայքում:

Բաց սեղման խցիկներում, նյութի ֆիզիկո-մեխանիկական հատկությունների փոփոխման հետ կապված, բրիկետավորման գործընթացի խախտումը կարգավորվում է սեղման խցիկի ելքի կտրվածքի կարգավորմամբ [58]:

Կարգավորվող կտրվածքով սեղման խցիկները հետազոտել են Վ.Ի. Օսոբովի կողմից և առաջարկվել է բանաձև, որն արտացոլում է հակաճնշման կախվածությունը կլոր և ուղղանկյուն լայնական կտրվածքը ունեցող սեղման խցիկների պարամետրերից:

Կլոր կտրվածքով սեղման խցիկների համար՝

$$P = \frac{q_0}{\varepsilon} \left(\frac{d_0}{d_0 - 2Ltg\alpha} \right)^{k_{01}} - \frac{q_0}{\varepsilon};$$

Ուղղանկյուն կտրվածքով սեղման խցիկների համար՝

$$P = \frac{q_0}{\varepsilon} \left(\frac{a_0}{a_0 - 2Ltg\alpha} \right)^{k_{02}} - \frac{q_0}{\varepsilon},$$

որտեղ՝ $k_{01} = \frac{2\varepsilon}{tg\alpha} (\sin\alpha + f \cos\alpha)$, $k_{02} = \frac{1+\nu}{Ng\alpha} (\sin\alpha + f \cos\alpha)$, ճ-ն՝ կլոր խցիկի սկզբնական տրամագիծն է, L-ը՝ խցիկի երկարությունը, α -ն՝ խցիկի առանցքի նկատմամբ պատերի թերման անկյունը, $\nu = \frac{a_0}{b_0}$ -ն՝ ուղղանկյան կողմերի հարաբերությունը, a_0 -ն՝ սեղմման խցիկի սկզբնական կտրվածքում ուղղանկյան մեծ կողմը:

Այս բանաձևերի դուրս թերման ընթացքում հեղինակի կողմից ընդունվել է, որ կողային ճնշումներն ուղղահայց են խցիկի առանցքին [58]: Սակայն այդ մոտեցումը բույլատրելի է միայն α -ի փոքր արժեքների դեպքում: Բացի այդ, հեղինակի կողմից հաշվի չեն առնվել նաև սեղմման խցիկում նյութի լայնական դեֆորմացիաները, որոնք α -ի մեծ արժեքների դեպքում բավական մեծ ազդեցություն են բողնում բրիկետավորման գործընթացի վրա:

Բրիկետների որակական ցուցանիշների (խտություն, ամրություն) վրա զգալի ազդեցություն է բողնում սեղմման խցիկում ճնշման տակ սեղմված զանգվածի մնալու ժամանակը:

Միևնույն ճնշման տակ խցիկներում բրիկետների մնալու ժամանակի ավելացումը նպաստում է բրիկետների խտության մեծացմանը [24, 36, 50, 74, 102, 105]:

Բրիկետների խտության կախվածությունը խցիկում բրիկետների մնալու ժամանակից որոշվում է էմպիրիկ բանաձևով [33].

$$\rho_t = \alpha_0 \rho_0 + \beta_0 \rho_{max} + \alpha_t t (\rho_{max} - \rho_0),$$

որտեղ՝ ρ_t -ն վերջնական խտությունն է, ρ_{max} -ն՝ սեղմման խցիկում բրիկետի խտությունը, $\alpha_0, \beta_0, \alpha_t$ -ն՝ էմպիրիկ գործակիցները, t -ն՝ խցիկում բրիկետների մնալու ժամանակը:

Հետազոտությունները ցույց են տվել [103], որ խցիկում բրիկետների մնալու ժամանակի ներքնի սահմանը, որի դեպքում ստացվում են ընդունելի խտության և ամրության բրիկետներ, 2,5 վրկ է: ճնշման տակ բրիկետների մնալու օպտիմալ ժամանակ կարելի է հաշվել 5±15վրկ:

Բրիկետավորող օլակային աշխատանքային օրգանների երկրաչափական պարամետրերի որոշմանն են նվիրված մի շարք հետազոտություններ [32,33,87,88]: Հետազոտություններով հաստատվել է, որ հոլվակների կողմից բրիկետավորվող նյութի կառչման ա անկյունը հավասար է շիման Փ անկյանը:

Գ.Վ. Սոբոլի կողմից ստացվել է մի արտահայտություն, որը հնարավորություն է տալիս որոշել մատրիցային օլակի R շառավիղը և սեղմվող զանգվածի հ հաստությունը.

$$R = \sqrt{\frac{\vartheta}{\rho_0 b \pi A (2 - A)}}, \quad h = RA,$$

$$\text{որտեղ՝ } A = \left[1 - \frac{1}{\lambda_1 \left(1 + \frac{f^2}{2} \right)} - \left(1 - \frac{1}{\lambda_1} \right) \right] \cos\alpha, \quad \cos\alpha = \cos \left[\arcsin \left(\frac{\sin\varphi}{\lambda_1 - 1} \right) \right],$$

Թ-ն՝ լիսերի մեկ պտույտի ընթացքում մամլիչի բողունակությունը, ρ_0 -ն՝ նյութի սկզբնական խտությունը, ե-ն՝ սեղմվող շերտի լայնությունը, $\lambda_1 = \frac{R}{r}$ -ը՝ մատրիցային օղակի շառավիղի հարաբերությունը սեղմող հոլվակի շառավիղն, $f = tg\varphi$ -ն՝ հոլվակի մակերևույթի հետ նյութի շիման գործակիցը:

Խոսի բրիկետավորման գործընթացում ծախսվող լրիվ էներգիան որոշվում է հայտնի բանաձևով [75].

$$A_E = A_{p\bar{n}} + A_r,$$

որտեղ՝ $A_{p\bar{n}}$ -ը բրիկետավորման վրա ծախսվող էներգիան է, A_r -ն՝ բրիկետները խցիկից դուրս մղելու էներգիան:

Բրիկետավորման գործընթացի վրա ծախսվող էներգիան Ա.Ա. Կոլոտովը [48] առաջարկում է որոշել՝ ելնելով միավոր ցողունի սեղմման վրա ծախսվող աշխատանքից: Նշված եղանակով հաշվարկներ կատարելիս հաշվի չի առնվել բրիկետների գոյացման ընթացքում ցողունների միմյանց հետ շփումները, որը և կասկածի տակ է դնում ստացված բանաձևերի հավաստիությունը:

Ներկայումս բրիկետավորման գործընթացի տեսակարար էներգատարության որոշման համար առավել ընդունելի է համարվում Վ.Ի. Օսորվի

կողմից առաջարկվող բանաձևը [50].

$$A_{\mu\eta} = c \frac{LU}{G} \left[a \rho_0 e^{-a\gamma_0} \left(lie^{\frac{a\gamma_0 L-S}{L-S}} - lie^{a\mu_0} \right) - \frac{L-S}{S} \left(e^{a\mu_0 \frac{S}{L-S}} - 1 \right) \right],$$

որտեղ՝ U -ն խցիկի լայնակի կտրվածքի մակերեսն է, G -ն՝ չափարաժնի գանգվածը, L -ը՝ խցիկի երկարությունը, S -ը՝ դրոշմի ընթացքը, μ -ն՝ ինտեգրալային լոգարիթմի ֆունկցիայի սրմվողը:

Այդ բանաձևը դուրս է բրիգած դրոշմային մամլիչների համար, սակայն որոշ ձևափոխություններ կատարելուց հետո այն կարող է կիրառվել բրիկետավորման օղակային մամլիչներում բրիկետավորման գործընթացի տեսակարար էներգատարության որոշման համար:

Դրոշմային մամլիչներում բրիկետների խցիկից դուրս հանման տեսակարար էներգիան կարելի է որոշել հետևյալ բանաձևով [50].

$$A_r = \frac{U}{G} \left[\frac{U}{f\varepsilon} \left(p + \frac{q_0}{\varepsilon} \right) \left(1 - e^{-\frac{f\varepsilon}{U} h} \right) - \frac{q_0}{\varepsilon} h \right],$$

որտեղ՝ p -ն ճնշումն է դրոշմի վրա բրիկետների դուրս հրման պահին, h -ը՝ բրիկետների դուրս հրման ընթացքում դրոշմի ընթացքը:

Սակայն նշված բանաձևը օղակած մամլիչների դեպքում չի կարող օգտագործվել, քանի որ հաշվի չի առնված նյութի շփումը նախախցիկի կողային պատերի հետ:

Օղակային մամլիչներում, բացի զանգվածը սեղմելու և խցիկի մեջ մտցնելու էներգիայից, էներգիա է ծախսվում նաև զանգվածը առանձին չափարաժններով կտրելու վրա: Կատարված աշխատանքներում այդ էներգիան հաշվի չի առնված:

Ստացվող բրիկետների որակական ցուցանիշները (խտություն, ամրություն) կախված են նաև խոտի տեսակից, մանրացման աստիճանից և խոնավությունից:

Գյուղատնտեսական կերարտադրության մեջ օգտագործվում են նի շարք խոտատեսակներ: Այդ խոտատեսակները ունեն տարբեր ֆիզիկո-մեխանիկական հատկություններ, որոնք խիստ ձևով ազդում են բրիկետավորման

գործընթացի վրա: Օրինակ՝ հետազոտությունները [46, 53] ցոյց են տվել, որ առավել լավ են բրիկետավորվում առվույտը և երեքնուկը: Ցործուկը ավելի դժվար է բրիկետավորվում, քան առվույտը, և ավելի հեշտ՝ քան ծոլոտը: Այդ բացատրվում է նրանով, որ հացազգի բույսերը, որոնք բավական առաձգական են, սեղման ժամանակ պահանջում են ավելի մեծ ճնշում, քան բակլազգիները, որոնց շարքին են դասվում առվույտը և երեքնուկը [112]:

Բրիկետավորման համար ներկայում առավելապես օգտագործում են բակլազգի խոտաբույսերը, մասնավորապես առվույտը:

Խոտի մանրացման աստիճանը կարևոր դեր է խաղում ինչպես օպտիմալ խտության բրիկետներ ստանալու, այնպես էլ անասունների կողմից բրիկետների ուտելիության տեսակետից:

Մի շարք հետազոտողների ուսումնասիրությունները [50,55,74,98,65] ցոյց են տվել, որ մանրացված խոտից պատրաստված բրիկետները ըստ չափերի, ձևի և խտության առավել հաճախեն են, քան ամբողջական խոտից պատրաստված բրիկետները: Սակայն ամբողջական խոտից պատրաստված բրիկետների ամրությունը շատ ավելի բարձր է, քան մանրացված խոտից պատրաստված բրիկետներինը: Նշենք նաև, որ ամբողջական խոտից բրիկետների ստացման վրա ծախսվում է ավելի շատ էներգիա, քան մանրացվածից:

Պարզվել է, որ նորմալ ամրության և խտության բրիկետներ ստանալու համար կտրված խոտի ներկարությունը պետք է գերազանցի խցիկի լայնությունը 1,2 անգամ:

Խոտի խոնավությունը բրիկետավորման անհրաժեշտ ճնշման և գործընթացի կայունության վրա ազդող կարևոր գործոններից մեկն է, որն ազդում է նաև ստացվող բրիկետների խտության և ամրության վրա:

Գրականության վերլուծությունը [51,74,102,112] ցոյց է տալիս, որ ամուր և անհրաժեշտ խտության բրիկետներ ստանալու համար խոտի առավել ընդունելի խոնավությունը պետք է գտնվի 16+23%-ի սահմաններում:

Համաձայն 1971թ. հաստատված ազրողութեխնիկական պահանջների [83], բրիկետավորումից առաջ խոտի խոնավությունը պետք է գտնվի 12+18%-ի սահմաններում:

Ինչպես արդեն նշվել է՝ բրիկետավորումը խոտի նախապատրաստման լավագույն եղանակներից մեկն է: Իր առավելությունների շնորհիվ բրիկետավորումը խոտի նախապատրաստման հեռանկարային ուղղություններից է:

Մեր հանրապետության պայմաններում, որտեղ կիման բազմաբնույթ է, կիրառելի են և բնական, և արհեստական չորացված խոտի բրիկետավորման տեխնոլոգիաները:

Բնական չորացված խոտի բրիկետավորումը իրականացվում է շարժական բրիկետավորող մեքենաներով, որոնց մերկայացվող հիմնական պահանջներն են՝ մերենայի միավոր զանգվածի հաշվով բարձր արտադրողականությունը, կոմպակտությունը և ցածր մետաղատարությունը: Այդ տեսակներից շարժական բրիկետավորող մեքենաներում նպատակահարմար է օդակածն աշխատանքային օրգանների կիրառությունը:

Կատարելագործված բրիկետավորող մեքենաների ստեղծման համար, որը նվազագույն էներգետիկ ծախսումներով կապահովի պահանջվող արտադրողականություն, անհրաժեշտ է ուսումնասիրել բրիկետավորման գործընթացը օդակային աշխատանքային օրգաններում և որոշել նրա օպտիմալ պարամետրերը:

Օդակածն աշխատանքային օրգանները հետազոտվել են մի շարք հետազոտողների կողմից [32,33,87,88], որոնց ուսումնասիրությունները նվիրվել են հիմնականում հոլովակի կողմից խոտի սեղմնան գործընթացին և հոլովակի ու մատրիցային օդակի երկրաչափական պահամետրերի ճշտմանը: Սակայն բրիկետավորման գործընթացի էներգատարությունը և ստացված բրիկետների որակական ցուցանիշները խստորեն կախված են սեղմնան խցիկի ծկից և պարամետրերից:

Դրոշմային մամլիչների բաց սեղմնան խցիկները հետազոտվել են և տեսականորեն, և փորձնականորեն, ինչպես նաև տրվել է նրանց հաշվարկման

մեթոդիկան [57]: Սակայն նշենք, որ այդ սեղմնան խցիկների կիրառությունը օդակածն մամլիչներում նպատակահարմար չէ նրանց երկար լինելու պատճառով: Խցիկների երկարությունը հնարավոր է կարճացնել նրանց պատերին բերություն տալու շնորհիվ, և ստացվում են կրնածն, բրգածն կամ սեպածն խցիկներ: Այդ դեպքում անհրաժեշտ է հաշվի առնել նյութի լայնական դեֆորմացիան և խցիկի առանցքով նորմալ կողային ճնշումների բաղադրիչները, որոնք մեծացնում են խցիկում դիմադրությունը: Այդպիսի սեղմնան խցիկները չեն հետազոտվել ոչ տեսականորեն, ոչ փորձնականորեն:

Չեն լուծված նաև հավաքիչ-մանրատիչից բրիկետավորման մամլիչներն խոտի մատուցման, նախնական խոնավացման և բրիկետների հովացման հարցերը:

Ներկայացվող աշխատանքի նպատակն է հիմնավորել բրիկետավորող մեքենաների պարամետրերը և մշակել դրանց հաշվարկման մեթոդիկա:

2. ԲՐԻԿԵՏԱՎՈՐՄԱՆ ՄԵՔԵՆԱՍԵՐԻ ՍԽԵՄԱՆԵՐԻ ՄՇԱԿՈՒՄԸ

Բրիկետավորման մեքենաների ընտրությունը մեծապես կախված է բնակչության պայմաններից:

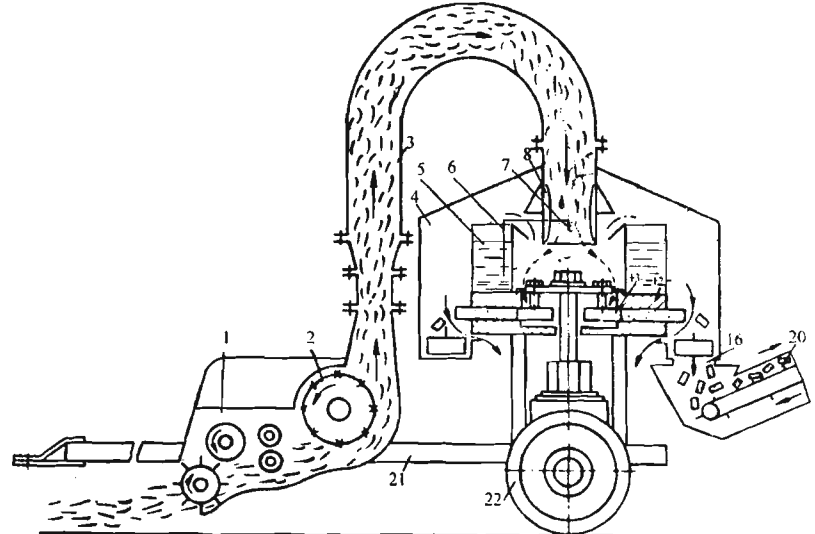
Հայաստանի Հանրապետության կլիման բազմանույթ է, և հնարավոր է կիրառել խոտի բրիկետավորման տարբեր տեխնոլոգիաներ: Առավել բարենպաստ կլիմա ունեցող շրջաններում, որտեղ հնարավոր է խոտի չորացումը լասերում, կիրառելի են շարժական մեքենաներով խոտի բրիկետավորման տեխնոլոգիան, իսկ այն շրջաններում, որտեղ խոտի չորացումը լասերում հնարավոր չէ՝ կիրառելի է ստացիոնար մեքենաներով խոտի բրիկետավորման տեխնոլոգիան:

2.1. ԾԱՐԺԱԿԱՆ ԲՐԻԿԵՏԱՎՈՐՄԱՆ ՄԵՔԵՆԱՍԵՐԻ ՍԽԵՄԱՆԵՐԻ ՄՇԱԿՈՒՄԸ

Ելեկով առկա գրականության վերլուծությունից և հաշվի առնելով գոյություն ունեցող մեքենաների թերություններն ու առավելությունները, մեր կողմից առաջարկել է շարժական բրիկետավորման մեքենա, որը պաշտպանվել է ԽԱՀՄ հեղինակային վկայականներով [9,10] և Հայաստանի Հանրապետության արտօնագրով [6]:

Առաջարկության էությունն այն է. որ խոտի բրիկետավորմող մեքենան բաղկացած է խոտի հավաքիչից, մանրատիչից, մատուցման պնձմատիկ հարմարանքից, ցիկլոնից, շառավիրային խցիկներով օղակային մատրիցայից, մամլող հոլովակներից և բրիկետներ տեղափոխող օղակած փոխադրիչից, ընդ որում՝ ցիկլոնի ներքին իրանը ունի ջրային շապիկ, իսկ ցիկլոնի մատուցող խողովակում տեղակայված են դիֆուզորը և ջրային շապիկին միացած ծայրապանակով ջրախողովակը:

Առաջարկության էությունը պարզաբանվում է նկ. 2-ում և նկ. 3-ում բերված գծագրերով, որտեղ պատկերված են խոտի բրիկետավորման մեքենան և բրիկետավորման մանիչի հանգույցը:

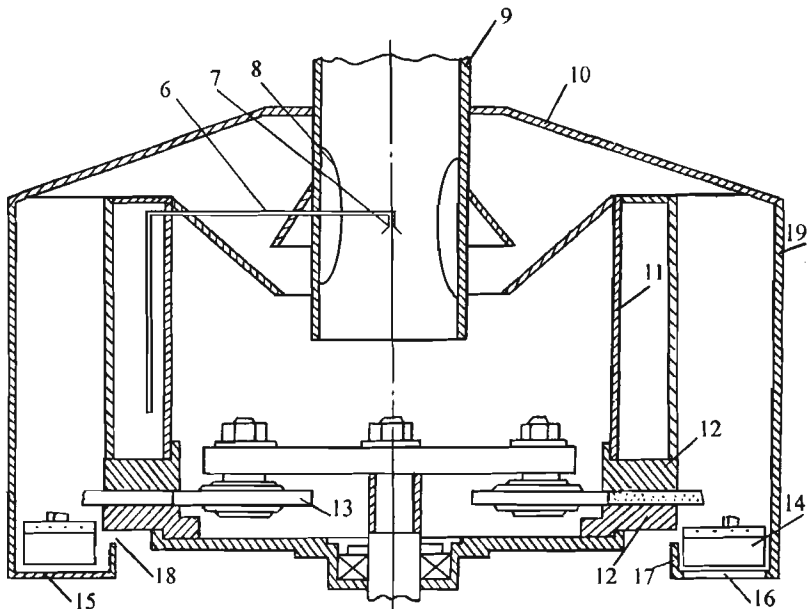


Նկ. 2. Շարժական բրիկետավորման մեքենայի սխեման:

Խոտի բրիկետավորման մեքենան բաղկացած է խոտհավաքիչից (1), որի մանրացնող հարմարանքի (2) ելքի անցքը պնձմատիկ մեխանիզմի (3) միջոցով միացված է ցիկլոնի (4) խողովակին (9):

Ցիկլոնի ներքին գլանած իրանը (5) պատրաստված է ջրային շապիկի տեսքով և մոնտաժված է մատրիցային օղակից (12) և մամլող հոլովակներից (13) բաղկացած բրիկետավորման մամլիչի վերևի մասում: Ջրային շապիկից դուրս է գալիս ջրի խողովակ (6), որի ծայրին դրված ծայրապանակը (7) տեղակայված է ցիկլոնի խողովակի (9) կենտրոնում: Ցիկլոնի խողովակի տվյալ հատվածում օղի արագության մեծացման նպատակով տեղակայված է կոնֆուզորը (8): Ցիկլոնի արտաքին գլանած իրանը (19) պատրաստված է բրիկետների տեղափոխման օղակային փոխադրիչի արտաքին գլանած պատի հետ համատեղ: Բրիկետների տեղափոխման օղակային փոխադրիչը իր մեջ ընդգրկում է քերիչները (14), անցքը (16) հատակը (15) և ներքին գլանած պատը (17), որի վերին մասի և մատրիցային օղակի (12) ներքևի հիմքի միջև

թողնված է գլանաձև բացակ (18), աշխատած օդ լուրս մղման համար: Բրիկետների օդակային փոխադրիչը հատակի անցքի (16) միջոցով միացված է թեր բեռնարափող փոխադրիչին (20): Նշված հանգույցները մոնտաժվում են ընթացքային անհվանելի (22) վրա տեղակայված մեկ ընդհանուր շրջանակի (21) վրա, որը կցվում է տրակտորին:



Նկ.3. Բրիկետավորման հանգույցի սխեման:

Խոտի բրիկետավորման մեքենան աշխատում է հետևյալ կերպ:

Չարժվելով լաշտովկ, մեքենայի խոտհավաքիչը (1) չորացած խոտը լասերից հավաքելով, մանրացնող հարմարանքով (2) մանրացնում և պնևմատիկ մեխանիզմի (3) միջոցով օդային հոսքի հետ մատուցում է ցիկլոնի խողովակին (9): Ցիկլոնի խողովակում (9) տեղակայված կոնֆուզորում (8) օդային հոսքի արագությունը մեծանում է՝ առաջացնելով ճնշումների տարրերություն խողովակի (9) տվյալ կտրվածքի և ջրային շապիկում ջրի մակարդակի միջև, որի շնորհիվ ջուրը ջրային շապիկից (5) խողովակով (6) և

ծայրապանակով (7) բարձրանում և խառնվում է օդային հոսքին: Ցիկլոնի խողովակում (9) ջուրը, խառնվելով օդային հոսքին ու փոշիանալով, խոնավացնում է խոտի մանրացված զանգվածը: Մանրացված խոտը, օդային հոսքի հետ միասին, խողովակից (9) տրվում է ցիկլոնի (4) ներքին իրան (11), որտեղ տեղի է ունենում օդային հոսքի և բրիկետավորվող նյութի բաժանում: Այնուհետև առանձնացված և ամիրաժեշտ չափով խոնավացած բրիկետավորվող նյութը տրվում է օդակային մատրիցայի (12) խոռոչ, որտեղ կառչվելով մամլող հղովակների (13) կողմից սեղմում է սեղման խցիկներ: Սեղման խցիկներից դուրս եկող բրիկետները օդակային փոխադրիչի թերիչների (14) միջոցով հավաքվում և փոխադրիչի անցքով (16) տրվում են թեր բեռնարափող փոխադրիչին (20) ու բարձրանում փոխադրամիջոցները:

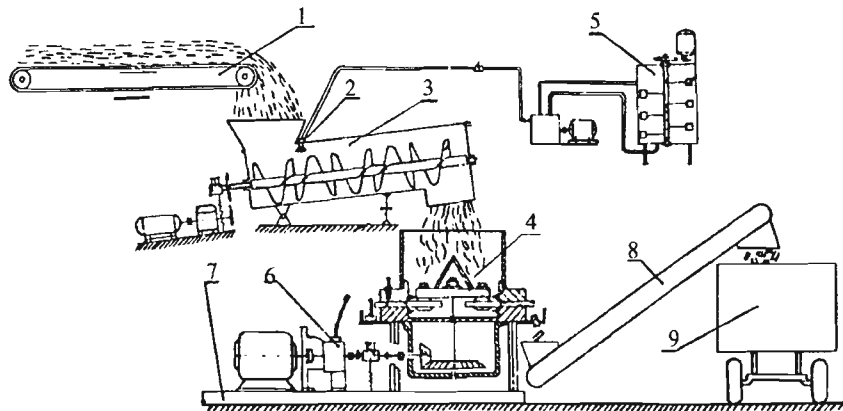
Զանգվածի բաժանման արդյունքում առանձնացված օդային հոսքը անցներլով ներքին (11) և արտաքին (19) իրաններով կազմված ցիկլոնի (4) խոռոչով հովացնում է օդակային մատրիցայի արտաքին մակերևույթը և ստացված բրիկետները: Բրիկետների հովացմանը նպաստում է նաև ջրային շապիկում (5) եղած ջրի պարունակությունը: Օգտագործված օդի ելքը մքնողությունը իրականացվում է օդակային փոխադրիչի ներքին գլանային պատի (17) և մատրիցային օդակի (12) ներքևի միջև եղած գլանային բացակով (18):

Խոտի բրիկետավորման այս մեքենան հնարավորություն է տալիս բրիկետավորումը կատարել անմիջապես դաշտում, լասերում չորացված խոտից: Բրիկետավորումից առաջ զանգվածը խոնավացվում է, իսկ ստացված բրիկետները հովացվում են՝ նախատեսված ազրողութեանիկան պահանջմերին համապատասխան:

2.2. ԱՏԱՑԻՈՆԱՐ ԲՐԻԿԵՏԱՎՈՐՄԱՆ ՄԵՔԵՆԱՅԻ ՍԽԵՄԱՅԻ ՄՇԱԿՈՒՄԸ

Այն շրջաններում, որտեղ անհնար է խոտի բնական չորացումը, նպատակահարմար է ստացիոնար եղանակով բրիկետավորման տեխնոլոգիայի կիրառությունը: Ստացիոնար եղանակով բրիկետավորման տեխնոլոգիան

կարելի է ներկայացնել Ակ. 4-ում բերված սխեմայով: Ստացիոնար եղանակով բրիկետավորման տեխնոլոգիական գիծն իր մեջ ընդգրկում է՝ խոտի մատուցման փոխադրիչը (1), օգտակար խառնուրդներով լուծույթի կամ ջրի մատուցման համակարգը (2), կերախառնիչը (3), բրիկետավորող մամլիչը (4), լուծույթի խառնիչ-չափավորիչը (5), բրիկետավորող մամլիչի հաղորդակը (6), շրջանակը (7), բրիկետների փոխադրիչը (8), փոխադրամիջոցը (9):



Ակ. 4. Ստացիոնար եղանակով խոտի բրիկետավորման տեխնոլոգիական սխեման. 1) խոտի մատուցման փոխադրիչ, 2) օգտակար խառնուրդներով լուծույթի կամ ջրի մատուցման համակարգ, 3) կերախառնիչ, 4) բրիկետավորող մամլիչ, 5) լուծույթի խառնիչ չափավորիչ, 6) բրիկետավորման մամլիչի հաղորդակ, 7) շրջանակ, 8) բրիկետների փոխադրիչ, 9) փոխադրամիջոց:

Ստացիոնար եղանակով խոտի բրիկետավորման տեխնոլոգիայի կիրառությունը հնարավորություն է տալիս ստանալ լիառացիոն կերեր՝ բրիկետավորող զանգվածը նախապես հարստացնելով միկրոհավելումներով:

Մանրացված խոտը և միկրոխառնուրդները փոխադրիչի (1) և լուծույթի մատուցման համակարգի (2) միջոցով արվում են խառնիչին (3), որտեղ խառնվելով և համասեռ զանգվածի վերածվելով տրվում են բրիկետավորման օղակածես մամլիչին (5): Մամլիչից դուրս եկած բրիկետները հավաքվում և փոխադրիչի (8) միջոցով բարձվում են փոխադրամիջոցները (9):

Խոտի բրիկետավորման ինչպես շարժական, այնպիս էլ ստացիոնար մեքենաների օգտագործմամբ տեխնոլոգիաներում հիմանական աշխատանքային օրգանը բրիկետավորման օղակածես մամլիչն է, իսկ անհրաժեշտ ամրության և խտության բրիկետների ստացման գրավական են սեղմնան խցիկների և օղակածես մամլիչի պարամետրերի ճիշտ ընտրությունը:

Շարժական բրիկետավորման մեքենաներում անհրաժեշտ է ապահովել բրիկետավորվող զանգվածի անընդհատ մատուցում և նախանական խոնավացում: Բրիկետների պահանջվող որակական ցուցանիշներ ապահովելու նպատակով անհրաժեշտ է նախատեսնել բրիկետների հովացման հնարավորությունները: Սեղմնան խցիկներից դուրս եկած սեղմված զանգվածը առանձին բրիկետների բաժանելու, ստացված բրիկետները հավաքերու և փոխադրամիջոցները բարձելու նպատակով անհրաժեշտ է մշակել բրիկետների ջարդիչ-փոխադրիչ:

Ելնելով վերը նշվածից, բրիկետավորման մեքենաների նախագծման համար անհրաժեշտ է կատարել հետևյալ հանգույցների հետազոտություն և պարամետրերի ճշտում:

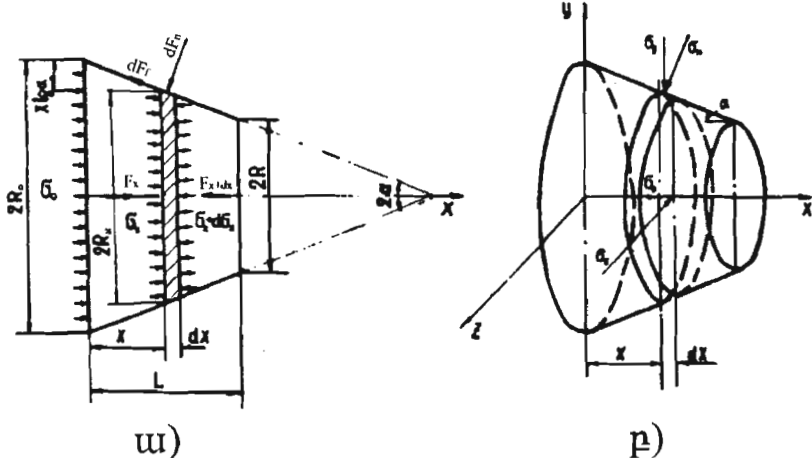
1. սեղմնան խցիկերի,
2. մատրիցային օղակի և հոլովակների,
3. խոտի մատուցման պմևմատիկ համակարգի,
4. խոտի նախանական խոնավացման համակարգի,
5. բրիկետների հովացման համակարգի,
6. բրիկետների ջարդիչ-փոխադրիչի:

Հետազոտությունների հիման վրա պետք է մշակել բրիկետավորող մեքենաների հաշվարկի մեքողիկա:

3. ԲՐԻԿԵՏԱՎՈՐՄԱՆ ԳՈՐԾԵՆԹԱՑՅ ՍԵՂՄՄԱՆ ԽՑԻԿՆԵՐՈՒՄ

3.1.ԿՈՆԱԿԱՆ ՍԵՂՄՄԱՆ ԽՑԻԿՆԵՐ

Բրիկետավորման համար պահանջվող ճնշման փոփոխության օրինաչափությունները (կախված բրիկետավորվող նյութի ֆիզիկո-մեխանիկական հատկություններից և սեղմման խցիկի չափերից) որոշելու համար դիտարկենք կոնական սեղմման խցիկը, որը պատկերված է նկ. 5-ում:



Նկ. 5. Կոնական սեղմման խցիկի և նրանում ուժերի բաշխման սխեման:

Հնդունում ենք, որ բրիկետավորվող նյութը համասեռ է և խցիկի լայնական կտրվածքում ճնշումը բաշխվում է հավասարաչափ:

Սեղմման խցիկի պարամետրերն են. մուտքի կտրվածքի շառավիղը՝ R_0 , ելքի կտրվածքի շառավիղը՝ R , խցիկի երկարությունը՝ L և երկայնական առանցքի նկատմամբ խցիկի պատերի թերության անկյունը՝ α : Նյութը խցիկի մեջ սեղմվում է ս ճնշման տակ:

Խցիկի մուտքի կտրվածքից խեռավորության վրա առանձնացնենք բրիկետավորվող նյութի dx հաստությամբ տարրական շերտ և դիտարկենք նրա հավասարակշռությունը: Այդ շերտի վրա ազդում են հետևյալ ուժերը.

1. Նորմալ ուժը՝

$$dF_n = \sigma_n 2\pi (R_0 - xt g \alpha) \frac{dx}{\cos \alpha}, \quad (1)$$

որտեղ՝ σ_n -ը կողային ճնշումն է, այսինքն ճնշումն է խցիկի պատերի վրա, R_0 -ը՝

տարրական շերտի հիմքի շառավիղը՝ $R_x = (R_0 - xt g \alpha)$:

2. Ըփման ուժը՝

$$dF_f = \sigma_n \pi (R_0 - xt g \alpha) \frac{dx}{\cos \alpha} 2f, \quad (2)$$

որտեղ՝ f -ը նյութի և խցիկի պատերի միջև եղած շվաման գործակիցն է:

3. Մուտքի կտրվածքից խեռավորության վրա առանցքային ուժը՝

$$F_x = \sigma_n \pi (R_0 - xt g \alpha)^2, \quad (3)$$

որտեղ՝ σ_n -ը մուտքի կտրվածքից խեռավորության վրա առանցքային ճնշումն է:

4. Մուտքի կտրվածքից խեռավորության վրա առանցքային հավասարակշռող ուժը՝

$$F_{x+dx} = (\sigma_n + d\sigma_n) \pi (R_0 - xt g \alpha)^2, \quad (4)$$

որտեղ՝ $d\sigma_n$ -ը dx երկարության վրա առանցքային ճնշման փոփոխությունն է:

Վերը նշված ուժերը պրոյեկտելով խցիկի երկայնական առանցքի վրա և նրանց գումարը հավասարեցնելով գրոյի, կստանանք տարրական շերտի հավասարակշռության պայմանը.

$$F_x - F_{x+dx} - dF_f \cos \alpha - dF_n \sin \alpha = 0, \quad (5)$$

կամ

$$\sigma_n \pi (R_0 - xt g \alpha)^2 - (\sigma_n + d\sigma_n) \pi (R_0 - xt g \alpha)^2 - 2\pi f \sigma_n (R_0 - xt g \alpha) dx - 2\pi \sigma_n (R_0 - xt g \alpha) g \alpha \cdot dx = 0: \quad (6)$$

Որոշ ձևափոխություններից հետո, կստանանք.

$$\frac{d\sigma_n}{dx} + \frac{2\sigma_n (f + t g \alpha)}{R_0 - xt g \alpha} = 0: \quad (7)$$

Այնուհետև որոշում ենք σ_n կողային ճնշումը: Նկ.5բ - ից երևում է, որ

$$\sigma_n = \sigma_x \sin \alpha + \sigma_y \cos \alpha, \quad (8)$$

որտեղ՝ σ_y -ը խցիկի պատերի վրա նյութի շառավղային ճնշումն է:

$$\text{Իր հերթին, } \sigma_y = \sigma_{y1} + q_0, \quad (9)$$

որտեղ՝ σ_{vi} -ը շառավղային ուղղությամբ դեֆորմացիայից առաջացած ճնշումն է:

Բավական ճշգրտությամբ կարելի է ենթադրել, որ սեղմման խցիկում սեղմված խոտը իրեն դրսերում է որպես առածգական նյութ, հետևաբար առածգականության տեսության համաձայն կարող ենք գրել.

$$dy = dz = \frac{x \operatorname{tg} \alpha}{R_0} = \frac{1}{E} [\sigma_{vi} - \mu(\sigma_x + \sigma_z)], \quad (10)$$

որտեղ՝ dy -ը և dz -ը համապատասխանաբար յ և չ առանցքների նկատմամբ նյութի հարաբերական դեֆորմացիաներն են (նկ. 5բ), $x \operatorname{tg} \alpha$ -ն՝ յ առանցքով նյութի բացարձակ դեֆորմացիան, E -ն՝ սեղմված նյութի առածգականության մոդուլը, α_z -ը՝ չ առանցքի ուղղությամբ առաջացող ճնշումը, μ -ն՝ Պուասոնի գործակիցը:

Քանի որ $\sigma_{vi} = \sigma_v$, ապա.

$$\sigma_{vi} = \frac{Ex \operatorname{tg} \alpha}{R_0(1-\mu)} + \frac{\mu}{1-\mu} \sigma_v; \quad (11)$$

(11) հավասարումը տեղադրելով (9)-ի մեջ, (9)-ը՝ (8)-ի մեջ և (8)-ը՝ (7)-ի մեջ, կստանանք՝

$$\begin{aligned} & \frac{d\sigma_v}{dx} + \frac{2(f + \operatorname{tg} \alpha)(\varepsilon + \operatorname{tg} \alpha)\sigma_v \cos \alpha}{R_0 - x \operatorname{tg} \alpha} + \\ & + \frac{2(f + \operatorname{tg} \alpha) \frac{Ex \operatorname{tg} \alpha}{R_0(1-\mu)} + 22(f + \operatorname{tg} \alpha)q_0 \cos \alpha}{R_0 - x \operatorname{tg} \alpha} = 0, \end{aligned} \quad (12)$$

որտեղ՝ ε -ը կողային ճնշման գործակիցն է, $\varepsilon = \frac{\mu}{1-\mu}$:

Կատարենք հետևյալ նշանակումները՝

$$\begin{aligned} A_1 &= 2(f + \operatorname{tg} \alpha)(\varepsilon + \operatorname{tg} \alpha) \cos \alpha, \\ A_2 &= 2(f + \operatorname{tg} \alpha) \frac{E \sin \alpha}{R_0(1-\mu)}, \\ A_3 &= 2(f + \operatorname{tg} \alpha) \cos \alpha: \end{aligned} \quad (13)$$

(12) հավասարումը կը ներդունի հետևյալ տեսքը.

$$\frac{d\sigma_v}{dx} + \frac{A_1}{R_0 - x \operatorname{tg} \alpha} \sigma_v = -\frac{A_2 x + A_3 q_0}{R_0 - x \operatorname{tg} \alpha}: \quad (14)$$

(14) արտահայտությունն իրենից ներկայացնում է առաջին կարգի գծային դիֆերենցիալ հավասարում, որի լուծման համար աջ մասը հավասար է զրոյի:

$$\frac{d\sigma_v}{dx} + \frac{A_1}{R_0 - x \operatorname{tg} \alpha} = 0: \quad (15)$$

(15) արտահայտությունը իրենից ներկայացնում է բաժանվող փոփոխականներով հավասարում, որը, որոշ ձևափոխություններից հետո, կը ներդունի հետևյալ տեսքը՝

$$\frac{d\sigma_v}{dx} = -A_1 \frac{\sigma_v}{R_0 - x \operatorname{tg} \alpha}; \quad (16)$$

(16) հավասարման լուծումը կլինի՝

$$\sigma_v = c(R_0 - x \operatorname{tg} \alpha)^{\frac{A_1}{\operatorname{tg} \alpha}}: \quad (17)$$

(17) արտահայտության մեջ շատատունը փոխարինում ենք Ս անհայտ ֆունկցիայով [27].

$$\sigma_v = U(R_0 - x \operatorname{tg} \alpha)^{\frac{A_1}{\operatorname{tg} \alpha}}: \quad (18)$$

(18) ֆունկցիայի առաջին կարգի ածանցյալը կլինի.

$$\frac{d\sigma_v}{dx} = \frac{dU}{dx} (R_0 - x \operatorname{tg} \alpha)^{\frac{A_1}{\operatorname{tg} \alpha}} - UA_1 (R_0 - x \operatorname{tg} \alpha)^{\frac{A_1-1}{\operatorname{tg} \alpha}}: \quad (19)$$

(18) և (19) հավասարումները տեղադրելով (14) հավասարման մեջ և կատարելով որոշ ձևափոխություններ, կստանանք՝

$$\frac{dU}{dx} = \frac{A_2 x - A_1 x}{(R_0 - x \operatorname{tg} \alpha)^{\frac{A_1+1}{\operatorname{tg} \alpha}}}: \quad (20)$$

Ինտեգրելով (20) հավասարումը, կստանանք՝

$$U = -\left(\frac{A_2 R_0}{A_1 \operatorname{tg} \alpha} - \frac{q_0}{\varepsilon + \operatorname{tg} \alpha} \right) (R_0 - x \operatorname{tg} \alpha)^{\frac{A_1}{\operatorname{tg} \alpha}} - \frac{A_2 (R_0 - x \operatorname{tg} \alpha)^{\frac{A_1}{\operatorname{tg} \alpha}}}{\operatorname{tg} \alpha (\operatorname{tg} \alpha - A_1)} + c_1: \quad (21)$$

(21) հավասարումը տեղադրելով (18)-ի մեջ, կստանանք՝

$$\sigma_v = -\frac{A_2 R_0}{A_1 \operatorname{tg} \alpha} - \frac{q_0}{\varepsilon + \operatorname{tg} \alpha} - \frac{A_2 (R_0 - x \operatorname{tg} \alpha)}{\operatorname{tg} \alpha (\operatorname{tg} \alpha - A_1)} + c_1 (R_0 - x \operatorname{tg} \alpha)^{\frac{A_1}{\operatorname{tg} \alpha}}: \quad (22)$$

c_1 հաստատունը որոշում ենք ելեկով սկզբնական պայմաններից, եթե $x=0$, $\sigma_v = \sigma_0$.

$$\sigma_0 = -\frac{A_2 R_0}{A_1 \operatorname{tg} \alpha} - \frac{q_0}{\varepsilon + \operatorname{tg} \alpha} - \frac{A_2 R_0}{\operatorname{tg} \alpha (\operatorname{tg} \alpha - A_1)} + c_1 R_0^{\frac{A_1}{\operatorname{tg} \alpha}}, \quad (23)$$

որաեղից՝

$$c_i = \left(\frac{1}{R} \right)^{\frac{A_1}{\eta \alpha}} \left[\sigma_0 - \frac{A_2 R_0}{A_1 (A_1 - \operatorname{tg} \alpha)} + \frac{q_0}{\varepsilon + \operatorname{tg} \alpha} \right]; \quad (24)$$

Այնուհետև (24) հավասարումը տեղադրելով (22)-ի մեջ, կստանանք՝

$$\begin{aligned} \sigma_x &= \frac{A_2 (R_0 - x \operatorname{tg} \alpha)}{A_1 (A_1 - \operatorname{tg} \alpha)} + \left[\sigma_0 - \frac{A_2 R_0}{A_1 (A_1 - \operatorname{tg} \alpha)} \right] \left(1 - \frac{x \operatorname{tg} \alpha}{R_0} \right)^{\frac{A_1}{\eta \alpha}} + \\ &+ \frac{q_0}{\varepsilon + \operatorname{tg} \alpha} \left[\left(1 - \frac{x \operatorname{tg} \alpha}{R_0} \right)^{\frac{A_1}{\eta \alpha}} - 1 \right]; \end{aligned} \quad (25)$$

(25) հավասարումը արտահայտում է կոնական սեղմման խցիկի առանցքի երկայնքով առանցքային ճնշման բաշխման օրինաչափությունը:

α անկյունը հավասարեցնելով զրոյի, (25) արտահայտությունը կարելի է ձևափոխել, դարձնելով կիրառելի գլանային սեղմման խցիկների համար, որի համար օգտվում ենք սահմանների տեսությունից:

Եթե $\alpha \rightarrow 0$, σ_x ֆունկցիայի սահմանը կլինի.

$$\begin{aligned} \lim_{\alpha \rightarrow 0} \sigma_x &= \lim_{\alpha \rightarrow 0} \frac{A_2 (R_0 - A_1 x)}{A_1 (A_1 - \operatorname{tg} \alpha)} + \lim_{\alpha \rightarrow 0} \left[\sigma_0 - \frac{A_2 R_0}{A_1 (A_1 - \operatorname{tg} \alpha)} \right] \left(1 - \frac{\operatorname{tg} \alpha}{R} x \right)^{\frac{A_1}{\eta \alpha}} + \\ &+ \lim_{\alpha \rightarrow 0} \frac{q_0}{\varepsilon + \operatorname{tg} \alpha} \left[\left(1 - \frac{x \operatorname{tg} \alpha}{R_0} \right)^{\frac{A_1}{\eta \alpha}} - 1 \right]; \end{aligned} \quad (26)$$

Սակայն, քանի որ $\alpha = 0$ -ի դեպքում $A_1 = 2f\varepsilon$ և $A_2 = 0$, ապա՝

$$\lim_{\alpha \rightarrow 0} \sigma_x = \sigma_0 \lim_{\alpha \rightarrow 0} \left(1 - \frac{\operatorname{tg} \alpha}{R_0} x \right)^{\frac{A_1}{\eta \alpha}} + \lim_{\alpha \rightarrow 0} \frac{q_0}{\varepsilon} \left[\left(1 - \frac{\operatorname{tg} \alpha}{R_0} x \right)^{\frac{A_1}{\eta \alpha}} - 1 \right]; \quad (27)$$

(27) հավասարման $\lim_{\alpha \rightarrow 0} \left(1 - \frac{\operatorname{tg} \alpha}{R_0} x \right)^{\frac{A_1}{\eta \alpha}}$ անդամը կարող ենք ներկայացնել հետևյալ տեսքով՝ $\lim_{\alpha \rightarrow 0} (1+n)^{\frac{c}{n}} = e^c$, այսինքն՝

$$\lim_{\alpha \rightarrow 0} \left(1 - \frac{\operatorname{tg} \alpha}{R_0} x \right)^{\frac{A_1}{\eta \alpha}} = \lim_{\alpha \rightarrow 0} \left[1 + \left(1 - \frac{\operatorname{tg} \alpha}{R_0} x \right)^{\frac{-A_1 x}{R_0}} \right]^{\frac{-A_1 x}{R_0}} = e^{-\frac{A_1 x}{R_0}}; \quad (28)$$

(28) հավասարումը տեղադրելով (26)-ի մեջ, կունենանք՝

$$\sigma_x = \sigma_0 e^{\frac{-2f\varepsilon}{R_0}} + \frac{q_0}{\varepsilon} \left(e^{\frac{-2f\varepsilon}{R_0}} - 1 \right); \quad (29)$$

(29) արտահայտությունը լիովին համընկնում է գլանային սեղմման խցիկների առանցքի երկայնքով առանցքային ճնշման բաշխման օրինաչափությունների հետ, որոնք ստացվել են տարբեր հետազոտողների կողմից [13,20]:

Ենթելով այն պայմանից, որ խցիկի ելքում առանցքային σ_x ճնշումը հավասար է զրոյի, (25) արտահայտությունից որոշում ենք σ_0 ճնշումը, որը անհրաժեշտ է L երկարությամբ խցիկից բրիկետավորվող նյութը դեպի դուրս սեղմելու համար: Այսինքն $\sigma_0 = 0$ դեպքում (25) արտահայտությունը կարելի է գրել հետևյալ տեսքով.

$$\sigma_0 = \left[\frac{q_0}{\varepsilon + \operatorname{tg} \alpha} - \frac{A_2 R_0}{A_1 (A_1 - \operatorname{tg} \alpha)} \right] \left[\left(1 - \frac{L \operatorname{tg} \alpha}{R_0} \right)^{\frac{A_1}{\eta \alpha}} - 1 \right] + \frac{A_2}{A_1 - \operatorname{tg} \alpha} \left(1 - \frac{L \operatorname{tg} \alpha}{R_0} \right)^{\frac{A_1}{\eta \alpha}}; \quad (30)$$

Գլանային սեղմման խցիկների համար, եթե $\alpha = 0$, համապատասխան ձևափոխություններից հետո, (27) հավասարումից կունենանք՝

$$\sigma_0 = \frac{q_0}{\varepsilon} \left(e^{\frac{2f\varepsilon L}{R_0}} - 1 \right); \quad (31)$$

(30) արտահայտության մեջ խցիկի մուտքի կտրվածքի R_0 շառավիղը կարելի է արտահայտել խցիկի ելքի շառավիղով, այսինքն ստացվող բրիկետի շառավղով՝

$$R_0 = R + L \operatorname{tg} \alpha; \quad (32)$$

Պարզեցման համար մտցնենք $\lambda = \frac{L}{R}$ մեծությունը և (30) հավասարման

մեջ տեղադրելով (32) և (13) հավասարումները, կստանանք L երկարության կոնական խցիկներում բրիկետավորման համար անհրաժեշտ առանցքային σ_0 ճնշման որոշման վերջնակամ արտահայտությունը.

$$\sigma_0 = \frac{1}{\varepsilon + i g \alpha} \left[q_0 - \frac{E}{(1-\mu)(f+ig\alpha)(\varepsilon+ig\alpha)\cos\alpha - ig\alpha} \right] \cdot \\ \cdot \left[(1-\lambda g \alpha) \frac{\varepsilon(f+ig\alpha)(\varepsilon+ig\alpha)\cos\alpha - ig\alpha}{ig\alpha} - 1 \right] + \frac{2(f+ig\alpha)E\lambda \sin\alpha}{(1-\mu)(f+ig\alpha)(\varepsilon+ig\alpha)\cos\alpha - ig\alpha} \\ \cdot (1+\lambda g \alpha) \frac{\varepsilon(f+ig\alpha)(\varepsilon+ig\alpha)\cos\alpha - ig\alpha}{ig\alpha} - 1 : \quad (33)$$

(33) արտահայտության մեջ մտնող q_0 մնացորդային կողային ճնշումը որոշվում է Ի.Ա.Դոլգովի կողմից առաջարկվող բանաձևով [20].

$$q_0 = \varepsilon_1 \rho^m,$$

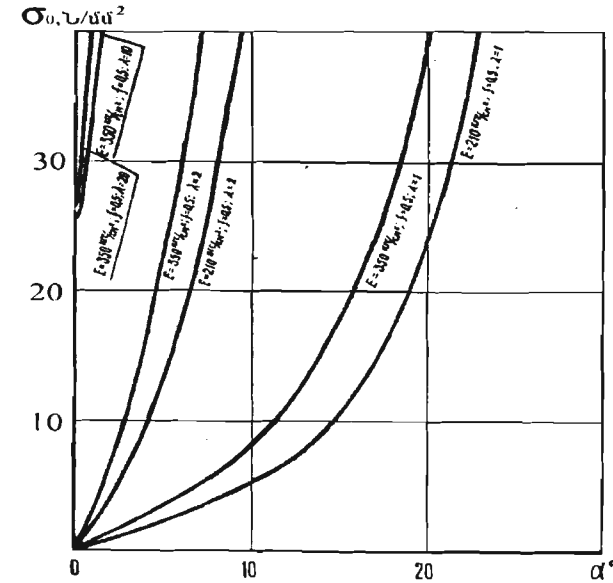
որտեղ՝ ε_1 –ը և m -ը գործակիցներ են, ρ –ն՝ բրիկետի խտությունը:

Քանի որ ներկայացված տեսքով (33) հավասարման վերլուծությունը դժվարին խնդիր է, ապա այն ներկայացնում ենք σ_0 -ի կախվածությունների գրաֆիկների տեսքով: Այդ նպատակով (33) հավասարման մեջ տեղադրելով $\varepsilon, \varepsilon_1, k, m_1, a$, և μ հաստատուն մեծությունների և գործակիցների արժեքները՝ այն լուծում ենք էլեկտրոնային հաշվիչ մեքենայով: Հաստատուն մեծությունների արժեքներն ընդունում ենք՝ $\varepsilon = 0,43, \mu = 0,3, \varepsilon_1 = 0,9 \cdot 10^{-7}, m_1 = 2,4$ [17,18], $a = 4,61 \cdot 10^{-3}, k = 0,339$ [50,57]:

Հաշվարկների արդյունքները բերված են նկ.6+11-ում:

Նկ.6-ում տրված են բրիկետավորման համար անհրաժեշտ առանցքային ճնշման կախվածությունների գրաֆիկները սեղման խցիկի երկայնական առանցքի նկատմամբ պատերի թերման անվտանգությունը:

Քանի որ մի շարք հեղինակների հետազոտություններ ցույց են տվել, որ տարբեր բրիկետավորվող նյութերի դեպքում սեղման խցիկի պատերի հետ նյութերի շփման գործակիցները փոփոխվում են $0,4 \div 0,7$ սահմաններում, ապա $\sigma_0 = \sigma(\alpha)$ գրաֆիկների կառուցման ժամանակ ընդունել ենք՝ $f = 0,5$: Բրիկետավորվող նյութի առաձգականության մոդուլն ընդունել ենք՝ 21N/mm^2 և 35N/mm^2 [29,57]:

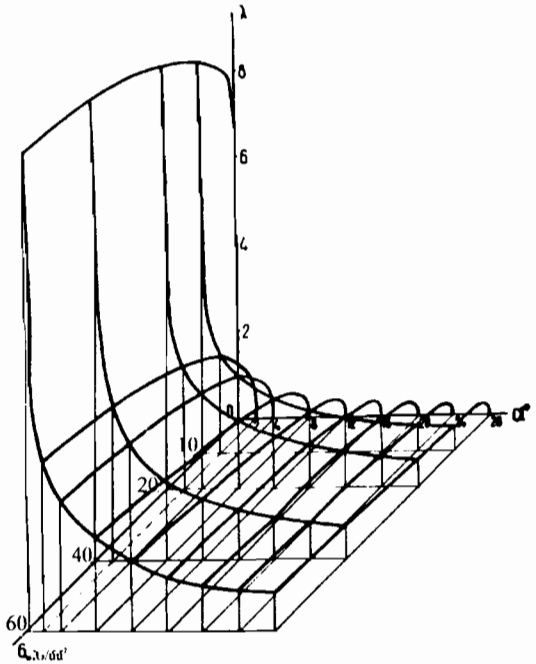


Նկ.6. Բրիկետավորման առանցքային σ_0 ճնշման կախվածությունները խցիկի երկայնական առանցքի նկատմամբ նրա պատերի թերման անվտանգությունը:

Նկ.6-ից երևում է, որ α անկյան մեծացումով մեծանում է բրիկետավորման համար անհրաժեշտ ճնշումը, ընդ որում ճնշման մեծացումը $\lambda = 2$ հարաբերությամբ խցիկների դեպքում ավելի ինտենսիվ է, եթե $\alpha = 6^\circ$, իսկ $\lambda = 1$ հարաբերությամբ խցիկների դեպքում՝ սկսած $\alpha = 12^\circ$ -ից: Եթե աշխատանքային խցիկների համար այդ անկյուններն ընդունենք առավել հավանական, ապա առաջին դեպքում բրիկետավորման համար անհրաժեշտ ճնշումը մոտ երեք անգամ մեծ կլինի:

(33) հավասարումը տալիս է նաև λ մեծության կախվածությունը α -ից, σ_0 -ի հաստատուն արժեքների դեպքում (նկ.7): Ինչպես երևում է գրաֆիկներից, σ_0 -ի ցանկացած արժեքի դեպքում, կախված α -ից, տեղի է ունենում նոյնական փոփոխություն: Մեծացնելով α անկյունը, λ մեծությունը փոքրանում է: Ընդ որում, λ մեծության կտրուկ նվազում նկատվում է α -ի 0 -ից մինչև $10 \div 12^\circ$ փոփոխության միջակայքում:

Բերված գրաֆիկների վերլուծությունը հնարավորություն է տալիս նաև տրված բրիկետավորման ճնշման համար որոշել աշխատանքային խցիկի օպտիմալ պարամետրերը: Օրինակ՝ $\sigma_0 = 20 \text{ Ն/մ}^2$ ճնշման դեպքում անհրաժեշտ է որոշել աշխատանքային խցիկի α և λ պարամետրերը: Այս դեպքում նկ.7-ից ընտրում ենք $\sigma_0 = 20 \text{ Ն/մ}^2$ ճնշմանը համապատասխանող $\lambda = \lambda(\alpha)$ կորը: Այդ կորի վրա առանձնացնում ենք այն հատվածը, որտեղ նկատվում է λ -ի արժեքի ոչ կտրուկ նվազում: Ակներև է, որ այդ հատվածը համապատասխանում է α -ի արժեքի $8+12^\circ$ միջակայքին և λ -ի 2-ից մինչև 1,6 արժեքին:

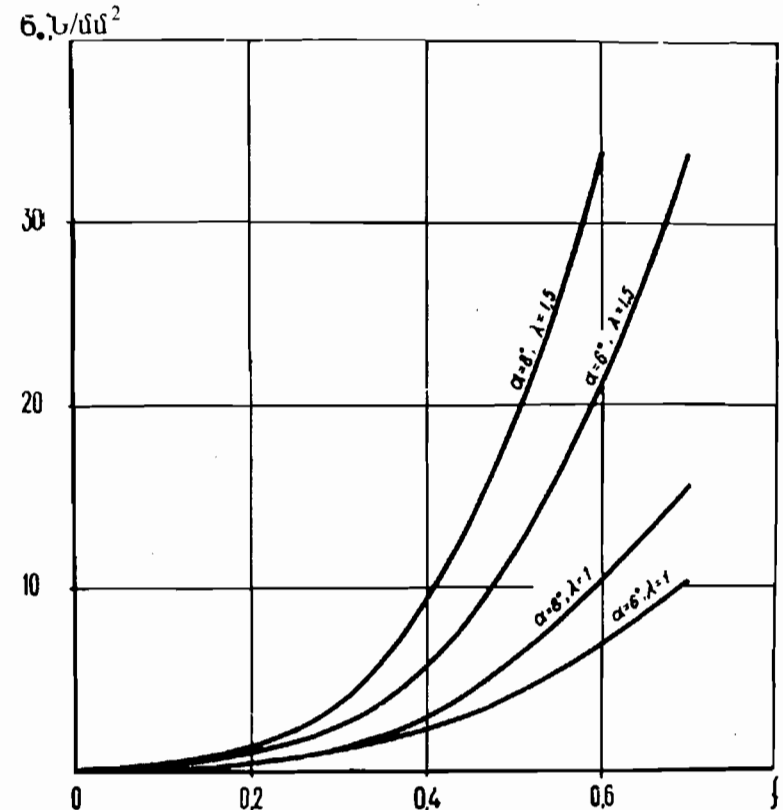


Նկ.7. Բրիկետավորման առանցքային σ_0 ճնշման կախվածությունը սեղմման խցիկի երկարության ու ելքի կտրվածքի շառավիղի λ հարաբերությունից և խցիկի առանցքի նկատմամբ նրա պատերի թերության α անկյունից:

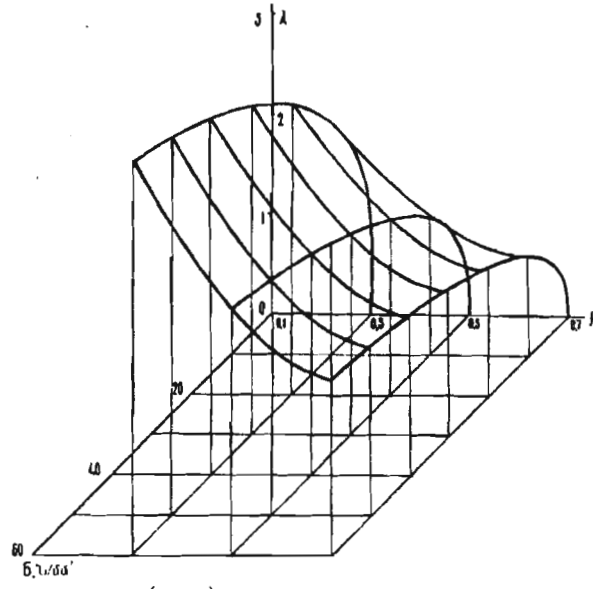
(33) հավասարումը արտահայտում է նաև բրիկետավորման անհրաժեշտ ճնշման կախվածությունները բրիկետավորվող նյութի ֆիզիկամեխանիկական

հատկություններից, մասնավորապես բրիկետավորվող նյութի արտաքին շփման գործակցից և առածգականության մոդուլից:

Նկ.8-ից երևում է, որ շփման գործակցի մեծացման հետ բրիկետավորման համար անհրաժեշտ ճնշումը աճում է պարարողի օրինաշափությամբ: Ընդ որում այդ աճը ավելի ինտենսիվ է տեղի ունենում $\lambda - 1$ մեծ արժեքների դեպքում: Հետևաբար, խցիկի հաստատում երկարության և ելքի կտրվածքի շառավիղի դեպքում, մեծ շփման գործակցի ունեցող նյութ բրիկետավորելիս, անհրաժեշտ է ընտրել պատերի ոչ մեծ թերություն ունեցող ($8+12^\circ$) սեղմման խցիկներ:



Նկ.8. Բրիկետավորման σ_0 ճնշման և ելքակետային նյութի շփման f գործակցից կախվածության գրաֆիկները:



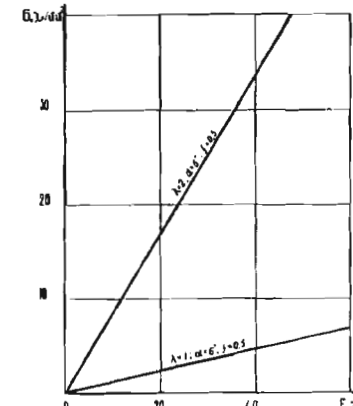
Նկ.9. $\lambda = f(\sigma_0, \epsilon_0)$ կախվածությունների գրաֆիկները:

Նկ.9-ում ներկայացված գրաֆիկներից երևում է, որ մեծացնելով բրիկետավորվող նյութի f շփման գործակիցը 0,3-ից մինչև 0,7, կախված բրիկետավորման անհրաժեշտ ճնշումից, λ -ի մեծությունը փոքրանում է $1,3+1,8$ անգամ:

Բրիկետավորվող նյութի մեկ այլ մեխանիկական հատկություն է նյութի առաձգականությունը, որը բնութագրվում է E առաձգականության մոդուլով:

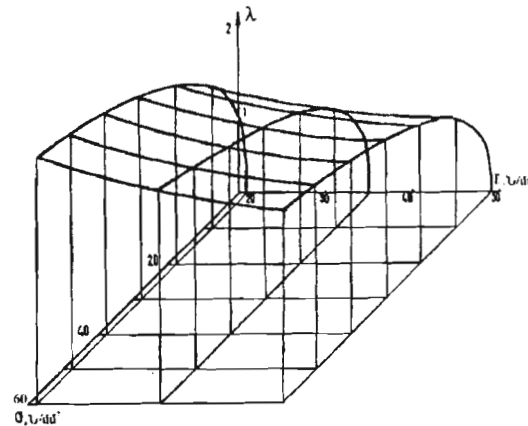
Նկ.10-ից երևում է, որ, կախված բրիկետավորվող նյութի առաձգականության մոդուլից, բրիկետավորման համար անհրաժեշտ ճնշումը փոփոխվում է գծային օրենքով: Այսպիս՝ միևնույն առաձգականության մոդուլով նյութեր բրիկետավորելիս, $\lambda=2$ հարաբերությամբ խցիկներում բրիկետավորման համար անհրաժեշտ ճնշումը 6÷7 անգամ մեծ է, քան $\lambda=1$ հարաբերությամբ խցիկներում:

Իր հերթին λ մեծությունը բրիկետավորվող նյութի առաձգականության մոդուլի հետ կապված է օրինաչափությամբ, որը բերված է նկ. 6-11-ում:



Նկ.10. Բրիկետավորման σ_0 ճնշման կախվածությունը բրիկետավորվող նյութի առաձգականության մոդուլից:

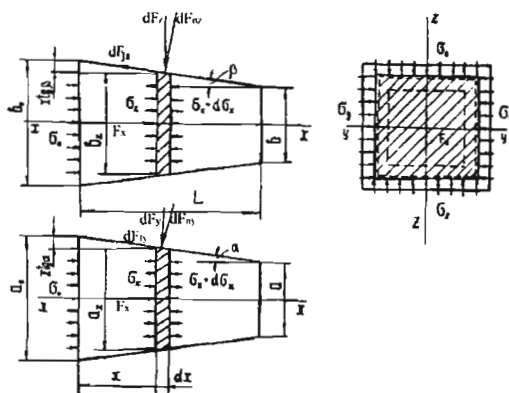
Նկ.11-ում բերված գրաֆիկից երևում է, որ σ_0 անհրաժեշտ բրիկետավորման ճնշման ցանկացած արժեքի դեպքում, բրիկետավորվող նյութի առաձգականության մոդուլի մեծացմանը համապատասխան, λ մեծությունը փոքրանում է գծային օրինաչափությամբ: Բրիկետավորվող նյութի առաձգականության մոդուլը մեծացնելով 20N/mm^2 -ուց մինչև 50N/mm^2 , $\sigma_0 = 10+60\text{N/mm}^2$ միջակայրում λ մեծությունը փոքրանում է $1.32+1.28$ անգամ:



Նկ.11. $\lambda = f(\sigma, E)$ կախվածությունների գրաֆիկները:

3.2. ՈՒՂՂԱՆԿՅՈՒՆ ԿՏՐՎԱԾՔՈՎ ՍԵՂՄՍԱՆ ԽՑԻԿՆԵՐ

Դիտարկենք սեղման խցիկ, որն իրենից ներկայացնում է a_0, b_0 մուտքի ու a, b ելքի կտրվածքների կողմերով և L երկարությամբ հատած քորդ (նկ.12): Այդ քորդի հակադիր կողային նիստերը երկայնական առանցքի նկատմամբ ունեն թերման միևնույն α և β անկյունները:



Նկ.12. Բրզան սեղման խցիկի մխեման և բրիկետավորման գործընթացում ազդող ուժերի բաշխումը նրանում:

Սեղման խցիկի մուտքի լայնական կտրվածքի պարագիծը հավասար է $U_0 = 2(a_0 + b_0)$, իսկ մակերեսը՝ $S_0 = a_0 b_0$:

Դիտարկենք սեղման խցիկի երկայնքով մուտքի կտրվածքից և հեռավորության վրա գտնվող, dx հաստությամբ բրիկետավորվող նյութի տարրական շերտի հավասարակշռությունը: Տարրական շերտի պարամետրերն են՝

$$\begin{aligned} a_x &= a_0 - 2xtg\alpha, \quad b_x = b_0 - 2xtg\beta, \\ U_x &= 2[a_0 + b_0 - 2x(tg\alpha + tg\beta)], \\ S_x &= (a_0 - 2xtg\alpha)(b_0 - 2xtg\beta); \end{aligned}$$

Տարրական շերտի վրա ազդում են հետևյալ ուժերը.

$$1. \text{ Առանցքային ուժերը: } F_x = \sigma_x S_x \quad \text{և} \quad F_{x+dx} = (\sigma_x + d\sigma_x) S_x,$$

որտեղ՝ σ_x -ը խցիկի մուտքի կտրվածքից և հեռավորության վրա գտնվող կտրվածքում ազդող առանցքային ճնշումն է, $d\sigma_x$ -ը՝ dx երկարության վրա առանցքային ճնշման փոփոխությունը:

2. y և z առանցքներով ազդող նորմալ ուժերը՝ dF_{ny}, dF_{nz} :

3. Համապատասխանաբար առանցքներով ազդող շփման ուժերը՝

$$dF_{fx} = f dF_{ny} \quad \text{և} \quad dF_{fy} = f dF_{nz},$$

որտեղ՝ f -ը արտաքին շփման գործակիցն է:

Թրոյեկտորով նշված ուժերը և առանքի վրա, նրանց գումարը հավասարեցնելով գրոյի և կատարելով որոշ ձևափոխություններ, կստանանք տարրական շերտի հավասարակշռության հավասարումը հետևյալ արտահայտության սենյակով.

$$d\sigma_x S_x + dF_{ny} (f + tg\beta) \cos \beta + dF_{nz} (f + tg\alpha) \cos \alpha = 0: \quad (34)$$

Նկ. 12-ից կարող ենք նշել, որ՝

$$\begin{aligned} dF_{ny} &= \sigma_{ny} 2b_x \frac{dx}{\cos \beta}, \\ dF_{nz} &= \sigma_{nz} 2a_x \frac{dx}{\cos \alpha}, \end{aligned} \quad (35)$$

որտեղ՝ σ_{ny} -ը և σ_{nz} -ը բրիկետավորվող նյութի նորմալ կողային ճնշումներն են խցիկի պատերի վրա, որոնք նույնական են շերտությամբ կարելի է որոշել՝ ելեկով նկ.12-ից:

$$\begin{aligned} \sigma_{ny} &= \sigma_x \cos \alpha + \sigma_z \sin \alpha, \\ \sigma_{nz} &= \sigma_z \cos \beta + \sigma_x \sin \beta, \end{aligned} \quad (36)$$

որտեղ՝ σ_x -ը և σ_z -ը բրիկետավորվող նյութի ճնշումներն են և չեն առանցքությամբ:

Իր հերթին՝

$$\begin{aligned} \sigma_x &= \sigma_{yz} + q_0, \\ \sigma_z &= \sigma_{xz} + q_0, \end{aligned} \quad (37)$$

որտեղ՝ σ_{yz} -ը և σ_{xz} -ը ճնշումներն են, որոնց ազդեցության տակ չեն առանցքների ուղղությամբ տեղի է ունենում նյութի դեֆորմացիա, q_0 -ն՝ խցիկի սկզբում մնացորդային կողային ճնշումը:

Առաջականության տեսության համաձայն (սեղմված խոտը ընդունելով առաջական) y և z առանցքների ուղղությամբ բիկետավորվող նյութի հարաբերական դեֆորմացիաները կլինեն.

$$\begin{aligned} dy &= \frac{2xtg\alpha}{a_0} = \frac{1}{E} [\sigma_{y1} - \mu(\sigma_x + \sigma_z)], \\ dz &= \frac{2xtg\beta}{b_0} = \frac{1}{E} [\sigma_{z1} - \mu(\sigma_x + \sigma_y)], \end{aligned} \quad (38)$$

Լուծելով (38) հավասարումը σ_{y1} -ի և σ_{z1} -ի նկատմամբ, կստանանք՝

$$\begin{aligned} \sigma_{y1} &= \frac{2xE}{1-\mu^2} \left(\frac{tg\alpha}{a_0} + \mu \frac{tg\beta}{b_0} \right) + \frac{\mu}{1-\mu} \sigma_x, \\ \sigma_{z1} &= \frac{2xE}{1-\mu^2} \left(\frac{tg\beta}{b_0} + \mu \frac{tg\alpha}{a_0} \right) + \frac{\mu}{1-\mu} \sigma_x; \end{aligned} \quad (39)$$

Տեղադրելով (39) արտահայտությունը (37)-ի, (37)-ը՝ (36)-ի, (36)-ը՝ (35)-ի, (35)-ը՝ (34)-ի մեջ և կատարելով որոշ ձևափոխություններ, կստանանք՝

$$\begin{aligned} \frac{d\sigma_x}{dx} + \left[\frac{2(f+tg\beta)(\varepsilon+tg\beta)\cos\beta}{b_0 - 2xtg\beta} + \frac{2(f+tg\alpha)(\varepsilon+tg\alpha)\cos\alpha}{a_0 - 2xtg\alpha} \right] \sigma_x + \\ + \frac{x \frac{4E}{1-\mu^2} (f+tg\alpha)\cos\alpha \left(\frac{tg\alpha}{a_0} + \mu \frac{tg\beta}{b_0} \right) + 2(f+tg\alpha)q_0 \cos\alpha}{a_0 - 2xtg\alpha} + \\ + \frac{x \frac{4E}{1-\mu^2} (f+tg\beta)\cos\beta \left(\frac{tg\beta}{b_0} + \mu \frac{tg\alpha}{a_0} \right) + 2(f+tg\beta)q_0 \cos\beta}{b_0 - 2xtg\beta} = 0, \end{aligned} \quad (40)$$

որտեղ՝ $\varepsilon = \frac{\mu}{1-\mu}$ -ն կողային ճնշման գործակիցն է:

(40) արտահայտությունը իրենից ներկայացնում է երկրորդ կարգի գծային դիֆերենցիալ հավասարում, կազմված բրածու սեղմման խցիկների համար: Սակայն գործնականում ավելի հաճախ կիրառվում են սեպածու սեղմման խցիկներ, երբ α կամ β ամեյուներից մեկը հավասար է զրոյի:

Ենթադրելով, որ $\beta = 0$, (40) հավասարումը կունենա հետևյալ տեսքը՝

$$\frac{d\sigma_x}{dx} + \left[2f \frac{\varepsilon}{b_0} + \frac{2(f+tg\alpha)(\varepsilon+tg\alpha)\cos\alpha}{a_0 - 2xtg\alpha} \right] \sigma_x + x \frac{4E\mu tg\alpha}{b_0 a_0 (1-\mu^2)} +$$

$$+ \frac{2f}{b_0} q_0 + \frac{x \frac{4E}{a_0 (1-\mu^2)} (f+tg\alpha)\sin\alpha + 2(f+tg\alpha)q_0 \cos\alpha}{a_0 - 2xtg\alpha} = 0;$$

Կատարենք հետևյալ նշանակումները՝

$$k_1 = \frac{2f\varepsilon}{b_0},$$

$$k_2 = 2(f+tg\alpha)(\varepsilon+tg\alpha)\cos\alpha,$$

$$k_3 = \frac{4E\mu f}{a_0 b_0 (1-\mu^2)} \operatorname{tg}\alpha,$$

$$k_4 = \frac{2f}{b_0},$$

$$k_5 = \frac{4E \sin \alpha}{a_0 (1-\mu^2)} (f+tg\alpha),$$

$$k_6 = 2(f+tg\alpha)\cos\alpha:$$

Տեղադրելով կատարված նշանակումները (41) հավասարման մեջ, կունենանք՝

$$\frac{d\sigma_x}{dx} + \left(k_1 + \frac{k_2}{a_0 - 2xtg\alpha} \right) \sigma_x + k_3 x + k_4 q_0 + \frac{k_5 x + k_6 q_0}{a_0 - 2xtg\alpha} = 0; \quad (43)$$

(43) հավասարումը առավել քարոշ տեսակի դիֆերենցիալ հավասարում է, որը, որպես կանոն, աճակահիկորեն չի լուծվում: Այդ հավասարման լուծման նպատակով մեր կողմից կիրառվել է MH-7 անալոգային հաշվիչ մեքենայով մոդելավորման եղանակը:

Նշված մեքենան հնարավորություն է տալիս դիֆերենցիալ հավասարումները ինտեգրել երկու եղանակով: Առաջին եղանակը, որը հիմնված է ածանցման կարգի բարձրացման վրա, լայն կիրառություն չի գտնել:

(43) դիֆերենցիալ հավասարումը լուծելու համար մեր կողմից օգտագործվել է լուծման երկրորդ եղանակը, որը հիմնված է ածանցման կարգը իշեցնելու վրա:

Այդ նպատակով (43) դիֆերենցիալ հավասարումը բերում ենք լուծման համար հարմար տեսքի:

$$\frac{d\sigma_x}{dx} = -k_1\sigma_x - k_3x - k_4q_0 - \varphi(x)(k_2\sigma_x + k_5x + k_6q_0), \quad (44)$$

որտեղ՝ $\varphi(x) = \frac{1}{a_0 - 2x \operatorname{tg} \alpha}$:

Բացի այդ, մտցնենք նշանակումներ՝

$$Y = (k_1\sigma_x + k_3x + k_4q_0),$$

$$Z = (k_2\sigma_x + k_5x + k_6q_0),$$

$$x = t \text{ և } \frac{dx}{dt} = 1;$$

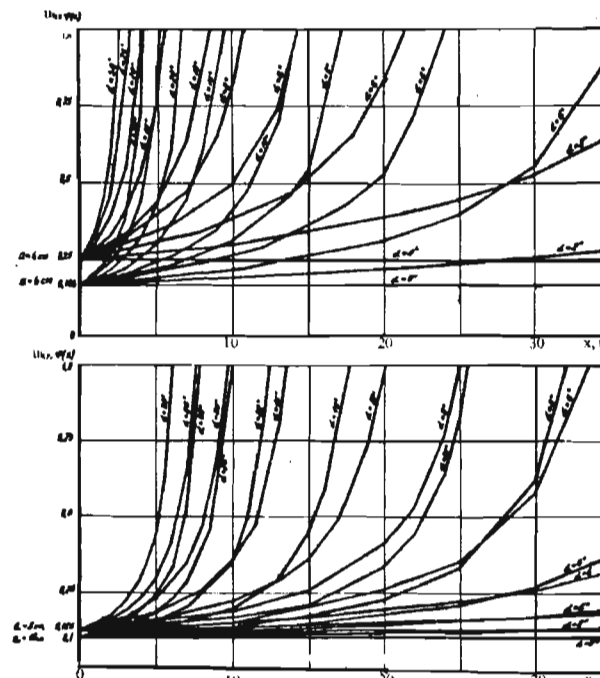
Հաշվի առնելով կատարված նշանակումները, (44) հավասարումը կարելի է ներկայացնել հետևյալ չորս հավասարումների համակարգի տեսքով՝

$$\begin{aligned} I. \quad & \frac{d\sigma_x}{dx} = -[\varphi(x)Z + Y], \\ II. \quad & Y = (k_1\sigma_x + k_3x + k_4q_0), \\ III. \quad & Z = (k_2\sigma_x + k_5x + k_6q_0), \\ IV. \quad & \frac{dx}{dt} = 1; \end{aligned} \quad (45)$$

(45) հավասարումների համակարգի լուծման ընթացքում օգտվում ենք նաև սկզբնական պայմաններից. եթե $x=0$, $\sigma_x = \sigma_0$:

(45) հավասարումների համակարգի առաջին հավասարումը ցույց է տալիս, որ σ_x -ի առաջին կարգի ածանցյալը հավասար է $\varphi(x)Z$ և Y անդամների հանրահաշվական գումարին, այսինքն ինտեգրատորի մուտքին տրվում է $\varphi(x)Z + Y$ մեծությունը, իսկ ելքում ստանում ենք σ_x մեծությունը, վերցրած հակառակ նշանով: Այդ դեպքում ինտեգրող ուժեղացուցիչին տրվում է նաև սկզբնական σ_0 պայմանը:

$\varphi(x)$ ֆունկցիայի ստացման համար օգտագործվել է BH-10 ոչ գծայնության բլոկը, որի մուտքին տրվել է x մեծությունը, և որը կարգավորվել է համաձայն $\varphi(x)$ -ի հարթեցման կորի: $\varphi(x)$ ֆունկցիայի հարթեցման կորը բերված է նկ.13-ում:



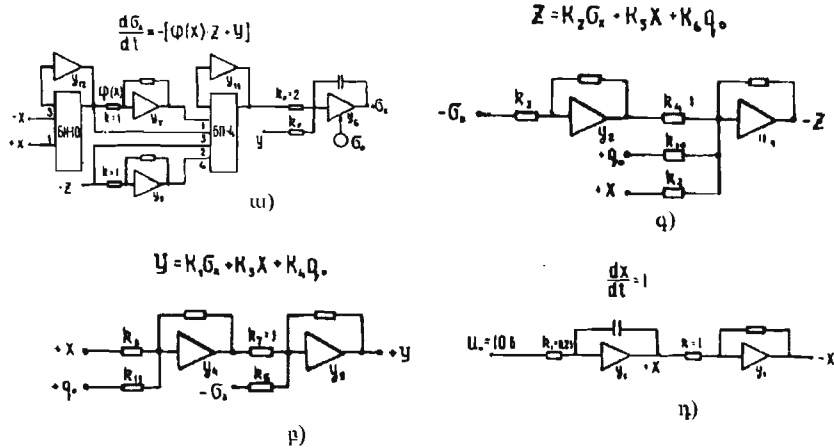
Նկ.13. $\varphi(x)$ ֆունկցիայի գծային հարթեցման գրաֆիկը:

Բազմապատկման օպերացիան կատարվում է ԵՊ-4 բազմապատկման բլոկի վրա:

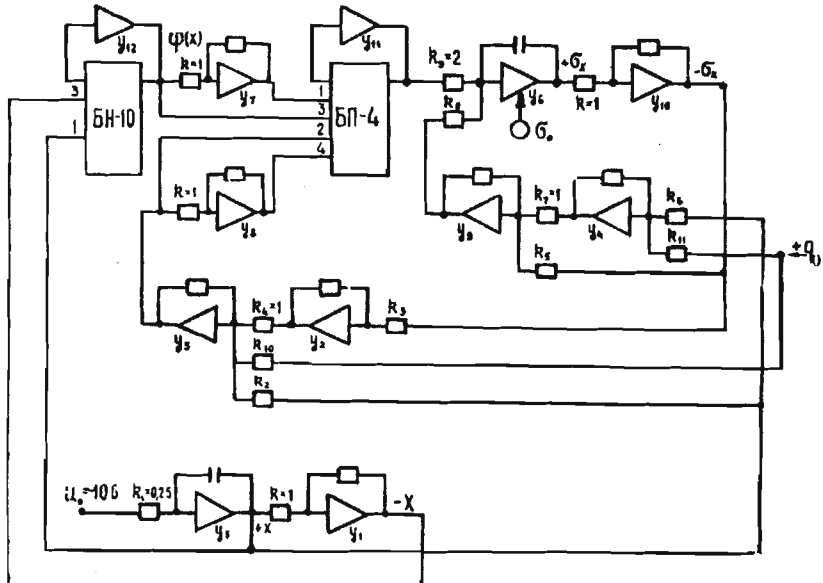
(45) հավասարումների համակարգի առաջին հավասարման լուծման ստրուկտորային սխեման բերված է նկ.14ա-ում, իսկ նկ.14բ, գ, դ-ում բերված են մնացած երեք հավասարումների լուծման ստրուկտորային սխեմաները:

(44) հավասարման լուծման ընթիանուր ստրուկտորային սխեման ստացել ենք՝ միացնելով x , y , z և q_0 մեծությունների ուժեղացուցիչների համապատասխան ծայրերը (նկ.15):

Ստրուկտորային սխեմաների մեջ մտնող փոխանցման և գործակիցները որոշվել են՝ ելմելով համապատասխան մաթեմատիկական օպերացիային մասնակցող մեծությունների մասշտաբային փոխադարձ կապից:



Նկ. 14. (44) դիֆերենցիալ հավասարման լուծման միջանկյալ ստրուկտուրային սխեմաները:



Նկ. 15. (44) դիֆերենցիալ հավասարման լուծման ընդհանուր ստրուկտուրային սխեման:

Այդ մասշտաբները կլինեն՝

$$\mu_{v_0} = 10 \frac{\text{վոլտ}}{\text{միավ.}}, \quad \mu_m = \frac{U_{\text{լուսա}},}{\sigma_{x\text{max}}}, \quad \mu_{q_0} = \frac{U_{\text{գույն}}}{q_{0\text{max}}},$$

$$\mu_x = \frac{U_{\text{լուս}}}{x_{\text{max}}}, \quad \mu_z = \frac{U_{\text{զանապ}}}{z_{\text{max}}}, \quad \mu_{\varphi(x)} = \frac{U_{\text{փոփոք}}}{\varphi(x)_{\text{max}}}, \quad \mu_{\varphi(x)z} = 0,01\mu_{\varphi(x)}\mu_z,$$

որտեղ՝ μ_{v_0} -ը մուտքային լարման մասշտաբն է x փոփոքականը և-ով փոփոքելիս, $U_{\text{լուսա}} = U_{\text{գույն}} = U_{\text{զանապ}} = U_{\text{փոփոք}} = 100$ վոլտ-ը՝ ուժեղացուցիչների մուտքերի և ելքերի վրա առավելագույն լարմանը, $\sigma_{x\text{max}}, q_{0\text{max}}, z_{\text{max}}, x_{\text{max}}, \varphi(x)_{\text{max}}$ -ը՝ մեծությունների առավելագույն արժեքներ:

Ընդունելով՝ $\sigma_x = 500$, $q_0 = 50$, $\varphi(x)_{\text{max}} = 1$, $z_{\text{max}} = 1000$ և $x_{\text{max}} = 40$ միավոր, կստանանք.

$$\mu_{v_0} = 10 \frac{\text{վոլտ}}{\text{միավոր}}, \quad \mu_m = 0,2 \frac{\text{վոլտ}}{\text{միավոր}}, \quad \mu_{q_0} = 2 \frac{\text{վոլտ}}{\text{միավոր}}, \quad \mu_x = 2,5 \frac{\text{վոլտ}}{\text{միավոր}},$$

$$\mu_z = 0,1 \frac{\text{վոլտ}}{\text{միավոր}}, \quad \mu_{\varphi(x)} = 100 \frac{\text{վոլտ}}{\text{միավոր}}, \quad \mu_{\varphi(x)z} = 0,1 \frac{\text{վոլտ}}{\text{միավոր}}:$$

Ունենալով մեծությունների մասշտաբային հարաբերությունները, որոշում ենք հաշվող ուժեղացուցիչների փոխամեռությունների գործակիցները.

$$k_1 = \frac{\mu_x}{\mu_{v_0}} = 0,25, \quad k_2 = \frac{\mu_z}{\mu_x} k_5 = 0,04 k_5, \quad k_3 = \frac{\mu_z}{\mu_{\sigma_x}} k_2 = 0,5 k_2,$$

$$k_5 k_3 = \frac{\mu_{\sigma_x}}{\mu_{\sigma_x}} k_1 = k_1, \quad k_9 = \frac{\mu_{\sigma_x}}{\mu_{\varphi(x)}} - k = 2,0, \quad k_6 k_7 k_8 = \frac{\mu_{\sigma_x}}{\mu_x} k_3 = 0,08 k_3,$$

$$k_7 k_8 k_{11} = \frac{\mu_{\sigma_x}}{\mu_{q_0}} k_4 = 0,05 k_4, \quad k_{10} = \frac{\mu_z}{\mu_{q_0}} k_6 = 0,05 k_6 :$$

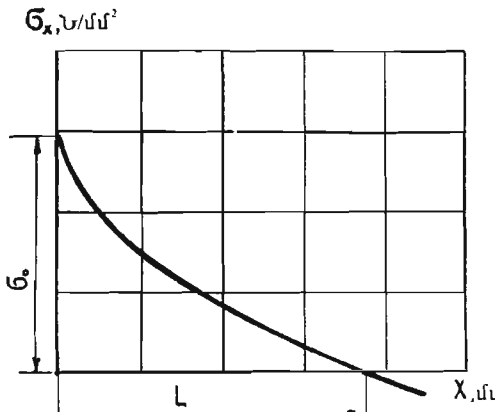
Մնացած փոխակերպող ուժեղացուցիչների փոխանցման գործակիցները հավասար են միավորի:

(44) հավասարման լուծման, ինչպես նաև փոխանցման գործակիցների որոշման ժամանակ տրվել են հետևյալ սահմանային մեծությունները.

$$E = 20 \div 100 \text{Ն/մ}^2, \quad a_0 = 4 \div 10 \text{սմ}, \quad b_0 = 2 \div 7 \text{սմ}, \quad \alpha = 0 \div 30^\circ,$$

$$\sigma_0 = 0 \div 50 \text{Ն/մ}^2, \quad q_0 = 0 \div 8 \text{Ն/մ}^2, \quad \varepsilon = 0,43, \quad f = 0,3 \div 0,7 :$$

MH-7 անալոգային հաշվից մերենան կարգավորելով նկ. 16-ում բերված սխեմայով և լուծելով (44) հավասարումը, արդյունքում ստանում ենք $\sigma_x = f(x)$ կախվածությունը, որը նկ. 16-ում բերված գրաֆիկի տեսքով արտացոլվում է Ա-6 էլեկտրոնա-ճառագայթային օսցիլոգրաֆի էլյումինի վրա:



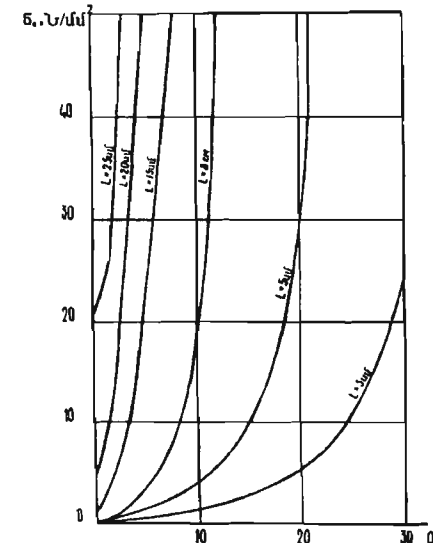
Նկ.16. $\sigma_x = f(x)$ ֆունկցիայի գրաֆիկի տեսքը, որը արտացոլվում է Ա-6 օսցիլոգրաֆի էլյումինի վրա և որի օգնությամբ որոշվում է սեղման խցիկի L երկարությունը:

Քանի որ գրաֆիկն իրենից ներկայացնում է սեղման խցիկի երկարությամբ առանցքով առանցքային ճնշման բաշխում, ապա խցիկի L երկարությունը, որի դեպքում σ_x առանցքային ճնշման տակ բրիկետները դուրս են սեղմվում խցիկից, կարող է որոշվել այն պայմանից, որ խցիկի ելքում նյութի վրա առանցքային σ_x ճնշումը հավասարվում է զրոյի: Այսպիսով, ըստ նկ.16-ի գրաֆիկի, խցիկի L երկարությունը կմերկայացնի կորդինատների սկզբնակետից մինչև կորի չ առանցքի հետ հատման կետը եղած հեռավորությունը:

MH-7 անալոգային հաշվից մերենայի վրա կատարված հաշվարկների արդյունքում ստացվել են $\sigma_x = f(L)$ կախվածությունները α, a_0, b_0, f և E մեծությունների տարրեր արժեքների դեպքում, որոնք բերված են նկ.17+20-ում:

Ինչպես երևում է նկ. 17-ում բերված գրաֆիկներից, մեծացնելով խցիկի երկայնական առանցքի նկատմամբ պատերի թերման α անկյունը,

բրիկետավորման σ_x ճնշումը մեծանում է: Ընդ որում, մինչև α -ի որոշակի արժեքները σ_x -ի մեծացումը ընթանում է աննշան, α -ի հետագա մեծացումը բերում է σ_x -ի ինտենսիվ աճի:

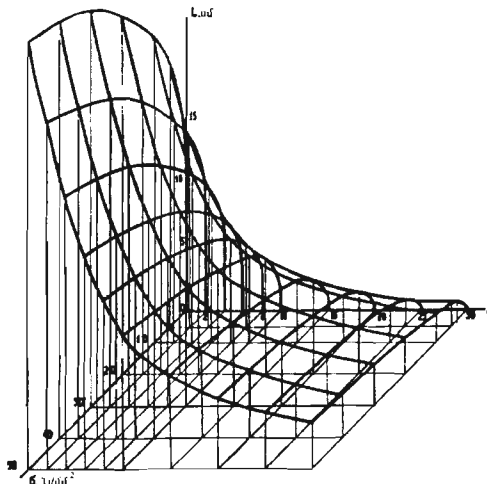


Նկ.17. Բրիկետավորման համար անհրաժեշտ σ_x ճնշման սեպածն սեղման խցիկի պատերի թերման α անկյունից կախվածության գրաֆիկները:

Այսպես, խցիկի $L=3$ սմ երկարության դեպքում, α -ի արժեքը փոփոխելով 10^0 -ից մինչև 20^0 և 20^0 -ից մինչև 30^0 , σ_x -ի արժեքը համապատասխանաբար կմեծանալ 1-ից մինչև 5 N/mm^2 և 5-ից մինչև 24 N/mm^2 : Խցիկի $L=8$ սմ երկարության դեպքում α -ի 5^0 -ց մինչև 12^0 փոփոխությունը հանգեցնում է σ_x -ի 5-ից մինչև 45 N/mm^2 ավելացման (նկ.18):

Այսպիսի պատկերը վկայում է այն մասին, որ բրիկետավորման համար անհրաժեշտ միևնույն ճնշման դեպքում կարելի է հասնել բրիկետավորման խցիկի երկարության փոքրացման, խցիկի առանցքի նկատմամբ պատերին տալով որոշակի թերություն: Օրինակ, ինչպես երևում է նկ.17, 18-ից, 250սմ երկարության սեղման խցիկի հակադիր պատերին առանցքի նկատմամբ

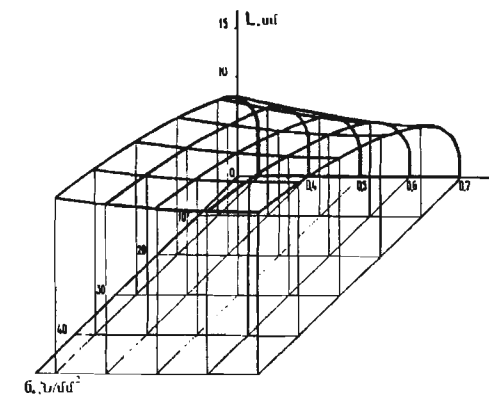
տալով $2,5^{\circ}$ թեքություն, երկարությունը կարելի է փոքրացնել 50մմ-ով, որը նպաստում է բրիկետավորող մեքենաների եզրաշափերի և մետաղատարության փոքրացմանը: Այդ նույն նկարներից երևում է, որ α անկյան մեծացումը $8^{\circ} \div 12^{\circ}$ -ով, նպաստում է խցիկի երկարության փոքրացմանը 2÷4 անգամ:



Նկ. 18. Սեղման խցիկի Լ երկարության բրիկետավորման σ_0 առանցքային ճնշումից և խցիկի երկայնական առանցքի նկատմամբ պատերի թեքման α անկյունից կախվածության գրաֆիկները:

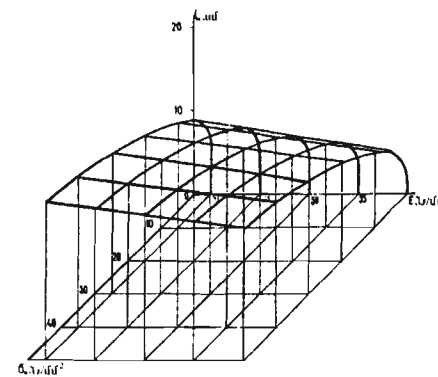
(44) դիմերենցիալ հավասարման լուծումը հնարավորություն է տալիս գտնել բրիկետավորման համար անհրաժեշտ ճնշման և խցիկի երկարության կախվածությունները բրիկետավորվող նյութի ֆիզիկո-մեխանիկական հատկություններից (f արտաքին շփման գործակցից և E առաձգականության մոդուլից):

Նկ.19-ում ներկայացված գրաֆիկները ցույց են տալիս, որ մեծացնելով մյութի f շփման գործակիցը, խցիկի երկարությունը փոքրանում է, իսկ ամերաժեշտ ճնշումը մեծանում: Այսպես, σ_0 -ի 10-ից մինչև $50\text{N}/\text{mm}^2$ փոփոխության սահմաններում f շփման գործակիցը ավելացնելով $0,3$ -ից մինչև $0,7$, խցիկի երկարությունը փոքրանում է $1,25 \div 1,1$ անգամ:



Նկ.19. Սեղման խցիկի Լ երկարության և բրիկետավորման σ_0 առանցքային ճնշման, խցիկի երկայնական առանցքի նկատմամբ պատերի թեքման α անկյունից կախվածության գրաֆիկները:

Նկ.20-ից նկատենք, որ σ_0 -ի տարրեր արժեքների դեպքում նյութի E առաձգականության մոդուլի մեծացումը հանգեցնում է խցիկի երկարության փոքրացման: Օրինակ, $\sigma_0 = 10\text{N}/\text{mm}^2$ ճնշման դեպքում առաձգականության E մոդուլի 20-ից մինչև $40\text{N}/\text{mm}^2$ ավելացումով խցիկի Լ երկարությունը փոքրանում է $1,45$ անգամ, իսկ $\sigma_0 = 60\text{N}/\text{mm}^2$ ճնշման դեպքում՝ $1,2$ անգամ:



Նկ.20. Սեղման խցիկի Լ երկարության, բրիկետավորման σ_0 առանցքային ճնշումից և բրիկետավորվող նյութի E առաձգականության մոդուլից կախվածության գրաֆիկները:

3.3.ԲՐԻԿԵՏԱՎՈՐՄԱՆ ՄԱՍԻՆԻՉԻ ԱԾԽԱՏԱԲԱՅԻՆ ԽՑԻԿԻ ԵՐԿԱՅՆՔՈՎ ՆՈՐՄԱԼ ԿՈՂԱՅԻՆ ԾՆԸՄԱՆ ԲԱԾԽՈՒՄԸ

Բրիկետավորման մամլյշերի աշխատանքային խցիկներում սեղման ուժը ստեղծվում է խցիկի պատերի հետ բրիկետավորվող նյութի շփման ուժերի հաշվին: Ինչպես հայտնի է, շփման ուժերը ուղիղ համեմատական կախվածության մեջ են գտնվում նյութի կողմից խցիկի պատերի վրա առաջացող նորմալ կողային ճնշման ուժերից:

Նորմալ կողային ճնշումը փոփոխվում է խցիկի լայնական և երկայնական առանցքների ուղղություններով: Այդ փոփոխության վրա ազդող հիմնական գործոններից մեկը խցիկի ձևն է:

Վյժմ դիտարկենք կոնական սեղման խցիկի երկայնական առանցքով կողային ճնշման փոփոխության օրինաչափությունը: Սեղման խցիկի երկայնական առանցքով կողային ճնշման բաշխումը կստանանք (8) արտահայտության մեջ տեղադրելով (25), (11) և (9) արտահայտությունները.

$$\begin{aligned} \sigma_{xx} = & \frac{Extg\alpha}{R_0(1-\mu)} + q_0 \left[\left(1 - \frac{x tg\alpha}{R} \right)^{\frac{A_1}{tg\alpha}} - (1 - \cos\alpha) \right] - \\ & - (\varepsilon + tg\alpha) \cos\alpha \left\{ \frac{A_2(R_0 - A_1x)}{A_1(A_1 - tg\alpha)} + \left[\alpha_0 - \frac{A_2R_0}{A_1(A_1 - tg\alpha)} \right] \left(1 - \frac{x tg\alpha}{R_0} \right)^{\frac{A_1}{tg\alpha}} \right\}; \end{aligned} \quad (46)$$

Ստացված արտահայտության վերլուծության նպատակով այն ներկայացնենք գրաֆիկի տեսքով: Արտահայտության մեջ տեղադրելով բրիկետավորվող նյութը բնութագրող գործակիցների մեծությունները և սեղման խցիկի պարամետրերն ընդունելով՝ $\alpha = 6^\circ$, $R = 3,2$ ամ, կստանանք $\sigma_{xx} = f(x)$ կախվածությունը, որը գրաֆիկի տեսքով տրված է նկ. 22-ում:

Նկ. 22-ում բերված 1 կորը իրենից ներկայացնում է առանցքային ճնշման բաշխումը սեղման խցիկի երկայնական առանցքով: Ինչպես երևում է գրաֆիկից, խցիկի սկզբում, երբ $x=0$, առանցքային ճնշումն ունի առավելագույն արժեքը և հավասար է բրիկետավորման համար անհրաժեշտ ճնշմանը՝

$\sigma_x = \sigma_0$: Խցիկի երկայնքով այդ ճնշումը փոքրանում է, և խցիկի վերջում այն հավասարվում է գրոյի՝ $\sigma_x = 0$:

Նկ. 22-ում բերված 2 կորը արտահայտում է կոնսլան սեղման խցիկի երկայնքով նորմալ կողային ճնշման բաշխման օրինաչափությունը: Խցիկի սկզբում, երբ $x=0$, այդ ճնշումը առավելագույն է և հավասար է՝

$$\sigma_{yy} = \sigma_0(\varepsilon - tg\alpha) \cos\alpha + q : \quad (47)$$

Այնուհետև, x -ի մեծացման հետ σ_{yy} -ը փոքրանում է և խցիկի վերջում, երբ $x=L$, հասնում է իր նվազագույն արժեքին՝ հավասար մնացորդային կողային ճնշմանը, որն առաջանում է բրիկետավորվող նյութի լայնական դեֆորմացիայի հաշվին:

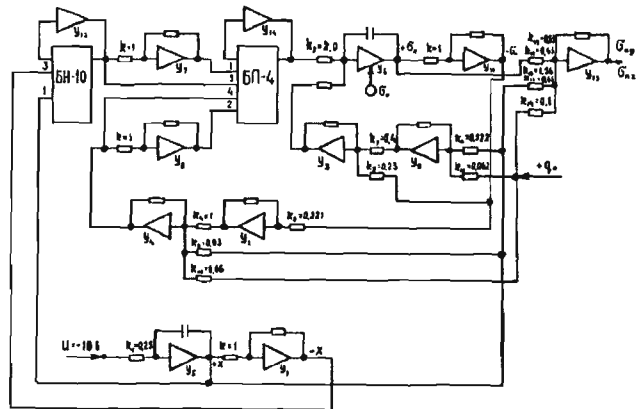
Կոնսլան սեղման խցիկների կտրվածքի պարագծով նորմալ կողային ճնշումը բաշխվում է հավասարաչափ:

Սեպածն սեղման խցիկների ամբողջ երկայնքով լայնական կտրվածքն ուղղանկյուն է: Ակնհայտ է, որ սեպածն խցիկների յուրաքանչյուր գույց հակադիր պատերի վրա ազդում են տարրեր մեծությամբ նորմալ կողային ճնշումներ: Խցիկի երկայնական առանցքով այդ ճնշումների բաշխման օրինաչափությունները որոշելու համար, լուծում ենք (37), (38) և (39) հավասարումները σ_{yy} -ի և σ_{zz} -ի նկատմամբ: Տեղադրելով $\beta=0$ և հաշվի առնելով (43) հավասարումը, կստանանք հավասարումների համակարգ.

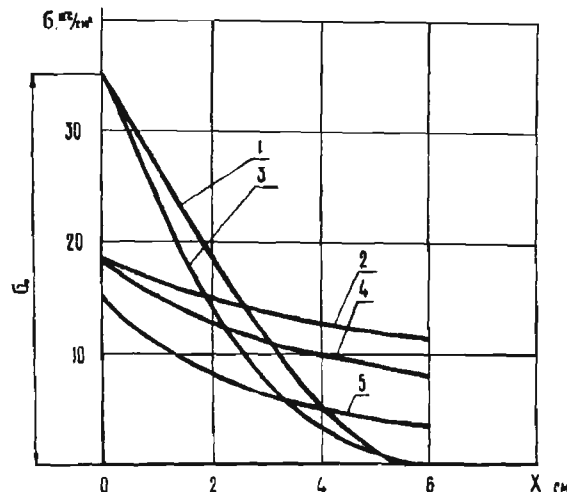
$$\begin{aligned} \frac{d\sigma_y}{dx} + \left(k_1 + \frac{k_2}{a_0 - 2xtg\alpha} \right) \sigma_y + k_3x + k_4q_0 + \frac{k_5x + k_6q_0}{a_0 - 2xtg\alpha} = 0, \\ \sigma_{yy} = \frac{2Etg\alpha}{a_0(1-\mu)} x + (\varepsilon + \sin\alpha)\sigma_x + q_0, \\ \sigma_{zz} = \frac{2Etg\alpha}{a_0(1-\mu)} \mu x + \varepsilon\sigma_x + q_0 : \end{aligned} \quad (48)$$

(48) հավասարումների համակարգը լուծում ենք MH-7 անալոգային հաշվիչ մեթոնայով, համաձայն նկ. 21-ում բերված ստրոկտուրային սխեմայի: Համակարգի լուծման արդյունքում ստանում ենք ուղղանկյուն կտրվածքով սեղման խցիկի երկայնքով առանցքային (նկ. 22, կոր 3) և նորմալ կողային

ճնշումների (նկ.22, կոր 3) բաշխման օրինաչափությունները, խցիկի $\alpha = 6^\circ$, $a_0 = 6\text{սմ}$, $b_0 = 4\text{սմ}$ պարամետրերի համար:



Նկ. 21. MH-7 անալոգային հաշվիչ մեքենայով (48) հավասարումների համակարգի լուծման ստրոկտորային սինթեզ:



Նկ. 22. Կոնական և սեպածն սեղման խցիկների երկայնքով առանցքային և նորմալ կողայի ճնշումների բաշխման օրինաչափությունները:
1,3. Առանցքային ճնշումների բաշխումը կոնական և սեպածն խցիկներում, 2. Նորմալ կողայի ճնշման բաշխումը կոնական խցիկներում, 4,5. Նորմալ կողայի ճնշումների բաշխումը սեպածն խցիկների երկու փոխակաղիք պատերով:

Ինչպես երևում է նկ.22-ից, սեպածն սեղման խցիկի երկայնքով σ_x առանցքային ճնշման փոփոխության օրինաչափությունը կրում է նույն բնույթը, ինչ կոնական սեղման խցիկում:

Նույն նկարից երևում է, որ σ_{nyx} և σ_{nxy} նորմալ կողայի ճնշումները խցիկի սկզբում ուժեն առավելագույն արժեքը, այսինքն, եթե $x=0$, նրանք հավասար են:

$$\begin{aligned}\sigma_{nyx} &= (\varepsilon + \sin \alpha) \sigma_x + q_0, \\ \sigma_{nxy} &= \varepsilon \sigma_x + q_0:\end{aligned}\quad (49)$$

Սեղման խցիկի երկարությամբ այդ ճնշումների հետագա փոփոխությունն ընթանում է կոնական սեղման խցիկների ճնշման փոփոխության նմանությամբ:

4 և 5 կորերից (նկ.22) երևում է, որ սեպածն խցիկի գուգահեռ պատերի վրա σ_{nxy} նորմալ կողայի ճնշումները մեծությամբ նշանակալիորեն փոքր են, քան խցիկի երկայնական առանցքի նկատմամբ թերվածություն ունեցող պատերի վրա ազդող σ_{nyx} նորմալ կողայի ճնշումները: Բացի այդ, խցիկի առանցքի երկայնքով σ_{nxy} ճնշումը փոքրանում է ավելի մեծ ինտենսիվությամբ, քան σ_{nyx} ճնշումը:

Գլանածն և պրիզմայածն խցիկների երկայնքով նորմալ կողայի ճնշման փոփոխման օրինաչափությունը ստանալու համար (46) և (47) հավասարումներում տեղադրում ենք՝ $\alpha = 0$:

$$\sigma_{nx} = \varepsilon \sigma_x + q_0: \quad (50)$$

(50) արտահայտությունը լիովին համընկնում է Վ.Ի. Օսրովի և Ի.Ա. Դոլգովի ստացած արտահայտություններին [32,50,47], որը հաստատում է կատարված հետազոտությունների ճշգրտությունը:

3.4. ԿԱԶՄՈՎԻ ՍԵՂՄՍԱՆ ԽՑԻԿՆԵՐՈՒՄ ԲՐԻԿԵՏՆԵՐԻ ԴՈՒՐՍ ՀՐՄԱՆ ՈՒԺԸ

Կազմովի սեղման խցիկներում (նկ.23) բրիկետները դուրս մղող ուժը որոշվում է հետևյալ արտահայտությամբ:

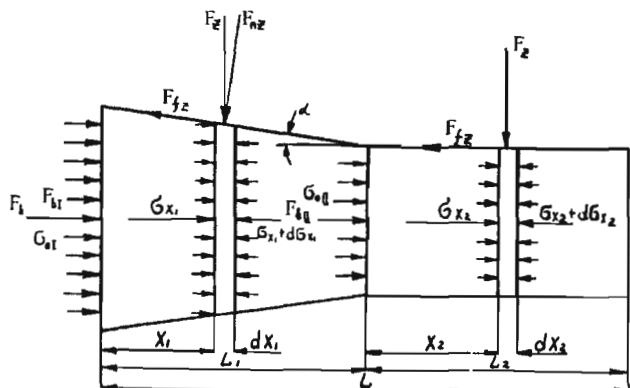
$$F_e = F_{el} + F_{ei}, \quad (51)$$

որտեղ՝ F_e -ն կազմովի խցիկներում բրիկետների դուրս մղման ուժն է, F_{el} -ը՝ խցիկի թեք պատեր ունեցող մասից բրիկետավորվող նյութի սեղմման ուժը, F_{ei} -ը՝ խցիկի հաստատուն կտրվածք ունեցող մասից բրիկետները դուրս մղող ուժը:

Հայտնի է, որ

$$\begin{aligned} F_e &= S_0 \sigma_0, \\ F_{el} &= S_0 \sigma_{01}, \\ F_{ei} &= S \sigma_{0II}. \end{aligned} \quad (52)$$

որտեղ՝ S_0 -ն կազմովի կտրվածքով սեղմման խցիկի մուտքի կտրվածքի մակերեսն է, S -ը՝ կազմովի կտրվածքով սեղմման խցիկի ելքի կտրվածքի մակերեսը, σ_0 -ն՝ բրիկետավորման համար անհրաժեշտ ճնշումը, σ_{01} -ը՝ սեղմման խցիկի առանցքի նկատմամբ պատերի թեքություն ունեցող մասից բրիկետավորվող նյութի դուրս մղման համար անհրաժեշտ ճնշումը, σ_{0II} -ը՝ սեղմման խցիկի հաստատուն լայնական կտրվածք ունեցող մասից բրիկետների դուրս մղման համար անհրաժեշտ ճնշումը:



Նկ. 23. Կազմովի սեղմման խցիկի հաշվարկային սխեման:

(52) արտահայտությունը տեղադրելով (51)-ի մեջ, կստանանք՝

$$\sigma_0 = \sigma_{0I} + \frac{S}{S_0} \sigma_{0II}; \quad (53)$$

Կլոր լայնական կտրվածք ունեցող սեղմման խցիկների դեպքում σ_{0I} ճնշումը որոշվում է (33) արտահայտությամբ, իսկ σ_{0II} -ը՝ (31):

Ուղղանկյուն լայնական կտրվածք ունեցող սեղմման խցիկների համար σ_{0I} և σ_{0II} ճնշումները որոշվում են՝ լուծելով (43) դիֆերենցիալ հավասարումը MH-7 անալոգային հաշվիչ մեքենայով, ըստ մկ.15-ում բերված ստրուկտուրային սխեմայի:

Վերը նշված ձևով որոշելով σ_{0I} և σ_{0II} ճնշումները և նրանց արժեքները տեղադրելով (53) հավասարման մեջ, կարող ենք որոշել կազմովի սեղմման խցիկներում բրիկետավորման համար անհրաժեշտ ճնշումը, հետևաբար և համապատասխան ուժը:

3.5. ՀԻՊԵՐԹՈԼԻԿ ՍԵՂՄՄԱՆ ԽՑԻԿՆԵՐ

Կատարված հետազոտությունների արդյունքները ցույց են տվել, որ առավել կիրառելի կարող են լինել ուղղանկյուն կտրվածքով կազմովի բրիկետավորման խցիկները [2], որտեղ ապահովվում է ինչպես բրիկետավորման համար անհրաժեշտ ճնշումը, այնպես էլ խցիկում բրիկետների մնալու անհրաժեշտ ժամանակը:

Սակայն կազմովի կտրվածքով խցիկների առանձին մասերի միացման տեղում անցումը հարթ չէ, որը հանգեցնում է կազմավորված բրիկետների որոշ քայլայման, միաժամանակ ստեղծելով որոշակի ճնշում: Բացի այդ, խցիկի սեպածների մասում բրիկետավորվող նյութը անընդհատ ենթարկվում է դեֆորմացիայի, որի ինտենսիվությունը խցիկի սեպածների մասի ամբողջ երկայնքով հաստատուն է, չնայած որ հետզինետե մեծացնելով բրիկետավորվող նյութի խտությունը, դեֆորմացման համար կպահանջվեն առավել մեծ ուժեր: Նշված երկույթը երբեմն հասցնում է բրիկետավորման խցիկների խցանման, որը մարդեղ աշխատատար, դժվար և ոչ ոյուրին գործ է:

Ելնելով վերը նշվածից, մենք առաջարկում ենք բրիկետավորող մեքենայի սեղմման ուղղանկյուն կտրվածքով խցիկ [8], որի երկու նիստերը միմյանց

զուգահեռ են, իսկ երկու նիստերի եզրագծերը փոփոխվում են որևէ $f(x)$ օրինաչափությամբ այնպիս, որ ապահովվի խցիկի կտրվածքի սահուն փոքրացում և բրիկեսավորվում նյութի դեֆորմացիայի ինտենսիվության նվազում:

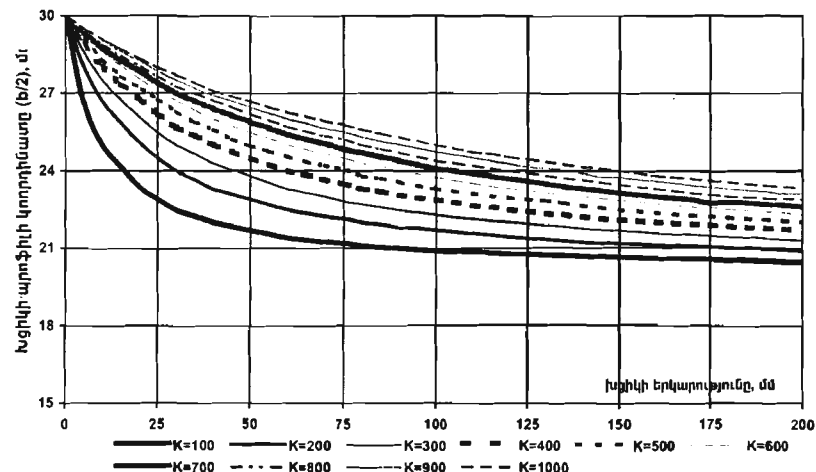
Կարելի է ընդունել, որ սեղմման խցիկի ոչ զուգահեռ նիստերի եզրագծերի պրոֆիլները փոփոխվում են հիպերբոլի օրինաչափությամբ, որի հավասարումը կարելի է տալ հետևյալ տեսքով.

$$Y = f(x) = \frac{(b_0 - b_i)K}{(b_0 - b_i)x + 2K} + \frac{b_i}{2}, \quad (54)$$

որտեղ՝ b_0 –ն խցիկի մուտքում կտրվածքի լայնությունն է, b_i –ն՝ խցիկի ելքում կտրվածքի լայնությունը, K –ն՝ կորի ձևը բնութագրող գործակիցը:

Հետազոտությունները ցույց են տվել, որ եթելով ագրոզութեանիկալա պահանջմերից, բրիկետների կտրվածքի օպտիմալ չափը կարելի է վերցնել 40×40 մմ, հետևաբար, խցիկի ելքի մասի չափները կարելի է վերցնել $a_0 \times b_0 = 40 \times 40$ մմ: Խցիկի մուտքի չափերն ընտրում ենք՝ ելնելով ստացվող բրիկետների ամրությունից. $a_0 \times b_0 = 40 \times 60$ մմ:

Կ գործակցի օպտիմալ չափը որոշելու նպատակով, նրա տարբեր արժեքների համար կառուցում ենք $Y=f(x)$ ֆունկցիայի գրաֆիկները (նկ. 24):

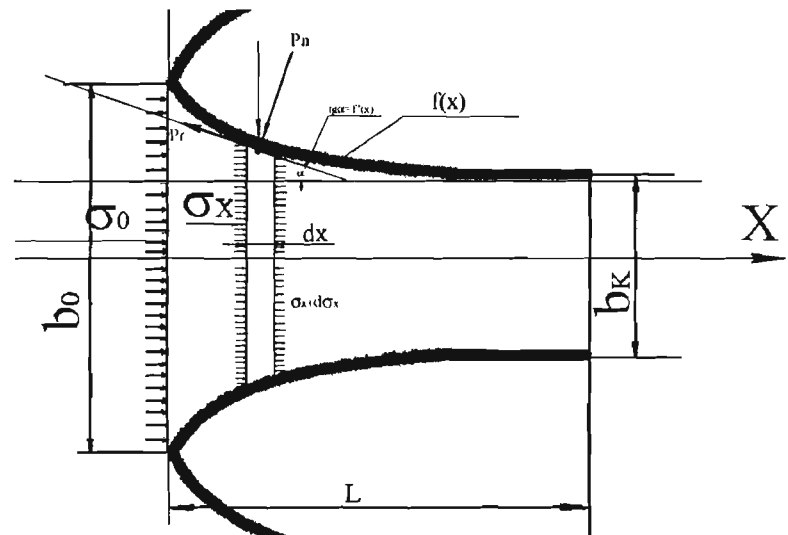


Նկ. 24. $Y=f(x)$ ֆունկցիայի գրաֆիկը (սեղմման խցիկի պրոֆիլը):

Նկ. 24-ում բերված գրաֆիկների վերլուծությունը ցույց է տալիս, որ K գործակցի օպտիմալ մեծությունը կարելի է ընդունել՝ $K=200$, որը առավել լավ է ապահովում խցիկի լայնության սահուն փոքրացումը և դեֆորմացիայի ինտենսիվության նվազումը: Հետևաբար, խցիկի պրոֆիլի փոփոխությունը կարելի է ներկայացնել հետևյալ օրինաչափությամբ:

$$Y = f(x) = \frac{20x + 600}{x + 20} = \frac{b_i}{2}; \quad (55)$$

Նկ. 25-ում բերված հաշվարկային սեղմման խցիկում բրիկետավորման ճնշման կախվածությունը պարզաբանելու համար դիտարկենք խցիկում ազդող ուժերը:



Նկ. 25. Բրիկետավորման խցիկի հաշվարկային սեղմման:

Սեղմման խցիկի մուտքից x հեռավորության վրա առանձնացնենք նյութի dx հաստությամբ տարրական շերտ և դիտարկենք այդ շերտի հավասարակշռությունը:

Խցիկի և շերտի նրկաչափական պարամետրերն են.

- մուտքի մոտ լայնական կտրվածքի պարագիծը՝ $U_0 = 2(a_0 + b_0)$,

- մուտքի մոտ լայնական կտրվածքի մակերնսը՝ $S_0=a_0b_0$,
- տարրական շերտի լայնական կտրվածքի պարագիծը՝ $U_x=2(a_0+b_0)$,
- տարրական շերտի լայնական կտրվածքի մակերնսը՝ $S_x=a_0b_0$,

որտեղ խցիկի լայնությունը որոշվում է ըստ (55) արտահայտությամբ՝ $b_x=2Y$:

Տարրական շերտի վրա ազդում են՝

1. առանցքային ուժերը՝

$$\begin{aligned} P_x &= \sigma_x S_x, \\ P_{x+dx} &= (\sigma_x + d\sigma_x) S_x, \end{aligned} \quad (56)$$

որտեղ՝ σ_x -ը մուտքից x հեռավորության վրա առանցքային ճնշումն է, $d\sigma_x$ ՝ dx նրկարության վրա առանցքային ճնշման փոփոխությունը.

2. յ և 2 ուղղություններով ազդող նորմալ ուժերը՝ dP_{ny} , dP_{nz} :

3. յ և 2 ուղղություններով ազդող շփման ուժերը՝

$$\begin{aligned} dP_{fy} &= fdP_{ny}, \\ dP_{fx} &= fdP_{nz}, \end{aligned} \quad (57)$$

որտեղ՝ f -ը արտաքին շփման գործակիցն է:

Գրոյենկտելով նշված ուժերը x առանցքի վրա և հավասարեցնելով գրոյի, կստանանք տարրական շերտի հավասարակշռության հավասարությունը.

$$d\sigma_x S_x + dP_{ny} (f + tg\alpha) \cos \alpha + fdP_{nz} = 0, \quad (58)$$

որտեղ՝ α -ն տվյալ կետում խցիկի պրոֆիլը բնութագրող գծին տարված շոշափողի կազմած անկյունն է x առանցքի հետ.

$$tg\alpha = f'(x) = -\frac{200}{(x+20)^2}; \quad (59)$$

$$\text{Նշենք, որ } dP_{ny} = \sigma_{ny} 2a \frac{dx}{\cos \alpha} \text{ և } dP_{nz} = 2\sigma_{nz} b_x dx,$$

որտեղ՝ σ_{ny} և σ_{nz} -ը բրիկետավորվող նյութի կողմից խցիկի պատերի վրա նորմալ ճնշումներն են, որոնք իրենց հերթին՝

$$\begin{aligned} \sigma_{ny} &= \sigma_y \cos \alpha + \sigma_x \sin \alpha, \\ \sigma_{nz} &= \sigma_z, \end{aligned} \quad (60)$$

σ_y , σ_z -ը՝ նյութի առաջացրած ճնշումներն են յ և 2 առանցքների ուղղությամբ.

$$\begin{aligned} \sigma_y &= \sigma_{y1} + q_0, \\ \sigma_z &= \sigma_{z1} + q_0, \end{aligned} \quad (61)$$

σ_{y1} , σ_{z1} -ը՝ սեղմման խցիկի լայնական կտրվածքի յ և 2 առանցքների ուղղություններով դեֆորմացիա առաջացնող ճնշումները, q_0 -ն՝ սեղմման խցիկի ալգրում մնացորդային կողային ճնշումը:

Սեղմման խոտը ընդունելով որպես առաձգական նյութ, ըստ առաձգականության տեսության յ և 2 առանցքների ուղղություններով հարաբերական դեֆորմացիաների մեծությունները կլինեն՝

$$\begin{aligned} \varepsilon_y &= \frac{b_x - b_0}{b_0} = \frac{1}{E} [\sigma_{y1} - \mu(\sigma_x + \sigma_{z1})], \\ \varepsilon_z &= 0 = \frac{1}{E} [\sigma_{z1} - \mu(\sigma_x + \sigma_{y1})], \end{aligned} \quad (62)$$

որտեղ՝ E -ն բրիկետավորվող նյութի առաձգականության մոդուլն է, μ -ն՝ Պուասոնի գործակիցը:

Լուծելով հավասարումները σ_y և σ_{z1} -ի նկատմամբ, b_x -ի մեծությունն ընդունելով ըստ (55) արտահայտության և $b_0=60\text{մմ}$, կստանանք՝

$$\begin{aligned} \sigma_{y1} &= \frac{Ex}{(1-\mu^2)(3x+60)} + \frac{\mu}{1-\mu} \sigma_x, \\ \sigma_{z1} &= \frac{Ex\mu}{(1-\mu^2)(3x+60)} + \frac{\mu}{1-\mu} \sigma_x: \end{aligned} \quad (63)$$

Բոլոր ստացված մեծությունները տեղադրելով (58) հավասարման մեջ և կատարելով որոշ ձևափոխություններ, կստանանք՝

$$\frac{d\sigma_x}{dx} + \sigma_x \varphi_1(x) + \varphi_2(x) = 0, \quad (64)$$

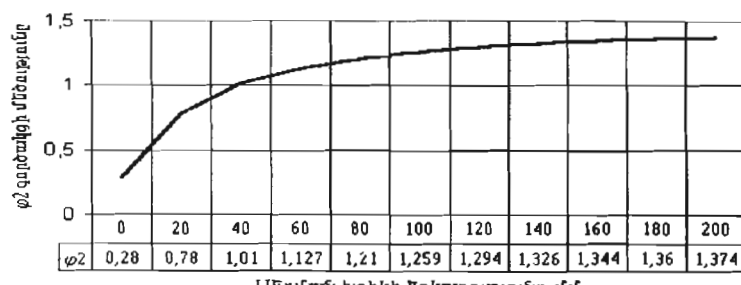
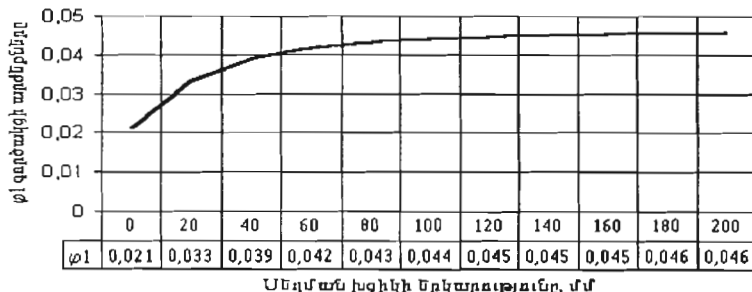
որտեղ՝ $\varphi_1(x)$, $\varphi_2(x)$ -ը x -ից կախված գործակիցներն են.

$$\varphi_1(x) = \left[\frac{[f(x+20)^2 - 200](x+20)}{10(x+30)\sqrt{(x+20)^4 + 200^2}} \right] \left(\varepsilon - \frac{200}{x+20} \right) + \frac{2\varepsilon}{a_0},$$

$$\varphi_2(x) = \frac{Ex}{3(1-\mu^2)(x+20)} \left[\frac{[f(x+20)^2 - 200](x+20)}{10(x+30)\sqrt{(x+20)^4 + 200^2}} + \frac{2\mu}{a_0} \right] + q_0 \left[\frac{[f(x+20)^2 - 200](x+20)}{10(x+30)\sqrt{(x+20)^4 + 200^2}} + \frac{2}{a_0} \right]. \quad (65)$$

այստեղ $\varepsilon = \frac{\mu}{1-\mu}$ -ը կողային ճնշման գործակիցն է:

φ_1 և φ_2 ֆունկցիաները ներկայացնենք գրաֆիկների տեսքով, որոնք բերված են նկ. 26-ում: φ_1 և φ_2 ֆունկցիաների արժեքները որոշելիս ընտրվել են հետևյալ պարամետրերը. $f = 0,6$, $\mu = 0,3$, $\varepsilon = 0,43$, $a_0 = 40$ մմ և $E = 35$ Ն/մմ² [57]: Այնուհետև որոնում ենք այն պարզագույն հավասարումները, որոնք ճշգրիտ կրնութագրեն ներկայացված գրաֆիկները: Այդ նպատակով լրացնում ենք այսուակ 1-ը, հաշվարկները կատարելով I և II գրաֆիկների համար [27]:



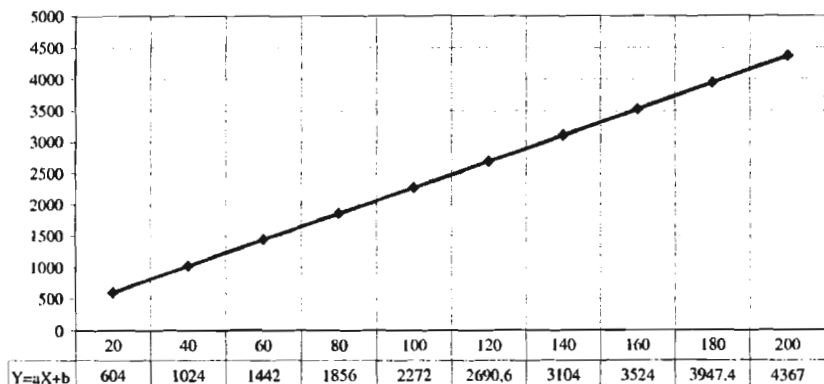
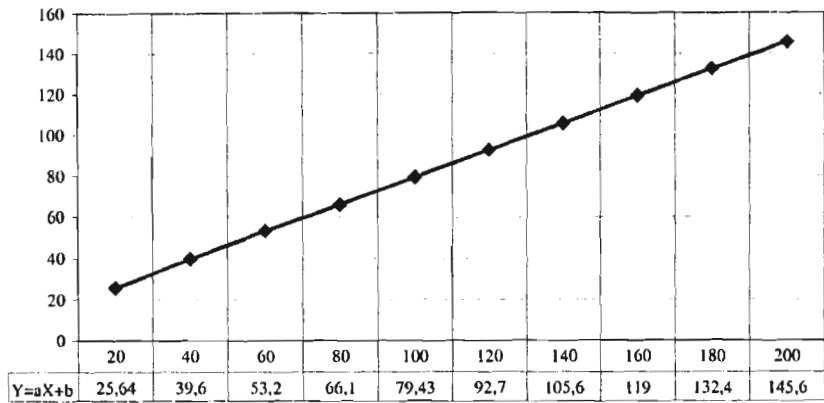
Նկ. 26. φ_1 և φ_2 ֆունկցիաների գրաֆիկները՝ կախված խցիկի երկարությունից:
64

Այլուսակ 1										
1	2	3	4	5	6	7	8	9	10	11
		I, II կորի			I կոր					
1	$\frac{x_1 + x_n}{2}$	110	$y\left(\frac{x_1 + x}{2}\right)$	0,0445	1,268	$\frac{y(x_1) + y(x_2)}{2}$	0,03945	1,077	0,00505	$\Delta_1 - \Delta_2$
2	$\sqrt{x_1 x_n}$	66	$y(\sqrt{x_1 x_2})$	0,421	1,16	$\sqrt{y(x_1) y(x_2)}$	0,039	1,035	0,0031	$\Delta_1 - \Delta_2 - \Delta_3$
3	$\frac{x_1 + x_n}{2}$	110	$y\left(\frac{x_1 + x}{2}\right)$	0,0445	1,268	$\sqrt{y(x_1) y(x_2)}$	0,039	1,035	0,0031	$\Delta_2 - \Delta_3$
4	$\frac{2x_1 x_n}{x_1 + x_2}$	36	$y\left(\frac{2x_1 x_2}{x_1 + x_2}\right)$	0,0376	0,95	$\frac{y(x_1) + y(x_2)}{2}$	0,0394	1,077	0,0018	$\Delta_3 - \Delta_4$
5	$\frac{x_1 + x_n}{2}$	110	$y\left(\frac{x_1 + x}{2}\right)$	0,0445	1,268	$\frac{2y(x_1) y(x_2)}{y(x_1) + y(x_2)}$	0,0384	1,077	0,0018	$\Delta_4 - \Delta_5$
6	$\frac{2x_1 x_n}{x_1 + x_2}$	36	$y\left(\frac{2x_1 x_2}{x_1 + x_2}\right)$	0,0376	0,95	$\frac{2y(x_1) y(x_2)}{y(x_1) + y(x_2)}$	0,0384	1,077	0,0018	$\Delta_5 - \Delta_6$
7	$\sqrt{x_1 x_n}$	66	$y(\sqrt{x_1 x_2})$	0,0421	1,16	$\frac{y(x_1) + y(x_2)}{2}$	0,03945	1,077	0,00265	$\Delta_6 - \Delta_7$

Այլուսակից հետևում է, որ գրաֆիկները կարելի է հարթեցնել ըստ 6-րդ տողի պայմանների, իսկ դա նշանակում է, որ գրաֆիկները կարող են ներկայացվել $y = \frac{x}{ax + b} + c$ օրինաչափությամբ [27]:

Ստացված պայմանը վերջնական ճշտելու նպատակով դիտարկենք գրաֆիկների գծային հարթեցումը՝ $Y=f(X)$ գրաֆիկները, որտեղ՝ $Y = \frac{x}{y}$ և $X=x$:

Ըստ վերը նշված պայմանների, հաշվարկները և գրաֆիկները բերված են նկ.27-ում:



Նկ. 27 φ₁ և φ₂ ֆունկցիաների գծային հարթեցման գրաֆիկները:

Ինչպես երևում է գրաֆիկներից, կետերը լիովին գտնվում են ուղիղ գծերի վրա, հետևաբար այդ գրաֆիկների գծային հարթեցումը ճիշտ է և φ₁ ու φ₂ ֆունկցիաները կարելի են ներկայացնել հետևյալ տեսքով՝

$$\varphi_1(x) = \frac{x}{a_1x + b_1} + c_1, \quad (66)$$

$$\varphi_2(x) = \frac{x}{a_2x + b_2} + c_2,$$

որտեղ՝ a₁, b₁, c₁, a₂, b₂, c₂ գործակիցները որոշում ենք, ելմելով գրաֆիկների որոշակի արժեքներից՝ a₁=27,76, b₁=1111,8, c₁=0,0211, a₂=0,74, b₂=25,2, c₂=0,28:

(64) դիֆերենցիալ հավասարման ընդհանուր լուծումը կարելի է ներկայացնել հետևյալ տեսքով [27].

$$\sigma_x = \frac{1}{\mu(x)} \left(- \int \varphi_1(x) \cdot \mu(x) dx + C \right), \quad (67)$$

$$\text{որտեղ՝ } \mu(x) = e^{\int \varphi_1(x) dx}; \quad (68)$$

(66) արտահայտությունից Փ₁ արժեքը տեղադրելով (68)-ի մեջ և կատարելով որոշ ձևափոխություններ, կստանանք՝

$$\mu(x) = \frac{e^{\left(\frac{1}{a_1} + c_1\right)x}}{(a_1x + b_1)^{\frac{b_1}{a_1}}}; \quad (69)$$

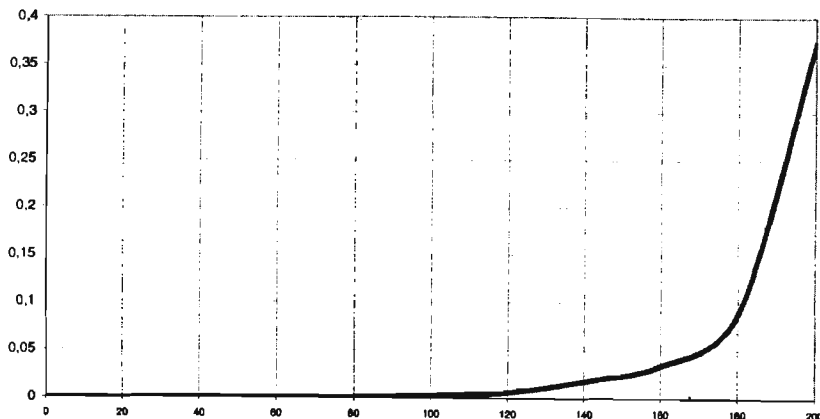
$$\text{Նշանակենք } \vartheta(x) = \varphi_2(x) \cdot \mu(x) = \left(\frac{x}{a_2x + b_2} + c_2 \right) \left(\frac{e^{\left(\frac{1}{a_1} + c_1\right)x}}{(a_1x + b_1)^{\frac{b_1}{a_1}}} \right); \quad (70)$$

(70) և (69) արտահայտությունները տեղադրելով (67)-ի մեջ, կունենանք՝

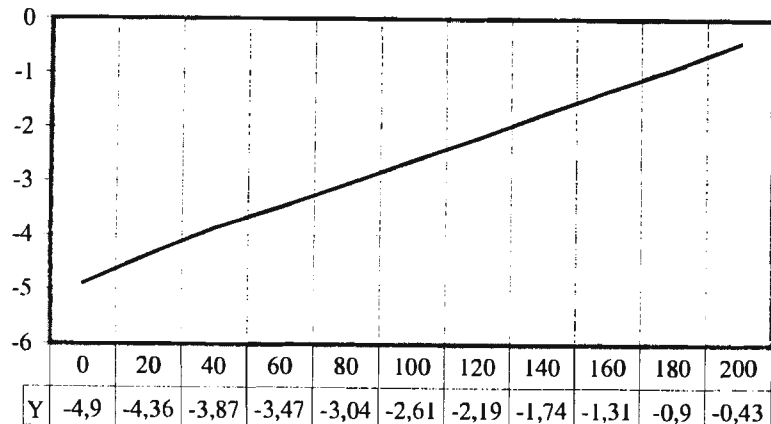
$$\sigma_x = \frac{(a_1x + b_1)^{\frac{b_1}{a_1}}}{e^{\left(\frac{1}{a_1} + c_1\right)x}} \left(- \int \left(\frac{x}{a_2x + b_2} + c_2 \right) \left(\frac{e^{\left(\frac{1}{a_1} + c_1\right)x}}{(a_1x + b_1)^{\frac{b_1}{a_1}}} \right) dx + C \right) = \frac{1}{\mu(x)} \left(- \int \vartheta(x) dx + C \right); \quad (71)$$

Ստացված հավասարման լուծումը հեշտացնելու նպատակով կառուցենք $\vartheta(x) = f(x)$ ֆունկցիայի գրաֆիկը նախկինում ընտրված պարամետրերով (նկ.28):

Գրաֆիկից և կատարված հաշվարկներից ելմելով՝ $\vartheta = f(x)$ ֆունկցիան կարող ենք փոխարինել առավել պարզ արտահայտությամբ, որը հնարավորություն կտա լուծելու դիֆերենցիալ հավասարումը: Գրաֆիկի գծային հարթեցումը բերված է նկ. 29-ում, ընդունելով $Y=lgx$ և $X=x$:



Նկ. 28. $\theta = f(x)$ ֆունկցիայի գրաֆիկը:



Նկ. 29. $\theta = f(x)$ ֆունկցիայի գծային հարթեցման գրաֆիկը:

Հարթեցման գրաֆիկը բնութագրվում է հետևյալ հավասարմամբ,

$$Y = \alpha + \beta X, \quad (72)$$

$$\text{որտեղ } \alpha = -4,9, \beta = \frac{-0,43 + 4,9}{200} = 0,02235:$$

Գրաֆիկի հարթեցման արդյունքում ստացանք, որ $\theta = f(x)$ ֆունկցիան մեծագույն ճշտությամբ վոխսարինվում է հերևյալ արտահայտությամբ՝

$$\theta = a_3 \cdot b_3^x, \quad (73)$$

որտեղ՝ $\lg a_3 = \alpha$ և $\lg b_3 = \beta$, ինտերվալը՝ $a_3 = 0,0000105$ և $b_3 = 1,054$:

(73) հավասարումից θ -ի արժեքը տեղադրելով (71) հավասարման մեջ և ինտեգրելով, կունենանք՝

$$\sigma_x = \frac{1}{\mu(x)} \left(\int \theta(x) dx + C \right) = \frac{(a_3 x + b_3)^{\frac{b_3}{a_3}}}{e^{\left(\frac{1}{a_3} + c_1\right)x}} (-a_3 \cdot \ln b_3 \cdot b_3^x + C); \quad (74)$$

Ը հաստատունը որոշում ենք սկզբանական պայմաններից, եթե $x=0$, $\sigma_x=\sigma_0$:

$$\sigma_0 = -b_3^{\frac{b_3}{a_3}} a_3 \ln b_3 + C b_3^{\frac{b_3}{a_3}},$$

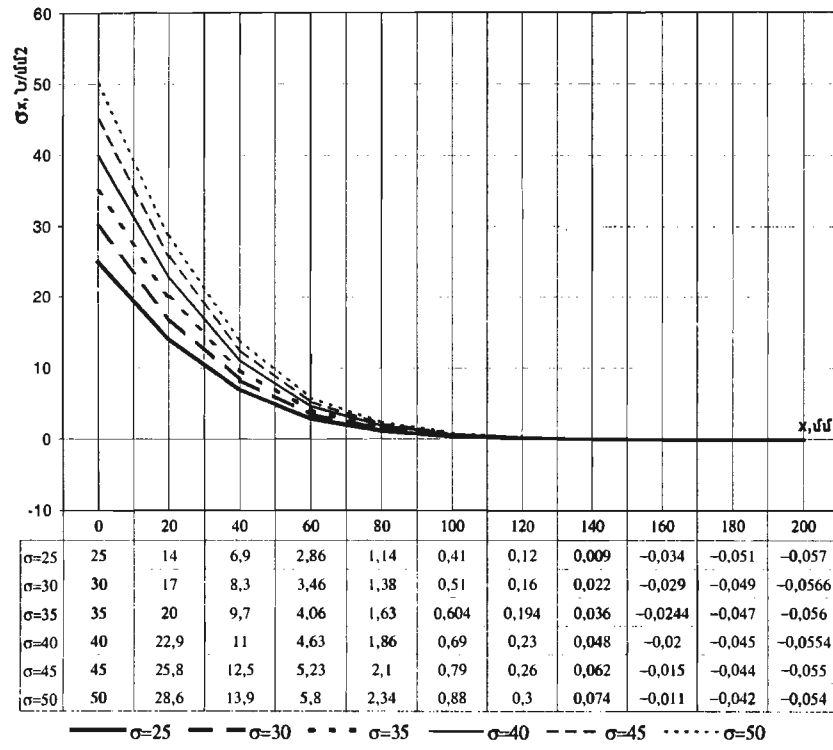
$$\text{որտեղից } C = \frac{\sigma_0}{b_3^{\frac{b_3}{a_3}}} + a_3 \ln b_3: \quad (75)$$

C-ի արժեքը տեղադրելով (74) հավասարման մեջ և կատարելով որոշ ձևափոխություններ, կստանանք՝

$$\sigma_x = \frac{(a_3 x + b_3)^{\frac{b_3}{a_3}}}{e^{\left(\frac{1}{a_3} + c_1\right)x}} \left(a_3 \ln b_3 \cdot (1 - b_3^x) + \frac{\sigma_0}{b_3^{\frac{b_3}{a_3}}} \right): \quad (76)$$

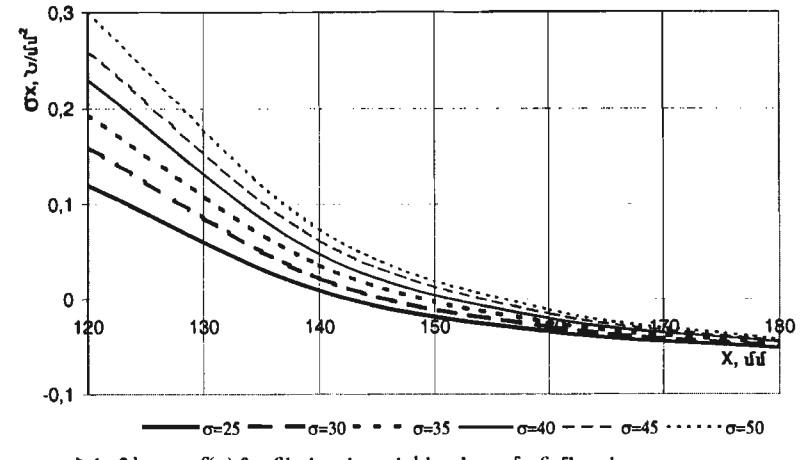
(76) արտահայտությունը ցույց է տալիս սեղմման խցիկում ճնշման փոփոխությունը խցիկի երկայնքով: Սեղմման խցիկի մուտքի մոտ ճնշումը ընդունելով $\sigma_0 = 25, 30, 35, 40, 45, 50$ Ն/մմ², կառուցում ենք $\sigma_x = f(x)$ ֆունկցիայի գրաֆիկը (Նկ. 30):

Ինչպես երևում է գրաֆիկից, խցիկի երկայնքով մուտքի անցքից մինչև 50+60մմ հեռավորությունը ճնշումը ինտենսիվ կերպով փոքրանում է, այնուհետև ճնշման փոքրացումը դառնում է անճշամ: Սեղմման խցիկի երկարությունը որոշելիս պետք է հաշվի առնել, որ խցիկի ելքում ճնշումը պետք է հավասար լինի գորյի: Հետևաբար, խցիկի երկարությունը կարող ենք որոշել՝ օգտվելով $\sigma_x = f(x)$ ֆունկցիայի գրաֆիկից, որի համար մեծացված մասշտաբով կառուցում ենք այդ գրաֆիկների աբսցիսների առանցքի հետ հատման միջակայքը (Նկ. 31):



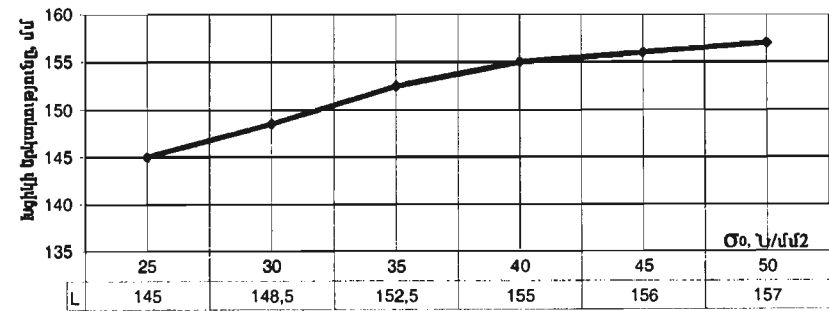
Նկ. 30. $\sigma_x = f(x)$ ֆունկցիայի գրաֆիկը:

Նկ. 31-ում բերված գրաֆիկից որոշում ենք գրաֆիկի և x առանցքի հատման կետերի արացիստերը, որոնք սեղման խցիկի անհրաժեշտ երկարություններն են պահանջվող Ծ սկզբնական ճնշումը ստանալու համար: Ինչպես երևում է գրաֆիկից, խցիկի մուտքում ճնշումը 25 Ն/մմ²-ից 50 Ն/մմ² դարձնելու համար բավական է խցիկի երկարությունը 145 մմ-ից դարձնել 157 մմ, որը ասում է այն մասին, որ բրիկետավորման գործընթացի էներգետիկ ցուցանիշները մեծապես կախված են բրիկետավորման խցիկի երկարության ճիշտ ընտրությունից:



Նկ. 31. $\sigma_x = f(x)$ ֆունկցիայի x -ից հետ հատման միջակայքը:

Սեղման խցիկի սկզբում ճնշման մեծության և խցիկի երկարության միջև կախվածության գրաֆիկը բերված է նկ. 32 -ում:



Նկ. 32. Ակզրական ճնշումից խցիկի երկարության կախվածության գրաֆիկը:

Ինչպես երևում է գրաֆիկից, բրիկետավերման ճնշումը մննացնելու համար անհրաժեշտ է մննացնել խցիկի երկարությունը, ընդ որում այդ մննացումը մինչև ճնշման 40 Ն/մմ² արժեքը տեսի է ունենում ավելի ինտենսիվ:

Բրիկետավորման ճնշման մեծությունը կարելի է որոշել Վ.Ի.Օսորովի կողմից առաջարկվող բանաձևով [57].

$$\sigma_0 = k[e^{a(\rho_{\max} - \rho_0)} - 1], \quad (77)$$

որտեղ՝ ρ_0 -ն բրիկետավորվող նյութի սկզբնական խտությունն է, ա և k -ն՝ փորձնական գործակիցները, ρ_{\max} -ը սեղմման խցիկում բրիկետավորվող նյութի առավելագույն խտությունը, որը որոշվում է հետևյալ էմպիրիկ բանաձևով [57].

$$\rho_{\max} = \frac{\rho_p - \alpha_0 \rho_0 + \alpha_t \rho_0 t}{\beta_0 + \alpha_t}, \quad (78)$$

որտեղ՝ ρ_p -ն ստացվող բրիկետաների խտությունն է, t -ն՝ սեղմման խցիկում բրիկետավորվող նյութի մնալու ժամանակը, α_0 , β_0 , α_t – ը՝ փորձնական գործակիցները:

Հնդրունելով $\alpha_0=0,471$, $\beta_0=0,496$, $\alpha_t=7,45 \cdot 10^{-3}$ [48], $t=20$ [25], $\rho_p=4,61 \cdot 10^{-3}$, $k=0,332$, $\rho_p=700$ կգ/մ³ և $\rho_0=70$ կգ/մ³ [57], կստանանք՝ $\rho_{\max}=1052$ կգ/մ³, որը տեղադրելով (77) հավասարման մեջ, կորոշենք բրիկետավորման համար անհրաժեշտ ճնշումը՝ $\sigma_0 = 31$ Ն/մմ²:

Նկ. 32-ում բնրված գրաֆիկից, ըստ ստացված ճնշման մեծության, դնուրում ենք սեղմման խցիկի նրկարությունը, որը կազմում է՝ $L = 149$ մմ:

4. ԲՐԻԿԵՏԱՅԻՆ ՍԱՍԼԻՉՆԵՐԻ ՄԱՏՐԻՑԱՅԻՆ ՕՂԱԿԻ ԵՎ ՀՈԼՈՎԱԿԻ ՊԱՐԱՍԵՏՐԵՐԻ ՇԵՏՈՒՄԸ

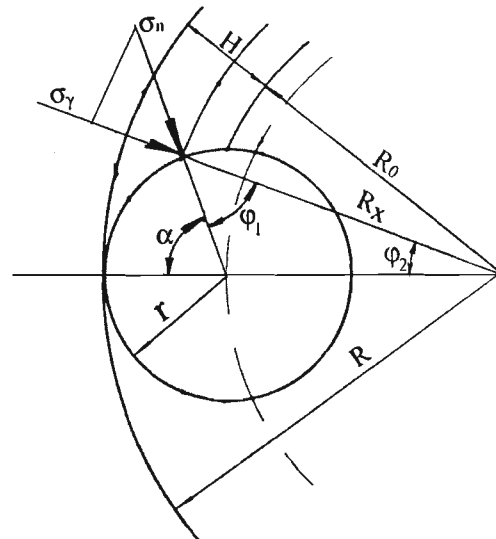
Մատրիցային օղակի և հալովակի պայմանեարերի որոշման համար անհրաժեշտ է հաշվի առնել բրիկետավորվող նյութի ֆիզիկո-մեխանիկական հատկությունների ազդեցությունը հոլովակի կողմից նյութի կառչման ընդգրկման անկյան վրա, որից և մեծապես կախված են մամլչի արտադրողականությունն ու երկրաչափական պարամետրերը:

4.1. ՀՈԼՈՎԱԿԱՆԵՐԻ ԿՈՂԱՄԻՑ ՆՅՈՒԹԻ ԿԱՌԱՋՄԱՆ ԸՆԴԳՐԿՄԱՆ ԱՆԿՅՈՒՆԸ

Հոլովակների կողմից բրիկետավորվող նյութի կառչման ընդգրկման անկյունը որոշում ենք ենթակա պայմանից, որ հոլովակի հետ նյութի հպման կետում շփման ճնշումը պետք է մեծ կամ հավասար լինի շոշափող ուժերին (Նկ.33).

$$\sigma_{\gamma\phi} \geq \sigma_z, \quad (79)$$

որտեղ՝ $\sigma_{\gamma\phi}$ -ը շփման լարումն է, σ_z -ն՝ շոշափողի լարումը:



Նկ. 33. Մամլչի մատրիցային օղակի և հոլովակի պարամետրերի որոշման հաշվարկային սխեման:

Հփման լարումը որոշվում է հետևյալ բանաձևով.

$$\sigma_{\varphi} = f\sigma_0, \quad (80)$$

որտեղ՝ σ_0 -ը հոլովակի վրա նորմալ ճնշումն է, $f = tg\varphi$ -ն՝ շփման գործակիցը, φ -ն՝ շփման անկյունը:

Բրիկետավորվող նյութի կրողմից հոլովակի վրա ազդող նորմալ և շոշափող ճնշումները որոշվում են, ելեկով բրիկետավորման ճնշումից.

$$\sigma_0 = \sigma \cos \varphi_1, \quad \sigma_2 = \sigma \sin \varphi_1, \quad \sigma_{\varphi} = f\sigma_0 = f\sigma \cos \varphi_1, \quad (81)$$

Հետևաբար՝ $f\sigma \cos \varphi_1 = \sigma \sin \varphi_1$, որտեղից՝

$$f = tg\varphi_1, \quad \text{կամ } \varphi = \varphi_1:$$

$$\text{Հայտ } 33\text{-ի } \varphi_1 = \alpha - \varphi_2, \quad \text{հետևաբար՝ } \alpha = \varphi + \varphi_1, \quad (82)$$

որտեղ՝ α_0 -ն կառչման ընդգրկման անկյունն է:

$$\text{Հայտ սինուսների թեորեմի կարող ենք գրել } \frac{r}{\sin \varphi_2} = \frac{R-r}{\sin(\alpha_0 - \varphi_2)}:$$

Նշանակելով $\frac{R}{r} = \lambda$ և կատարելով որոշ ձևավոխություններ, կստանամք՝

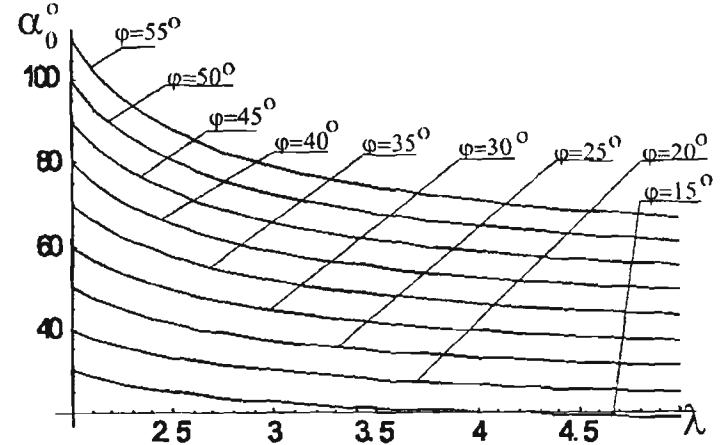
$$\alpha_0 = \varphi + \arcsin\left(\frac{\sin \varphi}{\lambda-1}\right): \quad (83)$$

(83) հավասարումը կապ է հաստատում կառչման ընդգրկման α անկյան, նյութի և հոլովակի միջև եղած շփման φ անկյան և հոլովակի ու մատրիցային օղակի շառավիղների λ հարաբերության միջև. որոնք գրաֆիկների տեսքով բերված են նկ. 34, 35-ում:

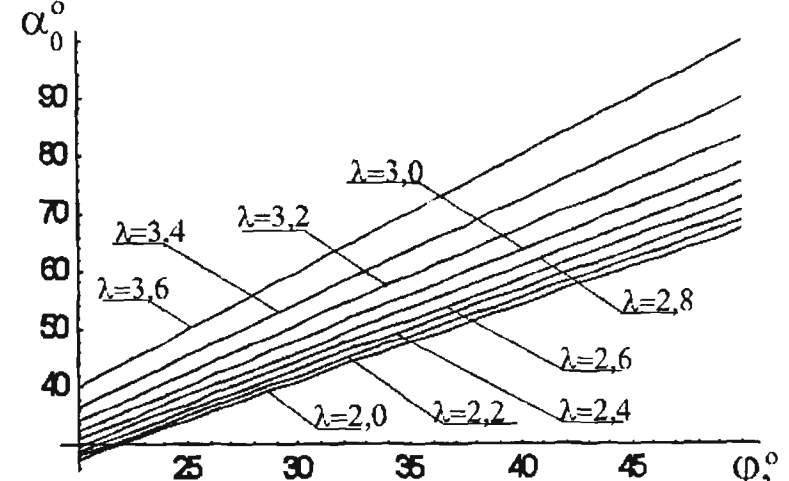
Ինչպես երևում է նկ. 34-ից, բրիկետավորման նյութի գրեթե բոլոր φ շփման անկյունների դեպքում $\lambda = 2 \div 3$ արժեքների սահմաններում կառչման ընդգրկման անկյան փոփոխությունը տեղի է ունենում ավելի ինտենսիվ, քան λ -ի ավելի լեծ արժեքների դեպքում:

Նկ. 35-ից հետևում է, որ ընդգրկման անկյունը կախված բրիկետավորվող նյութի շփման անկյունից փոփոխվում է գծային կախվածությամբ, ընդ որում, λ -ի փոքր արժեքների դեպքում փոփոխման ինտենսիվությունը ավելի փոքր է լինում:

Այստեղից հետևում է, որ ելմելով կառչման անկյան մեծությունից և կառչման գործընթացի կայունությունից, նպատակահարմաք է մատրիցային օղակի և հոլովակի արամագծերի հարաբերությունը վերցնել $\lambda = 2,4 \div 3,5$ սահմաններում:



Նկ. 34. Կառչման ընդգրկման անկյան կախվածությունը մատրիցային օղակի և հոլովակի տրամագծերի հարաբերությունից, $\alpha_0 = f(\lambda)$:



Նկ. 35. Կառչման ընդգրկման անկյան կախվածությունը բրիկետավորվող նյութի շփման անկյունից, $\alpha_0 = f(\varphi)$:

4.2. ԲՐԻԿԵՏԱՎՈՐՎՈՂ ՆՅՈՒԹԻ ԿՈՂՄԻՑ ՀՈԼՈՎԱԿԻ ՎՐԱ ԱԶԴՈՂ
ԾՆԾՄԱՆ ՈՒԺԵՐԸ ԵՎ ՀԱՄԱՉՈՐԻ ԿԻՐԱՍՈՄԱՆ ԿԵՏԸ

Հոլովակների կողմից բրիկետավորման համար անհրաժեշտ ճնշումը, որը ուղղված է մատրիցային օղակի շառավղով, կարելի է որոշել Վ.Ի.Օսոբովի կողմից առաջարկվող բանաձևով [57].

$$\sigma = k(e^{c(\rho_0 - \rho)} - 1), \quad (84)$$

որտեղ՝ k -ն և c -ն փորձնական գրքական են, ρ_0 -ը՝ սեղմված զանգվածի խտությունը, ρ -ն՝ զանգվածի սկզբնական խտությունը:

Բրիկետավորվող զանգվածի և ստացվող բրիկետների խտության կապը որոշվում է ըստ նկ. 33-ի.

$$\pi(R^2 - R_0^2)B\rho_0 = \pi(R^2 - R_x^2)B\rho_x, \quad (85)$$

որտեղից՝

$$\gamma_x = \frac{R^2 - R_0^2}{R^2 - R_x^2} \rho_0: \quad (86)$$

որտեղ՝ R -ը մատրիցային օղակի շառավիղն է, R_0 -ն՝ մասնիկի կառչման կետում շառավիղը, R_x -ը՝ տվյալ կետում շառավիղը, ρ_0 -ը՝ տվյալ կետում զանգվածի խտությունը:

Զանգվածի սեղմված և սկզբնական վիճակներում խտությունների տարրերությունը.

$$\rho_x - \rho_0 = \rho_0 \left(\frac{R_x^2 - R_0^2}{R^2 - R_x^2} \right): \quad (87)$$

Նկ.33-ից ըստ սինուսների թեորեմի կարող ենք գրել

$$\frac{r}{\sin \varphi_2} = \frac{R - r}{\sin \varphi_1} = \frac{R_x}{\sin \alpha}, \quad (88)$$

$$\frac{r}{\sin(\alpha - \varphi_1)} = \frac{R - r}{\sin \varphi_1} = \frac{R_x}{\sin \alpha}, \quad (89)$$

$$\frac{\sin(\alpha - \varphi_1)}{\sin \varphi_1} = \frac{\sin \alpha \cos \varphi_1 - \cos \alpha \sin \varphi_1}{\sin \varphi_1} = \sin \alpha \operatorname{ctg} \varphi_1 - \cos \alpha = \frac{r}{R - r}, \quad (90)$$

որտեղից՝

$$\operatorname{ctg} \varphi_1 = \frac{\frac{r}{R - r} + \cos \alpha}{\sin \alpha}, \quad \frac{R}{r} = \lambda, \quad (91)$$

$$\operatorname{tg} \varphi_1 = \frac{\sin \alpha}{\frac{r}{R - r} + \cos \alpha} = \frac{(\lambda - 1) \sin \alpha}{1 + (\lambda - 1) \cos \alpha}, \quad (92)$$

$$\begin{aligned} \sin \varphi_1 &= \frac{\operatorname{tg} \varphi_1}{\sqrt{1 + (\operatorname{tg} \varphi_1)^2}} = \frac{(\lambda - 1) \sin \alpha}{\sqrt{1 + 2(\lambda - 1) \cos \alpha + (\lambda - 1)^2}}, \\ \cos \varphi_1 &= \frac{1}{\sqrt{1 + (\operatorname{tg} \varphi_1)^2}} = \frac{1 + (\lambda - 1) \cos \alpha}{\sqrt{1 + 2(\lambda - 1) \cos \alpha + (\lambda - 1)^2}}. \end{aligned} \quad (93)$$

որտեղ՝ φ_1 -ը և φ_2 -ը մատրիցային օղակի և հոլովակի կենտրոնների նկատմամբ մասնիկի դիրքը բնորոշող անկյուններն են:

R_x շառավղի մեծությունը կլինի.

$$\begin{aligned} R_x &= (R - r) \frac{\sin \alpha}{\sin \varphi_1} = \frac{(R - r) \sqrt{1 + 2(\lambda - 1) \cos \alpha + (\lambda - 1)^2}}{(\lambda - 1)}, \\ R_x^2 &= \frac{(R - r)^2}{(\lambda - 1)^2} (1 + 2(\lambda - 1) \cos \alpha + (\lambda - 1)^2). \end{aligned} \quad (94)$$

Հետևաբար.

$$\rho_x - \rho_0 = \rho_0 \left(\frac{R_x^2 - R_0^2}{R^2 - R_x^2} \right) = \rho_0 \frac{\cos \alpha - \cos \alpha_0}{1 - \cos \alpha}, \quad (95)$$

Օգտվելով (95) հավասարումից, որոշում ենք հոլովակի դիրքը բնորոշող α_{II} անկյունը, որի դեպքում անհրաժեշտ ρ_{max} խտության բրիկետավորվող զանգվածը մատուցվում է սեղմման խցիկներին.

$$\alpha_{II} = \arccos \left(1 - \frac{\rho_0}{\rho_{max}} (1 - \cos \alpha_0) \right), \quad (96)$$

որտեղ՝ ρ_{max} -ն սեղմման խցիկներում բրիկետավորվող նյութի առավելագույն խտությունն է, ρ_0 -ն՝ բրիկետավորվող զանգվածի խտությունը:

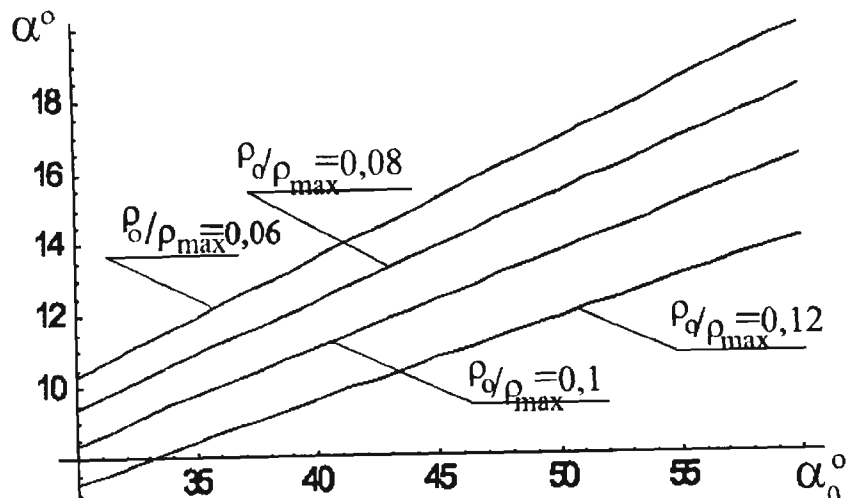
Բրիկետավորվող նյութի առավելագույն խտությունը կարելի է որոշել հետևյալ բանաձևով [33].

$$\rho_{max} = \frac{\rho_{pr} - \alpha_0 \rho_0 + \alpha_0 \rho_0 t}{\beta_0 + a_0 t}, \quad (97)$$

որտեղ՝ ρ_{pp} -ը ստացվող բրիկետների խտությունն է, $\alpha_0, \beta_0, a, -\bar{a}$ ՝ փորձնական գործակիցները, t -սեղմման խցիկներում բրիկետների գտնվելու ժամանակը, $t \geq 15$ վրկ:

$$\alpha_{tt} = f\left(\alpha_0, \frac{\rho_0}{\rho_{max}}\right) \text{ կախվածության գրաֆիկը բերված է նկ. 36-ում, որը}$$

հնարավորություն է տալիս որոշել հոլովակի դիրքը քննորչող անկյունը, ելնելով բրիկետավորվող նյութի հատկություններից և բրիկետների պահանջվող խտությունից:



$$\text{Նկ. 36. } \alpha_{tt} = f\left(\alpha_0, \frac{\rho_0}{\rho_{max}}\right) \text{ ֆունկցիայի գրաֆիկը:}$$

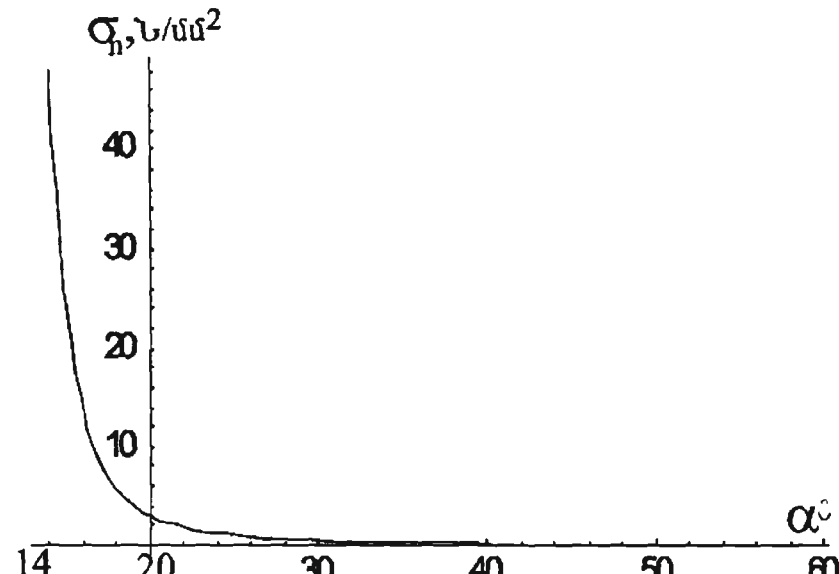
(95) հավասարումը տեղադրելով (84) հավասարման մեջ, կստանանք՝

$$\sigma_y = k \left(e^{\frac{c\rho_0 \cos \alpha - c \rho_0 \alpha_0}{1 - \cos \alpha}} - 1 \right); \quad (98)$$

Հոլովակի վրա նորմալ ճնշումը կլինի՝

$$\sigma_n = \frac{\sigma_y}{\cos \varphi_i} = \frac{k \left(e^{\frac{c\rho_0 \cos \alpha - c \rho_0 \alpha_0}{1 - \cos \alpha}} - 1 \right) \sqrt{1 + 2(\lambda - 1)\cos \alpha + (\lambda - 1)^2}}{1 + (\lambda - 1)\cos \alpha}; \quad (99)$$

Հոլովակի վրա նորմալ ճնշումը պաշտպանված է նկ. 37-ում և նկ. 38-ում բերված գրաֆիկներում, $\gamma_{pp} = 700 \text{ կգ/մ}^3$ խտությամբ բրիկետներ ստանալու համար: Սեղմման խցիկներում զանգվածի առավելագույն խտությունը որոշվել է (97) բանաձևով, ընդունելով՝ $\alpha_0 = 0,471$, $\beta_0 = 0,496$, $a_t = 4,45 \cdot 10^{-3}$ [33], $t=20$ վրկ, $\rho_0 = 70 \text{ կգ/մ}^3$:



Նկ.37. $\sigma = f(\alpha)$ ֆունկցիայի գրաֆիկը դեկարտյան կոորդինատային համակարգում:

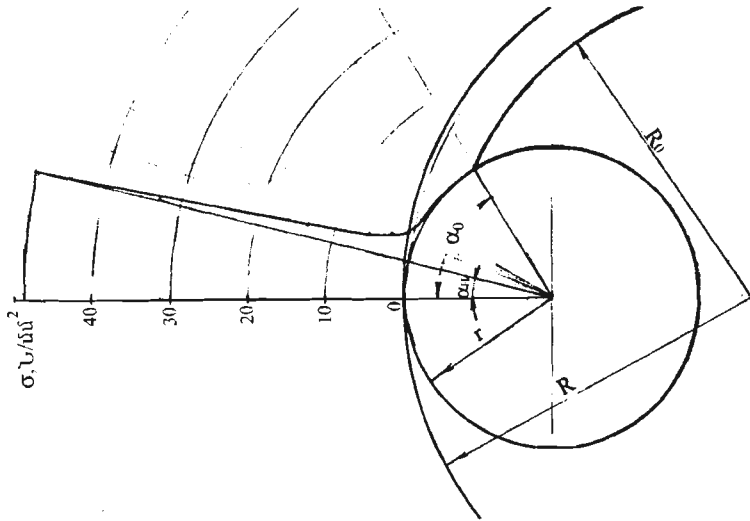
Հոլովակի վրա սեղմման ճնշումից առաջացող ուժը որոշելու համար դիտարկենք հոլովակի տարրական մակերեսի վրա ազդող ուժը՝

$$dF = \sigma_n b r d\alpha = \frac{k \left(e^{\frac{c\rho_0 \cos \alpha - c \rho_0 \alpha_0}{1 - \cos \alpha}} - 1 \right) \sqrt{1 + 2(\lambda - 1)\cos \alpha + (\lambda - 1)^2}}{1 + (\lambda - 1)\cos \alpha} b r d\alpha, \quad (100)$$

որտեղ՝ Ե-ն հոլովակի լայնությունն է:

Հոլովակի կողմից խոտի սեղմման ընթացքում համագոր ուժը կլինի.

$$F_1 = br \int_{\alpha_0}^{\alpha_H} \frac{k \left(e^{\frac{c \rho_0 \cos \alpha - c \cos \alpha_0}{1 - \cos \alpha}} - 1 \right) \sqrt{1 + 2(\lambda - 1)\cos \alpha + (\lambda - 1)^2}}{1 + (\lambda - 1)\cos \alpha} d\alpha; \quad (101)$$



Նկ. 38. $\sigma = f(\alpha)$ ֆունկցիայի գրաֆիկը, կառուցված հոլովակի սեղմող մակերևոյթի վրա:

Հոլովակի կողմից խոտի սեղման խցիկներ մտցնող համազոր ուժը.

$$F_2 = br \int_{\alpha_H}^0 \sigma_{n,\max} d\alpha = br \sigma_{n,\max} \alpha_H, \quad (102)$$

Որտեղ՝ $\sigma_{n,\max}$ -ը առավելագույն ճնշման արժեքն է, որը որոշվում է (99) արտահայտությամբ $\alpha = \alpha_H$ արժեքի համար և հոլովակի տվյալ պարամետրերի դեպքում հաստատուն մնջություն է:

Հոլովակի վրա ազդող ճնշման ուժը՝

$$F = F_1 + F_2 = br \left(\int_{\alpha_0}^{\alpha_H} \frac{k \left(e^{\frac{c \rho_0 \cos \alpha - c \cos \alpha_0}{1 - \cos \alpha}} - 1 \right) \sqrt{1 + 2(\lambda - 1)\cos \alpha + (\lambda - 1)^2}}{1 + (\lambda - 1)\cos \alpha} d\alpha + \sigma_{n,\max} \alpha_H \right); \quad (103)$$

Հոլովակի վրա ազդող համազոր ուժի դիրքը բնորոշող անկյունը.

$$\alpha_h = \frac{F_1 \alpha_1 + F_2 \alpha_2}{F_1 + F_2}, \quad (104)$$

որտեղ՝ α_1 -ը F_1 ուժի դիրքը բնորոշող անկյունն է, α_2 -ը՝ F_2 ուժի դիրքը բնորոշող անկյունը:

$$\alpha_1 = \frac{\int_{\alpha_0}^{\alpha_H} \alpha \sigma_n r d\alpha}{\int_{\alpha_0}^{\alpha_H} \sigma_n r d\alpha}, \quad \alpha_2 = \frac{\int_0^{\alpha_H} \alpha \sigma_{n,\max} r d\alpha}{\int_{\alpha_H}^0 \sigma_{n,\max} r d\alpha} = \frac{\alpha_H}{2}; \quad (105)$$

Տեղադրելով արժեքները, կունենանք՝

$$\alpha_1 = \frac{\int_{\alpha_0}^{\alpha_H} \alpha \frac{k \left(e^{\frac{c \rho_0 \cos \alpha - c \cos \alpha_0}{1 - \cos \alpha}} - 1 \right) \sqrt{1 + 2(\lambda - 1)\cos \alpha + (\lambda - 1)^2}}{1 + (\lambda - 1)\cos \alpha} r d\alpha}{\int_{\alpha_0}^{\alpha_H} k \left(e^{\frac{c \rho_0 \cos \alpha - c \cos \alpha_0}{1 - \cos \alpha}} - 1 \right) \sqrt{1 + 2(\lambda - 1)\cos \alpha + (\lambda - 1)^2} r d\alpha}, \quad \alpha_2 = \frac{\alpha_H}{2}; \quad (106)$$

(101) և (106) արտահայտությունների մեջ նշունչ ինտեգրալների որոշման նպատակով նշանակելով $\cos \alpha = x$, $\alpha = \text{Arc cos } x$, $\sin \alpha d\alpha = dx$, $x_H = \cos \alpha_H$,

$$x_0 = \cos \alpha_0, \quad d\alpha = \frac{dx}{\sin \alpha} = \frac{dx}{\sqrt{1 - x^2}}, \quad \text{կստանանք՝}$$

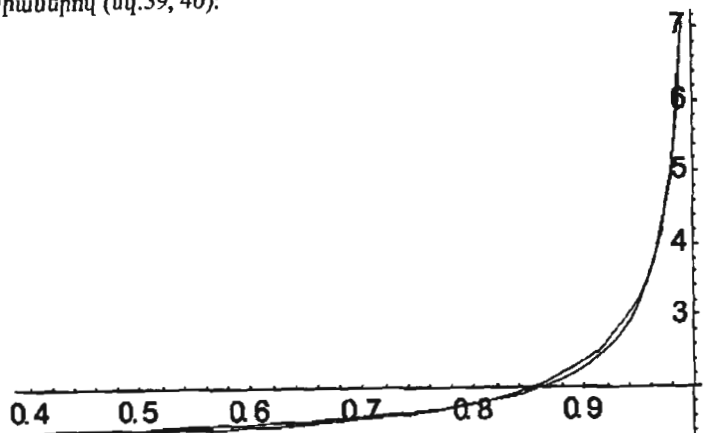
$$F_1 = br \int_{x_0}^{\alpha_H} \frac{k \left(e^{\frac{c \rho_0 \cos \alpha - c \cos \alpha_0}{1 - x}} - 1 \right) \sqrt{1 + 2(\lambda - 1)x + (\lambda - 1)^2}}{(1 + (\lambda - 1)x)\sqrt{1 - x^2}} dx, \quad (107)$$

$$\alpha_1 = \frac{\int_{\alpha_0}^{\alpha_H} \frac{k \left(e^{\frac{c \rho_0 \cos \alpha - c \cos \alpha_0}{1 - x}} - 1 \right) \sqrt{1 + 2(\lambda - 1)x + (\lambda - 1)^2}}{(1 + (\lambda - 1)x)\sqrt{1 - x^2}} r dx}{\int_{\alpha_0}^{\alpha_H} \frac{k \left(e^{\frac{c \rho_0 \cos \alpha - c \cos \alpha_0}{1 - x}} - 1 \right) \sqrt{1 + 2(\lambda - 1)x + (\lambda - 1)^2}}{(1 + (\lambda - 1)x)\sqrt{1 - x^2}} r dx}; \quad (108)$$

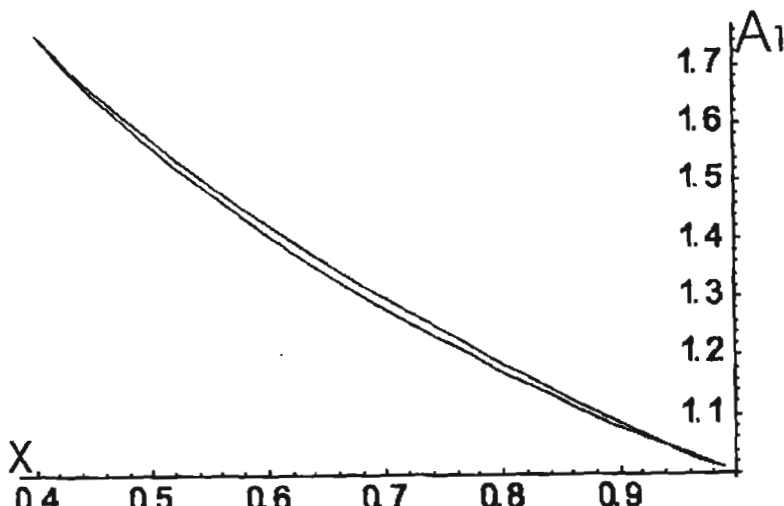
Նշանակելով՝ $A = \frac{\sqrt{1 + 2(\lambda - 1)x + (\lambda - 1)^2}}{(1 + (\lambda - 1)x)\sqrt{1 - x^2}}$, $A_1 = \frac{\text{Arc cos } x \sqrt{1 + 2(\lambda - 1)x + (\lambda - 1)^2}}{(1 + (\lambda - 1)x)\sqrt{1 - x^2}}$ և ընդունելով $\lambda = 2,4$, կառուցում ենք $A = f(x)$, $A_1 = f(x)$ գրաֆիկները, որոնք

$$\text{հարթեցնելով փոխարինում ենք առավել պարզ } A = a + \frac{b}{c+x} \text{ և } A_1 = a_1 + \frac{b_1}{c_1+x}$$

ֆունկցիաներով (նկ.39, 40):



Նկ. 39. $A = f(x)$ ֆունկցիայի գրաֆիկը:



Նկ. 40. $A_1 = f(x)$ ֆունկցիայի գրաֆիկը:

Կախված λ -ի մեծությունից $A = f(x)$ և $A_1 = f(x)$ ֆունկցիաների մեջ

մտնող գործակիցների մեծությունները բերված են աղյուսակ 2-ում:

λ	a	b	c	a_1	b_1	c_1
2,2	1,12996	-0,140755	-1,01354	-0,106939	1,94078	0,753283
2,4	1,22037	-0,117330	-1,00991	-0,106403	1,81546	0,640869
2,6	1,26415	-0,121866	-1,01083	-0,109509	1,72544	0,555233
2,8	1,34671	-0,100299	-1,00738	-0,443021	2,52184	0,748550
3,0	1,40456	-0,092564	-1,00619	-0,432041	2,38340	0,665287
3,2	1,45890	-0,085350	-1,00507	-0,424492	2,27542	0,598300

$$\zeta\text{արթեցված } A = a + \frac{b}{c+x} \text{ և } A_1 = a_1 + \frac{b_1}{c_1+x} \text{ ֆունկցիանները տեղադրելով}$$

(107) և (108) հավասարումների մեջ. կստանանք.

$$F_1 = br \int_{x_0}^{x_H} k \left(e^{\frac{cP_0(x-\cos(\alpha_0))}{1-x}} - 1 \right) \left(a + \frac{b}{c+x} \right) dx, \quad (109)$$

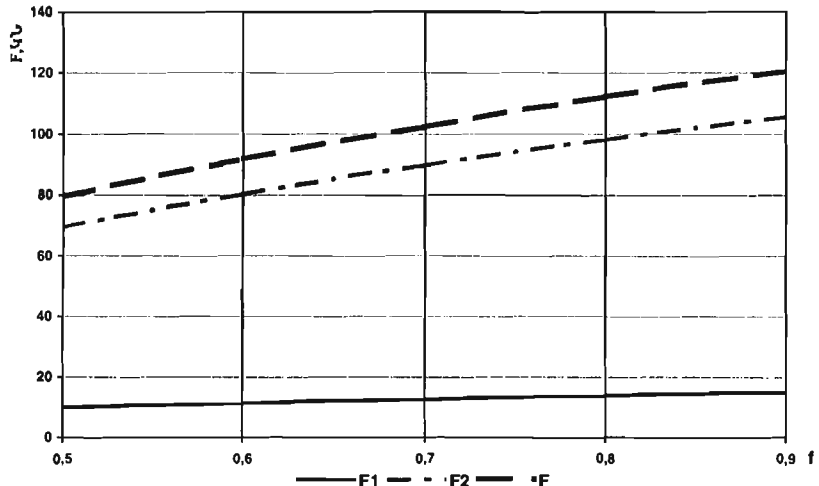
$$\alpha_1 = \frac{\int_{x_0}^{x_H} \left(e^{\frac{cP_0(x-\cos(\alpha_0))}{1-x}} - 1 \right) \left(a_1 + \frac{b_1}{c_1+x} \right) dx}{\int_{x_0}^{x_H} \left(e^{\frac{cP_0(x-\cos(\alpha_0))}{1-x}} - 1 \right) \left(a + \frac{b}{c+x} \right) dx}. \quad (110)$$

(109) արտահայտությունը տեղադրելով (103) արտահայտության մեջ, կունենանք՝

$$F = br \left(\int_{x_0}^{x_H} k \left(e^{\frac{cP_0(x-\cos(\alpha_0))}{1-x}} - 1 \right) \left(a + \frac{b}{c+x} \right) dx + \sigma_{n,\max} \arccos(x_H) \right); \quad (111)$$

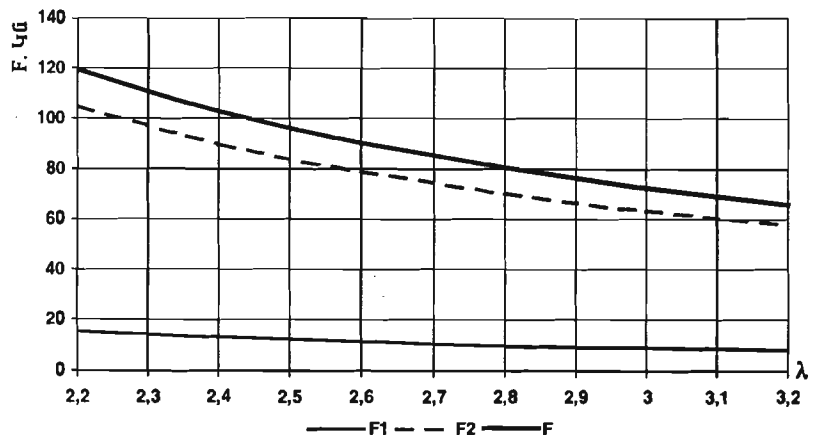
Ինտեգրելով (109) (110) և (111) արտահայտությունները, ստանում ենք հոլովակի վրա ազդող ուժերը և գումարային F ուժի կիրառման կետերը, որոնց կախվածությունները բրիկետավորման նյութի f շփման գործակցից և մատրիցային օղակի ու հոլովակի շառավղների λ հարաբերությունից գրաֆիկական տեսքով բերված են նկ. 41+43-ում:

Ինչպես երևում է նկ. 41-ում բերված գրաֆիկից, բրիկետավորվող նյութի շփման գործակցի մեծացումով հոլովակի վրա ազդող ուժերը մեծանում են: Ըստ որում նյութի սեղմման ուժը փոփոխվում է աննշան, իսկ սեղմված զանգվածը խցիկներ մտցնող ուժի փոփոխությունը առավել զգալի է:



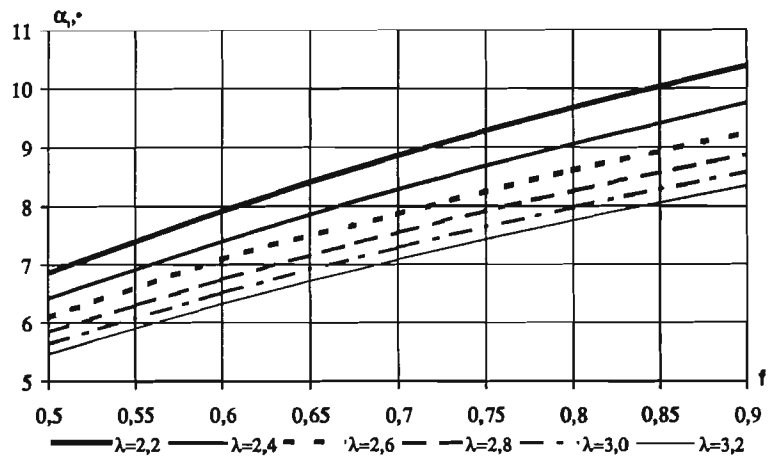
Նկ. 41. Հոլովակի վրա ազդող ուժերի կախվածությունները բրիկետավորվող նյութի շիման գործակցից:

Հոլովակի վրա ազդող ուժերը կախված մատրիցային օղակի ու հոլովակի շառավիճերի λ հարաբերությունից փոփոխվում է նկ. 42-ում բերված օրինանշավությամբ:



Նկ. 42. Հոլովակի վրա ազդող ուժերի կախվածությունները մատրիցային օղակի ու հոլովակի շառավիճերի λ հարաբերությունից:

Հոլովակի վրա ազդող գումարային ուժի կիրառման կետը բնորոշող անկյան մեծությունը կախված բրիկետավորվող նյութի շիման գործակցից և մատրիցային օղակի ու հոլովակի շառավիճերի λ հարաբերությունից (բերված է նկ. 43-ում):



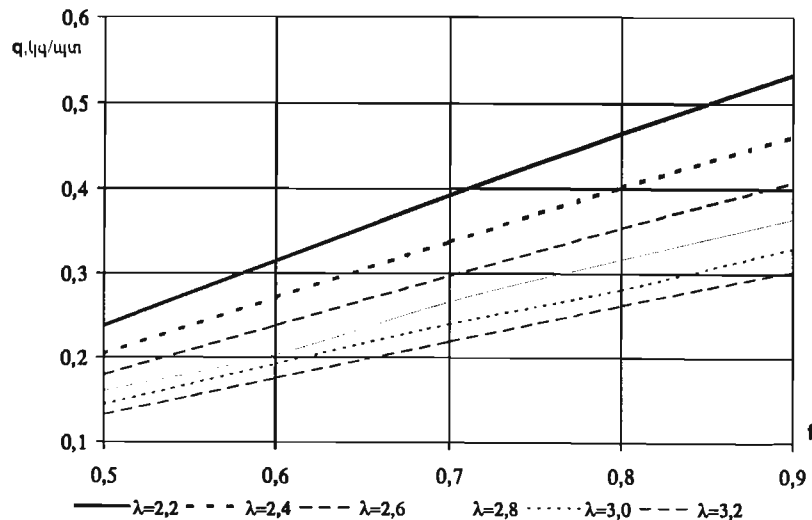
Նկ. 43. Հոլովակի վրա ազդող ուժի կիրառման կետի դիրքը բնորոշող անկյան կախվածությունը բրիկետավորվող նյութի շիման գործակցից և մատրիցային օղակի ու հոլովակի շառավիճերի λ հարաբերությունից:

4.3. ԲՐԻԿԵՏԱՎՈՐՄԱՆ ՍԱՍԼԻՉԻ ԱՐՏԱԴՐՈՂԱԿԱՆՈՒԹՅՈՒՆԸ ԵՎ ՀԶՈՐՈՒԹՅՈՒՆԸ

Բրիկետավորման մամլչի տարիչի մեկ պտույտի ընթացքում սեղմման խցիկներ մղվող զանգվածը կարելի է որոշել հետևյալ բանաձևով.

$$q = \pi(R^2 - R_0^2)b\rho_0 = \pi b \rho_0 \left(R^2 - \frac{(R-r)^2}{(\lambda-1)^2} (1 + 2(\lambda-1)\cos\alpha_0 + (\lambda-1)^2) \right) = \\ = 2\pi b \rho_0 \frac{R^2}{\lambda} \left(1 - \frac{1}{\lambda} \right) (1 - \cos\alpha_0), \text{կգ/պտ:} \quad (112)$$

Տարիշի մեկ պտույտի ընթացքում սեղմման խցիկներ մղվող զանգվածը, կախված բրիկետավորվող նյութի շփման գործակցից և մատրիցային օղակի ու հոլովակի շառավղների λ հարաբերությունից, բերված է նկ. 44-ում:



Նկ. 44. Տարիշի մեկ պտույտի ընթացքում սեղմման խցիկներ սեղմվող բրիկետավորվող նյութի զանգվածի կախվածությունը բրիկետավորվող նյութի շփման գործությունը և մատրիցային օղակի ու հոլովակի շառավղների λ հարաբերությունից:

Բրիկետավորման մամլիչի արաւադրողականությունը՝

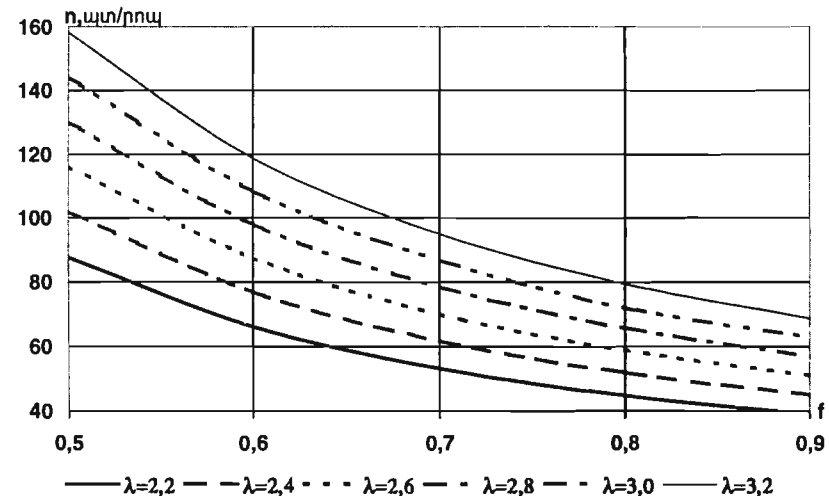
$$\vartheta = 120qn = 120qn\pi b\rho_0 \frac{R^2}{\lambda} \left(1 - \frac{1}{\lambda}\right) (1 - \cos \alpha_0), \text{ կգ/ժամ,} \quad (113)$$

որտեղ՝ z-ը հոլովակների քանակն է: Փորձերը ցույց են տվել, որ խոտի մատուցման և մեքենայի կայունության տեսակետից հոլովակների օպտիմալ քանակը է z=2, n-ը՝ տարիշի պտույտարվերը, պտ/րոպ:

Հատ տրված արտադրողականության կարող ենք որոշել տարիշի պտույտարվերը.

$$n = \frac{\vartheta\lambda^2}{120qn\pi b\rho_0 R^2 (\lambda - 1)(1 - \cos \alpha_0)}, \text{ պտ/րոպ:} \quad (114)$$

Նկ. 45-ում բերված կախվածության գրաֆիկից երևում է, որ միևնույն արտադրողականությունն ապահովելու համար, մեծ շփման գործակցից ունեցող նյութեր բրիկետավորելիս պահանջվում է տարիշի ավելի փոքր պտույտան հաճախականություն, ընդ որում շփման գործակցի փոքր արժեքների դեպքում այդ կախվածությունն ավելի զգալի է: Առվույտի բրիկետավորման դեպքում, որի շփման գործակցը՝ $f = 0.7$, կախված մատրիցային օղակի ու հոլովակի շառավղների λ հարաբերությունից, տարիշի պտույտան հաճախականությունը կազմում է $n = 50 + 90$ պտ/րոպ:



Նկ. 45. Տարիշի պտույտան հաճախականության կախվածությունը բրիկետավորվող նյութի շփման գործակցից և մատրիցային օղակի ու հոլովակի շառավղների λ հարաբերությունից:

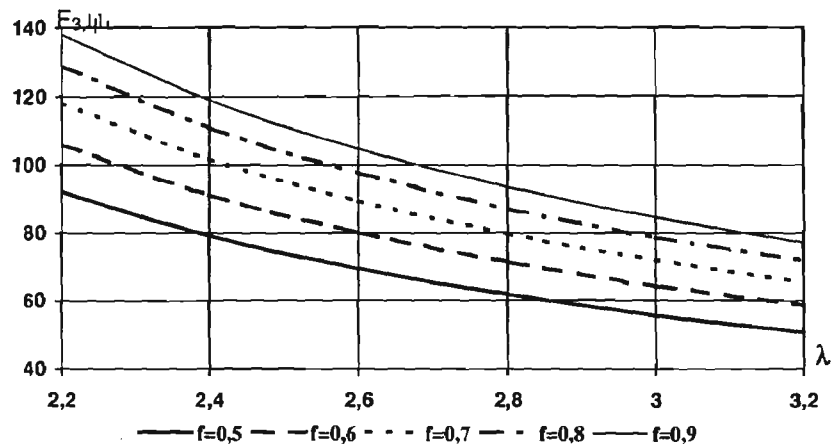
Հոլովակի վրա ազդող ուժերը հաղթահարելու համար տարիշի անհրաժեշտ պտույտան մոմենտը կլինի.

$$T_u = F(R - r) \sin \alpha_h : \quad (115)$$

Տարիշի առանցքով ազդող շառավղային ուժը.

$$F_s = F \cos \alpha_h : \quad (116)$$

Տարիչի առանցքով ազդող շառավղային ուժի փոփոխության դիագրաման, կախված բրիկետավորվող նյութի շփման գործակցից և մատրիցային օդակի ու հոլովակի շառավղների λ հարաբերությունից պատկերված է նկ. 46-ում: Դիագրամայից հետևում է, որ մեծացնելով λ -ն, տարիչի առանցքով ազդող ուժը փորձանում է, ընդ որում $\lambda \leq 2,4$ արժեքների դեպքում այն տեղի է ունենում առավել ինտենսիվ:



Նկ. 46. Տարիչի առանցքով ազդող ուժի կախվածությունը բրիկետավորվող նյութի շփման գործակցից և մատրիցային օդակի ու հոլովակի շառավղների λ հարաբերությունից:

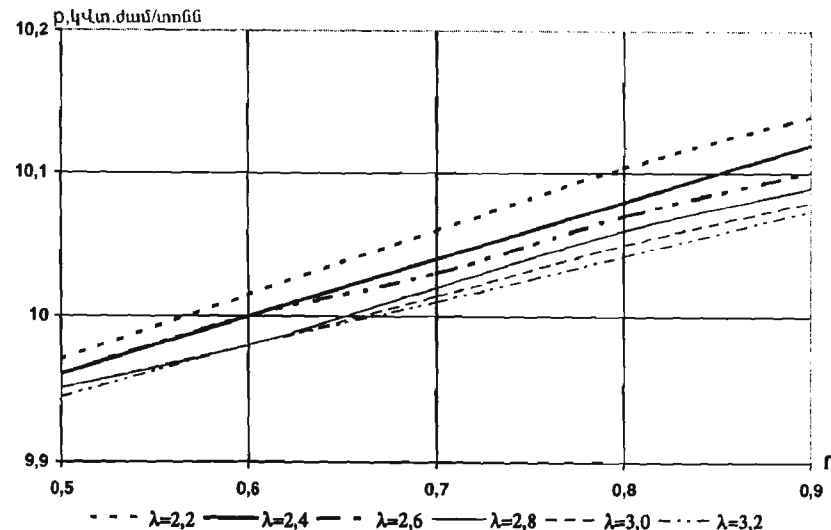
Բրիկետավորման մամլիչի աշխատեցնելու համար պահանջվող հզորությունը՝

$$P = T_u \omega = \frac{\pi n F(R-r)}{30} \sin \alpha_h, \text{Վտ:} \quad (117)$$

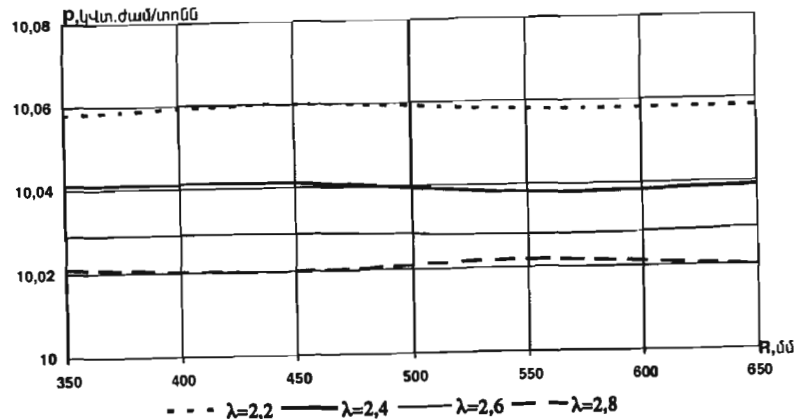
Բրիկետավորման գործընթացը բնութագրող կարևորագույն ցուցանիշն է միավոր զանգվածով բրիկետներ ստանալու վրա ծախսվող հզորությունը, այսինքն տեսակարար հզորությունը.

$$p = \frac{P}{\vartheta}, \text{կՎտ.ժամ/տոնն:} \quad (118)$$

Տեսակարար հզորության կախվածությունները բրիկետավորվող նյութի շփման գործակցից, մատրիցային օդակի ու հոլովակի շառավղների λ հարաբերությունից և մատրիցային օդակի շառավղից, պատկերված են նկ. 47-ում և նկ. 48-ում: Ինչպես երևում է դիագրամներից, բրիկետավորման տեսակարար հզորությունը, կախված բրիկետավորվող նյութի հասկություններից և մամլիչի երկրաչափական պարամետրերից ($f = 0,5 \div 0,9$, $\lambda = 2,2 \div 3,2$) փոփոխվում է $9,95 \div 10,15$ կՎտ.ժամ/տոնն սահմաններում, ընդ որում առվույտի համար այն կազմում է $10 \div 10,05$ կՎտ.ժամ/տոնն: Նկ. 48-ից հետևում է, որ մատրիցային օդակի շփման գործը չի ազդում տեսակարար հզորության վրա: Փորձերը ցույց են տվել, որ մատրիցային օդակի օատիմալ շփմանը, որի դեպքում ապահովվում է նյութի մատուցումը $Q = 2500$ կգ/ժամ արտադրողականություն ստանալու համար, կազմում է $R = 450$ մ:



Նկ. 47. Բրիկետավորման տեսակարար ρ հզորության կախվածությունը բրիկետավորվող նյութի շփման գործակցից և մատրիցային օդակի ու հոլովակի շառավղների λ հարաբերությունից:



Նկ. 48. Բրիկետավորման տեսակարար թիգորության կախվածությունը մատրիցային օղակի R շառավղից:

5. ԽՈՏԻ ՄԱՏՈՒՅՈՒՆԸ ԲՐԻԿԵՏԱՎՈՐՄԱՆ ՄԱՄԼԵԴԻՆ

Հասերից հավաքված խոտը հավաքիչ մանրատիշից բրիկետավորման մամլիշին մատուցվում է պմամատիկ մեխանիզմի և ցիկլոնի միջոցով: Ցիկլոնի ներքին գլանային իրանը, պատրաստված ջրային շապիկի տեսքով, մոնտաժված է բրիկետավորման մամլիշի վերևի մասում: Ջրային շապիկից դուրս է գալիս ջրախողովակ, որի ծայրին ցիկլոնի խողովակի կենտրոնում դրված է ծայրապանակ: Ցիկլոնի խողովակի տվյալ հատվածում օդի արագության մեծացման նպատակով տեղակայված է կոնֆուզոր: Ցիկլոնի արտաքին գլանային իրանը պատրաստված է բրիկետմերի տեղափոխման օղակային փոխադրիչի արտաքին գլանային պատի հետ համատեղ (նկ.2,3):

Ցիկլոնի խողովակում տեղակայված կոնֆուզորում օդային հոսքի արագությունը մեծանում է, առաջացնելով ճնշումների տարբերություն խողովակի տվյալ կտրվածքի և ջրային շապիկում ջրի մակարդակի միջև, որի շնորհիվ ջուրը ջրային շապիկից խողովակով և ծայրապանակով բարձրանում և խանճում է օդային հոսքին: Ցիկլոնի խողովակում խանճույն օդային հոսքին ու փոշիանալով՝ ջուրը խոնավացնում է խոտի մանրացված զանգվածը: Մանրացված խոտը, օդային հոսքի հետ միասին, խողովակից տրվում է ցիկլոնի ներքին իրան, որտեղ տեղի է ունենում օդային հոսքի և բրիկետավորվող նյութի բաժանում: Այնուհետև առանձնացված և անհրաժեշտ չափով խոնավացած բրիկետավորվող նյութը տրվում է օդակային մատրիցայի խոռոչ, որտեղ կառչվելով մամլող հոլովակների կողմից սեղմվում է սեղմման խցիկներ:

Զանգվածի բաժանման արդյունքում առանձնացված օդային հոսքը անցնելով ներքին և արտաքին իրաններով կազմված ցիկլոնի խոռոչով հովացնում է օդակային մատրիցայի արտաքին մակերևոյթը և ստացված բրիկետները: Բրիկետմերի հովացմանը նպաստում է նաև ջրային շապիկում եղած ջրի պարունակությունը: Օգտագործված օդի ելքը մբնոլորտ իրականացվում է օդակային փոխադրիչի ներքին գլանային պատի և մատրիցային օդակի ներքեկի միջև եղած գլանային բացակով:

Ներկայացվող խոտի բրիկետավորման մեջնան հնարավորություն է տալիս բրիկետավորումից առաջ խոնավացնել բրիկետավորվող զանգվածը, որը նախատեսված է ագրոզոտեխնիկական պահանջներով, և ապահովել բրիկետների հովացումը:

Հավաքիչ մանրատիչից բրիկետավորման մանջի մատրիցային օդակին բրիկետավորվող նյութի մատուցումը իրականացվում է խողովակների մի քանի տեղամասերից բաղկացած պնևմատիկ փոխադրիչով:

5.1. ՊՆԵՎԱՄԱՏԻԿ ՓՈԽԱԴՐԻՉԻ ՊԱՐԱՍԵՏՐԵՐԻ ՈՐՈՇՈՒՄԸ

Պնևմատիկ փոխադրիչի հիմնական հանգույցներն են հանդիսանում օդային խողովակաշարը, բեռնաբափող սարքավորումը (ցիկլոնը) և օդամղիչ քամիարը, որի գերը կատարում է մանրատիչի մանրացնող բճրուկը:

Պնևմատիկ փոխադրիչի պարամետրերի որոշման համար, նախ ելնելով բրիկետավորման մանջի անհրաժեշտ արտադրողականությունից, որոշում ենք օդի անհրաժեշտ ելքը, որը կարող է որոշվել հետևյալ արտահայտությամբ.

$$\vartheta_{\text{օդ}} = \frac{\vartheta}{3600m\rho_{\text{օդ}}} \cdot \text{մ}^3/\text{վ}, \quad (119)$$

որտեղ՝ $\vartheta_{\text{օդ}}$ -ը անհրաժեշտ օդի քանակն է, $\text{մ}^3/\text{վ}$, ϑ -ը՝ բրիկետավորման մանջի արտադրողականությունը, կֆ/ժամ, m -ը՝ խառնութիւն կշռային կոնցենտրա-
ցիան՝ $m = \frac{G_0}{G_{\text{օդ}}}$. Խոտի տելապատճենման դեպքում ո-ի արժեքն ընդունվում է
 $m = 0,3 + 0,8$ սահմաններում, G_0 -ը՝ բրիկետավորվող նյութի մատուցումը, կֆ/վ, $G_{\text{օդ}}$ -ը՝ օդի մատուցումը, կֆ/վ, $\rho_{\text{օդ}}$ -ը՝ օդի խտությունը, կգ/մ³:

Պնևմատիկ փոխադրիչում հիմնական աշխատանքային պարամետրը խողովակաշարում օդի հոսքի արագությունն է, որի մեծությունը կախված է բրիկետավորվող նյութի ճախրման արագությունից.

$$v_{\text{օդ}} = B v_{\text{հ}}, \quad (120)$$

որտեղ՝ B -ն բրիկետավորվող նյութից կախված գործակից է, խոտածդոտային նյութերի համար $B=2+2,5$, $v_{\text{հ}}$ -ն՝ նյութի ճախրման արագությունը:

Նյութի ճախրման արագությունը կարելի է որոշել՝ դիտարկելով մասնիկի հավասարակշռության պայմանը ուղղաձիգ խողովակի շարժվելիս.

$$R = m g, \quad (121)$$

որտեղ՝ g -ն ազատ անկման արագացումն է, m -ը՝ մասնիկի զանգվածը, $m_0 = (\rho_0 - \rho_{\text{օդ}})S l$, ρ_0 -ը՝ բրիկետավորվող նյութի խտությունը, $\rho_{\text{օդ}}$ ՝ օդային հոսքի խտությունը, S -ը՝ մասնիկի լայնական կտրվածքի մակերեսը, l -ը՝ մասնիկի երկարությունը, m , R -ը՝ մասնիկի դիմադրության ուժը, որը կարելի է որոշել Նյուտոնի բանաձևով.

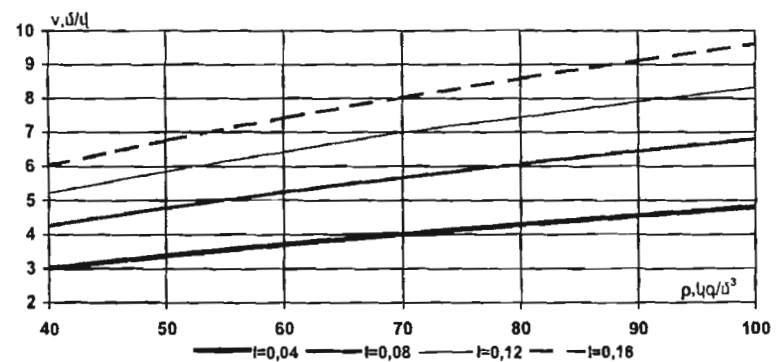
$$R = k \rho_{\text{օդ}} S (v_{\text{օդ}} - v_{\text{հ}})^2, \quad (122)$$

որտեղ՝ k -ն գործակից է, որը կախված է մասնիկների ձևից, օդի շարժման բնույթից և խողովակի տրամագծից:

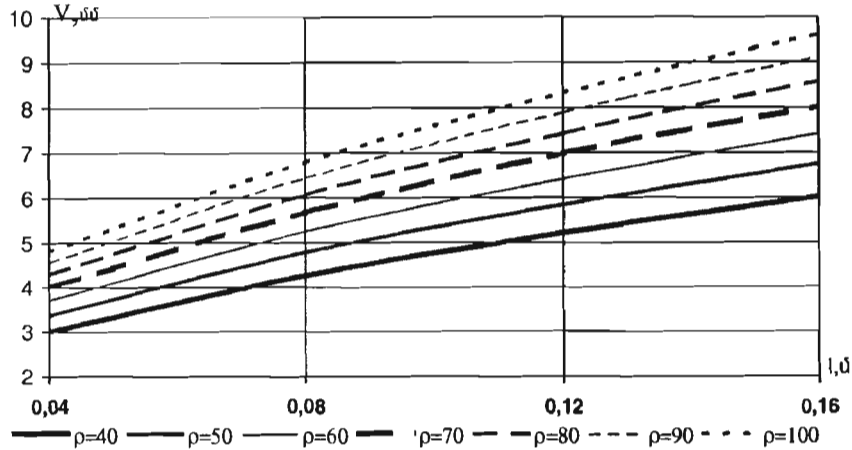
Տեղադրելով արժեքները (121) արտահայտության մեջ և կատարելով որոշ ձևափոխություններ, կարող ենք որոշել մասնիկների ճախրման արագությունը.

$$v_{\text{հ}} = \frac{1}{B-1} \sqrt{\frac{l(\rho_0 - \rho_{\text{օդ}})g}{k \rho_{\text{օդ}}}}; \quad (123)$$

Մատուցման խողովակում մասնիկների ճախրման արագության կախվածությունները մասնիկների երկարություններից և բրիկետավորվող նյութի խտությունից բերված են նկ. 49-ում և 50-ում:



Նկ. 49. Մասնիկների ճախրման արագության կախվածությունները մասնիկների խտությունից, $v_{\text{հ}} = f(\rho_0)$:



Նկ. 50. Մասնիկների ճախրման արագության կախվածությունները մասնիկների երկարությունից, $v_g = f(l)$:

Նկ. 49-ից և 50-ից երևում է, որ առվույտի բրիկետավորելիս (որի խտությունը կազմում է մոտավորապես 70 kg/m^3), կախված մասնիկների երկարությունից, ճախրման արագությունը կազմում է $v_g = 4 + 8/l$ [մ/վ]:

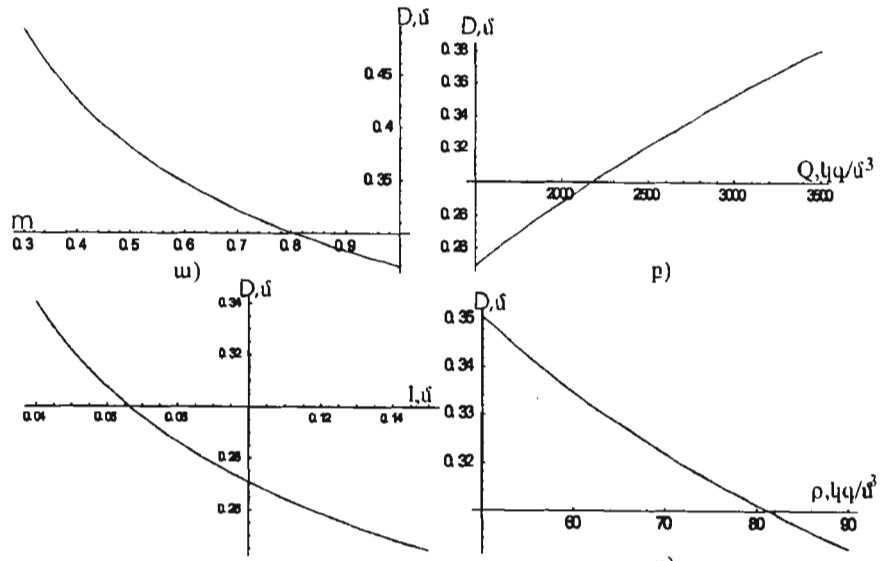
Ելեկով օդի անհրաժեշտ ելքից և արագությունից, կարող ենք որոշել խողովակի անհրաժեշտ տրամագիծը.

$$D = \sqrt{\frac{\vartheta}{\frac{900m\rho_{on}\pi B}{(B-1)} \sqrt{\frac{l(\rho_0 - \rho_{on})g}{k\rho_{on}}}}} : \quad (124)$$

Խողովակի տրամագիծի կախվածությունները գրաֆիկի տեսքով բերված են նկ. 51-ում:

Նկ. 51ա-ում բերված է խողովակի տրամագիծի կախվածությունը օդային խառնուրդի ո կոնցենտրացիայից՝ $D = f(m)$, մամլչի և բրիկետավորվող նյութի հետևյալ պարամետրերի դեպքում. $\vartheta = 2500 \text{ kg/dm}^3$, $\rho_0 = 70 \text{ kg/m}^3$, $l = 0.05 \text{ m}$, $B = 2.3$: Նկ. 51բ-ում բերված է խողովակի տրամագիծի կախվածությունը մամլչի արտադրողականությունից՝ $D = f(\vartheta)$, $\rho_0 = 70 \text{ kg/m}^3$, $l = 0.05 \text{ m}$, $B = 2.3$, $m = 0.7$

պարամետրերի դեպքում: Նկ. 51գ-ում բերված է խողովակի տրամագիծի կախվածությունը բրիկետավորվող նյութի մասնիկների երկարությունից՝ $D = f(l)$, $\vartheta = 2500 \text{ kg/dm}^3$, $\rho_0 = 70 \text{ kg/m}^3$, $B = 2.3$, $m = 0.7$ պարամետրերի դեպքում: Նկ. 51դ-ում բերված է խողովակի տրամագիծի կախվածությունը բրիկետավորվող նյութի խտությունից՝ $D = f(\rho_0)$, $\vartheta = 2500 \text{ kg/dm}^3$, $m = 0.5$, $l = 0.05 \text{ m}$, $B = 2.3$, $m = 0.7$ պարամետրերի դեպքում:



Նկ. 51. Խողովակի տրամագիծի կախվածության գրաֆիկները. ա) $D = f(m)$, բ) $D = f(\vartheta)$, ց) $D = f(l)$, դ) $D = f(\rho_0)$:

Ցիկլոնի միջնապատի ներքին տրամագիծը որոշվում է, ելեկով այն պայմանից, որ ցիկլոնում օդի հոսքի արագությունը պետք է փոքր լինի օդային խառնուրդում գտնվող մասնիկների ամենավորը մասնիկի ճախրման արագությունից, $v_g < v_e$: Ցիկլոնում օդի հոսքի արագությունը.

$$v_g = v_{eq} \left(\frac{D_g}{D} \right)^2, \quad (125)$$

որտեղ՝ v_g -ն ցիկլոնում օդի հոսքի արագությունն է, D_g -ն՝ ցիկլոնի միջնապատի ներքին տրամագիծը:

Հաշվի առնելով (120) հավասարումը, կունենանք՝

$$v_g = B v_{\eta} \left(\frac{D}{D_g} \right)^2 < v_{\eta}, \quad (126)$$

որտեղից՝

$$D_g > D\sqrt{B}: \quad (127)$$

Ի նկատի ունենալով, որ ցիկլոնում անհրաժեշտ է օդային հոսքից առանձնացնել տարբեր երկարության մասնիկներ, ապա ցիկլոնի միջնապատի ներքին տրամագիծը վերցնում ենք հաշվարկայինից $1,5 \div 2$ անգամ մեծ, այսինքն՝

$$D_g = (1,5 \div 2)D\sqrt{B}: \quad (128)$$

Խորովակաշարում օդի շարժման ժամանակ ճնշման կորուստները որոշվում են հետևյալ բանաձևով.

$$P_{\eta\eta} = P_{z\phi} + P_{\eta\eta}, \quad (129)$$

որտեղ՝ $P_{z\phi}$ -ը շփման կորուստն է, $P_{\eta\eta}$ -ը՝ տեղային դիմադրությունները հաղթահարելու վրա ճնշման կորուստները:

Ըստ կորուստները որոշվում են հետևյալ բանաձևով.

$$P_{z\phi} = \lambda \frac{L}{D} \frac{\rho_{\eta\eta} v^2}{2} U_{\eta\eta}, \quad (130)$$

որտեղ՝ λ -ն շփման դիմադրության գործակիցն է, L -ը՝ խողովակաշարի երկարությունը:

Ըստ դիմադրության գործակիցը պողպատն խողովակների դեպքում, կախված խողովակի տրամագիծից, կարելի է որոշել հետևյալ պարզեցված բանաձևով.

$$\lambda = 0,0125 + \frac{0,0011}{D}: \quad (131)$$

Տեղային դիմադրությունները հիմնականում պայմանավորված են խողովակի ծնկի ու խողովակում տեղակայված կոնֆուզորի առկայությամբ և որոշվում են հետևյալ բանաձևով.

$$P_{\eta\eta} = \frac{\rho_{\eta\eta} v_{\eta\eta}^2}{2} \left(K \xi_a \xi_R \frac{\xi_K}{D} + \xi_u + \xi_n \left(\frac{D}{D_1} \right)^2 + \xi_{v\mu} \right), \quad (132)$$

որտեղ՝ ξ_a -ն ծնկում առաջացած դիմադրության կորուստների գործակիցն է, կախված ծնկի անկյունից, ξ_R -ն՝ ծնկում առաջացած դիմադրության կորուստների գործակիցը, կախված ծնկի կորության շառավղի և խողովակի տրամագծի $\frac{R}{D}$ հարաբերությունից, K -ն՝ համեմատականության հաստատուն գործակիցը, $K=0,73$, ξ_u -ն՝ կոնֆուզորում խողովակի կտրվածքի սահուն վոլովիչությունից ստացվող կորուստների գործակիցը, ξ_n -ն՝ դիֆուզորում կորուստների գործակիցը, D_1 -ը՝ դիֆուզորում խողովակի կտրվածքի տրամագիծը, $\xi_{v\mu}$ -ը՝ խողովակի ելքում կորուստների գործակիցը:

Ըստ գոյություն ունեցող հետազոտությունների, խողովակի $\alpha = 180^\circ$, $\frac{R}{D} = 3$ և $\frac{D}{D_1} = 2$ պարամետրերի դեպքում կարող ենք ընդունել՝ $\xi_a = 2$, $\xi_R = 0,15$, $\xi_u = 0,1$, $\xi_n = 0,4$, $\xi_{v\mu} = 1$ [19]:

Ճնշման լրիվ կորուստը կլինի.

$$P_1 = P_{z\phi} + P_{\eta\eta} = \frac{\rho_{\eta\eta} v_{\eta\eta}^2}{2} \left(\lambda \frac{L}{D} + K \xi_a \xi_R \frac{\xi_K}{D} + \xi_u + \xi_n \left(\frac{D}{D_1} \right)^2 + \xi_{v\mu} \right): \quad (133)$$

Պնևմատիկ խողովակաշարերում, եթե խողովակաշարով տեղափոխվում է բրիկետավորվող նյութի և օդի խառնուրդ, ճնշման կորուստը կարելի է որոշել հետևյալ բանաձևով.

$$P_{\eta\eta} = P_1 (1 + Cm): \quad (134)$$

Հաշվի առնելով նաև, որ բրիկետավորվող նյութը տեղափոխվում է ուղղաձիգ ուղղությամբ, ապա ճնշման լրիվ կորուստը կարող է որոշվել հետևյալ բանաձևով.

$$p_{t,h} = (1+m)(\rho_0 - \rho_{on})gh + p_{t,h}(1+x) = (1+m)(\rho_0 - \rho_{on})gh + p_t(1+Cm)(1+x), \quad (135)$$

որտեղ՝ C -ն գործակից է, կախված խառնուրդի տեղափոխման արագությունից, $v_h = 15 \div 20 \text{ մ/վ}$ արագությունների դեպքում, $C = 0,58 \div 0,4$, h -ը՝ խոտի տեղափոխման բարձրությունը, x -ը՝ հաստատում գործակիցը, $x=0,1 \div 0,15$:

Խողովակաշարով բրիկետավորվող նյութի տեղափոխման համար պահանջվող հզորությունը որոշվում է հետևյալ բանաձևով.

$$P = \vartheta_{on} p_{t,h}, \text{Վտ:} \quad (136)$$

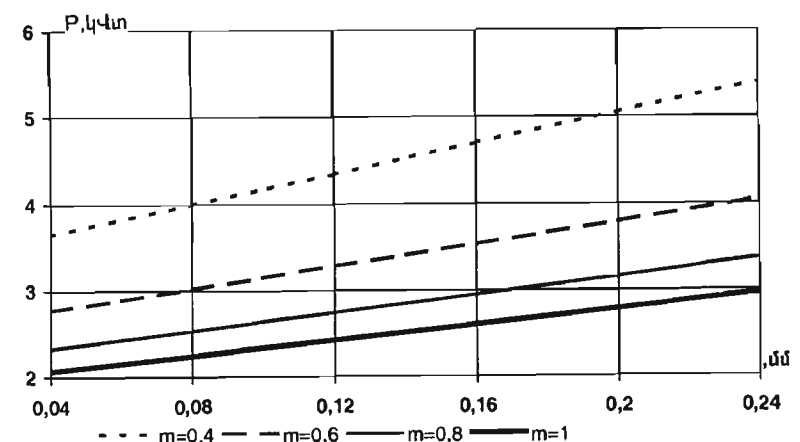
(119), (120), (123), (133), (134) և (135) արտահայտությունները տեղադրելով (136) արտահայտության մեջ և կատարելով որոշ ձևափոխություններ, կստանանք՝

$$P = \frac{\vartheta(\rho_0 - \rho_{on})g}{3600\eta\rho_{on}} \left((1+m)h + \frac{B^2l(1+Cm)(1+x)}{2k(B-1)^2} \left(\lambda \frac{L}{D} + K \xi_{\alpha} \frac{\xi_R}{D} + \xi_u + \xi_n \left(\frac{D}{D_l} \right)^2 + \xi_{t,h} \right) \right); \quad (137)$$

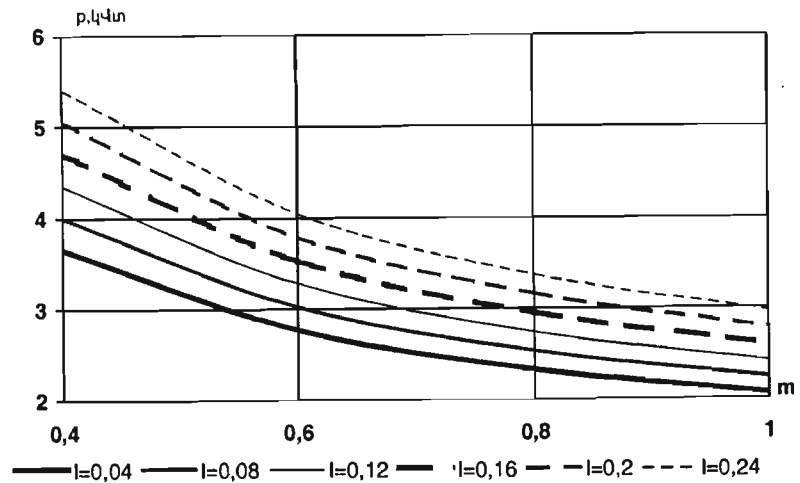
(137) արտահայտությունը հնարավորություն է տալիս որոշել բրիկետավորման մամլիչի մատուցող պնդմատիկ փոխադրիչը աշխատեցնելու համար պահանջվող հզորությունը, ելնելով բրիկետավորվող նյութի ֆիզիկամեխանիկական հատկություններից և փոխադրիչի կառուցվածքային պարամետրերից:

Պնդմատիկ փոխադրիչը աշխատեցնելու համար պահանջվող հզորության գրաֆիկները, կախված մասնիկների l երկարությունից և խառնուրդի m կոնցենտրացիայից, բերված են նկ. 52-ում և 53-ում:

Ինչպես երևում է նկ. 52-ից, կախված մասնիկների մեծությունից, պահանջվող հզորությունը մեծանում է ուղիղ համեմատական կարգով, ըստ որում խառնուրդի փոքր կոնցենտրացիայի դեպքում ճնշման աճի ինտենսիվությունն ավելի բարձր է:



Նկ. 52. Պնդմատիկ փոխադրիչի հզորության կախվածությունը մասնիկների երկարությունից $P = f(l)$:



Նկ. 53. Պնդմատիկ փոխադրիչի հզորության կախվածությունը խառնուրդի կոնցենտրացիայից $P = f(m)$:

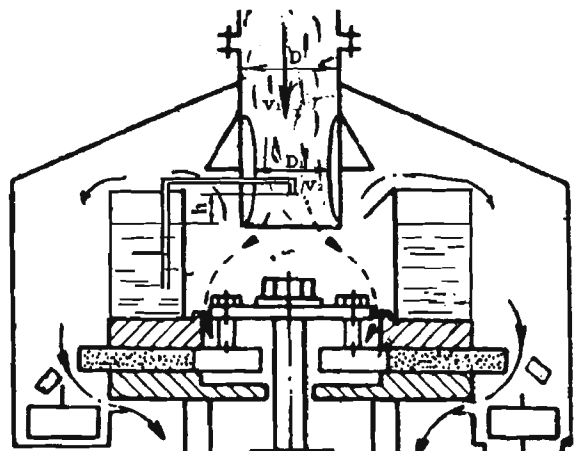
Նկ. 53-ից հետևում է, որ ավելացնելով խառնուրդի կոնցենտրացիան, պահանջվող ճնշումը նվազում է, ըստ որում նվազման ինտենսիվությունը առավել նկատելի է խառնուրդի կոնցենտրացիայի փոքր արժեքների դեպքում:

Հետևաբար, պնդմատիկ փոխադրիչների պահանջվող հզորության փոքրացման նպատակով անհրաժեշտ է ավելացնել խառնուրդի կոնցենտրացիան: Սակայն խառնուրդի կոնցենտրացիայի շատ մեծացումը հանգեցնում է խողովակաշարի խցանմանը: Հետագուտությունները ցույց են տվել, որ խառնուրդի կոնցենտրացիայի գործակցի նոմինալ արժեքը՝ $m = 0,6 \div 0,8$ է:

5.2. ԲՐԻԿԵՏԱՎՈՐՎՈՂ ՆՅՈՒԹԸ ԽՈՆԱՎԱՑՆՈՂ ՀԱՍՏԱՐԳԻ ՊԱՐԱՄԵՏՐԵՐԻ ճԵՏՈՒՄԸ

Ազրոտեխնիկական պահանջներին համապատասխանող և պահանջվող խտության ու ամրության բրիկետներ ստանալու համար, $W = 10 \div 12\%$ չորության խոտը բրիկետավորումից առաջ անհրաժեշտ է խոնավացնել մինչև $W = 18 \div 20\%$:

Բրիկետավորվող նյութը խոնավացնելու նպատակով պնդմատիկ խողովակաշարի մատուցող խողովակում տեղադրված կոնֆուզորում տեղակայում ենք ծայրապահներով ջրախողովակ, որը մատուցումն ստանում է հաստատուն մակարդակ ունեցող ջրի տարուրությունից, որը պատրաստված է ջրային շապիկի տեսքով և տեղակայված բրիկետավորման մամիչի իրանի վերին մասում (նկ. 54):



Նկ.54. Բրիկետավորվող նյութի խոնավացման համակարգի սխեման:

100

Կոնֆուզորում օդի հոսքի արագության հաշվին տեղի է ունենում ճնշման անկում, որի շնորհիվ ջրային շապիկից ջուրը հոսում է դեպի մատուցման խողովակ և խառնվելով բրիկետավորման նյութին խոնավացնում այն:

Ջրային շապիկում եղած ջրի մակարդակից ծայրապահների տեղակայման առավելագույն բարձրությունը որոշելու համար բերենք ծայրապահների ելքում ջրի ճնշումը, որի դեպքում տեղի է ունենում ջրի արտահոսք.

$$p_{\text{ճ}} - \rho_g h_{\text{առ}} - \Delta p = p_1, \quad (138)$$

որտեղ՝ $p_{\text{ճ}} - \rho$ մբնալորտային ճնշումն է, $\rho_g - \rho$ ՝ ջրի խտությունը, p_1 -ը՝ խողովակում բացարձակ ճնշումը, Δp -ն՝ ճնշման կորուստները խողովակաշարում (ջրախողովակում ջրի փոքր արագությունների և խողովակի փոքր երկարությունների պատճառով կորուստները կարելի են անտեսել, $\Delta p \approx 0$):

Գրելով խողովակում ծայրապահների տեղակայման հաստվածում բեռնուվի հավասարումը խողովակի ելքի կտրվածքի նկատմամբ, կունենանք.

$$p_1 + \rho_{\text{օռ}} \frac{v_1^2}{2} = p_{\text{ճ}}, \quad (139)$$

որտեղ՝ $\rho_{\text{օռ}}$ -ը օդի խտությունն է, $\rho_{\text{օռ}} = 1,24 \text{ կգ}/\text{մ}^3$, v_1 -ը՝ կոնֆուզորում օդի հոսքի արագությունը:

Տեղադրելով արժեքները (138) հավասարման մեջ և կատարելով որոշ ձևափոխություններ, կարող ենք որոշել մատուցման խողովակում ստատիկական մնացորդային ճնշումը.

$$p_{\text{ճ}} = p_{\text{ճ}} - p_1 = \rho_{\text{օռ}} \frac{v_1^2}{2} - \rho_g h, \quad (140)$$

Ջրախողովակից ջրի արտահոսք տեղի կունենա այն դեպքում, եթե ճնացորդային ճնշումը ջրի մակարդակի վրա՝ $p_{\text{ճ}} \geq 0$, հետևաբար, ծայրապահների առավելագույն բարձրությունը ջրային շապիկում եղած ջրի մակարդակից կլինի.

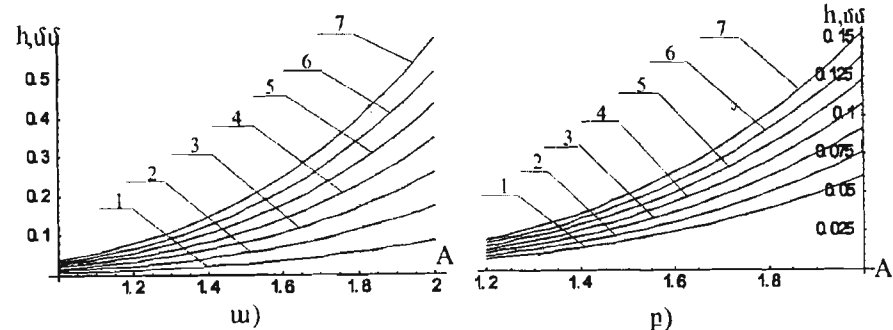
$$h_{\text{առ}} = \frac{\rho_{\text{օռ}} v_1^2}{2 \rho_g g}; \quad (141)$$

Հաշվի առնելով, որ կոնֆուզորում օդի արագությունը՝ $v_i = \sqrt{\left(\frac{D}{D_i}\right)^2 + 1}$

նշանակելով $A = \left(\frac{D}{D_i}\right)$, (123) և (141) հավասարումներից կստանանք.

$$h_{\text{առ}} = \frac{B^2 l (\rho_0 - \rho_{\infty}) A^4}{2 k \rho_0 (B-1)^2} : \quad (142)$$

(142) հավասարումը հնարավորություն է տալիս որոշելու բարում եղած ջրի մակարդակից ծայրապնակի տեղակայման առավելագույն բարձրությունը: Ջրի մակերևույթից ծայրապնակի տեղակայման առավելագույն բարձրության կախվածությունները գրաֆիկական տեսքով բերված են նկ. 55-ում:

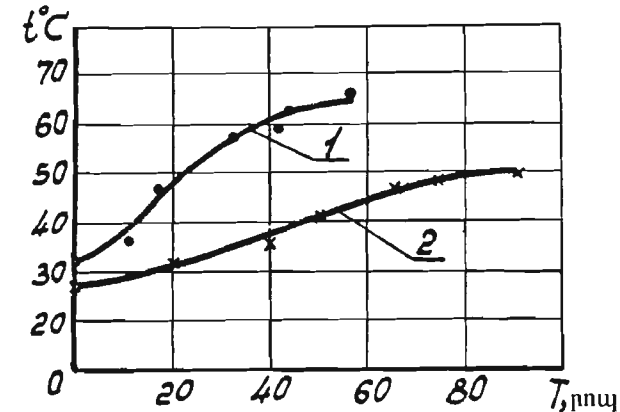


Նկ. 55. Ջրի մակերևույթից ծայրապնակի տեղակայման առավելագույն բարձրության կախվածությունները. ա) $h_{\text{առ}} = f(l, A)$: 1. $l = 0.04 \text{ m}$, 2. $l = 0.08 \text{ m}$, 3. $l = 0.12 \text{ m}$, 4. $l = 0.16 \text{ m}$, 5. $l = 0.24 \text{ m}$, 6. $l = 0.28 \text{ m}$, բ) $h_{\text{առ}} = f(\rho_0, A)$: 1. $\rho = 40 \text{ kg/m}^3$, 2. $\rho = 50 \text{ kg/m}^3$, 3. $\rho = 60 \text{ kg/m}^3$, 4. $\rho = 70 \text{ kg/m}^3$, 5. $\rho = 80 \text{ kg/m}^3$, 6. $\rho = 90 \text{ kg/m}^3$, 7. $\rho = 100 \text{ kg/m}^3$:

5.3. ԲՐԻԿԵՏԱՎՈՐՄԱՆ ՍԱՄԼԻՇԻ ԵՎ ՍԱՑՎՈՂ ԲՐԻԿԵՏՆԵՐԻ ՀՈՎԱՑՄԱՆ ՀԱՍՏԱՐԳԸ

Բրիկետավորման մամլիչում բրիկետների կազմավորումը իրագործվում է սեղմման խցիկներում բրիկետավորվող նյութի և խցիկի պատերի միջև առաջացած շփման ուժերի շնորհիվ, որի հետևանքով տաքանում են բրիկետավորման մամլիչն ու ստացվող բրիկետները:

Գիտափորձերի ընթացքում շափուկ է մամլիչի մատրիցային օղակի տաքացման ջերմաստիճանը օղակի պատերում տեղակայված թերմագույգի օգնությամբ: Մատրիցային օղակի տաքացման ջերմաստիճանը որոշվել է մանրացված և ամբողջական առվոյս թթվականությամբ: Օղակային մատրիցայի տաքացման ջերմաստիճանի կախվածությունը մամլիչի աշխատանքի ժամանակից գրաֆիկությունը պատկերված է նկ. 56-ում:



Նկ. 56. Օղակային մատրիցայի տաքացման ջերմաստիճանի կախվածությունը թթվականությամբ մամլիչի աշխատանքի ժամանակից (1. մանրացված խոտի դեպքում, 2. ամբողջական խոտի դեպքում):

Կատարված հետազոտությունների վերլուծությունը ցույց է տալիս, որ մամլիչի աշխատանքի առաջին $5+10$ րոպեում օղակային մատրիցայի ջերմաստիճանը դանդաղ է ավելանում: Այդ ընթացքում մամլիչի սեղմման խցիկներում սեղմման կոշտացած նյութ քայլայվում է և բարմ բրիկետավորվող նյութի մատուցումը այդ խցիկներ աննշան է լինում:

Այսպիսով, բանի դեռ սեղմման խցիկներում քացակայում է սեղմման նյութի տեղաշարժը, կամ սեղմաշարժի արագությունը աննշան է, օղակային մատրիցան տաքանում է հիմնականում իր ներքին մակերևույթով հոլովակների գլորման հաշվին, կամ այդ նույն մակերևույթի և հոլովակների կողմից տեղաշարժվող խոտի զանգվածի շփումից:

Այն բանից հետո, երբ խցիկներից վերջնականապես դուրս է մղվում խցիկներում կոչտացած զանգվածը և խցիկ է ճատուցվում բարմ զանգված, սկսվում է մամլիչի նորմալ և կայուն աշխատանքը, այսինքն խտացված զանգվածը որոշակի արագությամբ անցնում է խցիկի երկայնքով: Այդ դեպքում մեծ շվիման ուժերի առկայության հետևանքով խցիկի պատերը ուժեղ տաքանում են, որը և հանգեցնում է մատրիցային օղակի իմտենսիվ տաքացման մինչև որոշակի սահման:

Նկ. 56-ում բերված գրաֆիկից հետևում է, որ ամբողջական խոտ բրիկետավորելիս տաքացման աճը ավելի ինտենսիվ է և կայունացման ջերմաստիճանը ավելի բարձր, քան մանրացված խոտը բրիկետավորելիս: Այդ բացատրվում է նրանով, որ ամբողջական խոտը բրիկետավորելիս հոլովակների կողմից ավելի բիշ է կառչվում, որը բերում է տարիչի մեկ պտույտի ընթացքում խցիկ մատուցվող սեղմված շերտի հաստության փոքրացման, ճնշման տակ սեղմման խցիկում գտնվող նյութի մնալու ժամանակի և խտության մեծացման, և, որպես հետևանք, շվիման ուժերի մեծացման:

Բրիկետների կազմավորման ընթացքում ջերմության առկայությունը օժանդակում է բրիկետների մասնիկների կպչողականությանը, սակայն տաքացած բրիկետները տեղափոխումների ընթացքում շատ են վշրովում և չեն ապահովում անհրաժեշտ անրությունը: Անհրաժեշտ անրություն և խտություն ապահովելու նպատակով բրիկետավորման մամլիչներում պետք է նախատեսել բրիկետների հովացման համակարգ:

Մեր կողմից մշակված բրիկետավորման մամլիչում մամլիչի իրանի և ստացվող բրիկետների հովացումը միաժամանակ իրավունքում է օդային և ջրային հովացման միջոցով, օգտագործելով բրիկետավորման տեխնոլոգիայում գործածվող պնևմատիկ փոխադրիչից դուրս եկող օդը և բրիկետավորման նյութի խոնավացման համար անհրաժեշտ ջուրը (նկ. 2,3):

Հովացման համակարգի կիրառությունը բերում է մատրիցային օղակի և բրիկետների տաքացման ջերմաստիճանի մինչև 30+40% իջեցման:

6. ԲՐԻԿԵՏԱՎՈՐՄԱՆ ՕՂԱԿԱՁԵՎ ՍԱՍԼԻՇՎԵՐՈՒՄ ԲՐԻԿԵՏՆԵՐԻ ԶԱՐԴԻՉ-ՓՈԽԱՎԴՐԻՉԻ ՊԱՐՄԱՆՏԵՐԵՐԻ ՈՐՈՇՈՒՄԸ

Խոտի բրիկետավորման համար հիմնականում օգտագործվում են օղակային բրիկետավորող մամլիչներ, որոնց մոտ սեղմված խոտաշերտը հատուկ հարմարանքների օգնությամբ բաժանվում է որոշակի երկարության բրիկետների:

Խոտաշերտը առանձին բրիկետների բաժանման ընթացքում անհրաժեշտ է, որ՝ 1. բաժանվող բրիկետներն ունենան համապատասխան չափեր, որոնք որոշվում են ազրողութեանիկալան պահանջներով, 2. բաժանման ընթացքը շաղդի բրիկետավորման գործընթացի եներգատարության, և ստացվող բրիկետների որակական ցուցանիշների վրա:

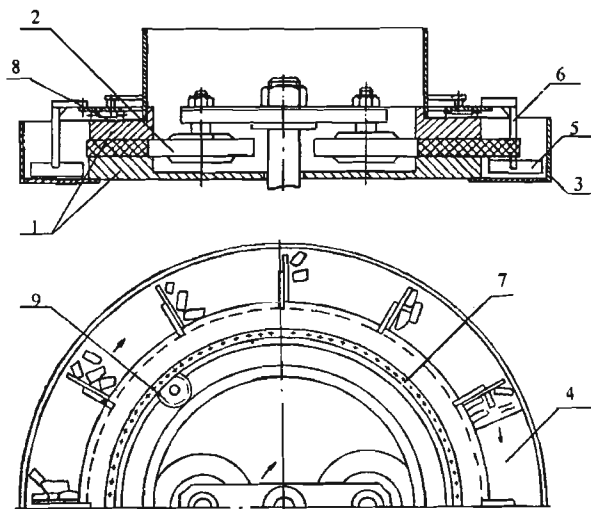
Եներլով վերը նշվածից, մեր կողմից առաջարկվել և պատրաստվել է բրիկետների ջարողիչ-փոխադրիչ, որը հնարավորություն է ստեղծում բրիկետավորման մամլիչի խցիկներից դուրս եկած մամլիչ խոտաշերտը բաժանել մինենույն երկարության բրիկետների, առանց նվազեցնելու դրանց ամրությունը: Առաջարկվող ջարողիչ-փոխադրիչը պաշտպանվել է ԽՍՍՀՄ հեղինակային վկայականով [1]:

Ջարողիչ-փոխադրիչը (նկ. 57) բաղկացած է՝ հատակին բեռնաբանող անցք (4) ունեցող պատյանից (3), որը ամրացված է բրիկետավորման մամլիչի օղակածե մատրիցայի (1) արտաքին պատյան, իսկ մատրիցայի մեջ տեղակայված են գլանվակներ (2): Պատյանի մեջ կանգնակների (6) ներքեւ ծայրերին ամրացված են թերիչները (5): Կանգնակները վերևի ծայրերով որոշակի հեռավորությունների վրա ամրացված են օղակածե մատրիցայի վերին մասի հենակետային հանգույցի (8) վրա տեղակայված գլանատամնավոր անիվին (7): Գլանատամնավոր անիվը շարժման մեջ է դրվում աստղանիվի (9) օգնությամբ:

Ջարողիչ-փոխադրիչը աշխատում է հետևյալ կերպ:

Փոխանցման մեխանիզմից պատրաստված շարժումը աստղանիվի միջոցով փոխանցվում է գլանատամնավոր անիվին այնպես, որ կանգնակները անիվի հետ պատվելով հարվածում և առանձին բրիկետների են բաժանում օղակածե

մատրիցայից դուրս եկած մամլված խոտանյութի ժապավենները: Քերիշները, պատյանի մեջ պտտվելով, ջարդված բրիկետները տեղափոխում են դեպի բեռնարափակման անցքը: Եթե նատրիցայից դուրս եկող խոտանյութի ժապավենը դիտարկենք որպես բարձակային հեծան, ապա կանգնակի հետ հանդիպման պահին առաջանում է ծոռղ մոմենտ և հեծանի վտանգավոր կտրվածքը կլինի օղակածն մատրիցայի արտաքին կողային մակերևույթի մոտ, որտեղ և ժապավենը բաժանվում է բրիկետների: Գիտափորձների արդյունքները ցույց են տվել, որ բրիկետների կոտրումը իրականում տեղի է ունենում մատրիցային օղակից $k = 20$ մմ հեռավորության վրա:



Նկ. 57. Բրիկետների ջարդիչ-փոխադրիչի կառուցվածքային սխեման:

Կոտրումը տեղի է ունենում ակնթարթորնեմ, առանց ծովան, որը բացատրվում է գործադրված ճնշման հարվածային բնույթով և ժապավենի կառուցվածքով: Մամլված ժապավենը բաղկացած է մամլված խոտանյութի առանձին շերտերից, որոնցից մեկ զույգի մակերևույթի սահմանի վրա էլ տեղի է ունենում ժապավենի կոտրատումը: Ժապավենի կոտրվող մասը՝ բրիկետը, գործնականում չի դեֆորմացվում և պահպանում է կազմավորման ընթացքում ստացած իր ամրությունը:

Ջարդիչ-փոխադրիչի արտադրողականությունը հավասար է բրիկետավորման մամլիչի արտադրողականությանը, հետևաբար, փոխադրիչի պարամետրները որոշում ենք ըստ մամլիչի արտադրողականության՝ $Q_{\Phi} = \vartheta$:

Ջարդիչ-փոխադրիչի մեկ պտույտի ընթացքում կոտրվող և տեղափոխվող բրիկետների քանակը կլինի՝

$$q = \frac{\vartheta}{60n_{\Phi}} \text{կգ/պտ}, \quad (143)$$

որտեղ՝ n_{Φ} -ը ջարդիչ-փոխադրիչի պտույտման հաճախականությունն է, պտ/ր:

Ցուրաքանչյուր բերիչի կողմից տեղափոխվող բրիկետների միջին ծավալը փոխադրիչի մեկ պտույտի ընթացքում.

$$V = \frac{q l 10^6}{z_p \rho} \text{սմ}^3, \quad (144)$$

որտեղ՝ z_p -ը բերիշների քանակն է, ρ -ն՝ բրիկետների խոտանյունը, կգ/մ³:

Ստացվող բրիկետների երկարությունը վերցվում է ըստ ազրողութեանիկական պահանջների՝ $L_p = 50$ մմ: Ջարդիչ-փոխադրիչի կանգնակի հեռավորությունը մատրիցային օղակից կլինի՝

$$l = k + L_p, \quad (145)$$

Բրիկետների առավելագույն երկարությունը կլինի՝

$$L_{p_{\max}} = L_p + \Delta L, \quad (146)$$

որտեղ՝ ΔL -ը բրիկետների երկարության փոփոխության մեծությունն է, որը կախված է մամլված խոտաշերտի շարժման արագությունից և փոխադրիչի պտույտման հաճախականությունից:

$$\Delta L = v_{\mu} t, \quad (147)$$

որտեղ՝ v_{μ} -խոտաշերտի շարժման արագությունն է, մ/վ, t -ն՝ բերիշների միջև ընկած տարածքով բերիչի տեղաշարժի ժամանակը.

$$v = \frac{\theta}{3600 z_p \alpha b}, \text{մ/վ}, \quad t = \frac{60}{n_{\Phi} z_p}, \text{վ:} \quad (148)$$

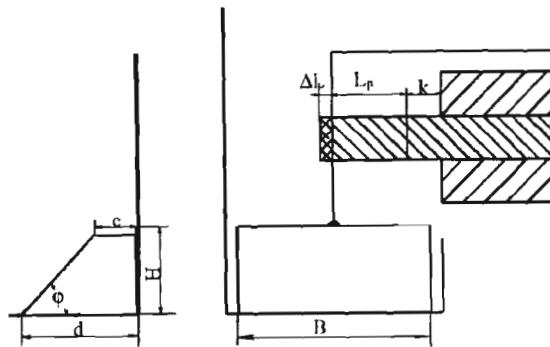
Տեղադրելով արժեքները, կստանանք.

$$\Delta L = \frac{\vartheta}{3600 z_{\mu} \rho a b} \frac{60}{n_{\phi} z} = \frac{\vartheta}{60 n_{\phi} z_{\mu} \rho a b}, \quad (149)$$

որտեղ՝ z_{μ} -ը սեղման խցիկների քանակն է, a -ն և b -ն՝ բերիկետի լայնական կտրվածքի չափերը:

Բերիչների չափերը որոշելու ելուսմ ենք բերիչների առջև հավաքված բրիկետների առավելագույն ծավալային կուտակումից.

$$V_{\text{առ}} = \frac{ab(L_p + \Delta L)z_{\mu}}{z_p}; \quad (150)$$



Նկ. 58. Չարդիչ-փոխադրիչի բերիչների չափերի որոշման հաշվարկային սխեման:

Մյուս կողմից, ընդունելով, որ բերիչի դիմաց հավաքված զանգվածն ունի պրիզմայի ձև, ասա, ըստ նկ. 58-ի, կունենանք՝

$$V_{\text{առ}} = \frac{(Hg\varphi + c)HB}{2}, \quad (151)$$

որտեղ՝ H -ը բերիչների բարձրությունն է, B -ն՝ բերիչների լայնությունը, φ -ն՝ բրիկետների կույտի քանակն թերման անկյունը, c -ն՝ կույտի վերին հարթ մասի երկարությունը, ընդունում ենք՝ $c=L_p$:

Հավասարեցնելով (150) և (151) հավասարումները, կստանանք մի հավասարում, որը ցույց է տալիս կապը բերիչի պարամետրերի միջև.

$$\frac{(Hg\varphi + c)HB}{2} = \frac{ab(L_p + \Delta L)n}{z}; \quad (152)$$

Ըերիչների կայուն աշխատանքն ապահովելու համար անհրաժեշտ է, որ նրանց վրա բրիկետների տեղաշարժման շփման ուժի կիրառման կետը գտնվի կանգնակի վրա, որը կիսի այն դեպքում, եթե ընդունենք, որ բերիչի լայնությունը հավասար է մամլիչից քերիչի կանգնակի հեռավորության կրկնակի չափին, այսինքն՝ $B = 2l = 2(L_p + k)$:

Լուծելով (152) հավասարումը H -ի նկատմամբ, կունենանք.

$$H = \frac{\sqrt{c^2(L_p + k)^2 + \frac{8abnlg\varphi(L_p + \Delta L)(L_p + k)}{z}} - c(L_p + k)}{2(L_p + k)g\varphi}; \quad (153)$$

Բրիկետների տեղափոխման վրա ծախսված աշխատանքը որոշվում է ելնելով փոխադրիչի մեկ պտույտի ընթացքում տեղափոխվող բրիկետների միջին քանակից.

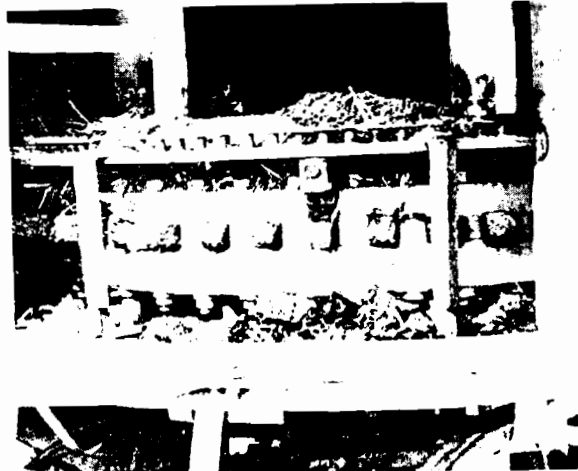
$$A = qgf \frac{2\pi(R+l)}{2} = \frac{Q}{60n_{\phi}} g f \pi(R+l) \text{ Զոռություն:} \quad (154)$$

Բրիկետների տեղափոխության համար անհրաժեշտ հզորությունը.

$$P_{\text{գ.օ}} = \frac{A}{T} = \frac{Q}{3600} g f \pi(R+l) \text{ Վտ:} \quad (155)$$

Ընդունելով բրիկետավորման մամլիչի արտադրողականությունը՝ $Q = 2500 \text{կգ/ժ}$, բրիկետների չափերը՝ $a \times b = 35 \times 35 \text{սմ}$, բրիկետների խտությունը՝ $\rho = 600 \text{կգ/մ}^3$, բրիկետավորման մամլիչի պտտման հաճախականությունը՝ $n = 70 \text{պտ/ր}$, սեղման խցիկների քանակը՝ $z_{\mu} = 45$, օղակածև մատրիցայի շառավիղը՝ $R = 0,45 \text{մ}$, բրիկետների երկարությունը՝ $L_p = 5 \text{սմ}$, մետաղի հետ բրիկետների շփման գործակիցը՝ $f = 0,7$, բրիկետների բնական շփման անկյունը՝ $\varphi = 45^\circ$, չարդիչ-փոխադրիչի պտտման հաճախականությունը՝ $n_{\phi} = 17 \text{պտ/ր}$, կանգնակների քանակը $z_p = 4$, վերը նշված բանաձևերով որոշում ենք չարդիչ-փոխադրիչի պարամետրերը. Չարդիչ-փոխադրիչի կանգնակի հեռավորությունը մատրիցային օղակից՝ $l = 70 \text{մմ}$, բերիչների լայնությունը՝ $B = 140 \text{մմ}$, բերիչների բարձրությունը՝ $H = 100 \text{մմ}$:

Զարդիչ-փոխադրիչի ստացված պարամետրերն օգտագործվել են մեր կողմից մշակված բրիկետավորման մանյշում: Զարդիչ-փոխադրիչը աշխատանքային դիրքում պատկերված է նկ. 59-ում:



Նկ. 59. Զարդիչ փոխադրիչը աշխատանքային վիճակում:

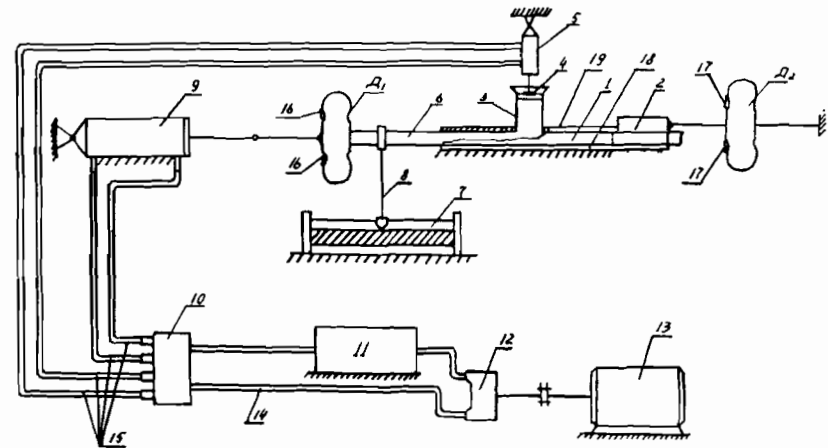
Բրիկետների որոշակի չափերի պահպանումը թյում է ազրողութեանի կական պահանջներից, իսկ աճրության ապահովումը մեծապես նպաստում է մեխանիկական կորուստների նվազեցմանը: Առաջարկվող զարդիչ-փոխադրիչը ծառայում է այդ նպատակներին: Ուսումնասիրության ընթացքում ստացված կախվածությունները հնարավորություն են ստեղծում որոշելու զարդիչ-փոխադրիչի երկրաչափական և էներգետիկ պարամետրերը, ենելով բրիկետավորման մամլչի պարամետրերից:

7. ԽՈՏԻ ԲՐԻԿԵՏԱՎՈՐՄԱՆ ԳՈՐԾԵՆԹԱՑԻ ԳԻՏԱՓՈՐՉԵՐԻ ԿԱՏԱՐՄԱՆ ՄԵԹՈԴԻԿԱՆ ԵՎ ԱՐԴՅՈՒՆՔՆԵՐԸ

Խոտի բրիկետավորման գործընթացի տեսական հետազոտությունների արդյունքները ստուգելու և տեսական հետազոտություններում անհրաժեշտ գործակիցները որոշելու համար պետք է կատարել գիտափորձեր, որի համար անհրաժեշտ է ստեղծել փորձարարական համապատասխան բազա և մշակել փորձերի կատարման ու մշակման համապատասխան մեթոդիկա:

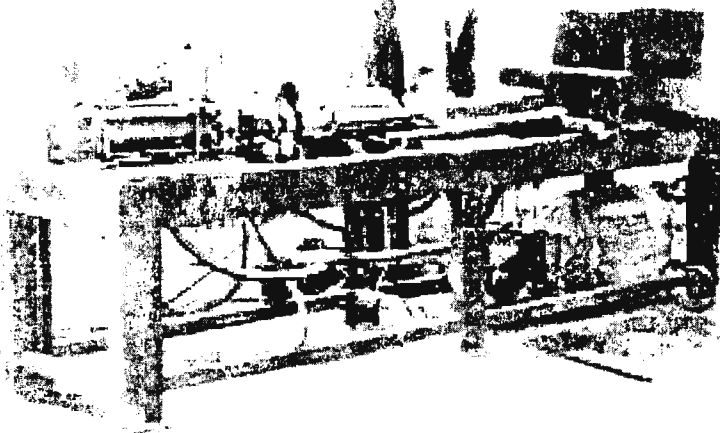
7.1. ՓՈՐՁԱՐԱՐԱԿԱՆ ՍԱՐՋ

Փորձեր կատարելու համար մեր կողմից մշակվել և տեղակայվել է լաբորատոր փորձարարական սարք (նկ. 60, 61):



Նկ.60. Փորձարարական լաբորատոր սարքի սխեման.
1. սեղման խցիկ, 2. սեղման խցիկի շարժական պատ, 3. լցավորման բունկեր, 4. խտացուցիչ, 5. խտացուցիչի հիդրոգլան, 6. սողնակ, 7. սողմակի ընթացք չափող ուղարկատ, 8. ուղարկատի շարժական կոմտակտը սողնակի հետ կապող բազով, 9. սողնակի ընթացքի հիդրոգլան, 10. Г-40/75Б բաժանարար, 11. յուրի բար, 12. ПДК-500 հիդրոնիչ, 13. էլեկտրաշարժիչ, 14. բայմք ճնշման փողորակ, 15. հիդրո-գլանների մատուցման փողորակ, 16. առանցքային ուժի չափման ուժաչափի տեսնոտվիչ, 17. շփման ուժերի չափման ուժաչափի տեսնոտվիչ, 18. առանցքային ուժի չափման ուժաչափ, 19. շփման ուժերի չափման ուժաչափ:

Սարքը բաղկացած է շրջանակից, որի վրա մոնտաժվում է սեղմճան խցիկը: Սեղմճան խցիկը բաղկացած է ներքեի՝ (18) և վերեի՝ (19) սալիկներից, որոնց միջև գտնվում են երկու կողային պատերը՝ (1): Սեղմճան խցիկի ներսում հետընթաց-համբաց շարժում է կատարում սողնակը՝ (6), որին շարժման մեջ է դնում հիդրոգլանը՝ (9): Բրիկետավորման նյութը խցիկին մատուցվում է բեռնավորման բռնկերից՝ (3), սեղմիչների՝ (4) օգնությամբ, որոնց շարժման մեջ է դնում հիդրոգլանը՝ (5): Հիդրոգլաններին աշխատանքային հեղուկը (յուղը) մատուցվում է յուղի բաքից՝ (11), յուղի մոդչի՝ (12) և փողակների՝ (14), (15) միջոցով: Յուղի մոդչը շարժման մեջ է դրվում էլեկտրաշարժիչի (13) միջոցով:



Նկ. 61. Լարորատոր սարքի ընդհանուր տեսքը:

Կիրառվող ուժը որոշելու համար հիդրոգլանի մխոցակորի՝ (9) և սողնակի՝ (6) միջև տեղակայված է Ա, տենզոմետրական ուժաչափը, որի վրա առանձված են կամրջային սինեմայով միացված տենզոտվիչները՝ (16):

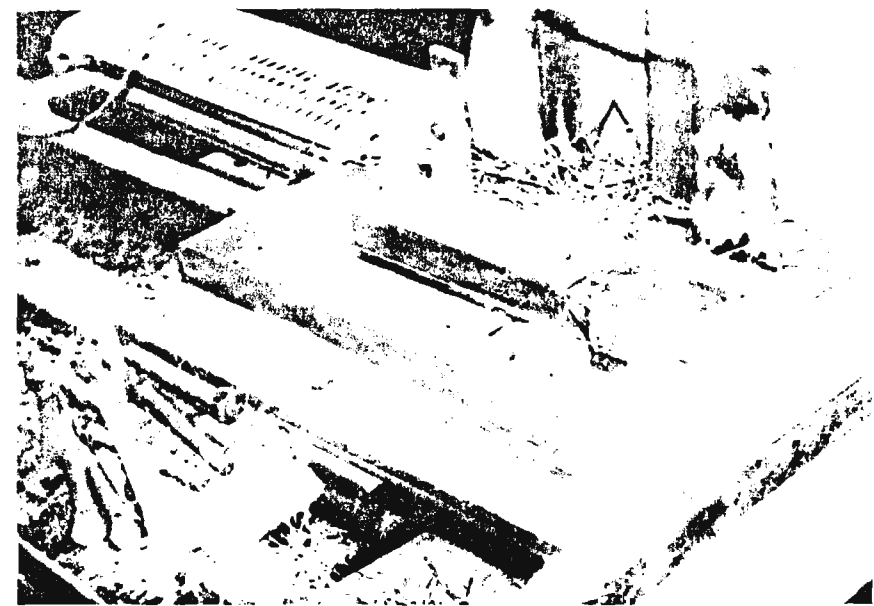
Կիրառվող առանցքային ճնշումը որոշվում է հետևյալ բանաձևով՝

$$P_{\text{տ}} = \frac{F_{\text{տ}} - F_{\text{չ}}}{S},$$

որտեղ՝ $F_{\text{տ}}$ -ը տառանցքային ուժն է, որ ստացվում է Ա ուժաչափի ցուցմունքից, $T_{\text{պա-լ}}$ -ը՝ սողնակի և խցիկի այտերի միջև առաջացած շփման ուժը (որոշվում է խցիկում սողնակի պարագ ընթացքի դեպքում), S -ը՝ սողնակի ճակատամասի մակերեսը:

Բրիկետավորման գործընթացի վրա սեղմճան խցիկի պարամետրերի ուսումնասիրության նվազակույթ խցիկը պատրաստվել է փոխանչվող պատերով, որոնց օգնությամբ փոփոխվում են նրանց պարամետրերը՝ a_0 , α , L ,

L_1 , L_2 (նկ.62):

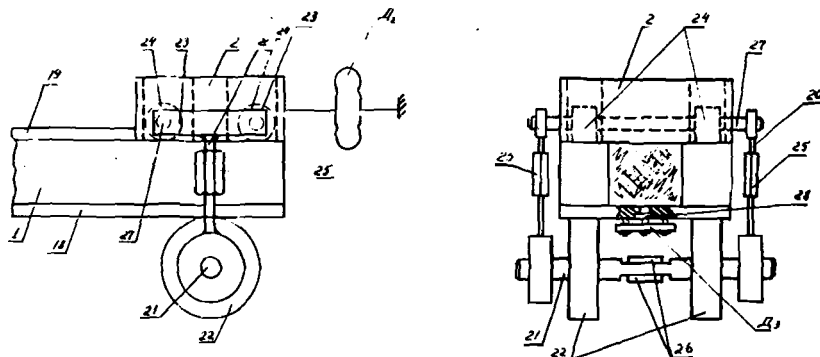


Նկ. 62. Փոփոխվող պատերով սեղմճան խցիկի տեսքը:

Նշված սարքով հնարավոր է նաև որոշել սեղմճան գանգվածի և սեղմճան խցիկի պատերի միջև եղած շփման գործակիցը: Այդ նապատակով վերին սալիկը պատրաստվում է երկու մասից՝ շարժական (19) և անշարժ՝ (12): Վերին սալիկի հետին մասը հնարավորություն ունի շարժվելու խցիկի երկայնական առանցքի

ուղղությամբ: Ուղղաձիգ ուղղությամբ նրա շարժումը բացառելու նպատակով, վերին սալիկի այլ մասը ներքին սալիկի հետ կապվում է պահանջների՝ (20), միջոցով (նկ. 63): Պահանջները պատրաստված են այնպես, որ հնարավոր լինի կարգավորել վերին սալիկի շարժական մասի և խցիկի կողային պատերի միջև եղած բացակը: Սեղման խցիկի երկայնական առանցքի ուղղությամբ վերին սալիկի շարժական մասի շարժումը սահմանված է հենարանով, որի դիմաց տեղակայված է A_2 ուժաչափը, որի վրա սոսնձված են տենզոտվիչներ՝ (17), շփման ուժերի մեծությունները չափելու համար:

Բրիկետավորվող նյութի և վերին սալիկի շարժական մասի միջև առաջացող շփման ուժերից բացի, փորձարարական սարքի վրա կարելի է չափել սալիկի այլ մասի վրա ազդող նորմալ ուժը (նկ. 63):



Նկ. 63. Սեղմված խոտի արտաքին շփման գործակցի որոշման հանգույցի սխեման:

Այդ նպատակով պահանջները պատրաստված են Տ-ածեն: Յուրաքանչյուր պահանջի երեք ծայրերին տեղակայված է մեկական գնդիկային առանցքակալ: Ընդ որում վերին երկու զույգ առանցքակալները՝ (24) տեղակայված են վերին սալիկի շարժական մասի միջանցիկ առվակների մեջ, նստեցված են երկու առանցքների՝ (27) վրա և հենվում են խցիկի (1) կողային պատերին, իսկ (21) առանցքի վրա նստեցված ներքելի մեկ զույգ առանցքակալները՝ (22)՝ ներքեկի (18) սալիկի վրա: (21) և (27) առանցքները միացան միացված են պահանջներով՝ (20): Յուրաքանչյուր պահանջի երկու կեսերը միացնող

մանեկների՝ (25) օգնությամբ հնարավոր է կարգավորել սալիկի՝ (2) և խցիկի պատերի միջև եղած բացակը, որը հնարավորություն է ստեղծում երկայնական ուղղությամբ սալիկի՝ (2) շարժմանը, առանց պատերի վրայով սահելու:

Նյութի սեղմման գործնքացում սալիկի վրա ազդող ուժը պահանջների միջոցով փոխանցվում է առանցքին, որի կերտրուճում տեղակայված տեղակայված է (26) օգնությամբ հնարավորություն է ստեղծվում շափելու խցիկի պատերի վրա ազդող նորմալ ուժը:

Երիկետավորման խցիկում բրիկետավորվող նյութի և խցիկի պատերի միջև եղած f շփման գործակիցը որոշվում է՝ ելեկով A_2 ուժաչափի միջոցով շափվող F_{24} շփման ուժից և խցիկի վերին սալիկի շարժական մասի վրա ազդող N նորմալ ուժից, որը շափվում է տենզոտվիչների օգնությամբ.

$$f = \frac{F_{24} - 2f_{\phi} N}{N}, \quad (156)$$

որտեղ՝ f_{ϕ} -ը գնդառանցքակալների գլորման շփման գործակիցն է:

Գնդառանցքակալների գլորման շփման գործակիցը որոշվում է հետևյալ բանաձևով՝

$$f_{\phi} = f_{\dot{\eta}, \mu} + f_{\dot{\gamma}, \mu}, \quad (157)$$

որտեղ՝ $f_{\dot{\eta}, \mu}$ -ն գնդառանցքակալի արտաքին օղակի սեղմման խցիկի պատի վրա գլորվելիս բերված շփման գործակիցն է, $f_{\dot{\gamma}, \mu}$ -ը՝ գնդառանցքակալի ներքին օղակը գնդիկների վրա գլորվելիս բերված շփման գործակիցը:

$f_{\dot{\eta}, \mu}$ և $f_{\dot{\gamma}, \mu}$ գործակիցները որոշվում են հետևյալ բանաձևերով՝

$$f_{\dot{\eta}, \mu} = \frac{2\delta_1}{D}, \quad (158)$$

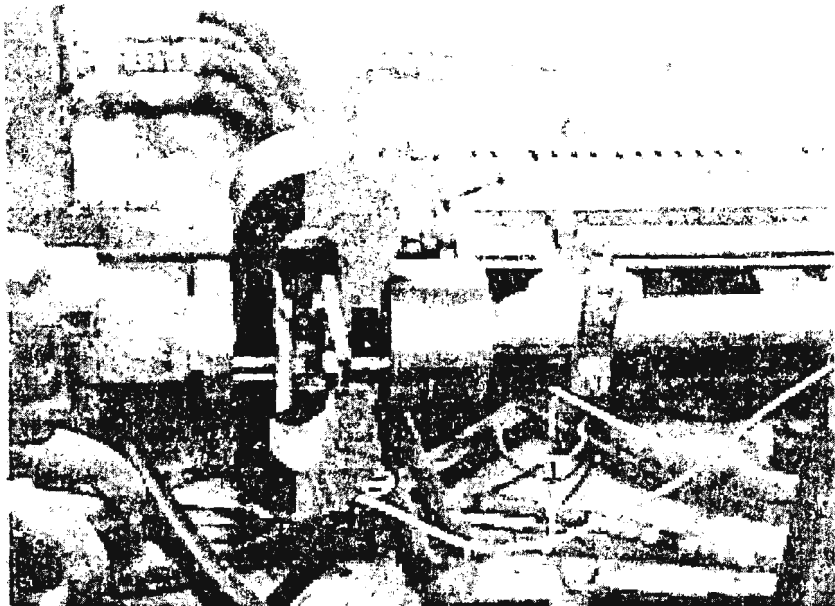
$$f_{\dot{\gamma}, \mu} = \frac{2,8\delta_2}{d} \left(1 + \frac{D_1}{2r} \right).$$

որտեղ՝ δ_1 -ը գնդառանցքակալի արտաքին օղակը սեղմման խցիկի պատի վրայով գլորվելիս շփման բազուկի մեծությունն է, ամ, D -ն՝ գնդառանցքակալի արտաքին օղակի տրամագիծը, δ_2 -ը՝ գնդառանցքակալի գնդիկների շփման

բազուկը ներքին օղակի վրայով գլորվելիս, սմ, մ-ն՝ դարձյակի տրամագիծը, սմ, մ-ը՝ ներքին օղակի գնդիկների գլորման ակոսի տրամագիծը, ր-ը՝ գնդիկի շառավիղը:

Փորձերի ժամանակ ընտրվել է թերև սերիայի 210 գնդառանցքակալ՝ ըստ ԳОСТ 8338-71-ի, որի չափսերն են՝ $d=5,0\text{սմ}$, $D=9,0\text{սմ}$, $D_1=63,65\text{մմ}$, $r=6,35\text{մմ}$: Սիմետրիական, ընդունելով $\delta_1=0,005 \text{ սմ}$ և $\delta_2=0,001 \text{ սմ}$, կստանանք՝ $f_{\text{զ}}=0,0029$:

Սոլյնակի շարժման ժամանակ կիրառվող ճնշման փոփոխությունը որոշելու համար անհրաժեշտ է սևեռել սոլյնակի տեղաշարժը սելմճան խցիկում: Այդ նպատակով օգտագործվում է տեռստատ՝ (7), որի շարժական կոնտակտը կոչտ միացված է սոլյնակին, (8) լծակի միջոցով (նկ. 60, 64):

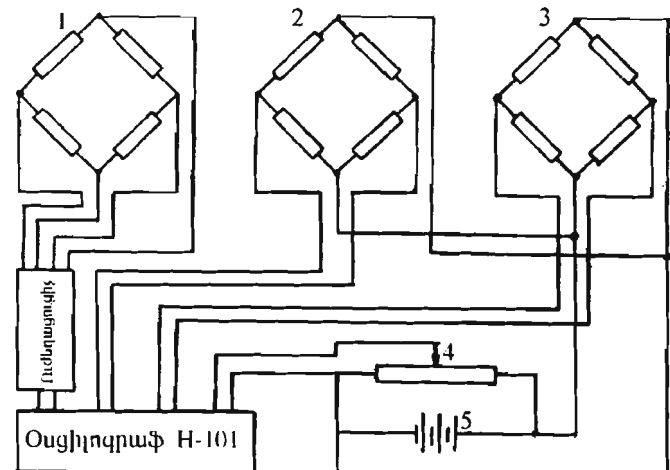


Նկ.64. Առանցքային ուժերի ուժաչափի և ռեռստատի տեղակայման դասավորվածությունը:

Սոլյնակի տեղաշարժի փոփոխությունների գրանցումը կատարվում է օսցիլոգրաֆի ժապավենի վրա, մյուս պարամետրերի գրանցման հետ:

համատեղ: Գրանցումը կատարվում է ի շնորհիվ փոփոխական դիմադրության շղբայում հոսանքի ուժի փոփոխման, որն ստեղծվում է ռեռստատի շարժական կոնտակտի տեղաշարժից:

Լարողատոր սարքի փորձնական համայիրի էլեկտրական սխեման բերված է նկ. 65-ում:



Նկ. 65. Չափող համակարգի էլեկտրական սխեման:
1., 2. A_1 և A_2 համապատահանան ուժաչափերի տվյալների կամրջային միացումներ,
3. խցիկի պատերի նորմալ ուժերը չափելու կամրջային սխեմա, 4. ռեռստատ,
5. ակտուուզատորային ճարտկոց:

7.2. ԽՈՏԻ ԵՎ ԲԲԻԿԵՏՆԵՐԻ ԽՈՆԱՎՈՒԹՅԱՆ ՈՐՈՇՈՒՄԸ

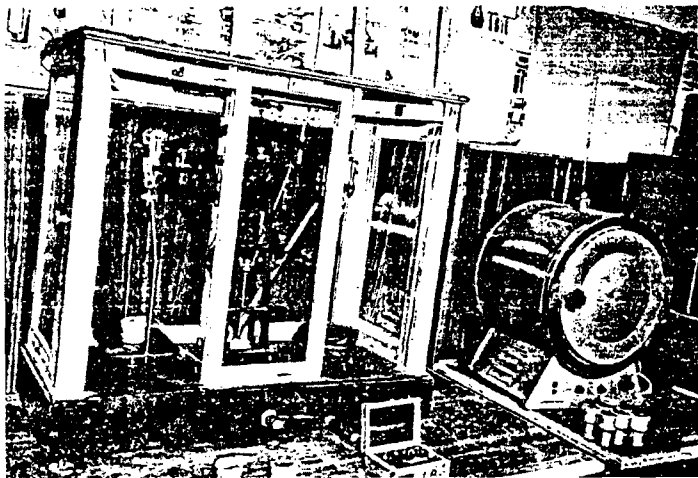
Խոտի խոնավությունն այն գերիշխող գործոններից մեկն է, որն ազդում է բրիկետավորման անհրաժեշտ ճնշման, բրիկետների ամրության և բրիկետավորման գործընթացի կայունության վրա: Հետևաբար խոտի խոնավության որոշումը անհրաժեշտ է և կարևոր:

Խոտի խոնավությունը որոշվում է գոյություն ունեցող ստանդարտ մեթոդիկայով (ГОСТ 8770-58), օգտագործելով СЭИ-3М մակնիշի շրացնող պահարանը և $B_{\text{ЛТК}}=500$ մակնիշի կշեռքը (նկ. 66):

Խոնավության հաշվարկը կատարվում է հետևյալ բանաձևով.

$$W = \frac{M_0 - M_1}{M_0} \cdot 100\%, \quad (159)$$

որտեղ՝ W -ն խոտի խոնավությունն է, M_0 -ն՝ նմուշի նախնական զանգվածը, M_1 -ը՝ չոր նյութի զանգվածը:



Նկ. 66. Խոնավության որոշման սարքերի ընդհանուր տեսքը:

Բրիկետների խոնավությունը որոշվում է նույն եղանակով, ինչ որ խոտինը: Տարբերությունը միայն այն է, որ որպես նմուշ վերցվում է պատրաստի բրիկետը:

7.3. ՄԱՍՐԱՑՎԱԾ ԽՈՏԻ ԽՏՈՒԹՅԱՆ ՈՐՈՇՈՒՄԸ

Մանրացված խոտի խտության որոշման համար պատրաստվել է $0,1 \text{ m}^3$ տարրության արկղ, որը մինչև բերանը լցվել է մանրացված խոտով, առանց որևէ խտացման, որից հետո կշռվել է: Ինձնալով դատարկ արկղի զանգվածը և ծավալը, խոտի խտությունը որոշվում ենք հետևյալ բանաձևով.

$$\rho = \frac{M_2 - M_1}{V} \text{ կգ}/\text{m}^3, \quad (160)$$

որտեղ՝ M_1 -ը դատարկ արկղի զանգվածն է, կգ, M_2 -ը՝ լիցքավորված արկղի զանգվածը, կգ, V -ը՝ արկղի ծավալը, m^3 :

7.4. ԲՐԻԿԵՏՆԵՐԻ ԽՏՈՒԹՅՈՒՆԸ

Բրիկետների խտության որոշման համար, յուրաքանչյուր խմբաքանակից վերցնում ենք 5-ական բրիկետ և կշռում յուրաքանչյուրը: Այնուհետև այն տեղակայելով պոլիէթիլենային տոպրակի մեջ, իրեն կապված բեռի հետ միասին ընկլիմում ենք անորում լցված հայտնի ծավալով հեղուկի մեջ (յուղ, ջուր) և չափում հեղուկի նոր մակարդակը անորում: Հեղուկի ծավալի փոփոխությունը նախնականից իրենից ներկայացնում է բրիկետի ու բեռի գումարային ծավալը:

Այս դեպքում բեռի առկայությունը պարտադիր է, որպեսզի բրիկետը ամրողությամբ ընկղմվի հեղուկի մեջ: Ընդ որում բեռի ծավալը նույնանուն նախացած որոշվում է: Արդյունքում բրիկետի խտությունը որոշվում է հետևյալ բանաձևով:

$$\rho_{\text{բ}} = \frac{M_{\text{բ}}}{V_1 - V_2}, \quad (161)$$

որտեղ՝ $M_{\text{բ}}$ -ը բրիկետի զանգվածն է, կգ, V_2 -ը՝ հեղուկի և բեռի գումարային ծավալն է, m^3 , V_1 -ը՝ հեղուկի, բեռի և բրիկետի գումարային ծավալը, m^3 :

7.5. ԲՐԻԿԵՏՆԵՐԻ ԱՄՐՈՒԹՅՈՒՆԸ

Բրիկետների ամրությունը ցուցանիշ է, որը ապահովում է բրիկետների հուսալի տեղափոխումը և կենդանիների կերակրումը:

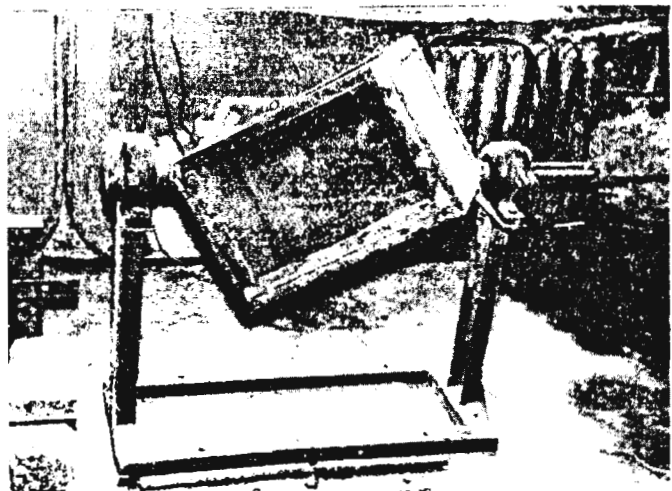
Բրիկետների ամրությունը որոշելու համար պատրաստվել է ուղանկյունաձև մետաղական արկղ, որն իրենից ներկայացնում է $300 \times 300 \times 450 \text{ mm}$ չափսերով կարկաս, վրան քաշված մետաղական ցանցով: Այդ արկղը հողակապերով տեղակայված է երկու հենարանների վրա, որոնց առանցքը անցնում է արկղի գլխավոր անկյունագծով (նկ. 67): Արկղը կահավորված է բռնակով, որի միջոցով հնարավոր է լինում այն պատել առանցքի շուրջ:

Նախացած կշռված $5+10$ բրիկետներ տեղակայվում են արկղի մեջ, որը այնուհետև 5 րոպե անընդհատ պտտվում է $13+15$ պտ/րոպ հաճախությամբ: Պտտման ընթացքում բրիկետները լավ խառնվելով և որոշ չափով քայլայվելով կորցնում են կշռի որոշ մասը: Որոշելով խառնելուց հետո բրիկետների կշռու և

բաժանելով սկզբնական կշռի վրա, կստանանք բրիկետների ամրության չափանիշը:

$$\psi = \frac{G_1}{G_2}, \quad (162)$$

որտեղ՝ G_1 -ը բրիկետների կշռուն է փորձարկումից հետո, G_2 -ը՝ բրիկետների սկզբնական կշռու:



Նկ. 67. Բրիկետների ամրության որոշման սարքի ընդիանուր տեսքը:

Փորձի կատարման տևողության և արկղի պտտման արագության ընտրված պարամետրերը հիմնավորվում են նրանով, որ խնչես մի շարք հետագոտողների փորձերը [109], այնպես և մեր կատարած հետագոտությունները ցույց են տվել, որ բրիկետավորված նյութերի անհրաժեշտ տեխնոլոգիական օպերացիաների (բարձում, բեռնաբափում, տեղափոխում և այլն) կատարման ընթացքում բնական փշրման տոկոսը համապատասխանում է արկղի ընտրված պարամետրերին: Այսինքն, նշված պարամետրերը գրեթե լիովին նմանակում են բրիկետների բարձման, բեռնաբափման և տեղափոխման բնական պայմաններին:

7.6. ՍԵՂՄՄԱՆ ԽՑԻԿՆԵՐՈՒՄ ԲՐԻԿԵՏԱՎՈՐՄԱՆ ԳՈՐԾԸՆԹԱՑԻ ՈՒԽՈՒՄՆԱՍԻՐՈՒԹՅԱՆ ԳԻՏԱՓՈՐՁԵՐԻ ԿԱՏԱՐՄԱՆ ԿԱՐԳԸ

Լաբորատոր գիտափորձների համար որպես բրիկետավորվող նյութ օգտագործվել է նախապես 5+10 սմ երկարությամբ մանրացված արվույսը: Տարբեր կարվածքների և պատերի պլրոշիլմերի սեղմման խցիկների համար գիտափորձների կատարման հերթականությունը բերված է աղյուսակ 3-ում:

Յուրաքանչյուր փորձի կատարվել է բրիկետավորման նյութի $W=8+28\%$ խոնավության միջակայքի 6 տարբերակների համար:

Յուրաքանչյուր փորձի տարբերակը կրկնվել է 10 անգամ և արդյունքների մշակման ժամանակ օգտագործվել ստացված արժեքների միջին մաքեմատիկական մեծությունները:

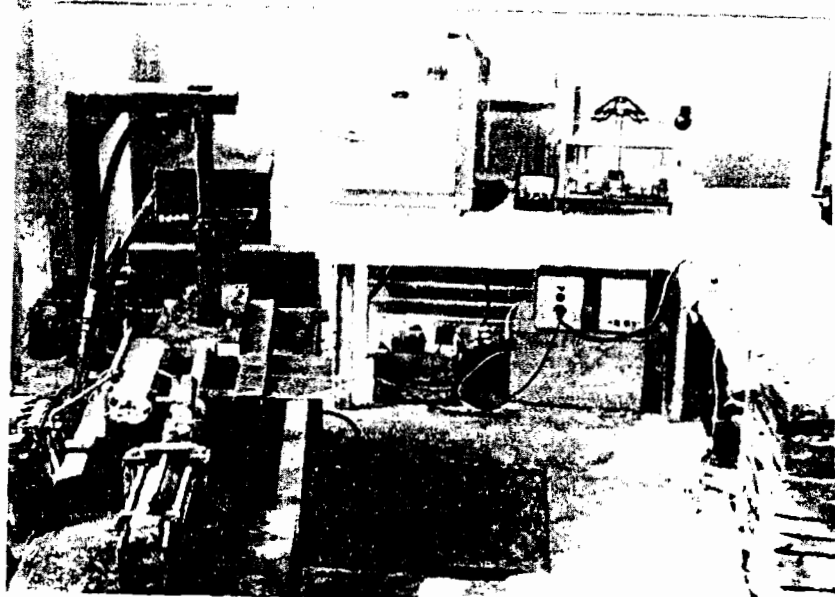
Կատարված փորձների արդյունքում ստացվել է, որ փորձնական տվյալների մեծությունների շեղումները նրանց միջին մաքեմատիկական մեծություններից չի գերազանցել 3%-ը:

Այդ աղյուսակը կազմելիս որպես ելակետային տվյալներ են դիտվել սեղմման խցիկի պարամետրերը (երկարությունը՝ L , պատերի թերման անլյումը՝ α , մուտքի կտրվածքի չափերը՝ a_0, b_0) և բրիկետավորվող նյութի խոնավությունը: Բրիկետավորման ընթացքում չափվել են բրիկետավորման համար անհրաժեշտ ճնշումը և ստացված բրիկետների որակական ցուցանիշները (խտությունը, ամրությունը):

Փորձերով որոշվել են նաև սեղմման խցիկի պաստերի և բրիկետավորվող նյութի (առվույս) շփման գործակիցները, նյութի $W=8+28\%$ խոնավության միջակայքում:

Լաբորատոր հետագոտությունների ծանալակ օգտագործված սարքավորումների և գործիքների ընդիանուր տեսքը բերված է Ակ. 68-ում:

Ակ. 69-ում բերված են լաբորատոր սարքավորման և մեքենայի վիրձնական օրինակի օգնությամբ ստացված բրիկետները:



Նկ. 68. Լարորատոր հետազոտությունների ժամանակ օգտագործված գործիքների և սարքավորումների ընդհանուր տեսքը:



ա)



բ)

Նկ. 69. Բրիկետների տեսքը, ստացված՝
ա) լարորատոր սարքի օգնությամբ, բ) փորձնական մեքենայի օգնությամբ:

Աղյուսակ 3

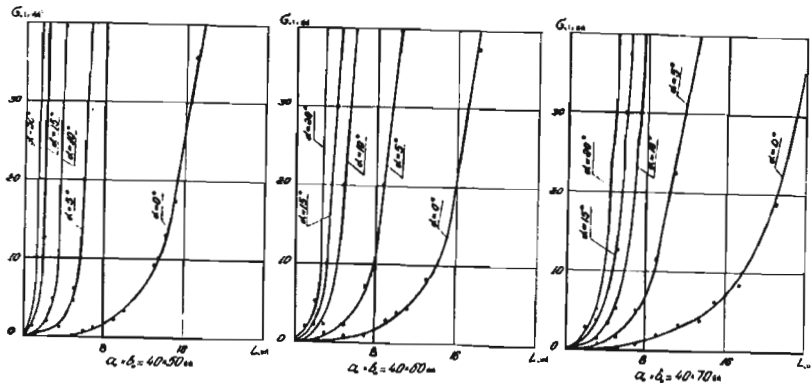
Փորձների կատալոգնան հեղթականություն		Միուսուտ վիվճակ				Միուսուտ վիվճակ			
N վիմսՓ	ՀՀ "Արտակարգ ռորմեք Վտուա"	ՀՀ "Արտակարգ ռորմեք Վիվճակ"	40x50	40x60	40x70	ՀՀ "Արտակարգ ռորմեք Վտուա"	ՀՀ "Արտակարգ ռորմեք Վտուա"	ՀՀ "Արտակարգ ռորմեք Վիվճակ"	ՀՀ "Արտակարգ ռորմեք Վիվճակ"
1	1	2	3	4	1	2	3	4	1
2	0	0	0	0	0	15	0	0	0
3	2	5	9	2	2	16	2	2	2
4	130	10	10	5	5	17	5	10	5
5	15	15	11	125	10	18	15	15	15
6	20	20	12	12	15	19	20	20	20
7	-	-	13	20	-	20	-	-	-
22	0	0	0	0	0	21	-	-	-
23	2	5	29	0	0	36	0	0	0
24	5	10	30	2	2	37	2	2	2
25	110	10	31	5	5	38	5	5	5
26	15	15	32	110	10	39	10	10	10
27	20	20	33	15	15	40	15	15	15
28	-	-	34	20	-	41	20	20	20
43	0	0	0	0	0	42	-	-	-
44	2	5	50	0	0	57	0	0	0
45	5	10	51	2	2	58	2	2	2
46	90	15	52	5	5	59	5	5	5
47	-	-	53	90	10	60	10	10	10
48	20	20	54	15	15	61	15	15	15
49	-	-	55	20	20	62	20	20	20
			56	-	0	63	-	-	-

Աղյուսակ 3 (Հարումանայտչություն)									
	1	2	3	4	1	2	3	4	1
64	0	0	Պրիզմայածն	71	0	Պրիզմայածն	78	2	0
65	2	5	Սեպածն	72	2	Սեպածն	79	2	0
66	5	10	Կազմովի	73	5	Կազմովի	80	5	0
67	70	15	-	74	10	Կազմովի	81	10	0
68	15	20	-	75	15	Կազմովի	82	15	0
69	-	-	Պարաբոլական	76	20	-	Պարաբոլական	83	20
70	-	-	Պարաբոլական	77	-	Պարաբոլական	84	-	Պարաբոլական
85	0	0	Պրիզմայածն	92	0	Պրիզմայածն	99	0	Պրիզմայածն
86	2	5	Սեպածն	93	2	Սեպածն	100	2	Սեպածն
87	5	10	Կազմովի	94	5	Կազմովի	101	5	Կազմովի
88	50	15	-	95	10	-	102	10	-
89	15	20	-	96	15	Կազմովի	103	15	Կազմովի
90	20	-	Պարաբոլական	97	20	-	Պարաբոլական	104	20
91	-	-	Պարաբոլական	98	-	Պարաբոլական	105	-	Պարաբոլական
106	0	0	Պրիզմայածն	113	0	Պրիզմայածն	120	0	Պրիզմայածն
107	2	5	Սեպածն	114	2	Սեպածն	121	2	Սեպածն
108	5	-	-	115	5	-	122	5	-
109	30	10	Կազմովի	116	30	Կազմովի	123	30	Կազմովի
110	15	-	-	117	15	-	124	15	-
111	20	-	Պարաբոլական	118	20	-	125	20	Պարաբոլական
112	-	-	Պարաբոլական	119	-	Պարաբոլական	126	-	Պարաբոլական

7.7.ԳԻՏԱՓՈՐՉԵՐԻ ԱՐԴՅՈՒՆՔՆԵՐԸ ԵՎ ՆՐԱՆՑ ՎԵՐԼՈՒԾՈՒԹՅՈՒՆԸ

7.7.1. Սեպածն սեղմման խցիկի երկարության ազդեցուրյունը պահանջվող ճնշման վրա

Փորձնական սարքի վրա կատարած լարուասոր փորձերի արդյունքում ստացվել են տարբեր պարամետրերով սեպածն սեղմման խցիկներում բրիկետավորման գործընթացը բնութագրող օսցիլոգրամաներ: Օսցիլոգրամաների մշակումից հետո ստացվել են բրիկետավորման անհրաժեշտ ճնշման մի շարք կախվածություններ սեղմման խցիկի երկարությունից, որոնք բերված են նկ. 70-ում:



Նկ.70. Բրիկետավորման ճնշման կախվածությունը սեղմման խցիկի երկարությունից:

Նշված բոլոր կախվածությունները ստացվել են $W=16\%$ խոնավորյան առվույտի բրիկետավորման դեպքում, $a_0 \times b_0 = 40 \times 50$ մմ, $a_0 \times b_0 = 40 \times 60$ մմ, $a_0 \times b_0 = 40 \times 70$ մմ մուտքի կտրվածքի չափեր և $\alpha = 0, 2, 5, 10, 15, 20^\circ$ առանցքի նկատմամբ պատերի բերման անկյուններ ունեցող սեպածն սեղմման խցիկներում:

Ինչպես երևում է նկ. 70-ից, բրիկետավորման ճնշումը սերտորեն կախված է սեղմման խցիկի երկարությունից: Սեղմման խցիկի երկարության մեծացումը բերում է բրիկետավորման ճնշման մեծացման, որը փոխվում է պարաբոլի օրինաչափությամբ: Ընդ որում խցիկի երկարության փոքր արժեքների դեպքում

բրիկետավորման ճնշման աճի ինտենսիվությունը փոքր է: Խցիկի պատերի թերման անլիան մեծացումը բերում է բրիկետավորման ճնշման աճի ինտենսիվության մեծացման: Մնացած բոլոր հավասար պայմաններում, խցիկի մուտքի կտրվածքի մեծ չափերի դեպքում խցիկի երկարությունը մեծացնելիս բրիկետավորման ճնշման աճը աեղի է ունենում առավել փոքր ինտենսիվությամբ: Այսպես, խցիկի $a_0 \times b_0 = 40 \times 50$ մմ և $\alpha = 0$ պարամետրերի դեպքում, մեծացնելով խցիկի երկարությունը մինչև 10սմ, բրիկետավորման ճնշումը հասնում է $3,5$ Ն/մ²: Խցիկի երկարության հետագա մեծացումը մինչև 16սմ, բերում է ճնշման մինչև 26 Ն/մ²: Խցիկի մուտքի կտրվածքի նույն չափերի և պատերի $\alpha = 5^\circ$ թերման դեպքում խցիկի երկարության մեծացումը մինչև 6 սմ բերում է բրիկետավորման ճնշման աճ մինչև 21 Ն/մ² մեծության:

$a_0 \times b_0 = 40 \times 60$ մմ և $\alpha = 0$ պարամետրերի դեպքում խցիկի երկարությունը մեծացնելով մինչև $L = 10$ սմ, տեղի է ունենում ճնշման մեծացում մինչև $\sigma = 3,2$ Ն/մ²: L -ի հետագա մեծացումը մինչև 16սմ բերում է ճնշման աճ մինչև 10 Ն/մ²: $\alpha = 5^\circ$ -ի դեպքում L -ի մեծացումը մինչև 6 սմ, բերում է σ -ի մեծացման մինչև 4 Ն/մ²:

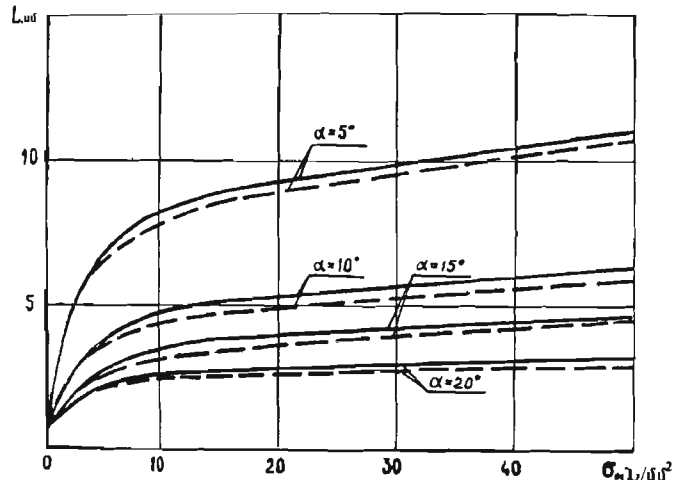
Տեսական և փորձնական տվյալների համատեղումը $\sigma = f(L, \alpha)$ կախվածության կորերի տեսքով (Ակ. 71) ցոյց են տալիս, որ տեսական և փորձնական կախվածությունները լիովին համընկնում են, և առավելագույն շեղումը կազմում է 6%:

Ստացված $\alpha = f(L)$ կախվածությունները մաքեմատիկորեն արտահայտելու համար, նշված գրաֆիկները կառուցում ենք կիսալոգարիթմական կոորդինատական համակարգում (Ակ. 72):

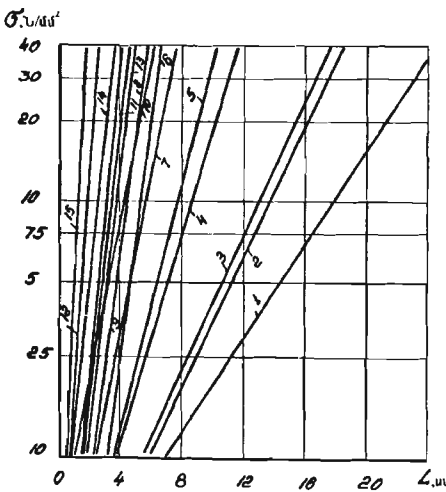
Ինչպես երևում է Ակ. 72-ից, $\alpha = f(L)$ կորը ուղղվում է, որը հնարավորություն է տալիս նշված կախվածությունը գրել եքսպոնենցիալ ֆունկցիայի տեսքով.

$$\sigma = 0,1c_1 e^{\alpha L}, \quad (163)$$

որտեղ՝ c_1 -ը և c_2 -ը խցիկի a_0, b_0 և α պարամետրերից կախված փորձնական գործակիցներ են:



Ակ. 71. Բրիկետավորման ճնշման տեսականորեն և փորձնական ստացված կախվածությունները խցիկի պարամետրերից:
- տեսական, -- փորձնական:



Ակ. 72. Բրիկետավորման ճնշման կախվածությունը խցիկի երկարությունից կիսալոգարիթմական կոորդինատական ցանցում:

Լոգարիթմներվ (163) հավասարումը, կսաւանանք՝

$$\lg \sigma = \lg c_1 + c_2 L \lg e; \quad (164)$$

Նորմալ հավասարումը կունենա հետևյալ տեսքը.

$$\begin{aligned} n \lg c_1 + c_2 \sum L \lg e &= \sum \lg \sigma, \\ \sum \lg c_1 + c_2 \sum L^2 \lg e &= \sum L \lg \sigma, \end{aligned} \quad (165)$$

որտեղ՝ n -ը փորձերի քանակն է, $\sum L$ -ը՝ խցիկի երկարությունների գումարը, $\sum \lg \sigma$ -ն՝ ճնշման լոգարիթմների գումարը, $\sum L^2$ -ն՝ խցիկի երկարության քառակուսիների գումարը, $\sum L \lg \sigma$ -ն՝ խցիկի երկարության և ճնշման լոգարիթմների արաւադրյալների գումարը:

Հավասարումների համակարգի լուծումը կլինի.

$$\begin{aligned} D &= \left| \begin{array}{cc} n & \sum L \\ \sum L & \sum L^2 \end{array} \right| = n \sum L^2 - (\sum L)^2, \\ A &= \left| \begin{array}{cc} \sum \lg \sigma & \sum L \\ \sum L \lg \sigma & \sum L^2 \end{array} \right| = \sum \lg \sigma \cdot \sum L^2 - \sum L \cdot \sum L \lg \sigma, \\ B &= \left| \begin{array}{cc} n & \sum \lg \sigma \\ \sum L & \sum L \lg \sigma \end{array} \right| = n \sum L \lg \sigma - \sum L \sum \lg \sigma; \end{aligned} \quad (166)$$

(165) և (166) արտահայտություններից որոշում ենք (163) կորելացիոն հավասարման գործակիցները.

$$\lg c_1 = \frac{A}{D}, \quad c_2 \lg e = \frac{B}{D}, \quad c_2 = \frac{B}{D \lg e}; \quad (167)$$

Վերև նշված եղանակով որոշում ենք c_1 և c_2 գործակիցները տարբեր պարամետրերով սեղման խցիկի համար: Հաշվարկների արդյունքները բերված են աղյուսակ 4-ում:

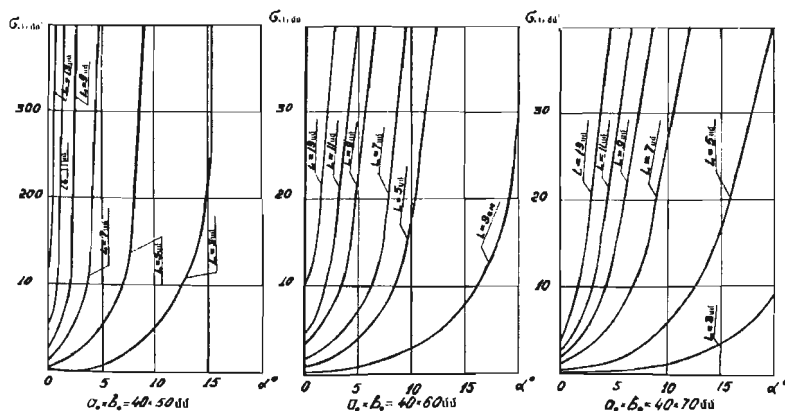
Աղյուսակ 4								
$b_0 \times a_0 = 40 \times 50 \text{մմ}$			$b_0 \times a_0 = 40 \times 60 \text{մմ}$			$b_0 \times a_0 = 40 \times 70 \text{մմ}$		
$\alpha, {}^\circ$	c_1	c_2	$\alpha, {}^\circ$	c_1	c_2	$\alpha, {}^\circ$	c_1	c_2
0	0,59	0,33	0	1,65	0,3	0	3,44	0,20
2	0,47	0,74	2	1,23	0,62	2	3,06	0,36
5	0,19	1,22	5	0,87	0,84	5	2,52	0,49
10	0,09	1,93	10	0,72	1,12	10	1,96	0,66
15	0,39	2,58	15	1,47	1,33	15	2,32	0,79
20	1,07	3,2	20	3,36	1,52	20	4,11	0,91

(163) կախվածությունը լիարժեք չի արտացոլում բրիկետավորման գործնքացը, քանի որ չի բավարարում վերջնական պայմանը: Այսինքն, եթե $L=0$, ստացվում է $\sigma=0,1c_1$, այն դեպքում, եթե պետք է լինի $\sigma=0$: Սակայն համեմատելով c_1 և c_2 գործակիցների բավային արժեքները σ մեծության հետ, հշենք, որ σ մեծության արժեքների համեմատ c_1 մեծությունը շատ փոքր մեծություն է, ինտևարար (163) հավասարումը բավարար ճշգրտությամբ կարելի է ներկայացնել հետևյալ տեսքով.

$$\sigma = 0,1c_1(e^{c_2 L} - 1); \quad (168)$$

7.7.2. Սեղման սեղման խցիկի առանցքի նկատմամբ պատերի թեքման անլույան ազդեցությունը բրիկետավորման ճնշման վրա

Լարորատոր փորձերի արդյունքները հնարավորություն են տվել կառուցելու բրիկետավորման ճնշման կախվածությունների գրաֆիկները սեղման խցիկի երկայնական առանցքի նկատմամբ պատերի թեքման α անլույնից: Նկ. 73-ում բերված են այդ կախվածությունների գրաֆիկները $L = 3, 5, 7, 11, 13$ մմ երկարություն և $a_0 \times b_0 = 40 \times 50, 40 \times 60, 40 \times 70$ մմ մուտքի կտրվածքի չափեր ունեցող սեղման խցիկների համար:



Նկ. 73. Բրիկետավորման ճնշման կախվածությունը սեղման խցիկի առանցքի նկատմամբ պատերի թեքման անլույնից:

Նկ. 73-ում բերված գրաֆիկներից երևում է, որ α անկյան փոփոխությունը բավական ազդեցություն է բողնում բրիկետավորման ճնշման վրա: Այսպես, $\alpha=0$ արժեքի դեպքում, այսինքն պրիզմայաձև սեղմման խցիկներում, բրիկետավորման σ ճնշումն ընդունում է իր նվազագույն արժեքը: $\alpha=0$ մեծացնելիս մինչև որոշակի արժեք, σ -ի արժեքը փոփոխվում է անհամար, որից հետո σ -ի աճը կրում է իմտենսիվ բնույթ: Օրինակ, $L=5$ սմ երկարություն և $a_0 \times b_0 = 40 \times 70$ մմ մուտքի կտրվածքը ունեցող սեղմման խցիկի համար α -ի մեծացումը 0-ից մինչև 10° հանգեցնում է σ -ի 0,2-ից մինչև 6 Ն/մմ² աճի: α -ի հետագա մեծացումը մինչև 20° , բերում է σ -ի աճ մինչև 40 Ն/մմ²:

Նկ. 73-ից հետևում է նաև, որ կախված α -ից, σ -ի աճը իմտենսիվությունը ավելանում է, մեծացնելով խցիկի երկարությունը: Այսպես, $L=7$ սմ երկարություն և $a_0 \times b_0 = 40 \times 50$ մմ մուտքի կտրվածքը ունեցող սեղմման խցիկի համար α -ն մեծացնելով 0-ից մինչև 8° , σ -ն մեծանում է 1-ից մինչև 15 Ն/մմ²: $L=9$ սմ երկարության համար, α -ի նույն միջակայքի դեպքում, σ -ի արժեքը մեծանում է 1,5-ից մինչև 36 Ն/մմ²:

Գրաֆիկները վկայում են, որ $\sigma=f(\alpha)$ ֆունկցիայի փոփոխման իմտենսիվությունը նվազում է, մեծացնելով խցիկի մուտքի անցքի չափերը:

Ինչպես արդեն նշվել է, (168) հավասարման մեջ մտնող c_1 և c_2 գործակիցները կախված են սեղմման խցիկի պարամետրերից, այդ թվում և α անկյունից: Հետևաբար $\sigma=f(\alpha)$ կախվածությունների գրաֆիկների հիման վրա կարելի է գտնել c_1 և c_2 գործակիցների մաքենատիպական կապը α անկյան հետ:

Աղյուսակ 4-ում բերված $c_i=f(\alpha)$ կախվածությունը իրենից ներկայացնում է պարաբոլ, հետևաբար, այն կարելի է արտահայտել հետևյալ բազմանդամի տեսքով՝

$$c_i = c_3 + c_4\alpha + c_5\alpha^2 + \dots + c_{i+2}\alpha^{i-1}, \quad (169)$$

որտեղ՝ $c_3, c_4, c_5, \dots, c_{i+2}$ –ը խցիկի մուտքի անցքի չափերից կախված փորձնական գործակիցներ են:

Այդ գործակիցների որոշման համար օգտագործվել է Զերիշևի թվերի օգնությամբ կորելյացիոն հավասարումների հաշվման եղանակը:

Աղյուսակ 5-ում բերված կորելյացիոն հավասարումների հաշվման սխեմայում Զերիշևի թվերն են $G_1\psi_1, G_2\psi_2, G_3\psi_3, G_4\psi_4$ –ը:

Այդ սխեմայի առաջին սյունակում տրվում են α -ի արժեքները: Հաշվարկների ժամանակ այդ մեծությունները փոխարինվում են հերթական համարներով, որոնք ընդունվում են որպես $x=\frac{\sigma-\sigma_0}{c}$ անկախ փոփոխականի մեծություն, և տեղադրվում են երկրորդ սյունակում, որտեղ $c=c_2 - \alpha_1 = \alpha_3 - \alpha_2$, $\alpha_0=0$: Երրորդ սյունակում գրանցվում են նկ. 73-ում բերված գրաֆիկից վերցրած $c_1(\alpha_i)$ կախված գործակի արժեքները, իսկ չորրորդ սյունակում՝ դրանց քառակուսիները $[c_1(\alpha_i)]^2$: Հինգերորդ, յորերորդ, իններորդ և տասնմեկերորդ սյունակներում տրվում են համապատասխան աղյուսակներից [44, 78] վերցված ո անդամների թվին և նրանց քառակուսիների գումարին համապատասխանող $G_1\psi_1, G_2\psi_2, G_3\psi_3$ և $G_4\psi_4$ թվերը: Վեցերորդ, ութերորդ, տասնմերորդ և տասնմերկուերորդ սյունակներում լրացվում են $c_1(\alpha_i)$ մեծությունների և Զերիշևի համապատասխան թվերի արտադրյալները:

Յուրաքանչյուր սյունակի ներքեւում տրվում է գումարը:

Կորելյացիոն հավասարման կարգը որոշվում է կորելյացիոն հավասարումների հիմնական սխալների համեմատության ճանապարհով:

σ_λ հիմնական սխալները և նրանց որոշման կորելյացիոն հավասարման գործակիցները հաշվարկվում են հետևյալ հաջորդականությամբ.

$$\begin{aligned} 0) \quad & k_0 = \sum c_1(\alpha_i), \\ & \sum_0 = \sum [c_1(\alpha_i)]^2 - \frac{[\sum c_1(\alpha_i)]^2}{n}, \\ & \sigma_0 = \sqrt{\frac{\sum_0}{n-1}}, \end{aligned}$$

1) $k_1 = \frac{\sum G_1 \psi_1 c_1(\alpha_i)}{\sum (G_1 \psi_1)^2} G_1$,
 $\sum_1 = \sum_0 -k_1^2 \frac{\sum (G_1 \psi_1)^2}{G_1^2}$,
 $\sigma_1 = \sqrt{\frac{\sum_1}{n-2}}$,

2) $k_2 = \frac{\sum G_2 \psi_2 c_2(\alpha_i)}{\sum (G_2 \psi_2)^2} G_2$,
 $\sum_2 = \sum_1 -k_2^2 \frac{\sum (G_2 \psi_2)^2}{G_2^2}$,
 $\sigma_2 = \sqrt{\frac{\sum_2}{n-3}}$,

$$\lambda) \quad k_2 = \frac{\sum G_\lambda \psi_\lambda c_i(\alpha_i)}{\sum (G_\lambda \psi_\lambda)^2} G_\lambda,$$

$$\sum_\lambda = \sum_{\lambda=1} -k_\lambda^2 \frac{\sum (G_\lambda \psi_\lambda)^2}{G_\lambda^2},$$

$$\sigma_\lambda = \sqrt{\frac{\sum_\lambda}{n - (\lambda + 1)}}:$$

որտեղ՝ λ -ն կորելյացիոն հավասարման կարգն է:

Կորելացիոն հավասարման որոշման համար վերցված $t = 10$ կետ: α մեծությունը փոփոխվում է $0\text{-ից } 20^0$ սահմաններում, 2^0 քայլով:

Կորելյացիոն հավասարումների սխեման կազմված է $a_0 \times b_0 = 40 \times 50$,
 $a_0 \times b_0 = 40 \times 60$, և $a_0 \times b_0 = 40 \times 70$ մմ մուտքի անցքի կտրվածք ունեցող
 խցիկների համար, յուրաքանչյուրի համար ստացվել են կորելյացիոն
 հավասարումների k_x գործակիցները և σ_x հիմնական սխալները, որոնց թվային
 արժեքները բերված են աղյուսակ 6-ում:

Համեմատելով հիմնական սխալները, հանգում ենք այն եզրակացության, որ $a_0 \times b_0 = 40 \times 50$ մմ մուտքի անցքի չափեր ունեցող խցիկների համար հիմնական պխայի նվազագույն արժեքը ստացվում է երկրորդ կարգի կարելացիոն հավասարումներ օգտագործելիս, իսկ $a_0 \times b_0 = 40 \times 60$ մմ և $a_0 \times b_0 = 40 \times 70$ մմ չափեր ունեցող խցիկների համար՝ երրորդ կարգի:

Կորելյացիոն հավասարման ընդհանուր տեսքը հետևյալն է.

$$f(x) = k_0 + k_1 \psi_1(x) + k_2 \psi_2(x) + k_3 \psi_3(x), \quad (171)$$

$$\text{որտեղ՝ } \psi_1(x) = \left(x - \frac{n-2}{2} \right),$$

$$\psi_2(x) = \left[\left(x - \frac{n+1}{2} \right)^2 - \frac{n^2-1}{12} \right],$$

$$\psi_3(x) = \left[\left(x - \frac{n+1}{2} \right)^2 - \frac{3n^2 - 7}{20} \left(x - \frac{n+1}{2} \right) \right];$$

(171) հավասարման մեջ աղյուսակ 6-ից տեղադրելով k_λ, n և x արժեք-ները և կատարելով որոշ ձևափոխություններ, կստանանք՝

$$c_1 = c_3 + c_4\alpha + c_5\alpha^2 + c_6\alpha^3; \quad (172)$$

Ալյուակ 5

Չեքիշևի թվերի օգնությամբ կորելյացիոն հավասարումների հաշվման միջման
 $a_0 \times b_0 = 40 \times 70$ մմ չափերի դեպքում

α^2	x	c	c_1^2	$G_1\psi_1$	$G_1\psi_1c_1$	$G_2\psi_2$	$G_2\psi_2c_1$	$G_3\psi_3$	$G_3\psi_3c_1$	$G_4\psi_4$	$G_4\psi_4c_1$
1	2	3	4	5	6	7	8	9	10	11	12
2	1	3,06	9,3	-9	-27,54	+6	+18,36	-42	+128,52	+18	+55,1
4	2	2,7	7,29	-7	-18,90	2	+5,4	+14	+37,8	-22	-59,4
6	3	2,25	5,05	-5	-11,25	-1	-2,25	+35	+78,4	-17	-38,3
8	4	2,07	4,27	-3	-6,21	-3	-6,21	+31	+62,4	+3	+6,22
10	5	1,96	3,84	-1	-1,96	-4	-7,04	+12	+23,52	+18	+35,28
12	6	1,98	3,92	+1	+1,98	-4	-7,92	-12	-23,76	+18	+35,66
14	7	2,15	4,6	+3	+6,45	-3	-6,45	-31	-64,9	+3	+6,46
16	8	2,62	6,83	+5	+13,1	-1	-2,62	-35	-31,8	-17	-44,6
18	9	3,41	11,6	+7	+23,81	2	+6,82	-14	-47,1	-22	-75,1
20	10	4,11	16,9	+9	+36,99	6	+24,66	+42	+172,6	+18	+73,98
		26,3	73,6	320	+16,47	132	+21,95	85,8	+79,14	2860	-4,7

σ_2 հիմնական սխալները և $c_i = f(\alpha)$ կորելացիոն հավասարման գործակիցները:

λ		$a_0 \times b_0 = 40 \times 50$ մմ	$a_0 \times b_0 = 40 \times 60$, մմ	$a_0 \times b_0 = 40 \times 70$ մմ
0	k_0	0,5206	1,2275	2,63
1	k_1	0,1108	0,192	0,1275
2	k_2	0,0354	0,0184	0,0804
3	k_3	-0,00106	0,00034	0,00568
4	k_4	-0,00106	-0,0000483	-0,0035
0	σ_0	0,424	0,8	0,7
1	σ_1	0,250	0,569	0,6
2	σ_2	0,638	0,167	0,162
3	σ_3	0,0089	0,103	0,0913
4	σ_4	0,0089	0,016	0,014

(172) հավասարման մեջ մտնող c_1, c_4, c_5 և c_6 գործակիցների արժեքները բերված են աղյուսակ 7-ում:

$a_0 \times b_0$, մմ	c_3	c_4	c_5	c_6
40×50	0,6922	-0,1385	0,00786	0
40×60	1,6535	-0,2036	0,00765	0,00034
40×70	3,44	-0,1855	-0,00335	0,000715

Ելենով աղյուսակ 4-ի տվյալներից, $c_2 = f(\alpha)$ ֆունկցիան կարելի է արտահայտել հետևյալ օրինաչափությամբ.

$$c_2 = c_7 + c_8 \alpha^{c_9}, \quad (173)$$

որտեղ՝ c_7, c_8, c_9 -ը սեպած սեղմման խցիկի մուտքի չափերից կախված փորձնական գործակիցներ են:

(173) հավասարման մեջ տեղադրելով $\alpha = 0$, կստանան՝ $c_2 = c_7$: Հետևաբար, c_7 մեծությունը հաստատուն մեծություն է և վերցվում է աղյուսակ 8-ից:

c_8 և c_9 գործակիցների թվային մեծությունները որոշվում են նույն եղանակով, ինչ c_1 և c_2 գործակիցները: Այդ նպատակով լոգարիթմում ենք (173) հավասարումը.

$$\lg(c_2 - c_7) = \lg c_8 + c_9 \lg \alpha : \quad (174)$$

(174) կորելյացիոն հավասարման ստացված գործակիցները բերված են աղյուսակ 8-ում:

$a_0 \times b_0$, մմ	c_7	c_8	c_9
40×50	0,3317	0,227	0,8467
40×60	0,301	0,214	0,5796
40×70	0,2	0,1025	0,6487

(172) և (173) արտահայտությունները տեղադրելով (168) հավասարման մեջ, կստանանք բրիկետավորման ճնշման կախվածության էմպիրիկ հավասարումը, կախված սեղմման խցիկի երկարությունից և երկայնական առանցքի նկատմամբ կողային պատերի թերման անկյունից, հետևյալ արտահայտության տեքով:

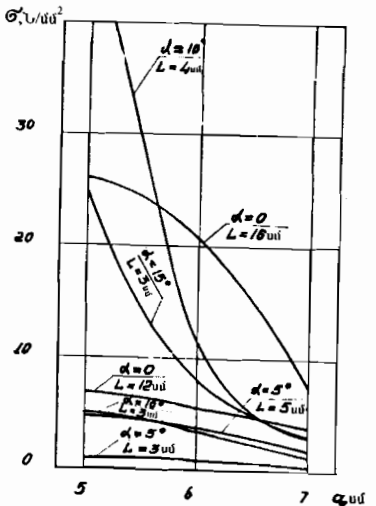
$$\sigma = 0,1(c_3 + c_4 \alpha + c_5 \alpha^2 + c_6 \alpha^3) e^{(c_7 + c_8 \alpha^{c_9})} - 1 \quad (175)$$

7.7.3. Սեպած խզիկներում մուտքի կտրվածքի չափերի ազդեցությունը բրիկետավորման ճնշման վրա

Օսցիլոգրամաների մշակման տվյալները հնարավորություն տվեցին կառուցելու բրիկետավորման ճնշման կախվածությունները խցիկի մուտքային կտրվածքի չափերից, մասնավորապես a_0 չափից:

Նկ.74-ից հետևում է, որ մեծացնելով սեղմման խցիկի մուտքային կտրվածքի a_0 լայնությունը, բրիկետավորման σ ճնշումը փոփրանում է:

Կախված a_0 -ի մեծությունից σ -ի փոփրացման ինտենսիվության վրա մեծ ազդեցություն է բողոքում սեղմման խցիկի L երկարությունը և պատերի թերման α անկյունը: Սեղմման խցիկի L երկարության մեծացման հետ աճում է σ -ի փոփրացման ինտենսիվությունը: Նույն պատկերն է նկատվում α անկյան մեծացման դեպքում:

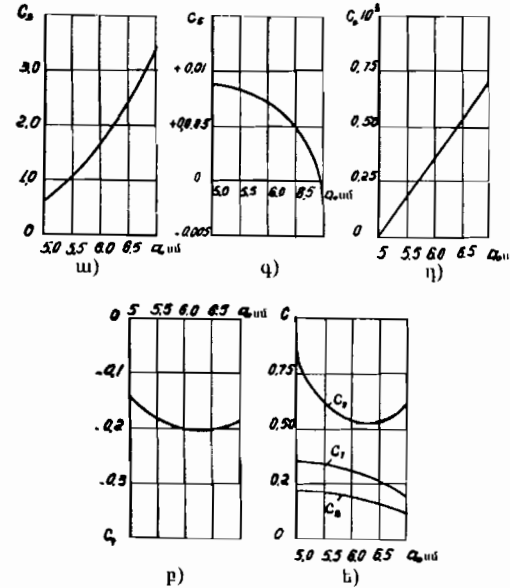


Նկ. 74. Բրիկետավորման ճնշման կախվածությունը սեղման խցիկի մուտքի կտրվածքի լայնությունից:

Սեղման խցիկի մուտքի կտրվածքի չափերից բրիկետավորման ճնշման կախվածության մաքսամատիկական արտահայտություն ստանալու նպատակով, 5, 7 և 8 աղյուսակների տվյալների հիման վրա կառուցվել են (175) հավասարման մեջ մտնող $c_3, c_4, c_5, c_6, c_7, c_8$, և c_9 փորձնական գործակիցների կախվածությունները (նկ. 75):

Վերը նշված մերոդիկայով գրաֆիկների մշակմամբ ստանում ենք սեպածն խցիկի մուտքի կտրվածքի a_0 լայնությունից $c_3, c_4, c_5, c_6, c_7, c_8$, և c_9 փորձնական գործակիցների կախվածությունների կորելյացիոն հավասարումները.

$$\begin{aligned} c_3 &= 0,6918(a_0 + 4)^{1,4}, \\ c_4 &= 0,04a_0^2 - 0,5a_0 - 1,36, \\ c_5 &= 0,1749 - 0,106a_0 + 0,0222a_0^2 - 1,0015a_0^3, \\ c_6 &= 3,575 \cdot 10^{-4}(a_0 - 5), \\ c_7 &= 1,251 \cdot e^{-0,2549a_0}, \\ c_8 &= 1,856 \cdot e^{-0,1975a_0}, \\ c_9 &= 7,2554 - 2,1493a_0 + 0,172a_0^2 : \end{aligned} \quad (176)$$



Նկ. 75. $c_3, c_4, c_5, c_6, c_7, c_8$, և c_9 փորձնական գործակիցների կախվածությունը սեպածն խցիկի մուտքի կտրվածքի լայնությունից:

(176) արտահայտությունը տեղադրելով (175)-ի մեջ, կարելի է որոշել բրիկետավորման ճնշման մեծությունը՝ կախված խցիկի երկարությունից, խցիկի երկայնական առանցքի նկատմամբ պատերի թերման անվտանից և մուտքի կտրվածքի լայնությունից:

7.7.4. Կազմովի սեղման խցիկի երկարության ազդեցությունը բրիկետավորման պահանջվող ճնշման վրա

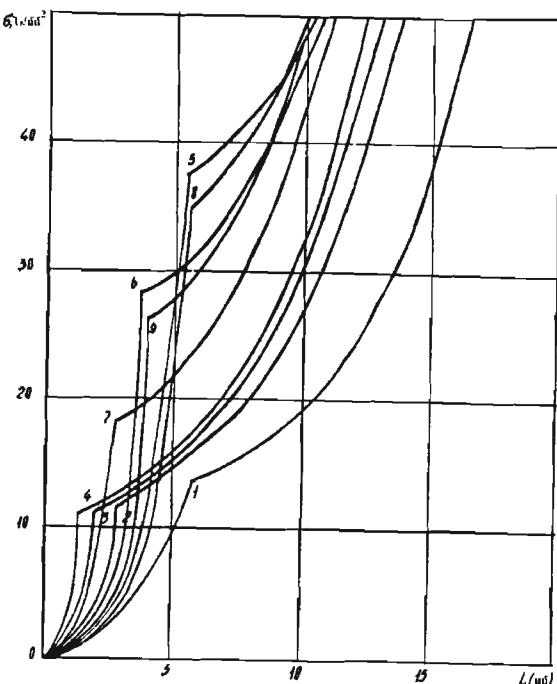
Կազմովի սեղման խցիկների երկարությունից կախված բրիկետավորման ճնշման կախվածությունների որոշման փորձերի ժամանակ խցիկի պրիզմայածն մասի լայնական կտրվածքի չափերն ընդունվել են $a_i \times b_i = 40 \times 40$ մմ: Սեպածն մասի մուտքի կտրվածքի չափերից փոփոխվել են

միայն a_0 լայնությունը, իսկ բարձրությունը մնացել է հաստատուն և հավասար $b_0 = 40$ մմ: Ուրեմն, սեղմման խցիկի սեպածե մասի երկարությունը կախված է միայն մուտքի կտրվածքի չափերից և կողային պատերի թեքման անկյունից:

$$L_1 = \frac{a_0 - a_1}{2tg\alpha} : \quad (177)$$

Կազմովի սեղմման խցիկի ընդհանուր երկարությունը համապատասխանում է $L > L_1$ պայմանին:

Փորձերի արդյունքների մշակումով ստացել ենք գրաֆիկներ, որոնք բերված են նկ. 76-ում:



Նկ. 76. σ ճնշման փոփոխությունը՝ կախված կազմովի սեղմման խցիկի L երկարությունից:
 $a = 50$ մմ-ի դեպքում՝ 1. $\alpha = 5^\circ$, 2. $\alpha = 10^\circ$, 3. $\alpha = 15^\circ$, 4. $\alpha = 20^\circ$,
 $a = 60$ մմ-ի դեպքում՝ 5. $\alpha = 10^\circ$, 6. $\alpha = 15^\circ$, 7. $\alpha = 20^\circ$,
 $a = 70$ մմ-ի դեպքում՝ 8. $\alpha = 15^\circ$, 9. $\alpha = 20^\circ$:

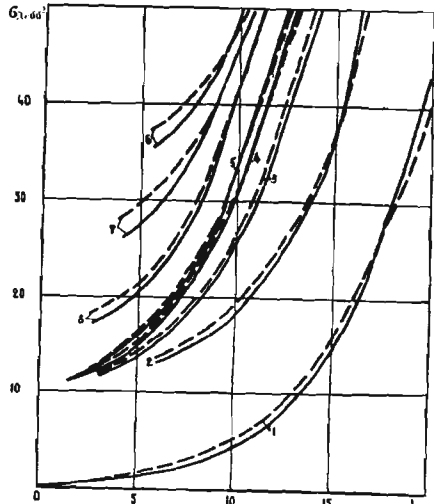
Նշված գրաֆիկները ցույց են տալիս, որ կազմովի սեղմման խցիկներում բրիկետավորման ճնշման կախվածությունը խցիկի երկարությունից ընթանում է երկու օրինաչափությամբ: Այսպես, խցիկի սեպածե մասի համար, այսինքն, եթե խցիկի երկարությունը մեծացնում ենք գրոյից մինչև L_1 , տեղի է ունենալ ճնշման կտրուկ աճ: Սկսած L_1 -ից, L -ի հետագա մեծացումից σ -ի աճի ինտենսիվությունը զգալիորեն ընկնում է և նկատվում է $\sigma = f(L)$ օրինաչափության փոփոխություն:

Համեմատելով բրիկետավորման գործընթացը տարբեր մուտքի կտրվածքի չափեր ունեցող սեղմման խցիկներում, տեսնում ենք, որ սեպածե մասի կողային պատերի միևնույն թեքման անկյան դեպքում, և մեծացնելով a_0 -ն, կախված խցիկի երկարությունից բրիկետավորման ճնշման փոփոխման ինտենսիվությունն ավելանում է: Այսպես, $\alpha = 15^\circ$ և $a_0 = 50$ մմ սեղմման խցիկի պարամետրի դեպքում, խցիկի երկարության մեծացումը 8սմ-ից մինչև 10 սմ հանգեցնում է σ -ի մեծացման՝ $22\text{N}/\text{mm}^2$ -ուց մինչև $30\text{N}/\text{mm}^2$: Նույն պայմանների դեպքում մեծացնելով a_0 -ն մինչև 70մմ, σ -ի մեծությունը կփոփոխվի 40-ից մինչև 50 N/mm^2 (նկ. 76, կորեր՝ 3, 6, 8):

σ -ի աճի ինտենսիվության մեծացումը բացատրվում է նրանով, որ եթի կտրվածքի հաստատուն չափերի դեպքում մուտքի կտրվածքի մեծ չափերի պայմաններում բրիկետավորվող զանգվածը երթարկվում է մեծ կոնտուրային դեֆորմացիաների, որի պատճառով և մեծանում է նրա առածգականությունը, հետևաբար և՝ սեղմման ու տեղաշարժի դիմադրությունները:

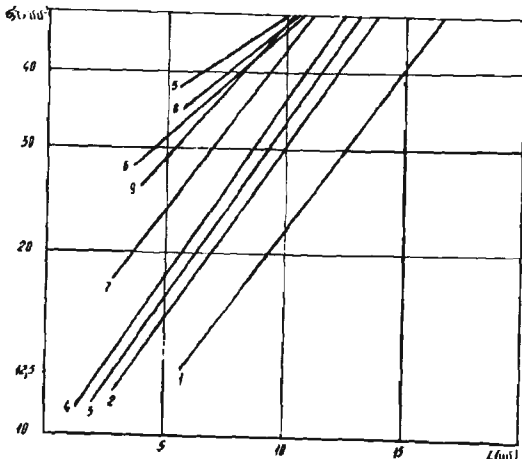
Տեսական և փորձնական կորերի (նկ. 77) համեմատությունը ցույց է տալիս, որ փորձնական տվյալների շեղումը տեսականից չի գերազանցում $\pm 8\%$ -ը:

Նկ. 78-ում բերված են կազմովի սեղմման խցիկի պրիզմայածե մասի համար $\sigma = f(L)$ փունկցիայի գրաֆիկները կիսալոգարիթմական կոորդինատներում:



Նկ. 77. Կազմովի սեղման խցիկի երկարությունից բրիկետավորման ճնշման կախվածությունների գրաֆիկները, հետևյալ պարամետրերի դեպքում.
2-5) $a_0 \times b_0 = 50 \times 40$ մմ, $\alpha = 5^\circ, 10^\circ, 15^\circ, 20^\circ$, 6-8) $a_0 \times b_0 = 60 \times 40$ մմ, $\alpha = 10^\circ, 15^\circ, 20^\circ$,
1) պրիզմայաձև խցիկ՝ $a_0 \times b_0 = a_1 \times b_1 = 40 \times 40$ մմ, $\alpha = 0$:

- տեսական, -- փորձնական:



Նկ. 78. $\sigma = f(L)$ կախվածության գրաֆիկները կիսալոգարիթմական կոոդինատների համակարգում:

Ինչպես երևում է նկ. 78-ից, $\sigma = f(L)$ ֆունկցիան լիովին ուղղվում է, հետևաբար այդ ֆունկցիան համապատասխանում է եքսպոնենցիալ փոփոխման օրենքին: Այդ ընդունելով որպես հիմք, բերված նյութերի մաքանատիկական մշակումից հետո կստանանք կազմովի սեղման խցիկներում խցիկի երկարությունից կախված բրիկետավորման ճնշման փոփոխման օրինաչափությունը.

$$\sigma = \sigma_i + 0,1c_{10} [e^{c_{11}(L-L_i)} - 1], \quad (178)$$

որտեղ՝ σ_i -ը կազմովի խցիկի սեպածն մասից բրիկետավորվող նյութի դուրս հրման համար անհրաժեշտ ճնշումն է, որը խցիկի տվյալ պարամետրերի համար որոշվում է (178) էմպիրիկ բանաձևով, c_{10} -ը՝ խցիկի մուտքի շափերից կախված փորձնական գործակիցը, c_{11} -ը՝ հաստատում փորձնական գործակիցը, $c_{11}=0,215$:

$a_0 = 50, 60$ և 70 մմ արժեքների դեպքում c_{10} -ի մեծությունները համապատասխանաբար կլինեն՝ $c_{10}=40, 66, 86$:

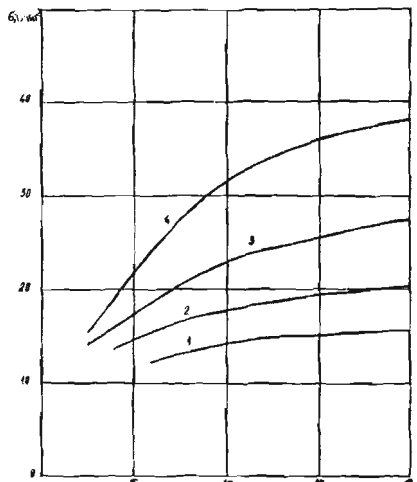
Տեղադրելով σ_i - արժեքը (178) հավասարնան մեջ, կստանանք կազմովի խցիկի երկարությունից բրիկետավորման ճնշման փորձնական կախվածությունը.

$$\sigma = 0,1(c_1(e^{c_2 L} - 1) + c_{10}[e^{c_{11}(L-L_i)} - 1]): \quad (179)$$

(179) արտահայտության մեջ c_1 և c_2 գործակիցները վերցվում են առյուծակ 4-ից, խցիկի սեպածն մասի տվյալ պարամետրերի համար:

7.7.5. Կազմովի սեղման խցիկների սեպածն մասի պատերի թերման ազդեցությունը բրիկետավորման ճնշման վրա

Նկ. 79-ում բերված են փորձնական տվյալների հիման վրա կառուցված կազմովի խցիկների պատերի թերման ամեյլումներից կախված բրիկետավորման ճնշման կախվածությունների կորերը:



Նկ. 79. $\sigma = f(\alpha)$ ֆունկցիայի գրաֆիկները՝ եթե՝ $a_0 = 50$ մմ և 1. $L = 5$ սմ, 2. $L = 7$ սմ, 3. $L = 9$ սմ, 4. $L = 11$ սմ:

Ինչպես երևում է նկ. 79-ում բերված գրաֆիկից (1, 2, 3, 4 կորեր), $a_0 = 50$ մմ-ի դեպքում մեծացնելով α -ն, բրիկետավորման ճնշումը աճում է: Ընդ որում թերման անլյան փոքր արժեքների դեպքում մկատվում է σ -ի աճի ավելի մեծ ինտենսիվություն: Բացի այդ, σ -ի աճի մեծ ինտենսիվություն է մկատվում L -ի մեծ արժեքների դեպքում: Օրինակ, $L=5, 7, 9$ և 11 սմ արժեքների համար, α անլյան 6-ից մինչև 10^0 փոփոխության դեպքում, σ -ն համապատասխանաբար մեծանում է 12, 15, 5, 19, 24-ից մինչև 14, 2, 18, 23, 31, 5 Ն/մ² (կորեր՝ 1, 2, 3, 4):

Մեծացնելով α -ն մինչև 14^0 , բրիկետավորման σ ճնշումը համապատասխանաբար մեծանում է մինչև 15, 19, 5, 25, 35, 5 Ն/մ²: Խցիկի պատերի թերությունից կախված σ -ի փոփոխման այդպիսի օրինաչափությունը բացատրվում է նրանով, որ a_0 -ի փոքր արժեքների դեպքում α -ի մեծացումը հասցնում է խցիկի սեպած մասի կարճացման: Սակայն խցիկի սեպած մասից բրիկետների դուրսիրման համար անհրաժեշտ ճնշումը փոփոխվում է աննշան, հետևաբար, բրիկետավորման լրիկ ճնշումը հիմնականում կախված է խցիկի պրիզմայած մասի երկարությունից:

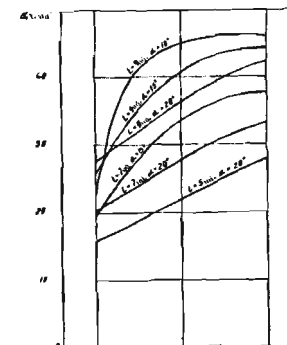
Կազմովի սեղմման խցիկի պարամետրերից բրիկետավորման ճնշման կախվածության նարեմատիկական արտահայտությունը ստանալու համար (172), (173) և (177) արտահայտությունները տեղադրում ենք (179) արտահայտության մեջ, որից հետո ստանում ենք՝

$$\sigma = 0,1 \left(\left(c_3 + c_4 \alpha + c_5 \alpha^2 + c_6 \alpha^3 \right) e^{\left(c_7 + c_8 \alpha^2 \right) \frac{a_0 - a_1}{2 \pi a}} - 1 \right) + c_{10} \left[e^{c_{11} \left(L - \frac{a_0 - a_1}{2 \pi a} \right)} - 1 \right] : (180)$$

(180) հավասարման մեջ մտնող $c_3, c_4, c_5, c_6, c_7, c_8$ և c_9 գործակիցների մեծությունները բերված են 7 և 8 աղյուսակներում:

7.7.6. Կազմովի սեղմման խցիկի մուտքի կտրվածքի չափերի ազդեցությունը բրիկետավորման ճնշման վրա

Նկ. 80-ում բերված են վորոձերի տվյալների հիման կառուցված բրիկետավորման ճնշման կախվածությունները կազմովի սեղմման խցիկի մուտքի կտրվածքի չափերից:

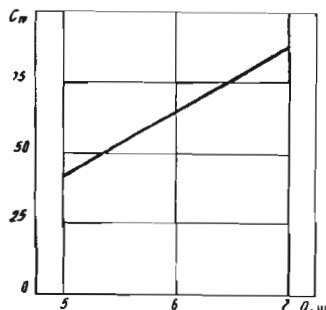


Նկ. 80. Կազմովի սեղմման խցիկի մուտքի կտրվածքի չափերից բրիկետավորման σ ճնշման կախվածությունների գրաֆիկները:

Ինչպես երևում է նկ. 80-ից, մեծացնելով a_0 -ն, σ բրիկետավորման ճնշումը մեծանում է: α անլյան $10^0 + 15^0$ արժեքների դեպքում այն սկզբից ավելի ինտենսիվ է մեծանում, այնուհետև սկսած $50 + 60$ մմ-ից a_0 -ի մեծացումից, σ -ի աճի ինտենսիվությունը նվազում է: $\alpha = 20^0$ -ի դեպքում σ -ի

արժեքը a_0 -ից կախված աճում է ուղիղ համեմատական: $\alpha = 10^\circ$ անկյան արժեքի դեպքում a_0 -ն մեծացնելով 50-ից մինչև 60մմ, σ -ն մեծանում է 23-ից մինչև 45Ն/մ², իսկ a_0 -ի մեծացումը 60-ից մինչև 70մմ-ի, բերում է σ -ի աճի 45-ից մինչև 46,3 Ն/մ²:

$\sigma = f(a_0)$ կախվածությունը մաքեմատիկական տեսքով արտահայտելու համար օգտվում ենք (180) էմպիրիկ բանաձևից, նախապես նրա մեջ տեղադրելով խցիկի a_0 լայնությունից կախված փորձնական գործակիցների մեծությունները: $c_1, c_2, c_3, c_4, c_5, c_6, c_7, c_8$ և c_9 փորձնական գործակիցների արժեքները բերված են (172), (173) և (176) արտահայտություններում: c_{10} փորձնական գործակիցի կախվածությունը a_0 -ից ստանալու համար կառուցում ենք $c_{10} = f(a_0)$ կախվածության գրաֆիկը:



Նկ. 81. $c_{10} = f(a_0)$ կախվածության գրաֆիկը:

$c_{10} = f(a_0)$ կախվածությունը կարելի է ներկայացնել հետևյալ մաքեմատիկական արտահայտությամբ.

$$c_{10} = 23a_0 - 74. \quad (181)$$

(180) հավասարման մեջ (176) և (181) արտահայտություններից տեղադրելով փորձնական գործակիցների մեծությունները, կստանանք բրիկետավորման σ ճնշման կախվածությունը կազմովի սեղմման խցիկի երկարությունից, սապած մասի պատերի թերման անկյունից և մուտքի կտրվածքի չափերից:

7.7.7. Բրիկետավորվող նյութի (առվույտ) խոնավության ազդեցությունը բրիկետավորման ճնշման վրա

Փորձնական տվյալների հիման վրա կառուցվել են բրիկետավորվող նյութի խոնավությունից բրիկետավորման ճնշման կախվածությունների գրաֆիկները մուտքային անցքի կտրվածքի տարբեր չափեր ունեցող սեղմման խցիկների համար, որոնք բերված են նկ. 82-ում:

Ինչպես երևում է նկ. 82-ից, մեծացնելով բրիկետավորվող նյութի խոնավությունը մինչև 18+19%, բրիկետավորման ճնշումը մեծանում է և այդ կետում ընդունում առավելագույն արժեքը: Խոնավության հետագա աճը բերում է ճնշման փորձացման:

Համեմատելով նկ. 82-ում ներկայացված գրաֆիկները, նշենք, որ սեղմման խցիկի ցանկացած չափերի դեպքում, բրիկետավորվող նյութի խոնավությունից կախված, բրիկետավորման ճնշման փոփոխությունը ընթանում է միևնույն

$$\frac{\sigma_w}{\sigma_{w=16\%}} = f(W) \text{ օրինաչափությամբ (պարաբոլային):}$$

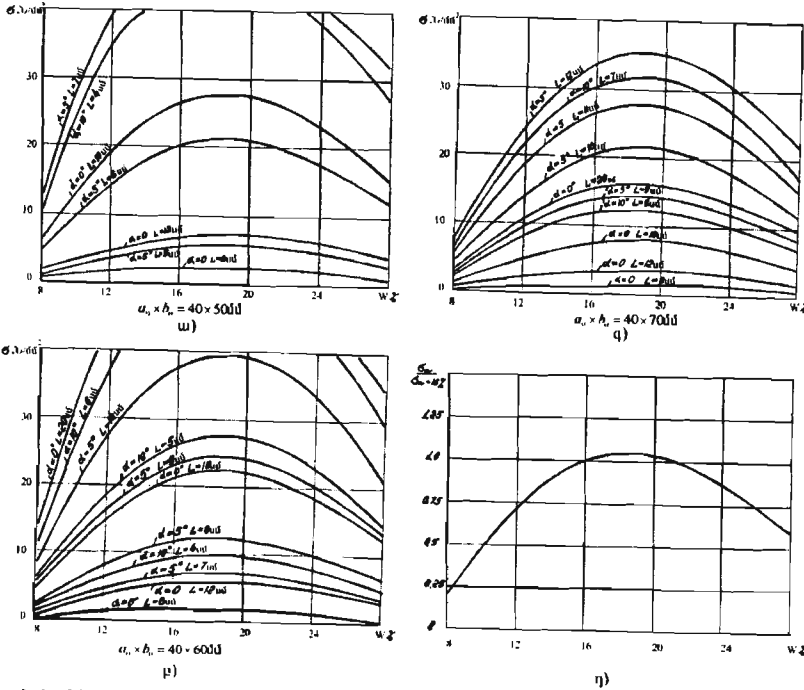
Նկատի ունենալով, որ մեր կողմից նախկինում ստացվել էին $\sigma = f(L, \alpha, a_0)$ կախվածությունները $W=16\%$ բրիկետավորվող նյութի խոնավության դեպքում, կառուցելով $\frac{\sigma_w}{\sigma_{w=15\%}} = f(W)$ գրաֆիկները (նկ. 82), կարող ենք որոշել նյութի խոնավությունից բրիկետավորման ճնշման կախվածության օրինաչափությունը անալիտիկ տեսքով: Այդ նպատակով օգտվում ենք Չեբիշևի թվերի օգնությամբ կորելյացիոն հավասարությունների հաշվման եղանակից:

Հաշվումներից հետո ստանանք ենք՝

$$\frac{\sigma_w}{\sigma_{w=16\%}} = \left| (1,0 + 0,042)(W - 16) - 0,0067(W - 16)^2 \right|, \quad (182)$$

կամ

$$\sigma_w = \sigma_{w=16\%} \left| (1,0 + 0,042)(W - 16) - 0,0067(W - 16)^2 \right|. \quad (183)$$



Նկ. 82. Բրիկետավորվող նյութի խոնավությունից բրիկետավորման ճնշման կախվածությունների գրաֆիկները մուտքի կտրվածքի տարրեր չափեր ունեցող սեղման խցիկների համար:

7.7.8. Ստացվող բրիկետների ամրությունը

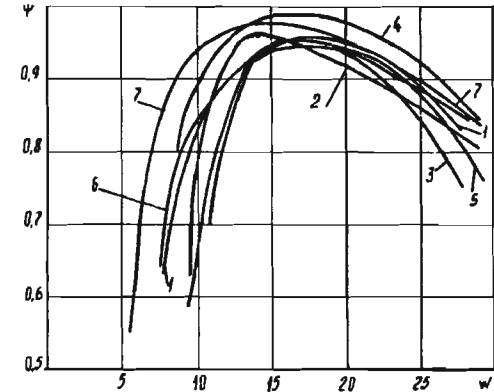
Բրիկետավորման գործնքացում ստացվող բրիկետների որակը կախված է ինչպես սեղման խցիկների կառուցվածքային պարամետրերից, այնպես և բրիկետավորվող նյութի ֆիզիկո-մեխանիկական հատկություններից:

Բրիկետների ամրությունը բրիկետավորման գործնքացի հիմնական պարամետրերից մեկն է:

Սեղման խցիկի կառուցվածքային պարամետրերից և բրիկետավորվող նյութի ֆիզիկո-մեխանիկական հատկություններից բրիկետների ամրության կախվածությունների գրաֆիկները բերված են նկ. 83-85-ում:

Ինչպես երևում է նկ. 83-ից, սեղման խցիկի տարրեր պարամետրերի համար, բոլոր դեպքերում, մեծացնելով բրիկետավորվող նյութի խոնավությունը մինչև որոշակի արժեք, բրիկետների ամրությունը մեծանում է, այնուհետև, խոնավության հետագա մեծացման դեպքում՝ փոքրանում:

Բրիկետների ամրության առավելագույն արժեքը (ψ_{\max}) ստացվում է բրիկետավորվող նյութի $W=13+17\%$ խոնավության դեպքում: Այդ մեծությունը կախված է սեղման խցիկի կառուցվածքային պարամետրերից (α և L):



Նկ. 83. $a_0 = 50$ մմ մուտքի կտրվածքի լայնության խցիկների համար բրիկետների ամրության կախվածությունը նյութի խոնավությունից:

1. $\alpha = 5^\circ, L = 90\text{մմ}$, 2. $\alpha = 5^\circ, L = 125\text{մմ}$, 3. $\alpha = 10^\circ, L = 90\text{մմ}$, 4. $\alpha = 10^\circ, L = 125\text{մմ}$,
5. $\alpha = 15^\circ, L = 90\text{մմ}$, 6. $\alpha = 10^\circ, L = 110\text{մմ}$, 7. $\alpha = 20^\circ, L = 125\text{մմ}$:

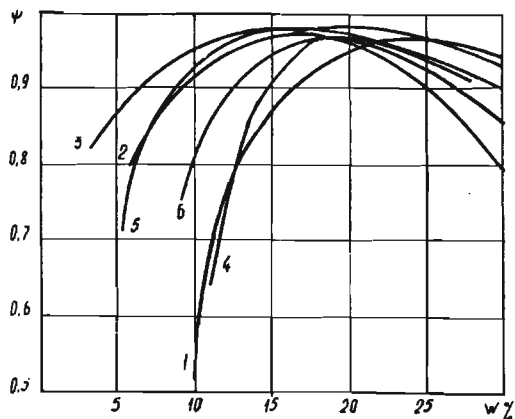
Հաստատուն α -ի դեպքում մեծացնելով L -ը, տեղի է ունենում $\psi_{\max W}$ -ի արժեքի մեծացում:

Ա-ի մինչև 10° մեծացման դեպքում $\psi_{\max W}$ -ն աճում է: Ա-ի հետագա մեծացումը բերում է $\psi_{\max W}$ -ի փոքրացման:

Օրինակ. $\alpha=10^\circ, L=90\text{մմ}$ -ի դեպքում՝ $\psi_{\max W}=0,95$, իսկ $\alpha=10^\circ, L=125\text{մմ}$ -ի դեպքում՝ $\psi_{\max W}=0,99$ (նկ. 83, կորեր 3,4):

$\alpha = 5^\circ, 10^\circ, 20^\circ$ և $L = 125\text{մմ}$ արժեքների դեպքում, համապատասխանաբար՝ $\psi_{\max} = 0,96, 0,99, 0,97$ (նկ. 83, կորեր՝ 2,4,7):

Դժվար չէ նկատել, որ հաստատում α -ի և երկար խցիկների դեպքում առավել ամուր բրիկետներ ստացվում են համեմատաբար չոր նյութերից: Օրինակ, $\alpha = 20^\circ$ և $L = 110\text{մմ}$ պարամետրերի դեպքում ψ_{\max} -ը ստացվում է $W = 18\%$ խոնավության դեպքում, իսկ եթե $L = 125 \text{ մմ}$ ՝ $W = 14\%$ խոնավության դեպքում (նկ. 83, կորեր՝ 6,7): Այդ բացատրվում է նրանով, որ սեղմման խցիկի մեջ արժեքների դեպքում բրիկետավորման ճնշումը կտրուկ աճում է:

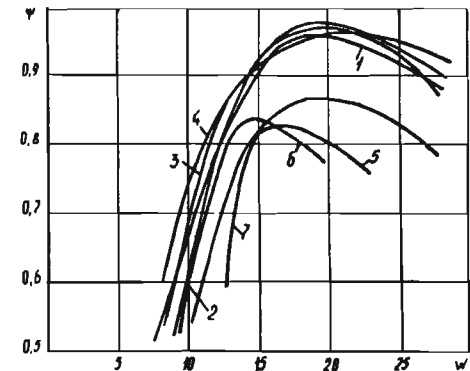


Նկ. 84. $a_0 = 60\text{մմ}$ մուտքի կտրվածքի լայնության խցիկների համար բրիկետների ամրության կախվածությունը նյութի խոնավությունից:
1. $\alpha = 5^\circ, L = 90\text{մմ}$, 2. $\alpha = 10^\circ, L = 90\text{մմ}$, 3. $\alpha = 15^\circ, L = 90\text{մմ}$, 4. $\alpha = 5^\circ, L = 70\text{մմ}$,
5. $\alpha = 15^\circ, L = 70\text{մմ}$, 6. $\alpha = 20^\circ, L = 110\text{մմ}$:

Նկ. 83-ում բերված կորերի վերլուծությունը ցույց է տալիս, որ խցիկի մուտքի կտրվածքի հաստատում՝ $a_0 = 50\text{մմ}$ լայնության դեպքում բրիկետների առավելագույն ամրություն ստացվում է $\alpha = 10^\circ$ -ի դեպքում, ընդ որում այն մեծանում է, մեծացնելով խցիկի երկարությունը:

Նկ. 84-ից երևում է, որ $a_0 = 60\text{մմ}$ մուտքի կտրվածքի լայնությունը ունեցող խցիկների դեպքում բրիկետների ամրության առավելագույն արժեք ստացվում է բրիկետավորվող նյութի $W = 15 + 20\%$ խոնավությունների դեպքում:

α, a_0 և a_1 հաստատում պարամետրերի դեպքում մեծացնելով խցիկի երկարությունը, խցիկի ծեղ փոփոխվում է: Սեղմման խցիկի երկարության $L < \frac{a_0 - a_1}{2tg\alpha}$ միջակայքում խցիկը ստացվում է սեղած, իսկ $L > \frac{a_0 - a_1}{2tg\alpha}$ միջակայքում՝ կազմովի (բաղկացած սեղած և պրիզմայած մասերից): Կազմովի խցիկների դեպքում բրիկետների առավելագույն ամրությունը ստացվում է խոնավությունների բարձր արժեքների դեպքում: Այսպես, օրինակ, $L = 70\text{մմ}$ և 90մմ արժեքների դեպքում, ψ_{\max} -ն համապատասխանաբար ստացվում՝ $0,96$ և $0,97$ (նկ. 84, կորեր 1 և 4), որը համապատասխանում է $W = 25\%$ և 18% խոնավություններին:



Նկ. 85. $a_0 = 70\text{մմ}$ մուտքի կտրվածքի լայնության խցիկների համար բրիկետների ամրության կախվածությունը նյութի խոնավությունից:
1. $\alpha = 5^\circ, L = 70\text{մմ}$, 2. $\alpha = 10^\circ, L = 70\text{մմ}$, 3. $\alpha = 15^\circ, L = 70\text{մմ}$, 4. $\alpha = 20^\circ, L = 70\text{մմ}$, 5. $\alpha = 10^\circ, L = 50\text{մմ}$, 6. $\alpha = 15^\circ, L = 50\text{մմ}$, 7. $\alpha = 20^\circ, L = 50\text{մմ}$:

Սեղած սեղմման խցիկներում ստացված բրիկետների առավելագույն ամրության արժեքները ավելի փոքր են, քան կազմովի սեղմման խցիկներում ստացվածներինը: Այդ բացատրվում է նրանով, որ կազմովի սեղմման

խցիկներում ապահովում է կազմավորված բրիկետների խցիկում ճնշման տակ մնալու անհրաժեշտ ժամանակը:

$a_0 = 70 \text{ մմ}$ մուտքի կտրվածքի լայնություն ունեցող խցիկներում բրիկետների ամրության առավելագույն արժեք ստացվում է բրիկետավորվող նյութի $W = 14 + 23\%$ խոնավությունների դեպքում (նկ. 85):

Ինչպես երևում է նկ. 85-ից, L -ի հաստատում արժեքների դեպքում մեծացնելով α -ն մինչև 10° , ψ_{\max} -ը մեծանում է: α -ի հետագա մեծացումը բերում է ψ_{\max} -ի աճնշան աճ: Այստեղից հետևում է, որ $a_0 = 70 \text{ մմ}$ մուտքի կտրվածքի լայնություն ունեցող սեղմման խցիկների համար նպատակահարմար է ընտրել $\alpha = 10^\circ$:

$\psi = f(W, \alpha, L, a_0)$ կախվածությունների վերլուծությունը ցույց է տալիս, որ ստացվող բրիկետների ամրության տեսակետից, խցիկի պատերի օպտիմալ թերման անկյունը $\alpha = 10^\circ$ է:

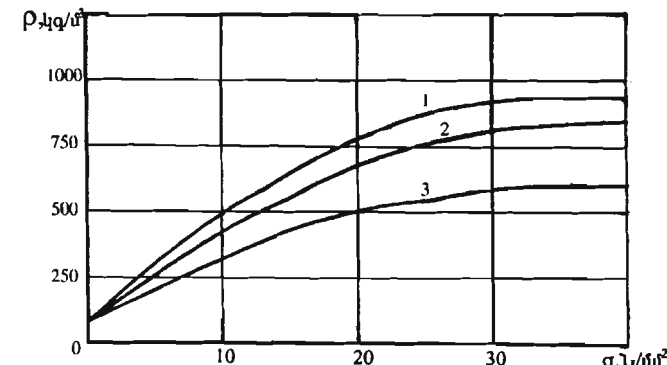
7.7.9. Բրիկետների խտության կախվածությունը բրիկետավորման ճնշումից

Բրիկետավորման ճնշումից ստացվող բրիկետների խտությունների կախվածությունների գրաֆիկները սեղմման խցիկի մուտքի կտրվածքի տարրեր լայնությունների դեպքում բերված են նկ. 86-ում (չափումները կատարված են բրիկետավորումից մեկ ժամ անց):

Ինչպես երևում է նկ. 86-ից, բրիկետավորման ճնշումը մեծացնելով 0-ից մինչև $25+35 \text{ Ն/մ}^2$, բրիկետների խտությունը մեծանում է: Բրիկետավորման ճնշման հետագա մեծացման ազդեցությունը բրիկետների խտության վրա աննշան է:

Միևնույն բրիկետավորման ճնշման պայմաններում բրիկետների խտությունը $a_0 = 50 \text{ մմ}$ մուտքի կտրվածքի լայնության խցիկներում պահի մեծ է, քան $a_0 = 60 \text{ մմ}$ և $a_0 = 70 \text{ մմ}$ մուտքի կտրվածքի լայնության խցիկներում: Այդ բացատրվում է նրանով, որ մուտքի կտրվածքի փոքր լայնություն ունեցող խցիկներում բրիկետավորման դեպքում անհրաժեշտ ճնշումը ստանալու համար

պահանջվում է խցիկի ավելի փոքր երկարություն, քան մեծ լայնություն ունեցող խցիկներում:

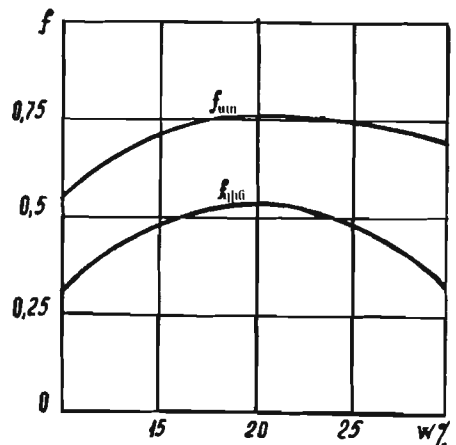


Նկ. 86. Բրիկետավորման ճնշումից ստացվող բրիկետների խտության կախվածությունների գրաֆիկները, եթե $a_i = 40 \text{ մմ}$. 1. $a_0 = 50 \text{ մմ}$, 2. $a_0 = 60 \text{ մմ}$, 3. $a_0 = 70 \text{ մմ}$:

Բացի այդ, քանի որ ելքային կտրվածքի լայնությունը հաստատուն է ($a_i = 40 \text{ մմ}$), ապա մուտքի կտրվածքի մեծ լայնություն ունեցող խցիկներում տեղի է ունենում բրիկետների կողային սեղմում և ծոռում, որի հետևանքով խցիկից դուրս գալուց հետո բրիկետներն ընդարձակվում են, որը և նվազեցնում է նրանց խտությունը: Այսպես, $25+35 \text{ Ն/մ}^2$ բրիկետավորման ճնշման դեպքում $a_0 = 50 \text{ մմ}$ մուտքի կտրվածքի լայնություն ունեցող խցիկներում ստացվում են $850+950 \text{ կգ}/\text{մ}^3$ խտության բրիկետներ, $a_0 = 60 \text{ մմ}$ լայնության խցիկներում՝ $750+850 \text{ կգ}/\text{մ}^3$, իսկ $a_0 = 70 \text{ մմ}$ լայնության խցիկներում՝ $550+650 \text{ կգ}/\text{մ}^3$ խտության բրիկետներ:

7.7.10. Սեղմման խցիկի պատերի հետ բրիկետավորվող խոտի շվման գործակիցը

Բրիկետավորման ժամանակ խոտի դինամիկական և ստատիկական շվման գործակիցները խստորեն կախված են խոտի խոնավությունից: Այդ կախվածությունները գրաֆիկական տեսքով բերված են նկ. 87-ում:



Նլ. 87. Ստատիկական (f_{wu}) և դինամիկական (f_{nu}) շվման գործակիցների կախվածությունները խոտի (առվույտ) խոնավությունից:

Ինչպես երևում է գրաֆիկից, մեծացնելով խոնավությունը մինչև 20%, շվման գործակիցը մեծանում է, ապա խոնավության հետագա մեծացման դեպքում՝ փոքրանում: Ըստ որում դինամիկական շվման գործակիցի f_{nu} փոքրացումն ընթանում է ավելի նեղատեցի: Հաստատված է, որ $f_{wu} > f_{nu}$ և խոտի 20% խոնավության դեպքում նրանց միջև ի հայտ է գալիս ուղղագծային կախվածություն: Խոնավությունը 20%-ից ավելի մեծացնելու դեպքում այդ կախվածությունը խախտվում է, որը բացատրվում է նրանով, որ խոտի խոնավության բարձր արժեքների դեպքում տեղի է ունենում խոտի կաշում, որի հետևանքով մեծանում է ստատիկական շվման գործակիցը: f_{wu} և f_{nu} շվման գործակիցներն իրենց առավելագույն արժեքներն ընդունում են խոտի 18÷22% խոնավության դեպքում և կազմում են՝ $f_{wu}=0,76$ և $f_{nu}=0,54$:

8. ԽՈՏԻ ԲՐԻԿԵՏԱՎՈՐՄԱՆ ԳՈՐԾԸՆԹԱՑԻ ԷՆԵՐԳԱՏԱՐՈՒԹՅՈՒՆԸ

Խոտի բրիկետավորման գործընթացի էներգատարությունը որոշվում է բրիկետավորման մեքենայի առանձին հանգույցների էներգատարությունների գումարով:

$$A = A_{p.u.} + A_{w.f.} + A_{g.f.} + A_{h.u.} + A_f + A_p, \quad (184)$$

որտեղ՝ $A_{p.u.}$ -ն բրիկետավորման մամլիչի էներգատարությունն է, $A_{w.f.}$ -ն՝ պնևմոփիսադրիչի էներգատարությունը, $A_{g.f.}$ -ն՝ բրիկետների ջարդիչ-փիսադրիչի էներգատարությունը, $A_{h.u.}$ -ն՝ խոտի հավաքիչ-մանրատիչի էներգատարությունը, A_f -ն՝ բեռնաբափող փոխադրիչի էներգատարությունը, A_p -ն՝ մեքենայի քարշային դիմադրության հաղթահարման էներգատարությունը:

Բրիկետավորման օղակածև մամլիչներում բրիկետավորման առաջին փուլում մամլող հոլովակները բրիկետավորվող նյութը սեղմում են մինչև որոշակի խտություն: Արյոյունքում հոլովակների և մատրիցային օղակի արանքում առաջանում է սեղմված խտացերտ: Հետագա սեղմումից խտացերտը կտրատվում է առանձին չափաբաժիններով և մղվում սեղմնան խցիկներ: Բրիկետավորման գործընթացի դիմագրամը բերված է նկ. 88-ում:

Բրիկետավորման օղակածև մամլիչի էներգատարությունը ($A_{w.f.}$) որոշվում է սեղմնան դիմագրամով. չափվում է դիմագրամի ածեմ մակերեսը, որն իրենից ներկայացնում է երեք ֆազերի մակերեսների գումար (նկ. 88):

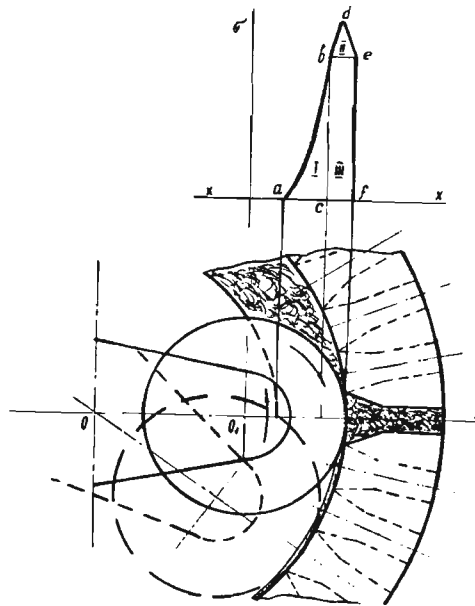
I Փազը, որը բնութագրվում է ած մակերեսով, բրիկետավորվող նյութը սեղմված շերտի վերածելու վրա ծախսվող սեղմնան էներգիան է ($A_{w.f.1}$):

II Փազը, որը բնութագրվում է եծ մակերեսով, սեղմված շերտը առանձին չափաբաժինների կտրելու վրա ծախսվող էներգիան է ($A_{w.f.2}$):

III Փազը, որը բնութագրվում է շեմ մակերեսով, սեղմված չափաբաժինները սեղմնան խցիկների մեջ մտցնելու վրա ծախսվող էներգիան է ($A_{w.f.3}$):

Բրիկետավորման լրիվ էներգիան կլինի.

$$A_{p.u.} = A_{w.f.1} + A_{w.f.2} + A_{w.f.3}: \quad (185)$$



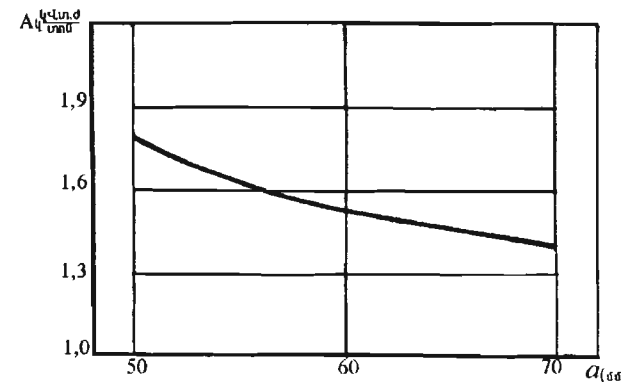
Նկ. 88. Օղակային բրիկետավորման մամլիչում խոտի սեղմման դիագրամը:

Մեր կատարած փորձերը ցույց են տվել, որ սեղմված շերտը առանձին չափարաժիշտների վերածելու վրա ծախսվող էներգիան հիմնականում կախված է սեղմման խցիկի ծեփ և մուտքի կտրվածքի պարամետրերից: Տեսական հետազոտությունները ցույց են տվել, որ, ելեկով էներգետիկ ցուցանիշներից, նպաստակահարմար է ուղանելյուն կտրվածքով սեղմման խցիկների կիրառությունը:

Կտրման տեսակարար էներգիայի կախվածությունը սեղմման խցիկի մուտքի կտրվածքի լայնությունից բերված է նկ. 89-ում:

Գրաֆիկից երևում է, որ մեծացնելով խցիկի մուտքի կտրվածքի լայնությունը, կտրման տեսակարար էներգիան փոքրանում է, ընդ որում այդ փոքրացումը սկզբում ընթանում է ավելի ինտենսիվ:

Սեղմման խցիկի մուտքի կտրվածքի 50÷70 մմ լայնությունների դեպքում կտրման տեսակարար էներգիան կազմում է 1,8+1,35 կՎտ.ժամ/տոնն:



Նկ. 89. Կտրման տեսակարար էներգիայի կախվածությունը սեղմման խցիկի մուտքի կտրվածքի լայնությունից:

Ուղղանկյուն կտրվածքով և մուտքի անցքի $b_0=60\text{мм}$ լայնության սեղմման խցիկներում սեղմված շերտը կտրելու վրա ծախսվող տեսակարար էներգիան կազմում է $A_{կո} = 1,52 \text{ կՎտ.ժամ/տոնն}$:

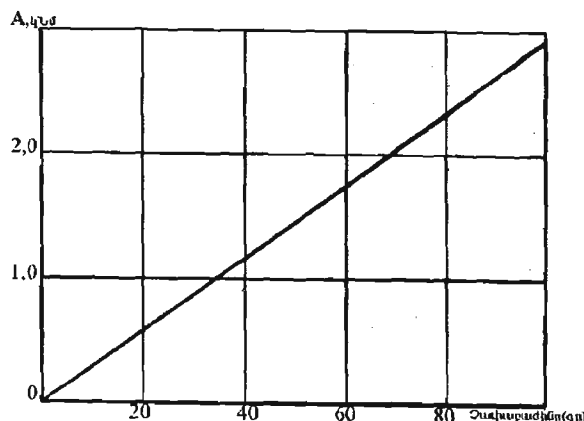
Բրիկետավորվող նյութը մինչև որոշակի խտության սեղմելու վրա ծախսվող տեսակարար էներգիան, կախված չափարաժիշտներից, կազմում է $4\div8 \text{կՎտ.ժամ/տոնն}$. Սեղմման տեսակարար էներգիան կարելի է որոշել նաև Վ.Ի. Օսորովի կողմից առաջարկվող բանաձևով [57], որը որոշ ձևափոխություններից հետո կիրառելի է դառնում օղակային բրիկետավորող մամլիչների համար.

$$A_{սե} = \frac{SH}{m} k \left\{ a \rho_0 e^{-a\rho_0} \left[Ei\left(a\rho_0 \frac{H}{\delta}\right) - Ei(a\rho_0)\right] - \frac{\delta}{H} \left(e^{a\rho_0 \frac{H-\delta}{\delta}} - 1\right) \right\}, \quad (186)$$

որտեղ՝ $S=a_0 b_0 - ն$ խցիկի մուտքի կտրվածքի մակերեսն է, $H=R \cdot A - ն$ հողվակի կողմից ընդգրկված շերտի հաստությունը, $\delta=R\left(1-\sqrt{1-\frac{\rho_0}{\rho_{\max}} A(2-A)}\right)-ն$ ՝ խցիկի մեջ սեղմելու պահին շերտի հաստությունը, $Ei-ն$ ՝ ինտեգրալային ցուցչային ֆունկցիան, m -ը չափարաժնի զանգվածը, $A-ն$ ՝ գործակիցը, a , k ՝ գործակիցները:

Սեղմված գանգվածը խցիկ մտցնելու համար պահանջվող էներգիան հիմնականում կախված է չափաբաժնի գանգվածից: Այդ կախվածության գրաֆիկը, նորմալ խտության և ամրության բրիկետներ ստանալու դեպքում, բերված է նկ. 90-ում:

Ինչպես երևում է գրաֆիկից, սեղմված գանգվածը խցիկ մտցնելու համար պահանջվող էներգիայի և բրիկետի զանգվածի միջև գոյություն ունի ուղղագծային կախվածություն: Սեղմված գանգվածը խցիկ մտցնելու համար պահանջվող տեսակարար էներգիան կախված չէ չափաբաժնի զանգվածից և կազմում է՝ $A_{\text{բ.գ.}} = 8,3 \text{կՎտ.ժամ/տոնն}$:



Նկ. 90. Չափաբաժինները խցիկ մտցնելու համար պահանջվող էներգիայի կախվածությունը բրիկետի զանգվածից:

Բրիկետավորման գործընթացի լրիվ տեսակարար էներգիան ($A_{\text{բ.գ.}}$), կախված նյութի չափաբաժնից և սեղմման խցիկի պարամետրերից, կազմում է $A_{\text{բ.գ.}} = 14 + 20 \text{կՎտ.ժ./տոնն}$:

Պնևմատիկական արտահայտությունը որոշելիս օգտվում ենք (137) արտահայտությունից, որն իրենից ներկայացնում է պնևմատիկական հզորության բանաձևը: Ելնելով (137) արտահայտությունից և այն բաժանելով

արտադրողականության վրա, կստանանք պնևմափոխադրիչի էներգատարությունը.

$$A_{\text{բ.գ.}} = \frac{P}{\vartheta} = \frac{(\rho_a - \rho_{\infty})g}{3600n\rho_{\infty}} \left((1+m)h + \frac{B^2 l (1+Cm)(1+x)}{2k(B-1)^2} \left(\lambda \frac{L}{D} + K \xi_a \xi_R \frac{\xi_R}{D} + \xi_a + \xi_R \left(\frac{D}{D_l} \right)^2 + \xi_{aR} \right) \right) \quad (187)$$

Բրիկետների ջարողիչ-փոխադրիչի էներգատարությունը որոշում ենք՝ օգտելով ջարողիչ-փոխադրիչի անհրաժեշտ հզորության (155) բանաձևից.

$$A_{\text{բ.գ.}} = \frac{P_{\text{բ.գ.}}}{\vartheta} = \frac{gf\pi(R+l)}{3.6}, \text{կՎտ.ժամ/տոնն:} \quad (188)$$

Հավաքիչ-մանրատիչը և բեռնաբավոր փոխադրիչը կարելի է ընտրել՝ ելնելով բրիկետավորման մամլիչի և պնևմատիկ փոխադրիչի պարամետրերից:

Մերենայի քարշային դիմադրության հաղթահարման վրա ծախսվող տեսակարար հզորությունը որոշվում է հետևյալ բանաձևով:

$$A_p = \frac{f_p G_{\text{մեր.}} V_{\text{մեր.}}}{\vartheta}, \text{կՎտ.ժամ/տոնն,} \quad (189)$$

որտեղ՝ f_p -ը մերենայի քարշային դիմադրության գործակիցն է, $G_{\text{մեր.}}$ -ն՝ բրիկետավորող մերենայի կշիռը, V , $V_{\text{մեր.}}$ -ն՝ բրիկետավորող մերենայի աշխատանքային արագությունը, մ/վ:

9. ԲՐԻԿԵՏԱՎՈՐՄԱՆ ՍԵԶԵՆԱՆԵՐԻ ՀԱՇՎԱՐԿՄԱՆ ՄԵԹՈԴԻԿԱՆ

Բրիկետավորման մեքենաների հաշվարկումը և նախագծումը անհրաժեշտ է սկսել մեքենայի սխեմայի մշակմանը, որի համար ելեկով բնակլիմայական պայմաններից, անհրաժեշտ է ճշտել բրիկետավորման տեխնոլոգիան: Այն շրջաններում, որտեղ անհնար է խոտի բնական չորացումը, նպատակահարմար է ստացիոնար բրիկետավորման տեխնոլոգիայի կիրառությունը (նկ. 4):

Այն շրջաններում, որտեղ արևի ուղիացիան բավական բարձր է և խոտի չորացումը հնարավոր է դաշտային պայմաններում, նպատակահարմար է շարժական մեքենաներով բրիկետավորման տեխնոլոգիայի կիրառությունը (նկ. 2):

Ինչպես ստացիոնար, այնպես և շարժական բրիկետավորման մեքենաներում հիմնական աշխատանքային օրգանը բրիկետավորման մամիչն է:

Բրիկետավորման մամիչներից առավել տարածվածներն են դրոշմային և օղակածն մամիչները: Ելեկով բրիկետավորման գործընթացի անընդհատություն և բարձր արտադրողականություն ապահովելու հնարավորությունից, նպատակահարմար է բրիկետավորման օղակածն մամիչների կիրառությունը:

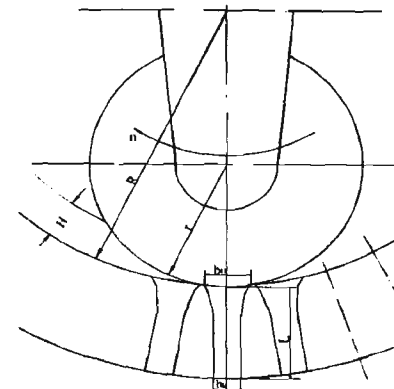
Բրիկետավորման օղակածն մամիչներում հիմնական աշխատանքային օրգաններն են մատրիցային օղակը, սեղմող հղովակները և սեղման խցիկները, որոնցում անմիջապես ծեավորվում են բրիկետները:

Սեղման խցիկի ծեից և պարամետրերից են կախված ինչպես բրիկետավորման մամիչի արտադրողականությունը, այնպես էլ ստացվող բրիկետների որակական ցուցանիշները:

Ելեկով կառուցվածքային տեսանկյունից և բրիկետավորման օղակածն մամիչներում եզրաշափերի ու մետաղատարության նվազեցման հնարավորություններից, սովորաբար օգտագործվում են կազմովի կտրվածքով սեղման խցիկներ (նկ. 91), այսինքն սեղման խցիկներն ունենում են փոփոխական և հաստատուն լայնական կտրվածքներ:

Կազմովի սեղման խցիկների պարամետրերն են. խցիկի L երկարությունը, $a_0 \times b_0$, $a_b \times b_b$ մուտքի ու ելքի կտրվածքների չափերը և խցիկի փոփոխական

կտրվածք ունեցող մասի պատերի թեքման անկյունները երկայնական առանցքի նկատմամբ:



Նկ. 91. Բրիկետավորման օղակածն մամիչի աշխատանքային օրգանի հաշվարկային սխեման:

Խցիկի երկարությունը որոշվում է՝ ելեկով բրիկետավորման համար անհրաժեշտ ճնշումից: Պահանջվող խտությամբ բրիկետներ ստանալու համար անհրաժեշտ է, որ բրիկետավորման ճնշումը հավասար լինի խցիկներում առաջացած հականշմանը:

Կյոր լայնական կտրվածքով կազմովի սեղման խցիկներում (կոնական և գլանային մասերով) հականշումը որոշվում է հետևյալ բանաձևով (էջ 58):

$$\sigma = \sigma_{0i} + \frac{s_i}{s_0} \sigma_{0ii} \quad (190)$$

Խցիկի կոնական մասի կողմից առաջացող σ_{0i} հակագդումը որոշվում է հետևյալ արտահայտությամբ (էջ 35):

$$\sigma_0 = \left[\frac{q_0}{\varepsilon + tg\alpha} - \frac{A_2 R_0}{A_1 (A_1 - tg\alpha)} \right] \left[\left(1 - \frac{Ltg\alpha}{R_0} \right)^{\frac{A_1}{tg\alpha}} - 1 \right] + \frac{A_2}{A_1 - tg\alpha} \left(1 - \frac{Ltg\alpha}{R_0} \right)^{\frac{A_1}{tg\alpha}} : \quad (191)$$

Խցիկի կոնական մասի երկարությունը որոշվում է երկարաշափորեն.

$$L_{q_{pl}} = \frac{R_0 - R}{2tg\alpha} : \quad (192)$$

Խցիկի կոնական մասի ելքի կտրվածքի շառավիղը սահմանափակվում է ստացվող բրիկետների շառավղով և չպետք է գերազանցի 25 մմ-ը:

Նկ.6+11-ում բերված գրաֆիկների վերլուծության հիման վրա, ելեկով պայմանից, որ $600 \div 800$ կգ/մ³ խտության բրիկետներ ստանալու համար անհրաժեշտ է $25 \div 35$ ս/մ² ճնշում, խցիկի կոնական մասի պատի բերության նոմինալ արժեքը կայտելի է ընդունել $\alpha = 6 + 10^\circ$, բանի որ $\alpha = 6 \div 10^\circ$ պատի թերություն ունեցող սեղման խցիկների երկարությունը $2 \div 3$ անգամ փոքր է ստացվում զուգահեռ ծնիպներ ունեցող պատերով խցիկների համեմատ, որը և հանգեցնում է մամլչի մետաղատարության նվազեցմանը:

Խցիկի գլանային մասում առաջացող հակածնչումը որոշվում է (190) բանաձելից, հետևյալ արտահայտությամբ.

$$\sigma_{0H} = \frac{s_0}{s_1} (\sigma - \sigma_{0I}): \quad (193)$$

Խցիկի գլանային մասում առաջացող հակածնչումը կարելի է որոշել նաև հետևյալ արտահայտությամբ (էջ 35):

$$\sigma_{0H} = \frac{q_{0I}}{\varepsilon} \left(e^{\frac{2f\varepsilon}{R_0}(L - L_{\text{լու}})} - 1 \right): \quad (194)$$

Համատեղ լուծելով (193) և (194) հավասարությունները, ստանում ենք կլոր կտրվածքով կազմովի խցիկի ընդհանուր երկարությունը:

$$L = \frac{R}{2f\varepsilon} \ln \left(\left(\frac{\sigma - \sigma_{0I}}{q_{0I}} \right) \left(\frac{R_0}{R} \right) \varepsilon + 1 \right) + L_{\text{լու}}: \quad (195)$$

Ուղղանկյուն լայնական կտրվածքով կազմովի խցիկներում (սեպածն և պրիզմայածն մասերով) հակածնչումը կարելի է որոշել (53) արտահայտությամբ և լուծելով (43) դիմերենցիալ հավասարությունը $45 \div 53$ էջերում շարադրված եղանակով: Սակայն գործնական կիրառության դեպքում այդ հավասարման լուծումը բավական դժվար է:

Գործնական հաշվարկներում սեպածն և պրիզմայածն մասերով կազմովի խցիկներում հակածնչումը որոշելու համար կարելի է օգտագործել հետևյալ էմպիրիկ բանաձելը (էջ 141):

$\sigma = 0,1 \left(c_1 \left(e^{c_1 L_{\text{լու}}} - 1 \right) + c_{10} \left(e^{c_{10}(L - L_{\text{լու}})} - 1 \right) \right), \quad (196)$

որտեղից խցիկի երկարությունը կլինի:

$$L = \frac{1}{c_{11}} \ln \left(\frac{10\sigma - c_1 \left(e^{c_1 L_{\text{լու}}} - 1 \right)}{c_{10}} + 1 \right) + L_{\text{լու}}, \quad (197)$$

որտեղ՝ c_1, c_2 և c_{10} գործակիցների մեծությունները վերցվում են աղյուսակ 4-ից և 6կ.81-ից, իսկ c_{11} գործակիցը հաստատուն է և հավասար՝ $c_{11}=0,215$ (էջ 141):

c_1 և c_2 գործակիցները կարելի են որոշել նաև հետևյալ արտահայտությամբ (էջ 133, 134):

$$\begin{aligned} c_1 &= c_3 + c_4 \alpha + c_5 \alpha^2 + c_6 \alpha^3, \\ c_2 &= c_7 + c_8 \alpha^6. \end{aligned} \quad (198)$$

$c_3, c_4, c_5, c_6, c_7, c_8$ և c_9 գործակիցների մեծությունները բերված են 7-րդ և 8-րդ աղյուսակներում:

Խցիկի սեպածն մասի երկարությունը՝ (էջ 138)

$$L_{\text{լու}} = \frac{a_0 - a_k}{2tg\alpha}: \quad (199)$$

Ուղղանկյուն կտրվածքով կազմովի խցիկների ելքի կտրվածքի շափերը սահմանափակվում են ստացվող բրիկետների շափերով և չպետք է գերազանցեն $a_k \times b_k = 40 \times 40$ մմ-ը [83]:

Խցիկների մուտքի կտրվածքի շափերը ընտրվում են՝ ելեկով ստացվող բրիկետների ամրությունից: Սեղման խցիկի մնացած բոլոր հաստատուն պարամետրերի դեպքում, առավելագույն խտության և ամրության բրիկետներ ստացվում են 50×40 մմ մուտքային անցքի չափերով խցիկներում:

Խցիկի սեպածն մասի պատերի բերությունն ընտրվում է պահանջվող ամրության բրիկետներ ստանալու պայմանից և անհրաժեշտ հակածնչում ստանալու համար խցիկի երկարության մեծության վրա ազդեցության աստիճանից: Մեր կողմից կատարված հետազոտություններից ստացվել է, որ խցիկի սեպածն մասի պատերի օպտիմալ բերության մեծությունը կազմում է $\alpha = 8 + 12^\circ$ (էջ 51+55 և 150):

(195) և (197) արտահայտությունների մեջ մտնող անհրաժեշտ բրիկետավորման ճնշումը որոշվում է Վ.Ի.Օսորովի կողմից առաջարկվող բանաձելով [50].

$$\sigma = k \left[e^{a(\rho_{\max} - \rho_0)} - 1 \right], \quad (200)$$

որտեղ՝ ρ_{\max} -ը սեղմման խցիկում նյութի առավելագույն խտությունն է, ρ_0 -ն՝ նյութի սկզբանական խտությունը, a -ն և k -ն՝ փորձնական գործակիցները:

Սեղմման խցիկում նյութի ρ_{\max} առավելագույն խտությունը որոշվում է հետևյալ բանաձևով [32].

$$\rho_{\max} = \frac{\rho_{pp} - \alpha_0 \rho_0 + \alpha_i \rho_0 t}{\beta_0 + \alpha_0 t}, \quad (201)$$

որտեղ՝ ρ_{pp} - ստացվող բրիկետների խտությունն է, t -ն՝ սեղմման խցիկում նյութի մնալու ժամանակը, $t \geq 15\text{v}$ [103], $\alpha_0, \beta_0, \alpha, \alpha_i$ -ն՝ փորձնական գործակիցները:

Սեղմված բրիկետավորվող նյութը առանձին չափաբաժններով կտրելու համար սեղմման խցիկը կահավորվում է ընդունող մասով:

Խցիկի ընդունող մասի պատերի բերությունը ընդունվում է մեծ նյութի պատերի հետ շփման անկյունից, որպեսզի խցիկի ընդունող մասում նյութի սեղմում տեղի չընենա.

$$tg \psi \geq tg \varphi = f: \quad (202)$$

Խցիկի ընդունող մասի երկարությունն ընդունվում է: $L_{np}=3+10\text{mm}$: Ուղղանկյուն կտրվածքով խցիկի ընդունող մասի լայնությունը.

$$a_{np} = a_0 + 2L_{np} \cdot tg \psi: \quad (203)$$

Կտրող եզրերի հաստությունն ընտրվում է: $h = 2+3\text{mm}$:

Սեղմման խցիկի չափերը որոշելով հետո կարող ենք որոշել խցիկների քանակը՝ զա։ Սեղմման խցիկների քանակը որոշում ենք՝ ելնելով մատրիցային օղակի պարագծից և խցիկի ընդունող մասի լայնությունից.

$$Z_{np} = \frac{2\pi R}{a_{np} + h}, \quad (204)$$

որտեղ՝ R -ը մատրիցային օղակի շառավիղն է, որի վրա տեղաբաշխված են սեղմման խցիկները:

Ուղղանկյուն կտրվածքով, հիանքորոյիկ արտֆիլով պատերով սեղմման խցիկի պատերի պրոֆիլը (նկ. 25) ընտրում ենք՝ ելնելով ստացվող բրիկետների

օպտիմալ չափերից՝ $a \times b = 40 \times 40\text{mm}$ և խցիկի մուտքի չափերից՝ $a_0 \times b_0 = 40 \times 60\text{mm}$ (էջ 61): Խցիկի երկարությամբ ճնշման բաշխումը որոշվում է հետևյալ բանաձևով (էջ 69).

$$\sigma_x = \frac{(a_1 x + b_1)^{\frac{b_1}{a_1}}}{e^{\left(\frac{1-\epsilon_1}{a_1}\right)x}} \left(a_3 \ln b_3 \cdot (1 - b_3^X) + \frac{\sigma_0}{b_3^{\frac{b_1}{a_1}}} \right), \quad (205)$$

որտեղ՝ $a_1=27,76$, $b_1=1111,8$, $c_1=0,0211$, $a_3 = 0,0000105$ և $b_3 = 1,054$ - խցիկի որոշակի օպտիմալ պարամետրերի դեպքում հարթեցման գործակիցներն են:

Ստացվող բրիկետների անհրաժեշտ ρ խտության (201) արտահայտությունից որոշելով սեղմման խցիկում բրիկետավորման նյութի առավելագույն ρ_{\max} խտությունը, (200) բանաձևով որոշում ենք բրիկետավորման անհրաժեշտ σ_0 ճնշումը, այնուհետև նկ. 32-ում բերված գրաֆիկից, ըստ ստացված ճնշման մեծության, որոշում ենք սեղմման խցիկի L երկարությունը:

Սեղմման խցիկի ստացված պարամետրերը ստուգում ենք, ելնելով այն պայմանից, որ խցիկի հաստատում կտրվածքը ունեցող մասում բրիկետների գտնվելու ժամանակը պետք է մեծ լինի 15 v. - hg [103]: Այդ ժամանակը որոշվում է՝ ելնելով խցիկում նղած նյութի զանգվածից, չափաբանի զանգվածից և չափաբանի տեղաշարժի ժամանակից տարիշի մեջ պտույտի ընթացքում.

$$t = \frac{60(L - L_{np})\rho_{\max}ab}{nm}, \quad (206)$$

$$\text{որտեղ՝ } m = \frac{\vartheta}{z \cdot z_{np}} - \text{ը չափաբանի զանգվածն է.}$$

Այնուհետև անցնում ենք մատրիցային օղակի և հոլովակների չափերի որոշմանը, որի համար ընտրելով մատրիցային օղակի և հոլովակների շառավիղների $\frac{R}{r} = \lambda$ հարաբերության արժեքը (էջ 75,76), նաև որոշում ենք հոլովակների կողմից բրիկետավորվող նյութի կառչման ընդգրկման α_0 անկյունը (էջ 74):

$$\alpha_0 = \varphi + \arcsin\left(\frac{\sin \varphi}{\lambda - 1}\right); \quad (207)$$

Հոլովակի դիրքը բնորոշող α_H անկյունը, որի դեպքում անհրաժեշտ ρ_{max} խտության բրիկետավորվող զանգվածը մատուցվում է սեղմման խցիկներին, կլինի (էջ 77).

$$\alpha_H = \arccos\left(1 - \frac{\rho_0}{\rho_{max}}(1 - \cos \alpha_0)\right); \quad (208)$$

Հոլովակի մակերևույթով նորմալ ճնշման բաշխումը կը բնորոշվի հետևյալ արտահայտությամբ (էջ 78).

$$\sigma_H = \frac{\sigma_r}{\cos \varphi_1} = \frac{k \left(e^{\frac{\rho_0 (\cos \alpha - \cos \alpha_0)}{1 - \cos \alpha}} - 1 \right) \sqrt{1 + 2(\lambda - 1) \cos \alpha + (\lambda - 1)^2}}{1 + (\lambda - 1) \cos \alpha}; \quad (209)$$

Հոլովակի վրա ազդող գումարային ուժը և այդ ուժի կիրառման կետը որոշվում են հետևյալ բանաձևերով (էջ 82, 83).

$$F = F_1 + F_2 = br \left[\int_{\alpha_0}^{\alpha_H} \frac{k \left(e^{\frac{\rho_0 (\cos \alpha - \cos \alpha_0)}{1 - \cos \alpha}} - 1 \right) \sqrt{1 + 2(\lambda - 1) \cos \alpha + (\lambda - 1)^2}}{1 + (\lambda - 1) \cos \alpha} d\alpha + \sigma_{max} \alpha_H \right], \quad (210)$$

$$\alpha_1 = \int_{\alpha_0}^{\alpha_1} \frac{k \left(e^{\frac{\rho_0 (\cos \alpha - \cos \alpha_0)}{1 - \cos \alpha}} - 1 \right) \sqrt{1 + 2(\lambda - 1) \cos \alpha + (\lambda - 1)^2}}{1 + (\lambda - 1) \cos \alpha} r d\alpha, \quad \alpha_2 = \frac{\alpha_H}{2}, \quad (211)$$

$$\alpha_H = \frac{F_1 \alpha_1 + F_2 \alpha_2}{F_1 + F_2}; \quad (212)$$

Որտեղ՝ F_1 -ը բրիկետավորվող նյութի սեղմող ճնշման ուժն է, F_2 -ը՝ սեղմված զանգվածը խցիկներ մտցնող ուժը, F -ը՝ հոլովակի վրա ազդող գումարային ուժը, α_1 -ը՝ F_1 ուժի կիրառման կետը բնորոշող անկյունը, α_2 -ը՝ F_2 ուժի

կիրառման կետը բնորոշող անկյունը, α_H -ը՝ համազոր Բ ուժի կիրառման կետը բնորոշող անկյունը:

Ինտեգրալների հաշվումը կատարվում է համակարգչի վրա, օգտվելով “Mathematica” կամ “Mathcad” կամ այլ ծրագրերից, օգտագործելով 81+85 էջերում բերված նշանակումները:

Ընտրելով մատրիցային օդակի R շառավիղ մեծությունը (էջ 89), ըստ մամլիչի տրված արտադրողականության, որոշում ենք տարիչի մեկ պտույտի ընթացքում սեղմման խցիկներ մղվող զանգվածը և տարիչի պտտման հաճախականությունը (էջ 85, 86).

$$q = 2\pi b \rho_0 \frac{R^2}{\lambda} \left(1 - \frac{1}{\lambda}\right) (1 - \cos \alpha_v), \text{կգ/պտ.} \quad (213)$$

$$n = \frac{\vartheta \lambda^2}{120 q \pi b \rho_0 R^2 (\lambda - 1) (1 - \cos \alpha_0)}, \text{պտ/րոպ.} \quad (214)$$

որտեղ՝ b -ն հոլովակի լայնությունն է:

Հոլովակի վրա ազդող ուժերը հաղթահարելու համար տարիչի անհրաժեշտ պտտման մոմենտը կլինի.

$$T_u = F(R - r) \sin \alpha_h; \quad (215)$$

Տարիչի առանցքով ազդող շառավղային ուժը.

$$F_3 = F \cos \alpha_h; \quad (216)$$

Բրիկետավորման մամլիչը աշխատեցնելու համար պահանջվող հզորությունը՝

$$P = T_u \omega = \frac{\pi n F(R - r)}{30} \sin \alpha_h, \text{Վտ:} \quad (217)$$

Միավոր զանգվածով բրիկետներ ստանալու վրա ծախսվող աշխատանքը, այսինքն տեսակարար հզորությունը.

$$p = \frac{P}{\vartheta}, \text{ԿՎտ.ժամ/տոնն:} \quad (218)$$

Ծարժական բրիկետավորման մեքենաներում բրիկետավորման նյութի մատուցման մեխանիզմը իրենից ներկայացնում է պնևմատիկ փոխադրիչ, որի

հիմնական հանգույցներն են օդային խողովակաշարը, բեռնաբափող սարքավորումը (ցիկլոնը) և օդամղիչ քամիարը, որի դերը կատարում է մանրատիչի մանրացնող թմբուկը:

Պահանջման պարամետրերը որոշելու համար, հաշվի առնելով նաև բրիկետավորման մամլիչի անհրաժեշտ արտադրողականությունը, որոշում ենք օդի անհրաժեշտ ելքը և արագությունը հետևյալ արտահայտություններից (Էջ 92,93).

$$\vartheta_{\text{օդ}} = \frac{\vartheta}{3600m\rho_{\text{օդ}}} \cdot \text{մ}^3/\text{վ}, \quad (219)$$

$$v_{\text{օդ}} = \frac{B}{B-1} \sqrt{\frac{l(\rho_0 - \rho_{\text{օդ}})g}{k\rho_{\text{օդ}}}}, \quad (220)$$

որտեղ՝ $\vartheta_{\text{օդ}}$ -ը անհրաժեշտ օդի քանակն է, $\text{մ}^3/\text{վ}$, ϑ -ն՝ բրիկետավորման մամլիչի արտադրողականությունը, կգ/ժամ, m -ը՝ խառնուրդի կշռային կոնցենտրացիան, $m = \frac{G_0}{G_{\text{օդ}}}$, խոտի տեղափոխման դեպքում m -ի արժեքը ընդունվում է $m = 0,3 + 0,8$ սահմաններում, G_0 -ը՝ բրիկետավորվող նյութի մատուցումը, կգ/վ, $G_{\text{օդ}}$ -ը՝ օդի մատուցումը, կգ/վ, $\rho_{\text{օդ}}$ -ը՝ օդի խտությունը, կգ/մ³, B -ն՝ բրիկետավորվող նյութից կախված գործակիցը (խոտածդուտային նյութերի համար $B=2+2,5$), $v_{\text{օդ}}$ -ը՝ օդային հոսքի արագությունը, g -ն՝ ազատ անկման արագացումը, l -ը՝ մասնիկի երկարությունը, k -ն՝ գործակիցը, որը կախված է մասնիկների ձևից, օդի շարժման բնույթից և խողովակի տրամագծից:

Ելնելով օդի անհրաժեշտ ելքից և արագությունից, կարող ենք որոշել խողովակի անհրաժեշտ տրամագիծը (Էջ 94).

$$D = \sqrt{\frac{\vartheta}{(B-1) \sqrt{\frac{l(\rho_0 - \rho_{\text{օդ}})g}{k\rho_{\text{օդ}}}}} : \quad (221)}$$

Ցիկլոնի միջնապատի ներքին տրամագիծը որոշվում է հետևյալ բանաձևով (Էջ 96).

$$D_g = (1,5 + 2)D\sqrt{B} : \quad (222)$$

Խողովակաշարում օդային խառնուրդի շարժման ժամանակ ճնշման կորուստները որոշվում են հետևյալ բանաձևով (Էջ 97).

$$P_{\text{լի}} = (1+m)(\rho_0 - \rho_{\text{օդ}})gh + \frac{\rho_{\text{օդ}}V_{\text{օդ}}^2}{2} \left(\lambda \frac{L}{D} + K \xi_a \xi_R + \xi_u + \xi_n \left(\frac{D}{D_i} \right)^2 + \xi_{\text{ելք}} \right) (1+Cm)(1+x), \quad (223)$$

որտեղ՝ ξ_a -ն ծնկում առաջացած դիմադրության կորուստների գործակիցն է՝ կախված ծնկի անկյունից, ξ_R -ն՝ ծնկում առաջացած դիմադրության կորուստների գործակիցը՝ կախված ծնկի կորության շառավղի և խողովակի տրամագծի $\frac{R}{D}$ հարաբերությունից, K -ն՝ համեմատականության հաստատում գործակիցը, $K=0,73$, ξ_u -ն՝ կոնֆուզորում խողովակի կտրվածքի սահուն վիզուալությունից ստացվող կորուստների գործակիցը, ξ_n -ն՝ դիֆուզորում կորուստների գործակիցը, D_i -ը՝ դիֆուզորում խողովակի կտրվածքի տրամագիծը, $\xi_{\text{ելք}}$ -ը՝ խողովակի ելքում կորուստների գործակիցը, C -ն՝ գործակիցը կախված խառնուրդի տեղափոխման արագությունից, $x_{\text{լի}} = 15 + 20 \text{ մ}/\text{վ}$ արագությունների դեպքում, $C = 0,58 + 0,4$, x -ը՝ խոտի տեղափոխման բարձրությունը, x -ը՝ հաստատում գործակիցը, $x = 0,1 + 0,15$, ξ , L -ը՝ խողովակաշարի երկարությունը, λ -ն՝ շիման դիմադրության գործակիցը, որը պողպատե խողովակների դեպքում կախված խողովակի տրամագծից կարելի է որոշել հետևյալ պարզեցված բանաձևով՝ $\lambda = 0,0125 + \frac{0,0011}{D}$:

Խողովակաշարով բրիկետավորվող նյութի տեղափոխման համար պահանջվող հզորությունը որոշվում է հետևյալ բանաձևով (Էջ 98).

$$P = \frac{\vartheta(\rho_0 - \rho_{\text{օդ}})g}{3600m\rho_{\text{օդ}}} \left((1+m)h + \frac{B^2 l (1+Cm)(1+x)}{2k(B-1)^2} \left(\lambda \frac{L}{D} + K \xi_a \xi_R + \xi_u + \xi_n \left(\frac{D}{D_i} \right)^2 + \xi_{\text{ելք}} \right) \right) \quad (224)$$

Մատուցման խողովակում տեղակայված ծայրապանակի առավելագույն բարձրությունը ջրային շապիկում եղած ջրի մակարդակից կլինի (էջ 102).

$$h_{\text{առ.}} = \frac{B^2 l (\rho_v - \rho_{\text{օլ}}) A^4}{2k \rho_v (B-1)^2}, \quad (225)$$

որտեղ՝ $A = \left(\frac{D}{D_1} \right)$ -մատուցող խողովակի և կոնֆուզորի տրամագծերի հարաբերությունն է:

Սեղման խցիկներից սեղմված զանգվածը դուրս է գալիս հոծ ժապավեճի ձևով, որը այնուհետև օղակածն ջարդիչ-փոխադրիչի օգնությամբ բաժանվում է առանձին բրիկետների (նկ. 57): Գիտավորների արդյունքները ցույց են տվել, որ բրիկետների կտրատումը իրականում տեղի է ունենում ճատրիցային օղակից $k = 20$ մմ հեռավորության վրա: Ստացվող բրիկետների երկարությունը վերցվում է՝ համայատախան ազրողութեխնիկական պահանջներին՝ $L_p = 50$ մմ: Զարդիչ-փոխադրիչի կանգնակի հեռավորությունը մատրիցային օղակից կլինի՝

$$l = k + L_p, \quad (226)$$

Բրիկետների առավելագույն երկարությունը կլինի՝

$$L_{\text{պ.առ.}} = L_p + \frac{\vartheta}{60 \eta_{\Phi} z_{\Phi} z_{\mu} \alpha b}, \quad (227)$$

որտեղ՝ η_{Φ} -ը փոխադրիչի պտտման հաճախականությունն է, z_{Φ} -ը՝ բերիչների քանակը,

Քերիչների լայնությունը և բարձրությունը որոշվում են հետևյալ բանաձևերով (էջ 109):

$$B = 2l = 2(L_p + k), \quad (228)$$

$$H = \frac{\sqrt{c^2 (L_p + k)^2 + \frac{8abz_{\mu} t g \varphi (L_p + \Delta L)(L_p + k)}{z} - c(L_p + k)}}{2(L_p + k) g \varphi}, \quad (229)$$

որտեղ՝ c -ն, կույտի վերին հարթ մասի երկարությունն է, ընդունում ենք, որ հավասար է L_p -ի:

Բրիկետների տեղափոխության համար անհրաժեշտ հզորությունը.

$$P_{\Phi} = \frac{A}{T} = \frac{\vartheta}{3600} g f \pi (R + l), \text{ վտ:} \quad (230)$$

Խոտի բրիկետավորման գործընթացի էներգատարությունը որոշվում է բրիկետավորման մեքենայի առանձին հանգույցների էներգատարությունների գումարով:

$$A = A_{\text{պ.ա.}} + A_{\text{պ.Փ.}} + A_{\text{չ.Փ.}} + A_{\text{հ.ա.}} + A_{\Phi} + A_{\rho}, \quad (231)$$

որտեղ՝ $A_{\text{պ.ա.}}$ -ն՝ բրիկետավորման մամիչի էներգատարությունն է, $A_{\text{պ.Փ.}}$ -ն՝ պնևմոփոխադրիչի էներգատարությունը (224), $A_{\text{չ.Փ.}}$ -ն՝ բրիկետների ջարդիչ-փոխադրիչի էներգատարությունը (230), $A_{\text{հ.ա.}}$ -ն՝ խոտի հավաքիչ-մանրատիչի էներգատարությունը, A_{Φ} -ն՝ բեռնաթափող փոխադրիչի էներգատարությունը, A_{ρ} -ն՝ մեքենայի քարշային դիմադրության հաղթահարման էներգատարությունը:

Բրիկետավորման լրիվ էներգիան կլինի (էջ 154):

$$A_{\text{ը.ա.}} = A_{\text{ս.ե.}} + A_{\text{կ.ո.}} + A_{\text{մ.տ}}, \quad (232)$$

որտեղ՝ $A_{\text{ս.ե.}}$ -ը սեղմված շերտը առանձին չափաբաժինների կտրելու վրա ծախսվող էներգիան է, սեղման խցիկի մուտքի կտրվածքի 50+70 մմ լայնությունների դեպքում կտրման տեսակարար էներգիան կազմում է 1,8+1,35 կՎտ.ժամ/տոնն (էջ 154), $A_{\text{կ.ո.}}$ -ը սեղմված շերտը խցիկների մեջ մտցնելու վրա ծախսվող էներգիան, սեղմված զանգվածը խցիկ մտցնելու համար պահանջվող տեսակարար էներգիան կախված չէ չափաբաժնի զանգվածից և կազմում է՝ $A_{\text{մ.տ.}} = 8,3 \text{ կՎտ.ժամ/տոնն}$, $A_{\text{մ.տ.}}$ -ը՝ բրիկետավորման նյութի սեղման էներգիան:

Բրիկետավորվող նյութը սեղման և խցիկներ մտցնող էներգիան կարելի է որոշել (217) և (218) բանաձևերով՝ $P = A_{\text{ս.ե.}} + A_{\text{մ.տ.}}$:

Հավաքիչ-մանրատիչի էներգատարությունը որոշում ենք ըստ ընտրված հավաքիչ-մանրատիչի հզորության:

Սեղենայի քարշային դիմադրության հաղթահարման վրա ծախսվող տեսակարար հզորությունը որոշվում է հետևյալ բանաձևով (էջ 157):

$$A_p = \frac{f_p G_{\text{бр}} v_{\text{бр}}}{\vartheta}, \quad \text{կՎտ.ժամ/տոն}, \quad (233)$$

որտեղ՝ f_p -ը մեքենայի քարշային դիմադրության գործակիցն է, $G_{\text{бр}}$ -ն՝ բրիկետավորող մեքենայի կշիռը, կՆ, $v_{\text{бр}}$ -ն՝ բրիկետավորող մեքենայի աշխատանքային արագությունը, մ/վ:

Բրիկետավորող մեքենայի հզորությունը.

$$P=A \vartheta \text{կՎտ}, \quad (234)$$

որտեղ՝ A -ն կՎտ.ժամ/տ., ϑ -ն՝ տ/ժամ:

Հաշվարկի օրինակ. Շարադրված մեթոդիկայով կատարել շարժական բրիկետավորման մեքենայի հաշվարկը, $15 \div 18\%$ խոնավության առվույտի բրիկետավորման համար:

Ելակետային տվյալներն ընդունում ենք. արտադրողականությունը՝ $2500 \text{կգ}/\text{մ}^3$, բրիկետավորող նյութի խառնությունը՝ $\rho_0 = 70 \text{կգ}/\text{մ}^3$, ստացվող բրիկետների խտությունը՝ $\rho_p = 700 \text{կգ}/\text{մ}^3$, մամլիչի լիսենի պտտման հաճախականությունը՝ $n = 70 \text{պտ}/\text{րոպ}$:

Մեր կողմից կատարված հետազոտությունները ցուց են տվել, որ բրիկետավորման օղակածն մամլիչներում սեպածն և պրիզմայածն մասերից բաղկացած սեղման խցիկների ծեր օպտիմալ է [2]:

Խցիկների ելքի կտրվածքի չափերը սահմանափակվում են ստացվող բրիկետների կտրվածքի չափերով և չափությունը կերպարանցեն $a_x \times b_x = 40 \times 40 \text{մմ}$:

Խցիկների մուտքի կտրվածքի չափերը ընտրվում են՝ ելնելով ստացվող բրիկետների ամրության բնութագրերից, ընդունում ենք՝ $a_0 \times b_0 = 50 \times 40 \text{մմ}$ (էջ 146-150):

Խցիկի սեպածն մասի պատերի թեքության անլյունը՝ $\alpha = 8^\circ$:

Խցիկի սեպածն մասի երկարությունը որոշվում է (199) արտահայտությունից՝ $L = 35,6 \text{ մմ}$:

Կազմովի սեղման խցիկի ընդհանուր երկարությունը որոշվում է (197) արտահայտությունից, որտեղ՝ $c_{11} = 0,215$ (էջ 39); $a_0 = 50 \text{ մմ}$ -ի դեպքում՝ $c_{10} = 40$

(Ակ. 78); $k = 0,332$, $a = 4,61 \cdot 10^{-3}$, $\alpha_0 = 0,471$, $\beta_0 = 0,496$, $a_c = 4,45 \cdot 10^{-3}$ գործակիցների և $t = 20 \text{վ.}-ի$ նախնական արժեքների դեպքում (200) և (201) հավասարումների համատեղ լուծումից ստացվում է՝ $\sigma = 48,2 \text{Ն}/\text{մմ}^2$:

c_1 և c_2 գործակիցների արժեքները որոշվում են (198) արտահայտությունից, ընդունելով՝ $c_3 = 0,6922$; $c_4 = 0,1385$; $c_5 = 0,00786$, $c_6 = 0$; $c_7 = 0,3317$, $c_8 = 0,227$, $c_9 = 0,3467$ (աղյուսակ 7,8); $c_1 = 0,09727$; $c_2 = 0,725$.

Ստացված արժեքները տեղադրելով (197) արտահայտության մեջ, կստանանք սեպածն և պրիզմայածն մասերից բաղկացած կազմովի սեղման խցիկի ընդհանուր երկարությունը՝ $L = 145 \text{մմ}$.

Սեղմված զանգվածը առանձին չափաբաժններով կտրումն ապահովելու համար սեղման խցիկը կահավորվում է ընդունող մասով, որի պարամետրերը կիմեն:

Ընդունող մասի պատերի թեքությունը՝

$$\operatorname{tg} \psi \geq \operatorname{tg} \alpha = f_{cm},$$

16% խոնավության առվույտի համար $f_{cm} = 0,7$ (Ակ. 84), հետևաբար՝ $\psi \geq 35^\circ$: Ընդունում ենք՝ $\psi = 45^\circ$. Ենթախցիկի երկարությունն ընդունում ենք՝ $L = 5 \text{մմ}$: Ենթախցիկի լայնությունը՝

$$a_{np} = a_0 + 2L_{np} \operatorname{tg} \psi = 60 \text{մմ}:$$

Կտրող եզրերի հաստությունը՝ $h = 2,5 \text{ մմ}$:

Սեղման խցիկների քանակը որոշվում է (204) արտահայտությամբ, ընդունելով՝ $\lambda = 2,4$, $Z = 2$, $f = 0,5$ [87] և $R = 450 \text{ մմ}$ պարամետրերը: $Z_{\text{լոց}} = 45,2$, ընդունում ենք՝ $Z_{\text{լոց}} = 45$.

Սեղման խցիկի ստացված պարամետրերը ստուգում ենք՝ հաշվի առնելով այն պայմանը, որ խցիկի հաստատուն կտրվածքը ունեցող մասում բրիկետների գտնվելու ժամանակը պետք է մեծ լինի՝ $t > 15 \text{ վ.}$ [103]:

Խցիկի պրիզմայածն մասում բրիկետների գտնվելու ժամանակը որոշվում է (206) արտահայտությունից և հավասար է՝ $t = 26,2 \text{վրկ.}$:

Ընտրված պարամետրերով՝ (207) + (218) քանածներով, համակարգչի վրա “Mathcad” ծրագրի օգնությամբ որոշում ենք մատրիցային օղակի և հոլովակի

պարամետրերը. $\alpha_0 = 59^\circ 12'$, $\alpha_{II} = 14^\circ$, $F_1 = 12.8$ կՆ, $F_2 = 89.95$ կՆ, $F = 102.7$, $\alpha_{II} = 8^\circ 18'$, $q = 0.338$ կգ/պտ, $F_3 = 101.7$ կՆ, $T = 3,886$ կՆմ, $P = 25.1$ կՎտ, $p = 10,041$ կՎտ.ժամ/տոն:

Սեղմված շերտը առանձին չափաբաժինների կարելու վրա ծախսվող էներգիան՝ $A_{\text{լու}} = 1.8$ կՎտ.ժամ/տոնն (Էջ 154):

Բրիկետավորման մամլիչի էներգատարությունը՝ $A_{\text{բր}} = p + A_{\text{լու}} = 11.841$ կՎտ.ժամ/տոնն:

Ընդունելով $B=2.3$, $m=0.7$, $\zeta_a = 2$, $\zeta_R = 0.15$, $\zeta_q = 0.1$, $\zeta_n = 0.4$, $C = 0.5$, $\zeta_{\text{բր}} = 1$, $K=0.73$, $x=0.125$, $H=2.5$ մ, $L=3$ մ և $l=0.04$ մ, $(219)+(225)$ բանաձևերով հաշվում ենք պանմատիկ փոխադրիչի պարամետրերը. օդի հոսքի ավիրածեցած ելքը՝ $\vartheta_{\text{օդ}} = 1.4 \text{ մ}^3/\text{վ}$, օդի հոսքի արագությունը՝ $v_{\text{օդ}} = 9.86$ մ/վ, մատուցող խողովակի տրամագիծը՝ $D=0.425$ մ, ցիլինդրի միջնապատի տրամագիծը՝ $D_g=0.9$ մ, խողովակում ճնշման կորուստները՝ $r_{\text{լու}}=2,606$ կՆ/մ², պանմատիկ փոխադրիչի աշխատեցնելու համար պահանջվող հզորությունը՝ $P_{\text{պ.փ.}} = 3,649$ կՎտ:

Ստացված պարամետրերով ընտրում ենք ԿΥՓ-1.8 խոտի հավաքիչ-մանրատիչը, որի մանրացնող բմբուկը կատարում է քամիարի դեր: ԿՅՓ-1.8 խոտի հավաքիչ-մանրատիչի հիմնական ցուցանիշներն են՝ գանգվածը-1600կգ, պահանջվող հզորությունը- $P_{\text{լ.մ.}} = 13.2$ կՎտ:

Ընդունելով բրիկետների երկարությունը՝ $L_p = 5$ մ, ջարդիչ-փոխադրիչի պտտման հաճախականությունը՝ $n_p = 17$ պտ/ր, կանգնակների քանակը $Z_p = 4$ և օգտվելով $(226)+(230)$ բանաձևերից, որոշում են ջարդիչ-փոխադրիչի պարամետրերը՝ $l = 70$ մմ, $B=140$ մմ, $H=100$ մմ, $P_{\text{չ.փ.}} = 1.2$ կՎտ:

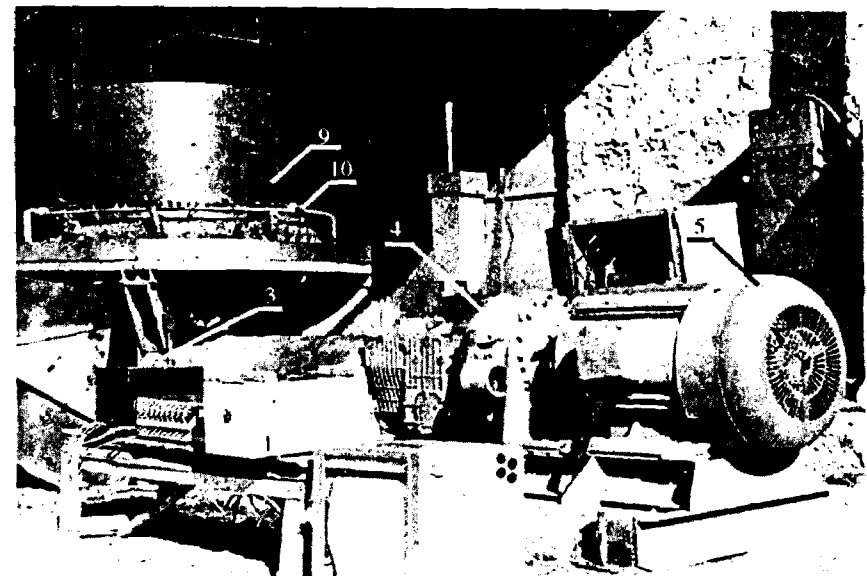
Օգտվելով $(231)+(234)$ բանաձևերից և իմանալով մեքենայի կշիռն ու աշխատանքային արագությունը, որոշում ենք բրիկետավորող մեքենայի պահանջվող հզորությունը: Ընդունելով՝ $G=29000$ Ն, $v_{\omega} = 5$ մ/ժ, մեքենայի հզորությունը կլինի՝ $P_{\omega} = 89.7$ կՎտ:

Ելեկով պահանջվող հզորությունից, ագրեգատավորման համար ընտրում ենք T-150K անվավոր տրակտորը:

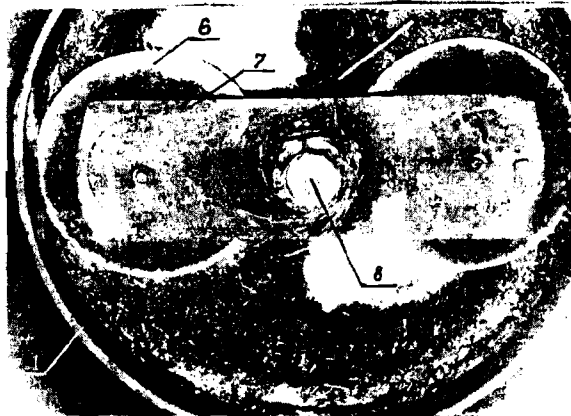
10. ԲՐԻԿԵՏԱՎՈՐՄԱՆ ՍԱՍԼԻՉԻ ԿԱՌՈՒՑՎԱԾՔԸ ԵՎ ՆՐԱ ՏՆՏԵՄԱԿԱՆ ՓՈՐՁԱՐԿՈՒՄՆԵՐԸ

Կատարված տեսական և փորձնական հետազոտությունների հիման վրա մեր կողմից նախագծվել և պատրաստվել է ՊԵ-2 բրիկետավորման մամլիչի փորձնական օրինակ, որը 1975թ. փորձարկվել է Երևանի Շահումյանի շրջանի ԽՄԿ ՀԿ համագումարի անվան սովորություն:

Նկ.92 և նկ.93-ում պատկերված են ՊԵ-2 բրիկետավորման մամլիչի լնդիանուր տեսքը, որը բաղկացած է ջրագծով դասավորված խցիկներով (2) մատրիցային օդակից (1), կոնական ուղղուկտորից (3), փոխանցման տուփից (4), ջարդիչ-փոխադրիչից (10), էլեկտրաշարժիչից (5): Մատրիցային օդակում տեղակայված են երկու մամլող հողվակներ (6), որոնք հողակապերով միացված են տարիչին (7), որը կոչում միացված է կոնական ուղղուկտորի տարվող լիսեռին (8): Մատրիցային օդակի վերին մասում տեղակայված է բրիկետավորման նյութի մատուցման բունկերը (9): Բրիկետների ջարդման և հեռացման նպատակին ծառայում է ջարդիչ-փոխադրիչը (10):



Նկ. 92. ՊԵ-2 բրիկետավորման մամլիչի լնդիանուր տեսքը:



Նկ. 93. Բրիկետավորման մամլիչի վրա մամլող հոլովակների դիրքը:

Բրիկետավորման մամլիչը աշխատում է հետևյալ կերպ. բրիկետավորվող նյութը բունկերից (9) մատուցվում է մատրիցային օղակի (1) ներքին խոռոչ, որտեղ կառչվելով սեղմող հոլովակների (6) կողմից, սեղմում է սեղմման խցիկներ (2). Մեղման խցիկներից բրիկետավորվող նյութը դուրս է գալիս խտացված ծափակենի տեսքով, որը ջարդիչ-փոխադրիչով (10) բաժանվում է առանձին բրիկետների և տեղափոխվում դեպի փոխադրամիջոցներ: Բրիկետավորման մամլիչը աշխատանքային վիճակում բերված է նկ. 94-ում:



Նկ. 94. PI-2 բրիկետավորման մամլիչը աշխատանքային վիճակում:

Տնտեսական փորձարկումների ժամանակ բրիկետավորվել են “Անասնապահության և անասնաբուժության հայկական գիտահետազոտական ինստիտուտի” կողմից առաջարկված՝ կոչտ, խտացված և համբային կերերի բաղադրատոմսներով կերեր: Կերերի բաղադրատոմսները բերված են աղյուսակ 9-ում:

Փորձարկումների ընթացքում չափվել են բրիկետավորման գործնականությունը և յուրաքանչյուր բաղադրատոմսով ստացված բրիկետների խտությունը ու ամրությունը: Փորձերի արդյունքների միջին արժեքները բերված են աղյուսակ 10-ում:

Աղյուսակ 9

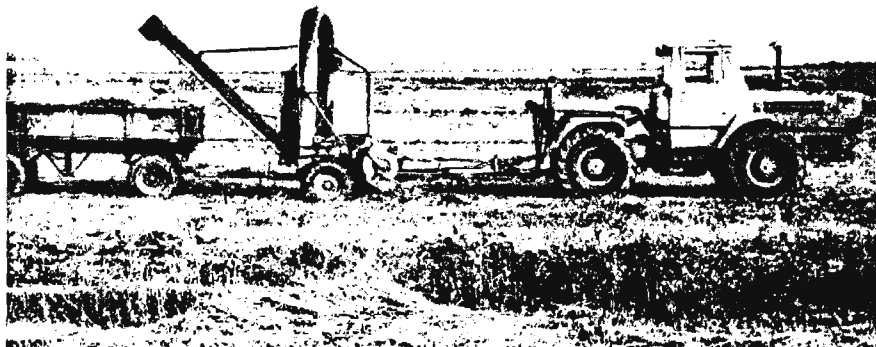
Նյութը	Բաղադրատոմս								
	I	II	III	IV	V	VI	VII	VIII	IX
Այգիների և խաղողնենիների խոտ, %	-	70	55	60	-	-	-	-	60
Առվույտ, %	100	-	-	-	55	75	79	60	-
Ծղոտ, %	-	-	15	-	-	-	-	15	-
Համակցված կեր, %	-	30	30	30	-	-	-	-	25
Գարի, %	-	-	-	-	25	25	20,5	25	-
Խորությունի, %	-	-	-	10	20	-	-	-	15
Միզանյութ, %	-	-	-	-	-	-	0,5	-	-

Աղյուսակ 10

Ցուցանիշներ	Բաղադրատոմս								
	I	II	III	IV	V	VI	VII	VIII	IX
Տեսակարար էներգատարությունը, կՎտ.ժ/ն	19	18	19	22	18	17	18	16	24
Խտությունը, կգ/մ ³	600+800	500+700	450+600	700+900	600+800	500+700	600+800	400+600	700+900
Ամրությունը	0,98	0,96	0,955	0,98	0,97	0,95	0,96	0,95	0,99

Խտացված բրիկետների ամրության բնութագրերը համապատասխանում են ազրողութեանիկական պահանջներին: “Անասնապահության և անասնաբուժության հայկական գիտահետազոտական ինստիտուտի” առաջարկաձ’ կոչտ, խտացված և հանքային կերերի բաղադրատոմ-սերով պատրաստված բրիկետներով կովերի կերակրումը ցույց տվեց, որ բրիկետները կենդանիների օրգանիզմի վրա բացառական ազդեցություն չեն բողոքում, իսկ կովերի կարնատվությունը աճում է $5+8\%-ով$: Այդ դեպքում համարյա լիովին բացակայում են կերերի կորուստները, որոնք սովորական խոտով կերակրելու դեպքում կազմում էին $10+20\%$:

Հիմք ընդունելով ՊԵ-2 բրիկետավորման մամիչը, մեր կողմից մշակվել և նախագծվել է ՊԿԲ-2,0 կցովի բրիկետավորման կոմբայնը (նկ. 95), որը նախատեսված է անմիջապես դաշտում, լասերից խոտը բրիկետավորելու համար: Կոմբայնում օգտագործվել է նույնային բրիկետավորման մամիչ, ինչպիսին ստացիոնար բրիկետավորման մեքենայի մեջ, միայն այս դեպքում այն հարմարադասվել է այլ մեխանիզմների հետ, հնարավոր դարձնելով խոտի բրիկետավորումը դաշտային պայմաններում: Կոմբայնի կառողվածքային սխեման և առանձին հանգույցները պաշտպանվել են № 677719 և № 680685 ԽՍՀՄ հեղինակային վկայականներով [10,11] և Р20020028 Հայաստանի Հանրապետության արտոնագրի հայտով [6]:



Նկ. 95. ՊԿԲ-2,0 կցովի բրիկետավորման կոմբայնի ընդհանուր տեսքը:

ՊԿԲ-2,0 կցովի բրիկետավորման կոմբայնը բաղկացած է շրջանակից, հավաքիչից, մանրատիչից, պնևմատիկ խողովակաշարից, ցիկլոնից, բրիկետավորող մեխանիզմից, օղակած փոխադրիչից, բեռնաբափող փոխադրիչից, հենարանային անիվներից և շարժահաղորդ մեխանիզմից:

Կոմբայնն աշխատում է հետևյալ կերպ:

Լասերում չորացած խոտը կոմբայնի հավաքիչով հավաքվում և տրվում է մանրատիչին, որը այն մանրացնում է $50+80$ մմ երկարության մասնիկների և պնևմատիկ խողովակաշարով մատուցում բրիկետավորման մեխանիզմին: Բրիկետավորման մեխանիզմի բունկերում խոտի զանգվածը նախապես խոնավացվում է և հեղովակներով սեղմվում սեղմման խցիկներ: Ստացված սեղմված ժապավենները օղակային ջարդիչ-փոխադրիչով բաժանվում են առանձին բրիկետների, հավաքվում և տրվում են բարձող փոխադրիչին, որը և բարձում է փոխադրամիջոցի մեջ:

Կոմբայնը ազրեգատավորվում է T-150K տրակտորի հետ:

Տնտեսական փորձարկումների ընթացքում ճշտվել են կոմբայնի տեխնիկատնտեսական և շահագործական ցուցանիշները, որոնք բերված են 11-րդ և 15-րդ այսուսակներում:

Այսուակ 11

ՊԿԲ-2,0 կցովի բրիկետավորող կոմբայնի տեխնիկական բնութագրիլ Արտադրողականությունը, տ/ժ.....	2,0
Աշխատանքային արագությունը, կմ/ժ.....	$3+5$
Բրիկետավորող մեխանիզմի լիսերի պտտման հաճախականությունը, պտ/րոպ.....	70
Հավաքիչ-մանրատիչի շարժահաղորդ լիսերի պտտման հաճախականությունը, պտ/րոպ.....	525
Օղակած ջարդիչ-փոխադրիչի պտտման հաճախականությունը, պտ/րոպ.....	17
Բարձող փոխադրիչի արագությունը, մ/վ.....	0,8
Բրիկետավորման մեխանիզմի աշխատանքային խցիկի պարա-	

մետրեր՝

մուտքի կտրվածքի լայնությունը, մմ.....	60
ելքի կտրվածքի չափերը, մմ.....	40x40
խցիկի երկարությունը, մմ.....	150
խցիկի սեպածն մասի պատի թեքությունը,	10°
աշխատանքային խցիկների քանակը, հատ.....	45
Ստացված բրիկետների պարամետրերը՝	
բրիկետների չափերը, մմ.....	40x40x50
բրիկետների խտությունը, կգ/մ³.....	600+800
բրիկետների ծավալային կշիռը, կգ/մ³.....	400+500
բրիկետների ամրությունը.....	0,96+0,98
Պահանջվող հզորությունը՝	
հավաքիչ- մանրատիչ, կՎտ.....	13,2
բրիկետավորող մեխանիզմ և փոխադրիչներ, կՎտ.....	58,5
քարշային դիմադրության հաղթահարում, կՎտ.....	7,5
Կոմբայնի պահանջվող հզորությունը, կՎտ.....	79,2
Ազրեգատավորումը, տրակտոր.....	T-150K

11. ПКБ-2,0 ԲՐԻԿԵՏԱՎՈՐՄԱՆ ԿՈՄԲԱՅՆԻ ՏՆՏԵՍԱԿԱՆ ՀԻՄՆԱՎՈՐՈՒՄԸ

Ներկայացվող կոմբայնի տնտեսական արդյունավետությունը ստանդարտ մերողիկայով անհնար է հաշվարկել, քանի որ մեր հանրապետությունում, ինչպես նաև ԱՊՀ երկրներում, չկան զանգվածային արտադրվող նախատիպեր: Հետևաբար, մեր կողմից կատարվել է բրիկետավորված կերերի պատրաստման և աճատուններին կերակրման տեխնոլոգիայի տեխնիկո-տնտեսական հիմնավորումը: Այս դեպքում որպես կերերի պատրաստման և աճատուններին կերակրելու բազային տեխնոլոգիա ընտրվել է հակավորված կերերի պատրաստման և կերակրման տեխնոլոգիան:

Հաշվարկներ կատարելու համար տաճք յուրաքանչյուր տեխնոլոգիայի օպերացիաները, նշելով օգտագործվող մեքենաները:

11.1. ԽՈՏԻ ՆԱԽՍՊԱՏՐԱՍՏՄԱՆ ՀԱՄԵՄԱՏՎՈՂ ՏԵԽՆՈԼՈԳԻԱՆԵՐԸ

Բրիկետավորման տեխնոլոգիա. 1. խոտի հնձում (խոտհնձիչ՝ KC-2,1),

2.խոտի հավաքումը լասերի (փողխ՝ ГВК-6Г), 3.լասի շրջում (փողխ՝ ГВК-6Г), 4.խոտի հավաքում, մանրացում, բրիկետավորում և բարձում փոխադրամիջոցները (շարժական բրիկետավորող կոմբայն ՊԿԲ-2,0), 5. բրիկետների տեղափոխում (2ΠΤС-4 տրակտորային կցորդիչ), 6.բրիկետների բեռնավորումը պահեստ (ժապավենային փոխադրիչ), 7. բրիկետների պահպանում (մեքենայացված պահեստ), 8. բրիկետների բարձումը պահեստից (ժապավենային փոխադրիչ), 9. բրիկետների տեղափոխումը անասնաշենք և բաշխումը կովերին (կերարաշխիչ՝ КТУ-10):

Հակավորման տեխնոլոգիա. 1. խոտի հնձում (խոտհնձիչ՝ KC-2,1),

2.խոտի հավաքումը լասերի (փողխ՝ ГВК-6Г), 3.լասի շրջում (փողխ՝ ГВК-6Г), 4. խոտի հավաքում և հակավորում (հավաքիչ-մանիչ՝ ПСԲ-1,6М), 5. հակերի հավաքում և դարսում (հավաքիչ-հակադարսիչ ՀՅԴ 2,5), 6.հակերի դարսակույտերի հավաքում (հակերի դարսակույտերի փոխադրիչ՝ ТШН-2,5), 7. հակերի դարսակույտերի փոխադրում (ավտոմեքենա ՅИЛ-М3-555), 8. հակերի դեգա-

վորում (հակերի դարսակույտների վիխադրիչ՝ ՏՀԻ-2,5), 9. դեգերից հակերի հանում և բարձումը վիխադրամիջոցներ (ճակատային բարձի ՌՓ-0,5), 10. հակերի տեղափոխումը աճանաշենք (2ՊՏԸ-4 տրալտորային կցորդիչ), 11. հակերի կապերի արձակում և բաշխումը կովերին (ձեռքով):

Հակավորմանի ճկատմամբ, բրիկետավորման տեխնոլոգիայի տնտեսական արդյունավետության հաշվարկման ելակետային տվյալները բերված են աղյուսակ 12-ում:

11.2. ԾԱՀԱԳՈՐԾԱԿԱՆ ԾԱԽՍԵՐԻ ՀԱՇՎԱՐԿԸ

Ցուրաքանչյուր օպերացիայի համար միավոր արտադրողականության վրա շահագործական ծախսերը որոշվում են հետևյալ բանաձևով:

$$U = f + A + R + U_0 + U_e, \quad (235)$$

որտեղ՝ $f = \frac{U_f}{W}$ -ը՝ բանվորների աշխատավարձն է, L -ը՝ բանվորների բանակը,

$$W=0, \text{ մեքենայի արտադրողականությունը}, \quad A = \frac{\Pi_a a}{100Wt}, \text{ մորացման ամորտի-}$$

զացիոն ծախսումները, A_e -ը՝ մեքենայի հաշվեկշռային արժեքը, դրամ, a -ն՝ նորացման ծախսերի հատկացումները, %, R -ը՝ մեքենայի տարեկան ծանրաբեռնվածությունը, ժամ, $R = \frac{\Pi_e r}{100Wt}$ -ը՝ կապիտալ և ընթացիկ նորոգումների և

տեխ. սպասարկման համար հատկացումները, դրամ, $r = r_1 + r_2$ -ը՝ կապիտալ և ընթացիկ նորոգումների և տեխ. սպասարկման համար տարեկան հատկացումների տոկոսը, r_1 -ը՝ կապիտալ նորոգման վրա, r_2 -ը՝ ընթացիկ նորոգման և տեխ. սպասարկման վրա, U_0 -ը՝ ծախսվող վառելամյութի արժեքը, U_e -ն՝ ծախսերը օժանդակ նյութերի վրա:

Բրիկետավորմանը խոտի նախապատրաստման բոլոր օպերացիաների շահագործական ծախսերը բերված են աղյուսակ 16-ում, իսկ հակավորման տեխնոլոգիայի դեպքում հաշվարկված ծախսերը բերված են աղյուսակ 17-ում:

Գումարելով առանձին օպերացիաների շահագործական ծախսերը, համապատասխանաբար կստանանք բրիկետմերի տեսքով խոտի նախապատ-

րաստման ծախսերը ($U_{II} = 6053,1$ դրամ/տոնն) և հակավորմամբ խոտի նախապատրաստման ծախսությանը նվազեցնելու մասին:

Ցուցանիշներ	Տարբանական ծախսավորման համարակալիք տեխնոլոգիայի տնտեսական աղյուսակը	Արդարական կառուցանքներ									
		TKC-4	TKC-2,5	TKB-2,0	TKC-2,6M	TBK-6R	KC-2,1	Ըստինիք և բրիկետավորման	1TΦ-0,5	KTV-10	
Զանգված	կգ	250	900	3410	-	1876	1876	2380	2380	2380	2380
Գիլ (լ)	հազ.դրամ	379,8	848,25	3217,5	-	4826	2410	1638	1486	2824,4	2824,4
Հարկվելուային արժեք (Մե)	հազ.դրամ	438,6	933,08	3539,3	-	5308	2651	1802	1634,5	3106,8	3106,8
Արտադրության պահանջում (W)	համ.դրամ/ժ	5մմ/ժ	2մմ/ժ	3մմ/ժ	5մմ/ժ	10մ/ժ	11մ/ժ	15մ/ժ	15մ/ժ	5մմ/ժ	5մմ/ժ
Տարեկան ծախսավորման արժեքը (ր.)	դրամ	200	150	300	150	150	800	600	600	1400	1400
Ապահովագրության արժեքը (մարդ)	մարդ	1	1	1	1	1	2	1	1	1	1
Հարկված համարակալիք (ր.)	%	97	97	97	97	97	97	97	97	97	97
Ապահովագրության արժեքը (մարդ)	դրամ	10	10	13	13	13	13	13	13	13	13
Տարեկան ծախսավորման արժեքը (ր.)	%	14,2	14,2	16,6	16,6	14,2	14,2	14,2	14,2	14,2	14,2
Ապահովագրության արժեքը (մարդ)	դրամ (ա)	5300,1	5300,1	5300,1	5300,1	5300,1	5300,1	5300,1	5300,1	5300,1	5300,1
Գիլ (լ)	հազ.դրամ	5300,1	5300,1	5300,1	5300,1	6669	2357,6	5300,1	6669	5300,1	5300,1

		Աղյուսակ 12 (շայունակարգություն)									
		2	3	4	5	6	7	8	9	10	11
Հաշվելու դիմումը (Ա.)	Խազառան	5830,1	5830,1	15637,1	7336	2593,4	5830,1	7336	5830,1	5830,1	5830,1
Նորման հզրությունը (P)	Կվառ.	29,4	29,4	121,3	36,8	110,3	29,6	36,8	29,6	29,6	29,6
Վահանությունից տեսակաբար ծախսը:	Կոճ	5÷7	5÷7	25÷28	8÷9	28	5÷7	8÷9	5÷7	5÷7	5÷7
1 կգ կատունաբար կուտանքու գինը	Պրամ.	180	180	180	180	180	180	180	180	180	180
Կապիուու մորդումների	%	5	5	7	5	5	5	5	5	5	5
հատկացումներ (r ₁)											
Տես. նորմաների և տես. սպաս.	%	8,9	8,5	9,1	12,7	8,9	12,7	8,9	12,7	8,9	12,7
հատկացումներ (r ₂)											
Լրիկ կերպարնաման համակառների մարման (a)	%	12,5	12,5	12,5	12,5	12,5	12,5	12,5	12,5	12,5	12,5
Տարեկան ծանրաբանվածությունը (t ₁)	Ժամ	1200	1200	1300	1300	1200	1300	1200	1300	1200	1300
Տարեկան ծանրաբանվածությունը (t ₂)											

11.3. ԿԹՈՎԻ ԲՐԻԿԵՏԱՎՈՐՄԱՆ ԿՈՄԲԱՅՆԻ ՄԵԾԱԾԱԽ ԳՆԻ ՀԱՇՎԱՐԿԸ

Ճյուղային ինքնարժեքը որոշվում է հետևյալ կերպ:

$$C_0 = G(\lambda H K_H + M) + d, \quad (236)$$

որտեղ՝ C_0 -ն ճյուղային ինքնարժեքն է, G -ն՝ առանց գնովի մեքենամասերի մեքենայի մաքուր զանգվածը, $G=1300$ կգ, λ -ն՝ անալոգային $\text{ΠԵԾ-1}, 6\text{Մ}$ մեքենայի համեմատ կառուցվածքային բարդության գործակիցը, $\lambda=1,5$, H -ը՝ մեքենայի 1կգ մաքուր զանգվածի արտադրության վրա ծախսը, $H=470$ դրամ, M -ը՝ նյութի 1կգ մաքուր զանգվածի արժեքը, $M=270$ դրամ, K -ն՝ կախված թողարկման ծափակց՝ H -ի փոփոխման գործակիցը, d -ն՝ հիմնական գնովի հանգույցների արժեքը, որի մեծությունները բերված են աղյուսակ 13-ում:

Աղյուսակ 13			
N ր/կ	Գնովի հանգույցներ	Գ-ինը, դրամ	Զանգվածը (կգ)
1	Հավաքիչ-մանրատիչ	4000000	1600
2	K-700 տրակտորի գլխավոր փոխանցում	503000	230
2	Ռեդուկտոր՝ ԱՕԻ-250	500000	280
	Ընդամենը	5003000	2110

Տեղադրելով արժեքները, կստանանք՝ $C_0=6270500$ դրամ:

Գնի ստորին սահմանը որոշվում է հետևյալ բանաձևով.

$$\Pi_{սս} = C_0 + n_H, \quad (237)$$

որտեղ՝ $n_H = \frac{P_c C_0}{100}$ -ը նորմատիվային շահույթների գումարն է (շահույթաբերության դիֆերենցիալ նորմատիվը):

$$\text{Քանի որ } \frac{d100}{C_0} = 79,8\%, \text{ ապա ընդունում ենք՝ } P_c=7: \text{ Այդ դեպքում } \Pi_{սս}=6709435 \text{ դրամ:}$$

Սահմանային արժեքը որոշվում է ետքմման ժամկետի բանաձեկց.

$$T_H = \frac{k_H - k_c \alpha \sigma}{(U_c \sigma - U_H) W_r}, \quad (238)$$

որտեղ՝ k_H -ը և k_C -ը նոր և հին տեխնոլոգիական գործընթացներին մասնակցող մեքենաների կամ նրանց առանձին մասերի հաշվեկշռային արժեքն է:

$$\begin{aligned} k_H &= \left(\sum \Pi_{Ht} + \sum \Pi_{rp,Ht} \frac{T_{M,Ht}}{T_{rp,Ht}} \right) I, I, \\ k_C \alpha \sigma &= \left(\sum \Pi_{Ct} + \sum \Pi_{rp,Ct} \frac{T_{M,Ct}}{T_{rp,Ct}} \right) I, I \sigma \alpha, \end{aligned} \quad (239)$$

որտեղ՝ $\Pi_H, \Pi_{rp,H}$ -ը նոր մեքենաների և տրակտորների գինն է, $\Pi_C, \Pi_{rp,C}$ -ը՝ հին մեքենաների և տրակտորների գինն, $T_{M,H}, T_{rp,H}, T_{M,C}, T_{rp,C}$ ՝ համապատասխանաբար մեքենաների և տրակտորների տարեկան բեռնվածությունները, α -ն՝ փոխարինելիության գործակիցը, $\alpha = \frac{W_{re}}{W_{rc}} = 0,8$, σ -ն՝ սպասարկողի մոտ ծախսերի երաշխավորված նվազեցման գործակիցը, $\sigma = 0,8$:

$$\text{Քանի որ } \frac{U'_c - U'_H}{U'_H} = 0,6, \text{ ապա}$$

$$k_H - k_C \alpha \sigma = \left(\sum \Pi_{Ht} + \sum \Pi_{rp,Ht} \frac{T_{M,Ht}}{T_{rp,Ht}} - \sum \Pi_{Ct} \sigma \alpha - \sum \Pi_{rp,Ct} \frac{T_{M,Ct}}{T_{rp,Ct}} \sigma \alpha \right) I, I : (240)$$

Նոր տեխնոլոգիայի մեքենաների շահագործական ծախսերը.

$$U_H = U'_H + \frac{A + \beta R}{100 W_r} \Pi_{M,H}, \quad (241)$$

որտեղ՝ $\frac{A}{100} = 0,166$ -ը նոր մեքենայի ամորտիզացիոն հատկացումների գործակիցն է, $\frac{R}{100} = 0,13$ -ը՝ ընթացիկ նորոգումների և տեխ. սպասարկումների

հատկացումների գործակիցը, $\beta = 1$ -ը՝ նոր մեքենայի տարեկան բեռնվածքի հարաբերությունը նորմատիվայինին, որի դեպքում որոշված է նորոգման հատկացումների չափը:

Սահմանային գինը կլինի.

$$\Pi_n = \frac{I, I \left(\sum \Pi_{Ct} \sigma \alpha - \sum \Pi_{rp,Ht} \frac{T_{M,Ht}}{T_{rp,Ht}} - \sum \Pi_{Ht} + \sum \Pi_{rp,Ct} \frac{T_{M,Ct}}{T_{rp,Ct}} \sigma \alpha \right) + T_H (U_c \sigma - U'_H) W}{1 + \frac{A + \beta R}{100} T_H},$$

Քանի որ անառուներին բրիկետներով կերակրելու արդյունքում կորուստները բացառվում են, որից և ստացվում է լրացուցիչ շահույթ (հակավորված խոտով կերակրելիս կորուստները կազմում էին 10±15%), ապա բանաձևի համարիչում ավելացվում է $\Delta BW_{r,H} T_H$ անդամը, որտեղ $\Delta B = 2000$ դրամ լրացուցիչ շահույթն է, որը կազմում է մեկ տոննա խոտի 10%-ի արժեքը.

$$\begin{aligned} \Pi_n &= \frac{I, I \left(\sum \Pi_{Ct} \sigma \alpha - \sum \Pi_{rp,Ht} \frac{T_{M,Ht}}{T_{rp,Ht}} - \sum \Pi_{Ht} + \sum \Pi_{rp,Ct} \frac{T_{M,Ct}}{T_{rp,Ct}} \sigma \alpha \right)}{1 + \frac{A + \beta R}{100} T_H} + \\ &+ \frac{T_H (U_c \sigma - U'_H) W_{r,H} + \Delta BW_{r,H} T_H}{1 + \frac{A + \beta R}{100} T_H}. \end{aligned} \quad (242)$$

(242) հավասարման մեջ տեղադրելով համապատասխան արժեքները, կստանանք՝ $\Pi_n = 10332530$ դրամ:

Մեծածախ գինը որոշվում է հետևյալ արտահայտությունից.

$$\Pi_0 = C_0 + n_H + n_D, \quad (243)$$

որտեղ՝ $n_D = \gamma n_H$ -ը լրացուցիչ շահույթն է, γ -ն՝ նոր մեքենայի արդյունավետության խթանման գործակիցը.

$$\gamma = \frac{\Pi_n - \Pi_M}{\Pi_H} = 0,54:$$

Որոշված է, որ $\gamma = 0,5$, որտեղ $\Pi_0 = 6928902,5$ դրամ:

11.4. ՏԱՐԵԿԱՆ ՏՆՏԵՍԱԿԱՆ ԱՐԴՅՈՒՆԱՎԵՏՈՒԹՅԱՆ ՈՐՈՇՈՒՄԸ

Տարեկան տնտեսական արդյունավետությունը որոշվում է հետևյալ բանաձևով.

$$\Theta_F = [(U_c + EK_c) - (U_H - EK_H)] W_F + \Delta BW_F, \quad (244)$$

որտեղ՝ $E=0,2$ -ը ետզնման նորմատիվային գործակիցն է, U_H -ը՝ նոր տեխնոլոգիայի միավոր աշխատանքի վրա լիկ շահագործական ծախսերը,
 $U_n = U'_n + \frac{A+R}{100W_r} \Pi_{ci}$, $U_H = 9091,6$ դրամ/տ, K_c -ն՝ բազային տեխնոլոգիայի

կապիտալ ներդրումները, $K_c = \sum K_{ci}$, K_{ci} -ն՝ բազային տեխնոլոգիայի օպերացիաները կատարող յուրաքանչյուր մեքենայի և տրակտորի կապիտալ ներդրումները, $K_{ci} = \frac{\Pi_{pi}}{Wt_r}$, K_H -ը՝ նոր տեխնոլոգիայի կապիտալ ներդրումները,
 $K_n = \sum K_{ni}$, K_{ni} -ը՝ նոր տեխնոլոգիայի օպերացիաները կատարող յուրաքանչյուր մեքենայի և տրակտորի կապիտալ ներդրումները, $K_{ni} = \frac{\Pi_{ui}}{Wt_r}$,

Նոր և բազային տեխնոլոգիաների կապիտալ ներդրումների հաշվարկ-ները բերված են աղյուսակ 14-ում:

Բոլոր հայտնի մեծությունները տեղադրելով (244) հավասարման մեջ, որոշում ենք մեկ բրիկետավորող մեքենայի կիրառմամբ բրիկետավորման տեխնոլոգիայից ստացված տարեկան արդյունավետությունը՝ $\Theta_f = 1486425$ դրամ

Մեկ տոննա բրիկետի հաշվով տնտեսական արդյունավետությունը կազմում է 1981,9դրամ/տոնն:

Աղյուսակ 14
 Կապիտալ ներդրումները նոր և բազային տեխնոլոգիաներում

Բազային տեխնոլոգիա (հակավորմամբ)	Նոր տեխնոլոգիա (բրիկետավորմամբ)		
Տրակտորներ և գյուղ. մեքենաներ	Տրակտորներ և գյուղ. մեքենաներ		
KC-2,1	173	KC-2,1	173
T-40	442	T-40	442
ГВК-6Г	342	ГВК-6Г	342
T-40	294	T-40	294
ГВК-6Г	342	ГВК-6Г	342
T-40	294	T-40	294
ПБС-1,6М	4290	ПКБ-2,0	9237
T-40	972	T-150К	4370
ГУТ-2,5	6430	2ПТС-4	228
МТЗ-50	1026	T-40	552
ТШН-2,5	1607	փոխադրիչ	80
ЗИЛ-ММЗ-555	196	փոխադրիչ	80
ЗИЛ-ММЗ-555	640	КТУ-10	340
ТШН-2,5	1607	T-40	1060
ЗИЛ-ММЗ-555	196		
ПФ-0,5	165		
МТЗ-50	342		
2ПТС-4	1023		
T-40	2200		
$\sum K_{ci}$	22581	$\sum K_{ni}$	17834

Աղյուսակ 15
ՊԿԲ-2,0 ԿՑՈՎԻ ԲՐԻԿԵՏԱՎՈՐՄԱՆ ԿՈՄՄԱՅԻՆ ՏԱՏԵՍԱԿԱՆ ԱՆՁՆԱԳԻՐ

N Ը/Կ	Ցուցանիշներ	Տեխնիկական առաջարկանքի տվյալներով	
		Նոր մեթոդ	Բազային մեթոդ
1	2	3	4
I. Ելակետային տվյալներ			
1	Ազգեատավորումը, տրակտոր	T=150K	T=40
2	Սպասարկող անձնակազմը	1	1
3	Մեկ ժամվա մաքուր աշխատաժամի արտադրողականությունը, տ/ժ	2,5	7
4	Մեկ ժամվա հերթափոխային աշխատաժամի արտադրողականությունը, տ/ժ	2	5
5	Աշխատանքային ժամանակի օգտագործման գործակիցը (ԿԻԲ)	0,8	0,71
6	Ծահագործական հուսայիտորյան գործակիցը	-	-
7	Միավոր աշխատանքի վրա վառելիքի ծախսը, կգ/տ	13	1,1
8	Մեքենայի գանդվածը, կգ	3400/2110	1900
9	Տարեկան բնօնվածությունը, օր (համարիչ), ժամ (հայտարար)	43/300	21,5/150
10	Միավոր աշխատանքի վրա տարեկան արտադրությունը, տ	600	750
11	Տարեկան բողարկումը, հատ	-	-
II. Խճճարժեք և գին			
12	Մեքենայի սահմանային գինը, Ա, դրամ	10332530	-
13	Մեքենայի ճյուղային ինքնարժեքը, Ը, դրամ	6270500	-
14	Մեքենայի գործարանային ինքնարժեքը, Ծ, դրամ	-	-
15	Մեքենայի մեծածախ գինը, Ա, դրամ(նախազիծ)	6928902	3217500
16	Մեքենայի ֆոնդատարությունը, դրամ	-	-
III. Տնտեսական արդյունավետությունը			
17	Մեքենայի հաշվեկշռային արժեքը, Ա, դրամ	7621792,2	3539300
18	Տեսակարար կապիտալ ներդրումները, Ա, դրամ/տոնն	22581	17834
19	Միավոր աշխատանքի վրա աշխատումի ծախսը, մարդ/ժամ	2,63 լմարդ/ժ	5,364մարդ/ժ
20	Նոր տեխնոլոգիայի միավոր աշխատանքի ինքնարժեքը (Հահագործման ծախսերը)	9091,6	8125,25
21	Տարեկան տնտեսական արդյունավետությունը, դրամ	1486425	-

Աղյուսակ 16

N Ը/Կ	Օգկացության անկանունը	Արտադրամականությունը առաջարկանքում համարվող մասնակիությունը	
		Արտադրամականությունը	Արտադրամականությունը առաջարկանքում համարվող մասնակիությունը
1	Կառավարման հմատականությունը	ԿԿՀ-2,1	ԿԿՀ-2,1
2	Ժամանակակից գործակիցը	TRK-4F	TRK-4F
3	Լանդի շրջանը	TRK-4F	TRK-4F
4	Կառավարման հմատականությունը տարեկան առաջարկանքում պահպանային գործակիցը	TKE-2,0	TKE-2,0
5	Կառավարման հմատականությունը պահպանային գործակիցը	2ITTC-4	2ITTC-4
6	Կառավարման հմատականությունը պահպանային գործակիցը	TRK-4F	TRK-4F
7	Հողի հանունը պահպանային գործակիցը	-	Փայտագրիչ գործակիցը
8	Հողի հանունը պահպանային գործակիցը	-	Պահպանային գործակիցը
9	Հողի հանունը պահպանային գործակիցը	-	Հողի հանունը պահպանային գործակիցը

Անկանունը՝ Արտադրամականությունը առաջարկանքում համարվող մասնակիությունը

Անկանունը՝ Արտադրամականությունը առաջարկանքում համարվող մասնակիությունը

12106206,5
1371200

ପ୍ରାଚୀକରଣ ଉପରେ ଯାହାକୁ ଆମେ ପାଇଲୁ ଥାଏନ୍ତି ତାକୁ ନିରାମଳ କରିବାକୁ ପାଇବାକୁ ପରିପାଦିତ କରିବାକୁ ପାଇବାକୁ ପରିପାଦିତ କରିବାକୁ ପରିପାଦିତ କରିବାକୁ ପରିପାଦିତ କରିବାକୁ

ՄԱԿ տանըայի վրա՝ 8123,25 դրամ

ԳՐԱԿԱՆՈՒԹՅՈՒՆ

1. Բաղդասարյան Մ.Թ., Մուսայելյան Գ.Գ., Քրիկետավորող մեքենաների հուսալիուրյան բարձրացման և էներգատարողության նվազեցման հարցերի հետազոտությունը, "Գյուղատնտեսական գիտությունների տեղեկագիր", ՀՍՍՀ ԳԱ գյուղատնտեսական ամսագիր, N 6, 1974թ.

2. Բաղդասարյան Մ.Թ., Մուսայելյան Գ.Գ., Հարությունյան Վ.Ա., Խոտի սեղման խցիկների ճևերի և պարամետրերի ազեցությունը բրիկետավորման գործընթացի վրա, "Գյուղատնտեսական գիտությունների տեղեկագիր", ՀՍՏՀ ԳԱ գիտատեսական ամսագիր, N 4, 1975թ.

3. Բաղդասարյան Մ.Թ., Մարգարյան Ս.Ե., Խոտի բրիկետավորման պրոցեսի ուսումնամիջությունը և սեղմման խցիկների պարամետրերի ճշտումը, "Գյուղատնտեսական գիտությունների սեղեկագիր", ՀՍՍՀ ԳՄ գիտատեսական ամսագիր, N 10, 1977թ.

4. Բաղդասարյան Մ.Թ., Սուսայելյան Գ.Գ., Հարությունյան Վ.Ա., ՈՒռումյան Հ.Հ., Արիստակեսյան Ա., Խոտի բրիկետավորումը և նրա առանձնահատկությունները, "Գյուղատնտեսության կոլտուրայի բարձրացման համար", ՀՍՍՀ ԳՄ, N 27, 1980թ.

5. Բաղդասարյան Մ.Թ., Մուսայելյան Գ.Գ., Բրիկետավորման խցիկության վեջության գործակցի որոշումը, "Գյուղատնտեսական գիտությունների տեղեկագիր", ՀՍՍՀ ԳՄ գիտատեսական ամսագիր, N 9, 1982թ.

6. Բաղդասարյան Մ.Թ., Խոտի քրիկետների պատրաստման սարք. Արտոնագրի հայտ, Р20020028, Գյուտերի հայտեր (պաշտոնական տեղեկագիր) № 4(21), 2002թ.

7. Քաղաքասարյան Մ.Թ., Ուսումյան Հ.Հ., Քրիկետավորման օդակածն ամայնիներում բրիկետների ջարդիչ-փոխադրիչի պարամետրերի ուսումնակրությունը. Ազրոգիտուրյուն, N 7-8, 2002թ.

8. Բաղդասարյան Մ.Ժ., Սարգսարյան Ա.Ս., Խոտի բրիկետավորման մամլչի սեղմնան խցիկի պարամետրերի ճշտումը, Ագրոգիտություն, N 9-10, 2002թ.

9. Альферов С.А., Исследование процесса прессования соломы, Автореферат дисс. на соискание ученой степени к.т.н. М., 1955г.

10. Багдасарян М.Т., Александрян К.В., Маркарян С.Е., Кучинская З.,
Зашкявчус А., Коваленко А.И., Мусаелян Г.Г., Арутюнян В.А., Устройство для
изготовления сенных брикетов. Авторское свидетельство СССР, № 680685 кп.
A01D 89/00. 1979г.

11. Багдасарян М.Т., Александрян К.В., Маркарян С.Е., Кучинская З.,
Зашклявчус А., Коваленко А.И., Мусаелян Г.Г., Арутюнян В.А., Брикетный
пресс, Авторское свидетельство СССР, № 677719, кл. A01 15/00 1979г.

12. Багдасарян М.Т., Исследование процесса брикетирования сена в очнической и пирамильной рабочих камерах, Тезисы докладов научной конференции молодых научных работников и аспирантов Закавказских республик по механизации и электрификации сельскохозяйственного

производства, Тбилиси, 1973г.

13. Багдасарян М.Т., Факторы, влияющие на энергоемкость процесса брикетирования сена. Материалы республиканской научной конференции по механизации сельскохозяйственного производства, Ереван, 1972г.

14. Багдасарян М.Т., Маркарян С.Е., Коваленко А.И., Мусаелян Г.Г., К вопросу определения параметров конической камеры для брикетирования сена, Труды АрмНИИЭСХ, вып.Х11, Ереван, 1976г.

15. Багдасарян М.Т., Маркарян С.Е., Коваленко А.И., Мусаелян Г.Г., Исследование процесса брикетирования сена в камерах составного сечения, Труды АрмНИИЭСХ, вып.Х111, Ереван, 1977г.

16. Багдасарян М.Т., Маркарян С.Е., Коваленко А.И., Мусаелян Г.Г., Оценка эффективности брикетированного сена. Труды АрмНИИЭСХ, вып.Х111, Ереван, 1977г.

17. Багдасарян М.Т., Маркарян С.Е., Мусаелян Г.Г., Арутюнян В., Урумян О., Комбайн для брикетирования сена, Информационный листок, АрмНИИНТИ, № 46, 1978г.

18. Багдасарян М.Т., Методика расчета прессовальных камер кольцевого брикетного пресса, «Актуальные проблемы современной науки», № 3, 2002г.

19. Багдасарян М.Т., Определение параметров пневматического устройства мобильных машин для брикетирования сена, «Актуальные проблемы современной науки», № 5, 2002г.

20. Багдасарян М.Т., Оганесян Г., Акопян С., Фреза с реверсивным устройством для обработки риствельных полос. Информационный листок, АрмНИИНТИ, "Сельское Хозяйство", № 8, 1981г.

21. Багдасарян М.Т., Пряян Л., Почвообрабатывающая фреза, Авторское свидетельство СССР, № 1370533, кл. А 01 В 33/06, 1987г.

22. Багдасарян М.Т., Уточнение параметров увлажняющих и охлаждающих систем мобильных брикетирующих машин, «Актуальные проблемы современной науки», № 6, 2002г.

23. Багдасарян М.Т., Исследование процесса брикетирования сена и уточнение параметров прессовальной камеры. Диссертация на соискание ученой степени к.т.н., Ер. 1977г.

24. Бызухов Н.И., Основы теории упругости, пластичности и позуучести. М., 1968г.

25. Васильев Ю.А., Исследование закономерностей процесса уплотнения соломы в камерах различных сечений. Диссертация на соискание ученой степени к.т.н., Чел., 1969г.

26. Веденяпин Г.В., Общая методика экспериментального исследования и обработка опытных данных, М., 1965г.

27. Выгодский М.Я., Справочник по высшей математике. М., 1965г.

28. Голяновский А.В., Авторское свидетельство СССР, № 243305.

29. Градштейн И.С., Рыжик И.М., Таблица интегралов, сумм, рядов и произведений. М., 1962г.

30. Густафсон А.С., Дж. Къелгард, Зависимость прочности брикетов от их формы, «Сельскохозяйственная техника» № 8, 1963г.

31. Дмитриев Г.Н., Исследование закономерности процессов прессования соломы. Автореферат дисс. на соискание ученой степени к.т.н., Челябинск, 1966г.

32. Долгов И.А., Научные основы методики расчета рабочих органов прессующих, брикетирующих и прокатывающих сеноуборочных машин. Диссертация на соискание уч. степени д.т.н., М., 1971г.

33. Долгов И.А., Васильев Г.К., Математические методы в земледельческой механике. М., 1967г.

34. Задорин Г.Б., Исследование закономерностей деформирования сено-соломистых материалов ударным воздействием. Автореферат дисс. на соискание ученой степени к.т.н., Минск, 1970г.

35. Клюкова Н.П. и др., Тензодатчики для экспериментальных исследований. М., 1972г.

36. Колотов А.А., Исследование энергоемкости прессования сена в брикеты. Автореферат дисс. на соискание ученой степени к.т.н., Фрунзе, 1968г.

37. Колотов А.А., Исследование энергоемкости процесса брикетирования сена. Труды киргизского СХИ, вып.14, т.4, 1969г.

38. Костиков А.И., Исследование процесса прессования соломы вальцами. Автореферат дисс. на соискание ученой степени к.т.н., Минск, 1970г.

39. Крагельский И.В., Виноградов, Коэффициенты трения и справочное пособие. М. 1962г.

40. Ландел В., Халл Д., Брикетирование сена при уборке. Сельское хозяйство за рубежом (животноводство), № 12, 1961г.

41. Матвеев, Методы интегрирования обыкновенных дифференциальных уравнений, М., 1966г.

42. Методика определения оптовых цен за новые сельскохозяйственные машины, ВИСХОМ, М., 1969г.

43. Методика определения экономической эффективности новых сельскохозяйственных машин, ВИСХОМ, М., 1969г.

44. Митропольский А.К., Техника статистических вычислений, М., 1961г.

45. Михкиев А., Передвижная установка для изготовления брикетов. Луга и пастбища, № 25, 1970г.

46. Моисеенков Г.С., Исследование распределения давления массы по поверхности плоской, конической и цилиндрической решеток шнекового пастоприготовителя. Материалы конференции профессорско-преподавательского состава и аспирантов факультета механизации с. х. производства за 1968 год, Кишинев, 1969г.

47. Монтаков В., Пучков В., Брикеты из сена и соломы. Сельскохозяйственное производство сев. Кавказа и ЦЧО, № 12, 1964г.

48. Мухин Г.П., Исследование процесса брикетирования кормовых смесей. Автореферат дисс. на соискание ученой степени к.т.н., Киев, 1973г.

49. Наумович В.И., Теоретические основы процесса брикетирования торфа, Минск, 1960г.
50. Особов В.И., Исследование процесса брикетирования сена. вальцами. Диссертация на соискание ученой степени к.т.н., М., 1962г.
51. Особов В.И., Исследование процесса брикетирования сена. Тракторы и сельхозмашины, № 10, 1965г.
52. Особов В.И., Комплексная механизация заготовки сена. Тракторы и сельхозмашины, № 5, 1971г.
53. Особов В.И., Машины для брикетирования сена. Тракторы и сельхозмашины, № 3, 1965г.
54. Особов В.И., О боковом давлении при брикетировании сена. Механизация и электрификация соц. сил. хозяйства, № 5, 1964г.
55. Особов В.И., О сцеплении тонкостебельных материалов при брикетировании. Вестник сельскохозяйственной науки, № 8, 1962г.
56. Особов В.И., Полевое испытание пресс подборщиков для брикетирования. Тракторы и сельхозмашины, № 5, 1965г.
57. Особов В.И., Технологические основы расчета рабочих органов машин для уплотнения сено-соломистых материалов. Диссертация на соискание ученой степени д.т.н., М., 1971г.
58. Особов В.И., Машины и оборудования для уплотнения сеносоломистых материалов. М., 1974г.
59. Особов В.И., Голяновский А.В., Классификация рабочих органов для уплотнения сено-соломистых материалов. Тракторы и сельхозмашины, № 11, 1971г.
60. Особов В.И., Пресс для брикетирования сена, соломы и т.п. материалов. Авт. св. СССР, № 229870.
61. Особов В.И., Сенный брикетный пресс-подборщик. Авт. св. СССР, № 140358.
62. Особов В.И., Кузнецов А.П., Исследование упругих свойств брикетов из сено-соломистых материалов импульсным ультразвуковым методом. Вестник сельскохозяйственной науки. № 8, 1962г.
63. Патент США, № 3153889
64. Патент США, № 3168057
65. Патент США, № 3183859
66. Патент США, № 3213783
67. Патент США, № 3422747
68. Патент США, № 3430583
69. Патент США, № 3430584
70. Патент США, № 3492796
71. Патент Франции, № 1067535
72. Патент Франции, № 1400711
73. Патент Франции, № 1474528
74. Пережогин М.А., Исследование процесса брикетирования грубых кор-
- мов. Диссертация на соискание ученой степени к.т.н., Челябинск, 1963г.
75. Пережогин М.А., Сергеев М.П., Давление в камере пресса и энергоемкость брикетирования грубых кормов. В кн. Повышение рабочих скоростей с.-х. машин и тракторов. М., 1963г.
76. Пискунов Н.С., Дифференциальное и интегральное исчисление. Том. 1, 2.. М. 1964г.
77. Прагер И.Л., Электронные аналоговые вычислительные машины. М. 1971г.
78. Приборы для испытаний и исследований сельскохозяйственных машин, (каталог), М., 1971г.
79. Пустыгин М.А., Закон сжатия слоя стеблей хлеба. Сельхозмашина, № 12, 1937г.
80. Разоренов Г.И., Выбор масштабов при моделировании. М., 1973.
81. Резник Е.К., О силах внутреннего давления слоя материала на стенку цилиндрического кожуха. Научные труды по электрификации сельского хозяйства (ВИЭСХ), т.31, М., 1973г.
82. Руминский Л.З., Математическая обработка результатов эксперимента М., 1971г.
83. Сборник зоотехнических требований на машин и оборудования, т. 18, М., 1972г.
84. Сельскохозяйственная техника (каталог), ч.1, М., 1974г.
85. Сельскохозяйственная техника (каталог), ч.2, М., 1974.
86. Сельскохозяйственная техника (каталог), ч.3, М., 1974.
87. Соболев Г.В., Геометрические параметры прессов и грануляторов с кольцевой и плоской матрицами. Механизация и электрификация соц. сел. Хозяйства, № 6, 1965г.
88. Соболев Г.В., Определение геометрии кольцевых прессов и грануляторов. Труды ВИМ, т.41, 1967г.
89. Фахриев Д.С., Кузнецов С.В., Брикетирование сена и травы в поле. Сельское хозяйство за рубежом (животноводство), № 4, 1970г.
90. Храпач Е.И., Влияние некоторых факторов на коэффициент трения соломистых продуктов. Сельхозмашины, № 8, 1957г.
91. Шульга Г.Н., Влияние влажности сена на процесс брикетирования. В кн. Сборник научных работ аспирантов, Минск, 1971г.
92. Шульга Г.Н., Деформация сена при брикетировании. В кн. Сборник научных работ аспирантов, Минск, 1970г.
93. Шульга Г.Н., Исследование и обоснование технологического процесса и рабочего органа плунжерного типа для брикетирования сена в брикеты. Автореферат дисс. на соискание ученой степени к.т.н., Минск, 1974г.
94. Шульга Г.Н., Исследование процесса брикетирования сена. В кн. Механизация и электрификация сельского хозяйства. вып. 3, Минск, 1973г.
95. "Agricultural engineering", № 4, 1959.
96. Barnes K.K., Farm reaction to field-Wafered hay. "Implen and Tractor",

1962, 77, № 1.

97. Butler J.L., McCollly H.P., Factors Affecting the Palleting of Hay. "Agricultural Engineering", August, 1959.
98. Bustmeier R.W., Krauring machine a progress report. "Agricultural Engineering", 1970, 51, № 7.
99. Balinger P.L., McCollly H.P., Energy Requirements for Forming Hay Pellets. "Agricultural Engineering", April, 1961.
100. Butler J.L., Energy comparisons in processing coastal Bermutagrass and alfalfa. "Trans. ASAE", 1965, 8, № 7.
101. Bruhn J.L., Palleting drain and hay mixtures. "Agricultural Engineering", May, 1955.
102. Bruhn J.L., Kimmerman A., Niedermeier R.P., Developments in palleting forage crops. "Agricultural Engineering", April, 1959.
103. Floyd N. Resse, Temperature, pressure and Time Relationships in Forming Dense Hay Wafers. "Trans. ASAE", 1966, v.9, № 6.
104. Molitarisz J., McCollly H.P., Developments and analysis of the rolling-compressing wafering process. "Trans. ASAE", 1969, 12, № 4.
105. Pikard C.E., Roll W.M., Ramser J.H., Fundamentals of Hay Wafering. "Trans. ASAE", 1961, v.4, № 1.
106. Progressi delle fienagione ed evoluzione delle tecniche di pressatura dei foraggi. "Macch. e motori agr.", 1964, № 6.
107. Soteropoulos C., Herald B., Cubing past pressing future. "Agricultural Engineering", 1969, 50, № 9.
108. Zimmerman M., Deere has a hay Cuber. "Implem. and Tractor", 1965, 80, № 9.
109. Hall, Clegg E., Hall Cari W., Heated – die Wafer formation of alfalfa and Bermutagrass. "Trans. ASAE", 1968, 11, № 4.
110. Barnes K.K., Cubing hay in stationary equipment "Implem. and Tractor", 1971, v. 81, № 9.
111. Wyndham R., The USA switches cuber hay, "Farmers weekly", 1968, v.68, № 21.
112. John Geoffrey, Hay that handles like grain. "Farm Quarterly", 1966, v.21, № 9.

ԲՈՎԱՆԴԱԿՈՒԹՅՈՒՆ

ՆԵՐԱԾՈՒԹՅՈՒՆ.....	3
1. ԽՈՏԻ ԲՐԻԿԵՏԱՎՈՐՄԱՆ ԳՈՐԾԸՆԹԱՑԻ ՀԵՏԱԶՈՏՈՒԹՅՈՒՆ-ՆԵՐԻ ՆԵՐԿԱՅԻՍ ՎԻճԱԿԸ.....	6
1.1. Խոտի բրիկետավորման տեխնոլոգիաները.....	6
1.2. Խոտի բրիկետավորման մեթոդները.....	7
1.3. Խոտի բրիկետավորման գործընթացի ուսումնասիրույթների համառոտ ակնարկ.....	15
2. ԲՐԻԿԵՏԱՎՈՐՄԱՆ ՄԵՔԵՆԱՆԵՐԻ ՍԽԵՄԱՆԵՐԻ ՄՇԱԿՈՒՄԸ.....	24
2.1. Շարժական բրիկետավորման մեքենաների սխեմաների մշակումը...	24
2.2. Ստացիոնար բրիկետավորման մեքենաների սխեմաների մշակումը...	27
3. ԲՐԻԿԵՏԱՎՈՐՄԱՆ ԳՈՐԾԸՆԹԱՑԸ ՍԵՂՄԱՆԱԿԱՆ ԽՑԻԿՆԵՐԻ ՈՎԱԿԻՒՄԸ.....	30
3.1. Կոնական սեղման խցիկներ.....	30
3.2. Ուղանելյան կտրվածքով սեղման խցիկներ.....	42
3.3. Բրիկետավորման մամլիչի աշխատանքային խցիկի երկայնքով նորմալ կողային ճնշման բաշխումը.....	54
3.4. Կազմովի սեղման խցիկների բրիկետների դուրսիրման ուժը.....	57
3.5. Հիպերբոլիկ սեղման խցիկներ.....	59
4. ԲՐԻԿԵՏԱՎՈՐՄԱՆ ՄԱՄԼԻՋԻ ԱՇԽԱՏԱՆՔԱՅԻՆ ԽՑԻԿԻ ԵՎ ՀՈԼՈՎԱԿԻ ՊԱՐԱՍՏՐԵՐԻ ԾԸՆՈՒՄԸ.....	73
4.1. Հոլովակների կողմից նյութի կառչման ջնդրկման անկյունը.....	73
4.2. Բրիկետավորվող նյութի կողմից հոլովակի վրա ազդող ճնշման ուժերը և համագորի կիրառման կետը.....	76
4.3. Բրիկետավորման մամլիչի արտադրողականությունը և պահանջվող հզրությունը.....	85
5. ԽՈՏԻ ՍԱՏՈՒՅՈՒՄԸ ԲՐԻԿԵՏԱՎՈՐՄԱՆ ՄԱՄԼԻՋԻՆ.....	91
5.1. Պնևմատիկ փոխադրիչի պարամետրերի որոշումը.....	92
5.2. Բրիկետավորվող նյութը խոնավացնող համակարգի պարամետրերի ճշտումը.....	100
5.3. Բրիկետավորման մամլիչի և ստացվող բրիկետների հովացման համակարգը.....	102
6. ԲՐԻԿԵՏԱՎՈՐՄԱՆ ՕՂԱԿԱՁԵՎ ՄԱՄԼԻՋՆԵՐՈՒՄ ԲՐԻԿԵՏՆԵՐԻ ԶԱՐԴԻՉ-ՓՈԽԱԴՐԻՉԻ ՊԱՐԱՍՏՐԵՐԻ ՈՐՈՇՈՒՄԸ....	105
7. ԽՈՏԻ ԲՐԻԿԵՏԱՎՈՐՄԱՆ ԳՈՐԾԸՆԹԱՑԻ ԳԻՏԱՓՈՐՁԵՐԻ ԿԱՏԱՐՄԱՆ ՄԵԹՈԴՆԵՐԻ ԵՎ ԱՐԴՅՈՒՆՔՆԵՐԸ.....	111
7.1. Փորձարարական սարք.....	111
7.2. Խոտի և բրիկետների խոնավության որոշումը.....	117
7.3. Մանրացված խոտի խտության որոշումը.....	118
7.4. Բրիկետների խտությունը.....	119
7.5. Բրիկետների ամրությունը.....	119

7.6. Սեղմնան խցիկներում բրիկետավորման գործընթացի ուսումնասիրության զիստավորձերի կատարման կարգը.....	121
7.7. Գիտավորձերի արդյունքները և նրանց վերլուծությունը	125
7.7.1. Սեպածեւ սեղմնան խցիկի երկարության ազդեցությունը պահանջվող ճնշման վրա.....	125
7.7.2. Սեպածեւ սեղմնան խցիկի առանցքի նկատմամբ պատերի թերման անկյան ազդեցությունը բրիկետավորման ճնշման վրա.....	129
7.7.3. Սեպածեւ խցիկներում մուտքի կտրվածքի չափերի ազդեցությունը բրիկետավորման ճնշման վրա.....	135
7.7.4. Կազմովի սեղմնան խցիկի երկարության ազդեցությունը բրիկետավորման լահանջկող ճնշման վրա.....	137
7.7.5. Կազմովի սեղմնան խցիկների սեպածեւ մասի պատերի թերման ազդեցությունը բրիկետավորման ճնշման վրա.....	141
7.7.6. Կազմովի սեղմնան խցիկի մուտքի կտրվածքի չափերի ազդեցությունը բրիկետավորման ճնշման վրա.....	143
7.7.7. Բրիկետավորվող նյութի (առվոյտ) խոնավության ազդեցությունը բրիկետավորման ճնշման վրա.....	145
7.7.8. Ստացվող բրիկետների ամրությունը.....	146
7.7.9. Բրիկետների խտության կախվածությունը բրիկետավորման ճաշումից.....	150
7.7.10. Սեղմնան խցիկի պատերի հետ բրիկետավորվող խոտի շփման գործակիցը.....	151
8. Խոտի բրիկետավորման գործընթացի ըներգասարությունը....	153
9. Բրիկետավորման տեքնիկան ՀԱՇՎԱՐԿԱՆ ՄԵԹՈԴԻԿԱՆ..	158
10. Բրիկետավորման ՄԱՍԼԻՋԻ ԿԱՌՈՒՅԱԿԱՔԸ ԵՎ ՆՐԱ ՏՆՏԵՍԱԿԱՆ ՓՈՐՁԱՐԿՈՒՄՆԵՐԸ.....	173
11. ՊԿԲ-2,0 ԲՐԻԿԵՏԱՎՈՐՄԱՆ ԿՈՄԲԱՅՆԻ ՏՆՏԵՍԱԿԱՆ ՀԻՄՆԱՎՈՐՈՒՄԸ.....	179
11.1. Խոտի նախապատրաստման համեմատվող տեխնոլոգիաները....	179
11.2. Շահագործական ծախսերի հաշվարկը.....	180
11.3. Կցովի բրիկետավորման կոմբայնի մեծածախ գնի հաշվարկը.....	183
11.4. Տարեկան տնտեսական արդյունավետության որոշումը.....	185
ԳՐԱԿԱՆՈՒԹՅՈՒՆ.....	191

Մերուժան Բաղդասարյան

Խոտի բրիկետավորման մեքենաների հաշվարկի և նախագծման հիմունքներ

Պատվեր՝ 40: Տալաքանակ՝ 300

Գինը՝ պայմանագրային:

«Նախի» իրատարակչություն ՓԲԸ

Երևան-9, Տերյան 91